

# Atlas d'Anatomie Pathologique générale

A l'usage des étudiants de 3<sup>e</sup> candidature  
de la faculté de Médecine des FUNDP  
(Namur - Belgique)

1<sup>o</sup> édition - 2002



Michel HERIN  
[michel.herin@fundp.ac.be](mailto:michel.herin@fundp.ac.be)

*TABLE DES MATIERES*

*CLASSEMENT PAR PATHOLOGIES*

*CLASSEMENT PAR NUMEROS DE LAMES*

En hommage à l'*Institut de Pathologie et de Génétique* de Loverval,  
pour avoir fourni le matériel pathologique à la base de cette iconographie,  
... et pour m'avoir supporté en ses murs pendant près de 10 ans.

M.H.

<b>TABLE DES MATIERES</b>
---------------------------

<b>N° de lame</b>	<b>Pathologie</b>	<b>Page</b>
<b><i>MALADIES CONGENITALES</i></b>		
AP011	Diverticule de Meckel (intestin grêle)	1
AP101	Maladie de Hirschsprung (colon)	2
AP102	Testicule sertolien	3
<b><i>ADAPTATIONS</i></b>		
AP001	Hyperplasie compensatrice hépatique (nécrose sur ligature)	4
AP002	Hyperplasie glandulo-kystique de l'endomètre	5
AP003 – AP017	Goître nodulaire colloïde (thyroïde)	6
AP005 – AP006	Amyotrophie neurogène (muscle squelettique)	7
AP008	Métaplasie épidermoïde de la jonction cervicale utérine	8
AP012	Adénomyose ou endométriose myométriale (utérus)	9
AP013	Endométriose sur cicatrice dermique (peau)	10
<b><i>ŒDEMES</i></b>		
AP082	Œdème aigu du poumon	11
AP022 – AP023	Poumon cardiaque	12
AP083	Foie cardiaque (stade 1-2)	13
AP084 – AP085	Foie cardiaque (stade 2-3)	14
AP043	Splénomégalie congestive	15
<b><i>INFLAMMATIONS</i></b>		
AP065	Tissu de granulation cutané	16
AP059	Sinus pilonidal infecté et abcédé (peau)	17
AP056 – AP057	Appendicite aiguë	18
AP038	Cholécystite gangréneuse	19
AP058	Broncho-pneumonie suppurée	20
AP045	Domage alvéolaire diffus ou ARDS (poumon)	21
AP106	Arthrite rhumatoïde (tissu synovial)	22
AP107	Coque de prothèse mammaire rompue	23
AP100	Greffé vasculaire en dacron (réaction contre corps étrangers)	24
AP067	Granulomes talciques (plèvre)	25
AP076	Sarcoïdose à localisation ganglionnaire	26
AP037	Nodule rhumatoïde (ligament)	27
AP105	Maladie de Crohn (intestin)	28
<b><i>INFECTIONS</i></b>		
AP068	Tuberculose cœcale	29
AP072 – AP073	Tuberculose ganglionnaire	30
AP069	Tuberculose tubaire (trompe utérine)	31
AP070	Tuberculose rénale	32
AP109	Oyurose appendiculaire	33
AP110	Aspergillose vasculo-invasive pulmonaire	34
AP111	Condylomes vulvaires	35
AP151 – AP152	Verrues vulgaires en peau fine et épaisse	36
AP153	Molluscum contagiosum (peau)	37
<b><i>THROMBOSES, EMBOLIES et ATHEROMATOSE</i></b>		
AP087	Thrombus	38
AP088 – AP093 (1)	Athéromatose (aorte et artère coronaire, plus thrombus) I/II	39
AP088 – AP093 (2)	Athéromatose (aorte et artère coronaire, plus thrombus) II/II	40
AP061	Endocardite bactérienne (valve mitrale)	41
AP062	Métastase septique rénale d'une végétation endocardique	42
AP064	Métastase septique cérébrale d'une végétation endocardique	43

**NECROSES**

AP030	Infarctus rénal récent	44
AP031 – AP089 (1)	Infarctus myocardique (I/III)	45
AP031 – AP089 (2)	Infarctus myocardique (II/III)	46
AP031 – AP089 (3)	Infarctus myocardique (III/III)	47
AP007	Sclérose myocardique post-ischémique	48
AP090	Infarctus pulmonaire	49
AP039	Infarcissement testiculaire (torsion)	50
AP040	Infarcissement grêle (volvulus)	51
AP034	Pancréatite aiguë nécrotico-hémorragique (PANH)	52
AP035	Stéatonécrose péritonéale sur PANH	53
AP079	Ulcère duodénal	54

**DEPOTS TISSULAIRES**

AP014	Néphrose osmotique (rein)	55
AP015- AP016	Stéatose hépatique	56
AP018	Cholestérolose vésiculaire	57
AP026 – AP027	Cholestase hépatique	58
AP020 – AP021	Hématome ancien (grand fessier)	59
AP024 – AP025	Hémochromatose et cirrhose hépatique	60
AP077	Cirrhose éthylique	61
AP029	Anthracosilicose (poumon et ganglion)	62
AP044	Glomérulosclérose de Kimmelstiel-Wilson (rein)	63
AP050 – AP052	Amyloïdose rénale	64
AP046 – AP047	Amyloïdose hépatique	65
AP055	Tophus goutteux (peau)	66

**TUMEURS**

AP155	Adénome tubuleux colique	67
AP156	Adénome vilieux colique	68
AP157	Fibroadénome mammaire	69
AP160	Leiomyome utérin	70
AP161	Schwannome (nerf périphérique)	71
AP162	Nævus nævocellulaire composé	72
AP185	Maladie de Bowen (peau)	73
AP186	Adénocarcinome gastrique in situ et intra-muqueux	74
AP165	Tumeur carcinoïde appendiculaire	75
AP112	Adénocarcinome canalaire infiltrant (sein)	76
AP113	Adénocarcinome lobulaire infiltrant (sein)	77
AP114	Adénocarcinome mucoïde (sein)	78
AP170	Carcinome basocellulaire (peau)	79
AP167	Carcinome épidermoïde cutané (kératinisant)	80
AP169	Carcinome épidermoïde cutané (peu kératinisant)	81
AP181	Mélanome cutané	82
AP183	Mélanome cutané	83
AP180	Leiomyosarcome cutané	84
AP173 (1)	Carcinome épidermoïde cervical et CIN III (I/II)	85
AP173 (2)	Carcinome épidermoïde cervical et CIN III (II/II)	86
AP174	Adénocarcinome gastrique à cellules indépendantes (linite)	87
AP175	Adénocarcinome colique	88
AP177	Carcinome épidermoïde bronchique	89
AP176	Carcinome anaplasique à petites cellules (poumon)	90
AP190	Métastase hépatique d'un adénocarcinome colique	91
AP188 – AP189	Métastase ganglionnaire d'un adénocarcinome mammaire	92

CLASSEMENT PAR PATHOLOGIES (ordre alphabétique)
-------------------------------------------------

N° de lame	Pathologie	Page
AP112	Adénocarcinome canalaire infiltrant (sein)	76
AP175	Adénocarcinome colique	88
AP174	Adénocarcinome gastrique à cellules indépendantes (linite)	87
AP186	Adénocarcinome gastrique in situ et intra-muqueux	74
AP113	Adénocarcinome lobulaire infiltrant (sein)	77
AP114	Adénocarcinome mucoïde (sein)	78
AP155	Adénome tubuleux colique	67
AP156	Adénome villositaire colique	68
AP012	Adénomyose ou endométriose myométriale (utérus)	9
AP046 – AP047	Amyloïdose hépatique	65
AP050 – AP052	Amyloïdose rénale	64
AP005 – AP006	Amyotrophie neurogène (muscle squelettique)	7
AP029	Anthracosilicose (poumon et ganglion)	62
AP056 – AP057	Appendicite aiguë	18
AP106	Arthrite rhumatoïde (tissu synovial)	22
AP110	Aspergillose vasculo-invasive pulmonaire	34
AP088 – AP093 (1)	Athéromatose (aorte et artère coronaire, plus thrombus) I/II	39
AP088 – AP093 (2)	Athéromatose (aorte et artère coronaire, plus thrombus) II/II	40
AP058	Broncho-pneumonie suppurée	20
AP176	Carcinome anaplasique à petites cellules (poumon)	90
AP170	Carcinome basocellulaire (peau)	79
AP177	Carcinome épidermoïde bronchique	89
AP173 (1)	Carcinome épidermoïde cervical et CIN III (I/II)	85
AP173 (2)	Carcinome épidermoïde cervical et CIN III (II/II)	86
AP167	Carcinome épidermoïde cutané (kératinisant)	80
AP169	Carcinome épidermoïde cutané (peu kératinisant)	81
AP038	Cholécystite gangréneuse	19
AP018	Cholestérolose vésiculaire	57
AP026 – AP027	Cholestase hépatique	58
AP077	Cirrhose éthylique	61
AP111	Condylomes vulvaires	35
AP107	Coque de prothèse mammaire rompue	23
AP011	Diverticule de Meckel (intestin grêle)	1
AP045	Domage alvéolaire diffus ou ARDS (poumon)	21
AP061	Endocardite bactérienne (valve mitrale)	41
AP013	Endométriose sur cicatrice dermique (peau)	10
AP157	Fibroadénome mammaire	69
AP083	Foie cardiaque (stade 1-2)	13
AP084 – AP085	Foie cardiaque (stade 2-3)	14
AP044	Glomérulosclérose de Kimmelstiel-Wilson (rein)	63
AP003 – AP017	Goître nodulaire colloïde (thyroïde)	6
AP067	Granulomes talciques (plèvre)	25
AP100	Greffe vasculaire en dacron (réaction contre corps étrangers)	24
AP020 – AP021	Hématome ancien (grand fessier)	59
AP024 – AP025	Hémochromatose et cirrhose hépatique	60
AP001	Hyperplasie compensatrice hépatique (nécrose sur ligature)	4
AP002	Hyperplasie glandulo-kystique de l'endomètre	5
AP040	Infarcissement grêle (volvulus)	51
AP039	Infarcissement testiculaire (torsion)	50
AP031 – AP089 (1)	Infarctus myocardique (I/III)	45
AP031 – AP089 (2)	Infarctus myocardique (II/III)	46

AP031 – AP089 (3)	Infarctus myocardique (III/III)	47
AP090	Infarctus pulmonaire	49
AP030	Infarctus rénal récent	44
AP160	Leiomyome utérin	70
AP180	Leiomyosarcome cutané	84
AP185	Maladie de Bowen (peau)	73
AP105	Maladie de Crohn (intestin)	28
AP101	Maladie de Hirschsprung (colon)	2
AP181	Mélanome cutané	82
AP183	Mélanome cutané	83
AP008	Métaplasie épidermoïde de la jonction cervicale utérine	8
AP188 – AP189	Métastase ganglionnaire d'un adénocarcinome mammaire	92
AP190	Métastase hépatique d'un adénocarcinome colique	91
AP064	Métastase septique cérébrale d'une végétation endocardique	43
AP062	Métastase septique rénale d'une végétation endocardique	42
AP153	Molluscum contagiosum (peau)	37
AP162	Nævus nævocellulaire composé	72
AP014	Néphrose osmotique (rein)	55
AP037	Nodule rhumatoïde (ligament)	27
AP082	Œdème aigu du poumon	11
AP109	Oyurose appendiculaire	33
AP034	Pancréatite aiguë nécrotico-hémorragique (PANH)	52
AP022 – AP023	Poumon cardiaque	12
AP076	Sarcoïdose à localisation ganglionnaire	26
AP161	Schwannome (nerf périphérique)	71
AP007	Sclérose myocardique post-ischémique	48
AP059	Sinus pilonidal infecté et abcédé (peau)	17
AP043	Splénomégalie congestive	15
AP035	Stéatonécrose péritonéale sur PANH	53
AP015- AP016	Stéatose hépatique	56
AP102	Testicule sertolien	3
AP087	Thrombus	38
AP065	Tissu de granulation cutané	16
AP055	Tophus goutteux (peau)	66
AP068	Tuberculose cæcale	29
AP072 – AP073	Tuberculose ganglionnaire	30
AP070	Tuberculose rénale	32
AP069	Tuberculose tubaire (trompe utérine)	31
AP165	Tumeur carcinoïde appendiculaire	75
AP079	Ulcère duodénal	54
AP151 – AP152	Verrues vulgaires en peau fine et épaisse	36

CLASSEMENT PAR NUMEROS DE LAMES
---------------------------------

N° de lame	Pathologie	Page
AP001	Hyperplasie compensatrice hépatique (nécrose sur ligature)	4
AP002	Hyperplasie glandulo-kystique de l'endomètre	5
AP003 – AP017	Goître nodulaire colloïde (thyroïde)	6
AP005 – AP006	Amyotrophie neurogène (muscle squelettique)	7
AP007	Sclérose myocardique post-ischémique	48
AP008	Métaplasie épidermoïde de la jonction cervicale utérine	8
AP011	Diverticule de Meckel (intestin grêle)	1
AP012	Adénomyose ou endométriose myométriale (utérus)	9
AP013	Endométriose sur cicatrice dermique (peau)	10
AP014	Néphrose osmotique (rein)	55
AP015 – AP016	Stéatose hépatique	56
AP018	Cholestérolose vésiculaire	57
AP020 – AP021	Hématome ancien (grand fessier)	59
AP022 – AP023	Poumon cardiaque	12
AP024 – AP025	Hémochromatose et cirrhose hépatique	60
AP026 – AP027	Cholestase hépatique	58
AP029	Anthracosilicose (poumon et ganglion)	62
AP030	Infarctus rénal récent	44
AP031 – AP089 (1)	Infarctus myocardique (I/III)	45
AP031 – AP089 (2)	Infarctus myocardique (II/III)	46
AP031 – AP089 (3)	Infarctus myocardique (III/III)	47
AP034	Pancréatite aiguë nécrotico-hémorragique (PANH)	52
AP035	Stéatonécrose péritonéale sur PANH	53
AP037	Nodule rhumatoïde (ligament)	27
AP038	Cholécystite gangréneuse	19
AP039	Infarcissement testiculaire (torsion)	50
AP040	Infarcissement grêle (volvulus)	51
AP043	Splénomégalie congestive	15
AP044	Glomérulosclérose de Kimmelstiel-Wilson (rein)	63
AP045	Domage alvéolaire diffus ou ARDS (poumon)	21
AP046 – AP047	Amyloïdose hépatique	65
AP050 – AP052	Amyloïdose rénale	64
AP055	Tophus goutteux (peau)	66
AP056 – AP057	Appendicite aiguë	18
AP058	Broncho-pneumonie suppurée	20
AP059	Sinus pilonidal infecté et abcédé (peau)	17
AP061	Endocardite bactérienne (valve mitrale)	41
AP062	Métastase septique rénale d'une végétation endocardique	42
AP064	Métastase septique cérébrale d'une végétation endocardique	43
AP065	Tissu de granulation cutané	16
AP067	Granulomes talciques (plèvre)	25
AP068	Tuberculose cœcale	29
AP069	Tuberculose tubaire (trompe utérine)	31
AP070	Tuberculose rénale	32
AP072 – AP073	Tuberculose ganglionnaire	30
AP076	Sarcoïdose à localisation ganglionnaire	26
AP077	Cirrhose éthylique	61
AP079	Ulcère duodéal	54
AP082	Œdème aigu du poumon	11
AP083	Foie cardiaque (stade 1-2)	13
AP084 – AP085	Foie cardiaque (stade 2-3)	14

AP087	Thrombus	38
AP088 – AP093 (1)	Athéromatose (aorte et artère coronaire, plus thrombus) I/II	39
AP088 – AP093 (2)	Athéromatose (aorte et artère coronaire, plus thrombus) II/II	40
AP090	Infarctus pulmonaire	49
AP100	Greffe vasculaire en dacron (réaction contre corps étrangers)	24
AP101	Maladie de Hirschsprung (colon)	2
AP102	Testicule sertolien	3
AP105	Maladie de Crohn (intestin)	28
AP106	Arthrite rhumatoïde (tissu synovial)	22
AP107	Coque de prothèse mammaire rompue	23
AP109	Oyurose appendiculaire	33
AP110	Aspergillose vasculo-invasive pulmonaire	34
AP111	Condylomes vulvaires	35
AP112	Adénocarcinome canalaire infiltrant (sein)	76
AP113	Adénocarcinome lobulaire infiltrant (sein)	77
AP114	Adénocarcinome mucoïde (sein)	78
AP151 – AP152	Verrues vulgaires en peau fine et épaisse	36
AP153	Molluscum contagiosum (peau)	37
AP155	Adénome tubuleux colique	67
AP156	Adénome vilieux colique	68
AP157	Fibroadénome mammaire	69
AP160	Leiomyome utérin	70
AP161	Schwannome (nerf périphérique)	71
AP162	Nævus nævocellulaire composé	72
AP165	Tumeur carcinoïde appendiculaire	75
AP167	Carcinome épidermoïde cutané (kératinisant)	80
AP169	Carcinome épidermoïde cutané (peu kératinisant)	81
AP170	Carcinome basocellulaire (peau)	79
AP173 (1)	Carcinome épidermoïde cervical et CIN III (I/II)	85
AP173 (2)	Carcinome épidermoïde cervical et CIN III (II/II)	86
AP174	Adénocarcinome gastrique à cellules indépendantes (linite)	87
AP175	Adénocarcinome colique	88
AP176	Carcinome anaplasique à petites cellules (poumon)	90
AP177	Carcinome épidermoïde bronchique	89
AP180	Leiomyosarcome cutané	84
AP181	Mélanome cutané	82
AP183	Mélanome cutané	83
AP185	Maladie de Bowen (peau)	73
AP186	Adénocarcinome gastrique in situ et intra-muqueux	74
AP188 – AP189	Métastase ganglionnaire d'un adénocarcinome mammaire	92
AP190	Métastase hépatique d'un adénocarcinome colique	91



Pathologies

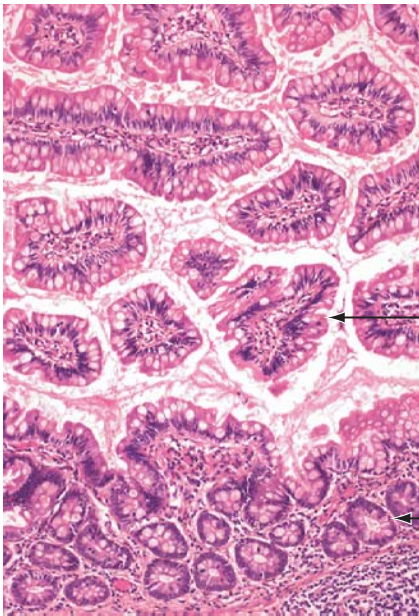
Lames

Musculaire propre

Lumière du diverticule

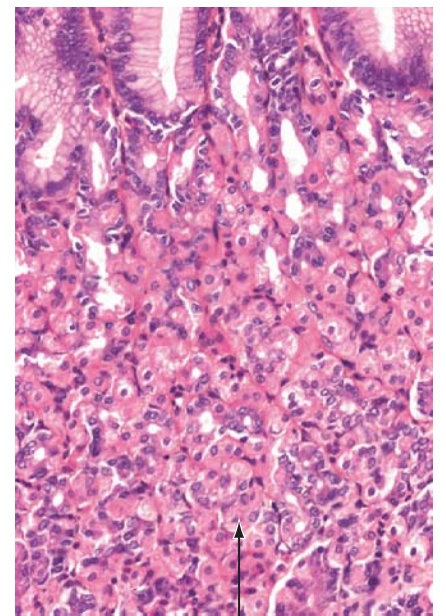
Muqueuse grêle

Muqueuse gastrique fundique



Villosité

Glande de Lieberkühn

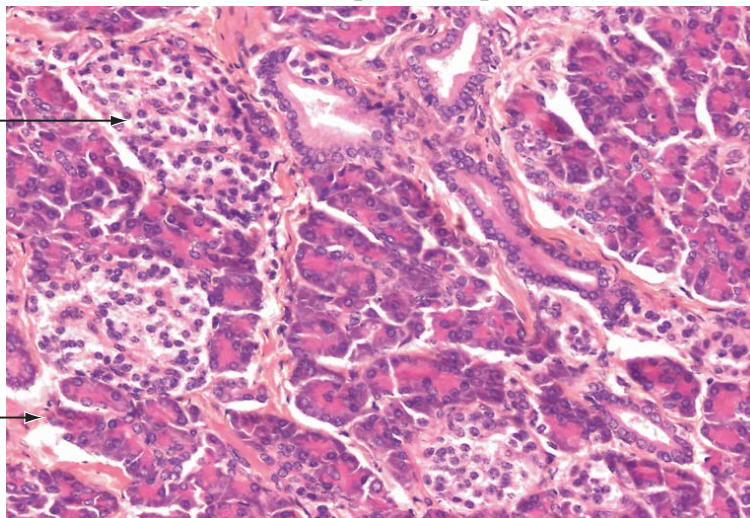


Glandes fundiques

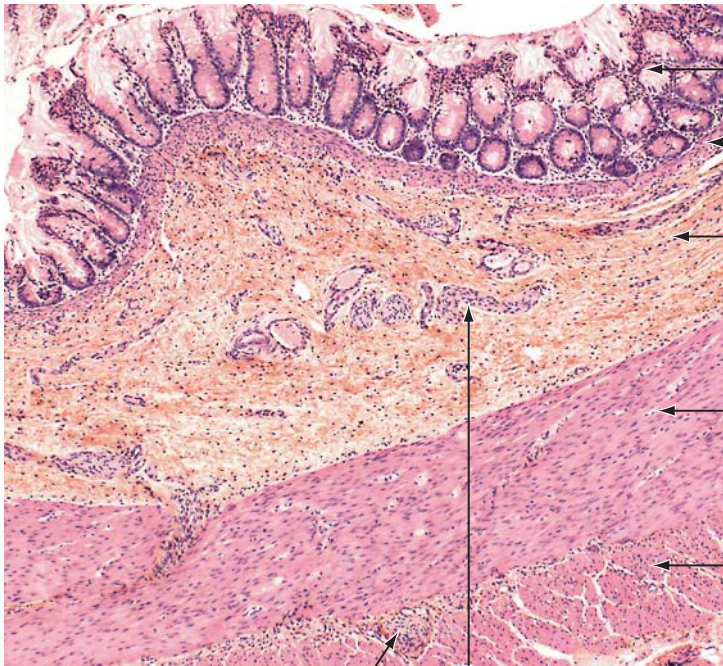
Tissu pancréatique

Ilot de Langerhans

Acinus séreux

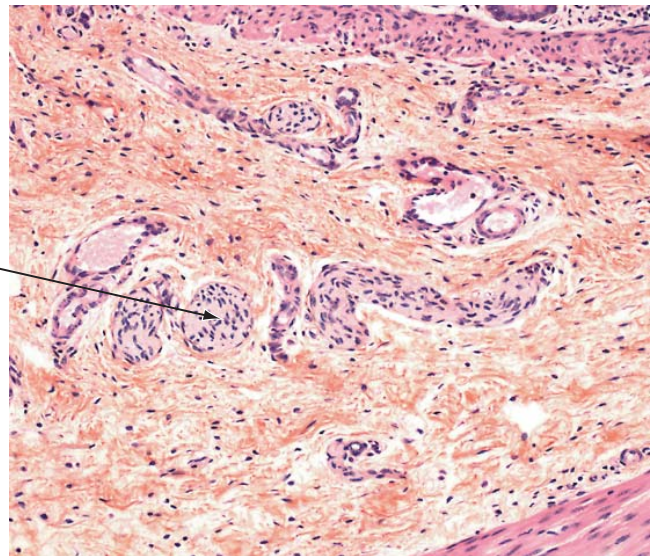


Pathologies  
Lames

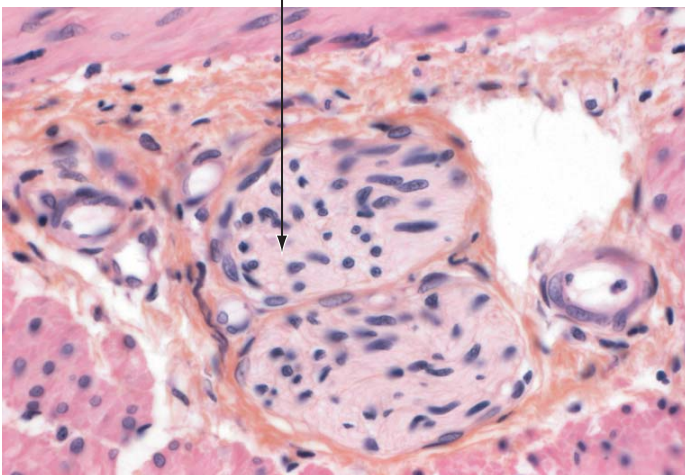


Muqueuse  
Musculaire muqueuse  
Sous-muqueuse  
Musculaire propre (couche interne)  
Musculaire propre (couche externe)

Plexus de Meissner  
- absence de cellules ganglionnaires  
- filets nerveux hyperplasiques

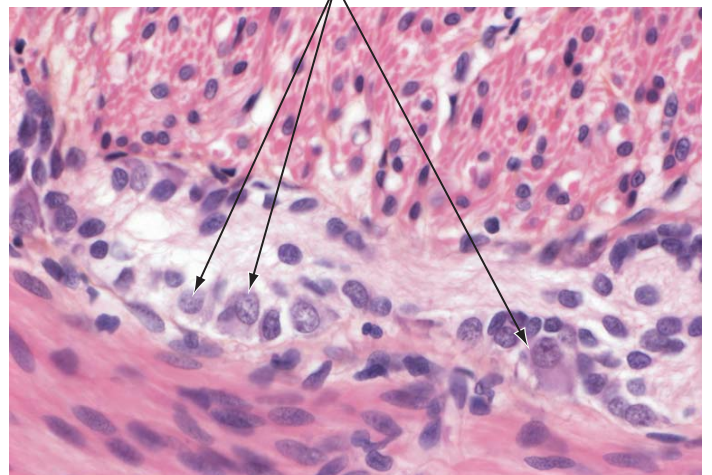


Plexus d'Auerbach  
- absence de cellules ganglionnaires  
- filets nerveux hyperplasiques



PLEXUS D'AUERBACH sans cellule ganglionnaire

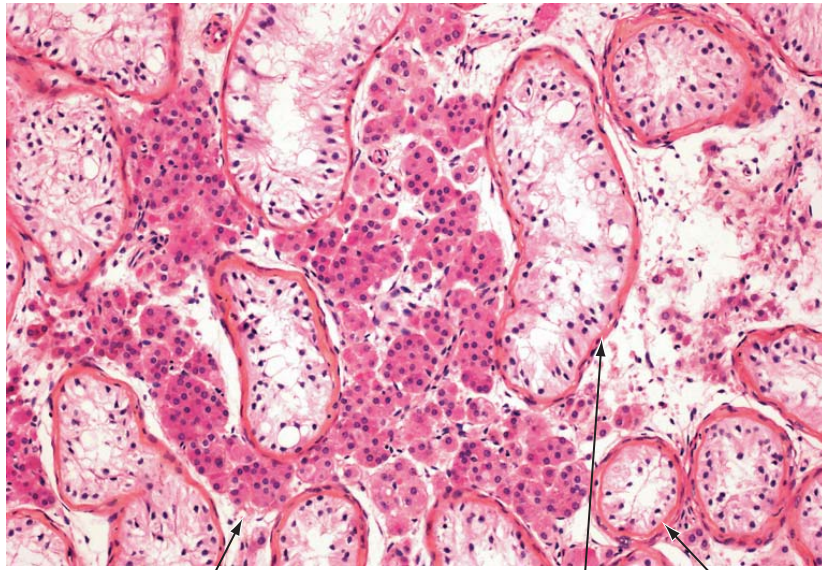
Cellules ganglionnaires peu matures (naissance)



PLEXUS D'AUERBACH NORMAL (comparaison)

Pathologies

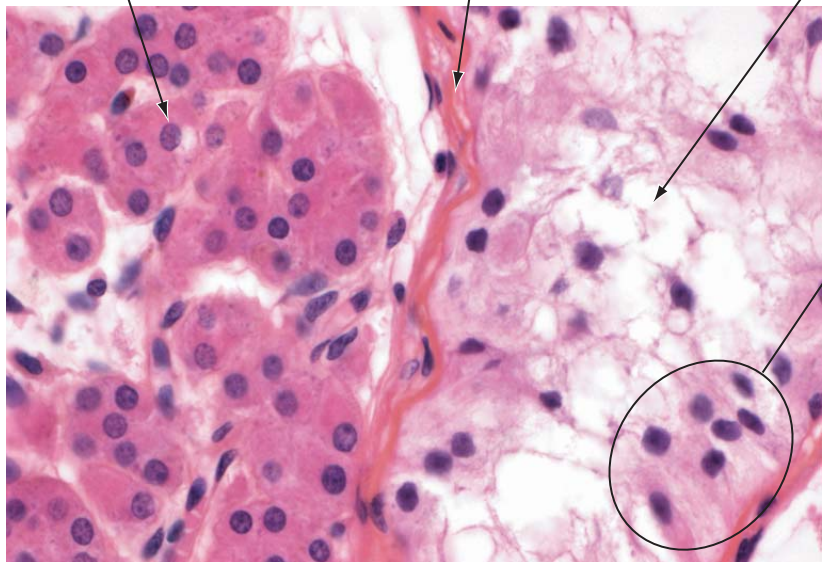
Lames



"Hyperplasie" relative de la composante endocrine (cellules de Leydig)

Membrane basale des tubes séminifères épaissie ("vitreuse")

Atrophie des tubes séminifères

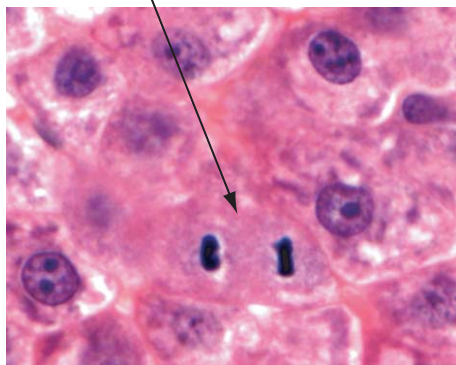
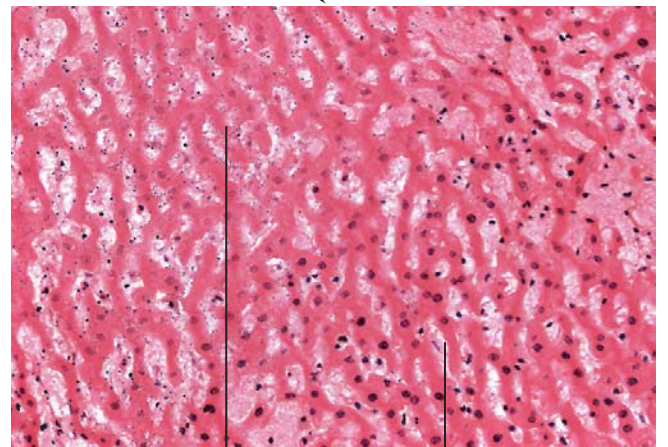
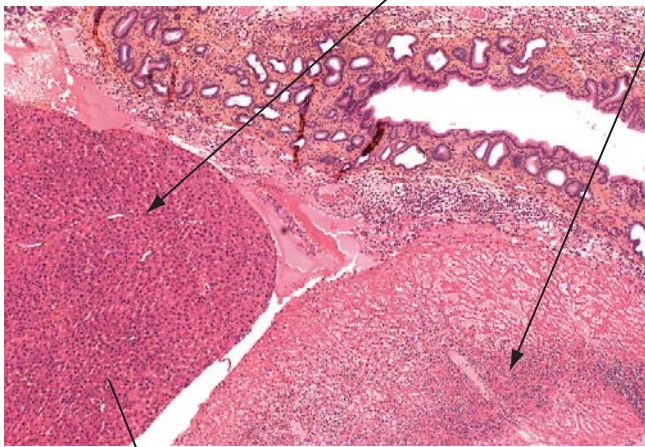


Cellules de Sertoli en l'absence de cellule germinale

Pathologies  
Lames

Lobe en hyperplasie compensatrice

Lobe ligaturé en nécrose ischémique



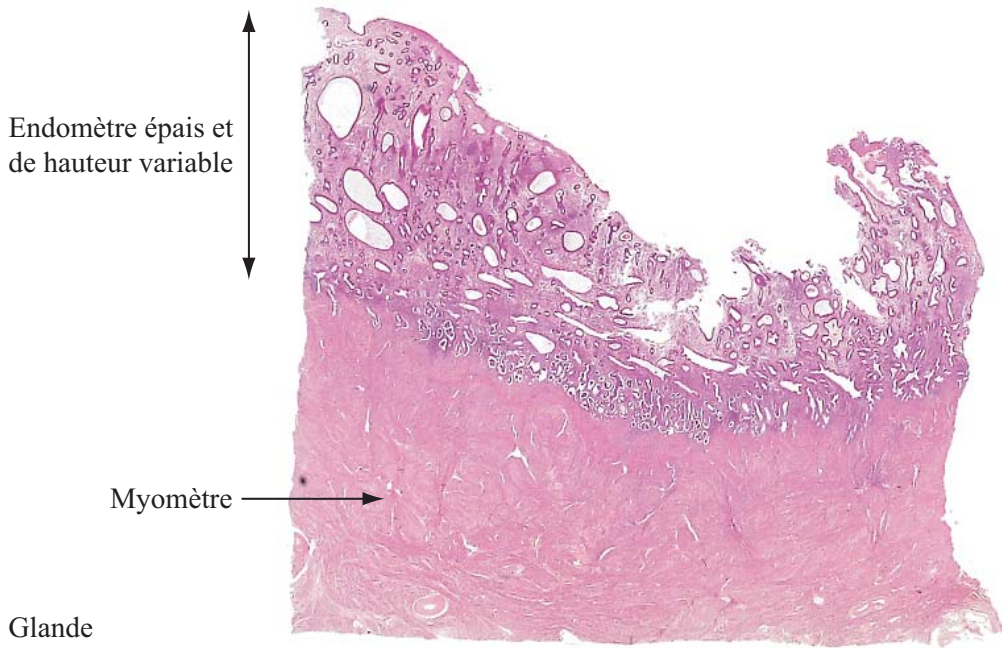
Hyperplasie compensatrice  
- mitoses (rares dans un foie normal)  
- basophilie cytoplasmique et nucléoles saillants

Noyau en caryolyse

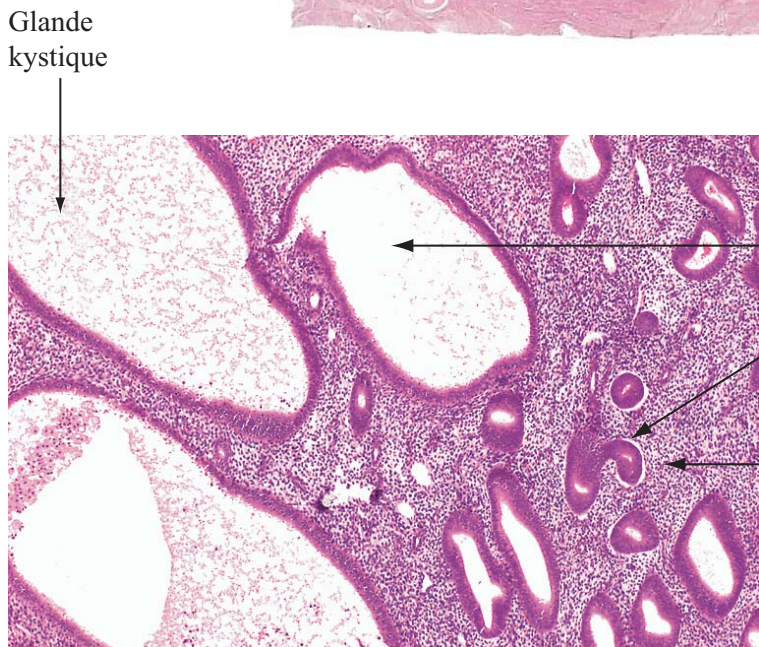
Fragments nucléaires (caryorrhexis)

Noyau en pycnose

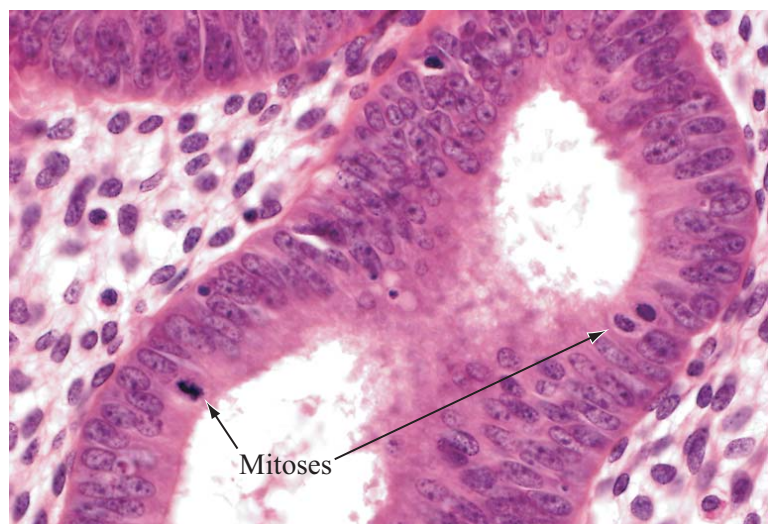
Pathologies  
Lames



Glandes de formes et de tailles variables. Les glandes kystiques donnent un aspect en "gruyère".



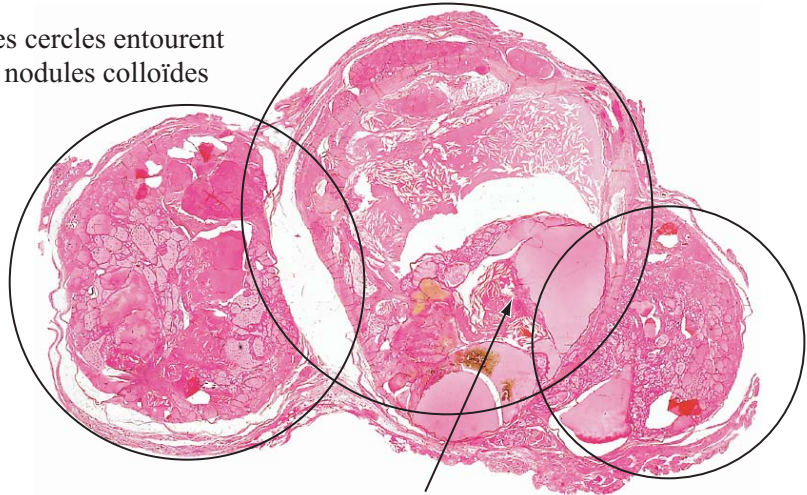
Les glandes endométriales sont bordées par un épithélium prolifératif. La pseudostratification cellulaire et les mitoses nombreuses en attestent. Absence d'atypies cellulaires.



AP003 - AP017 Goître nodulaire colloïde de la thyroïde (+ zones de nécrose hémorragique)

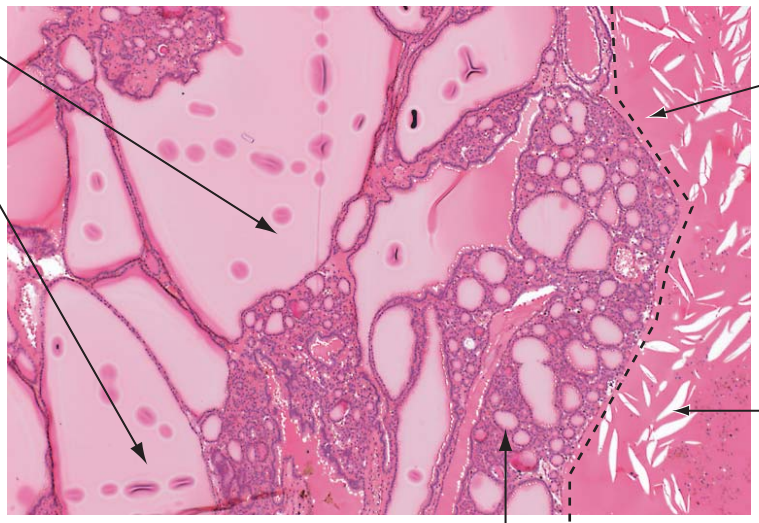
- ↳ Pathologies
- ↳ Lames

Les cercles entourent  
3 nodules colloïdes



Follicules thyroïdiens  
hyperplasiques et kystiques

Zone de nécrose  
hémorragique



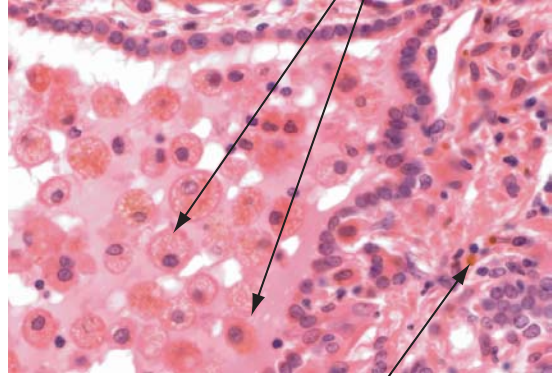
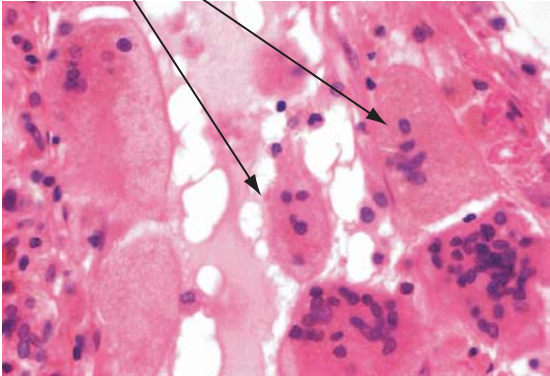
Matériel nécrotique  
amorphe et éosinophile  
(débris protéiques)

Cristaux de  
cholestérol  
(débris membranaires)

Cellules géantes multinucléées  
résorptives (colloïde)

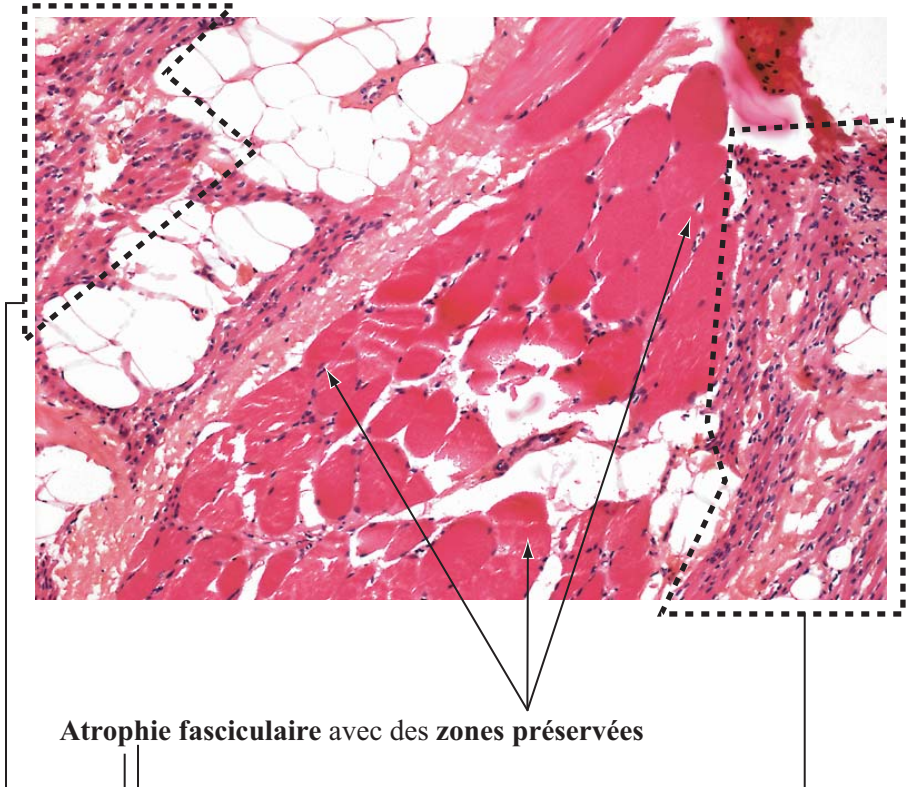
Follicules thyroïdiens  
non hyperplasiques

Macrophages chargés de  
colloïde et d'hémossidérine

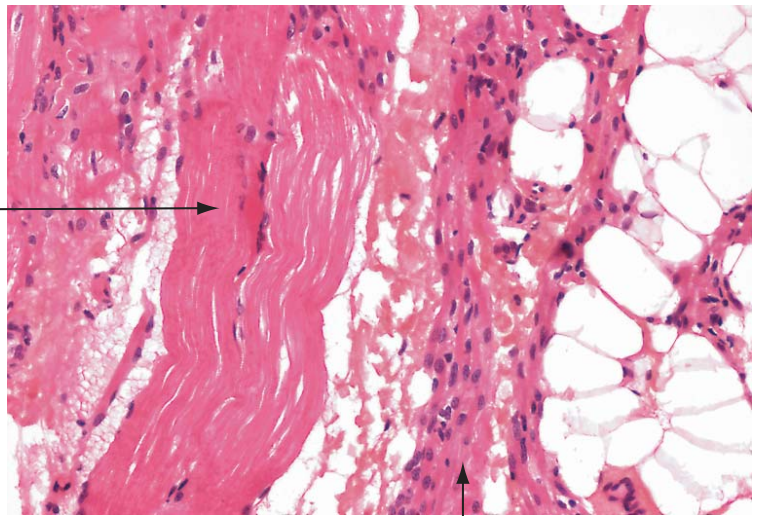


Dépôts libres d'hémossidérine

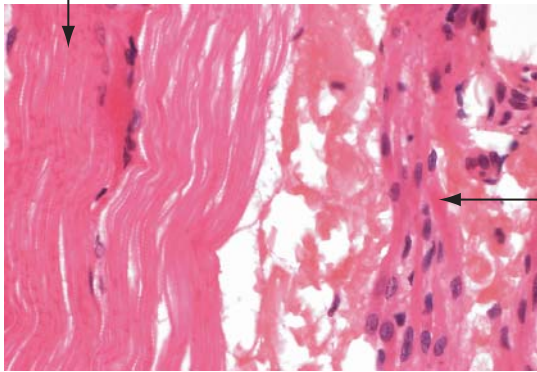
Pathologies  
Lames



Atrophie fasciculaire avec des zones préservées



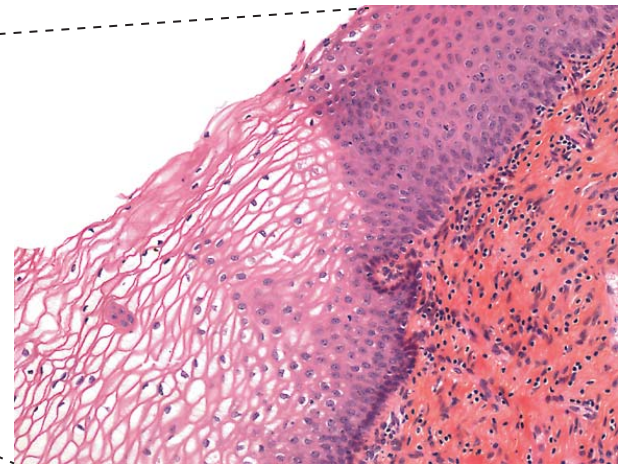
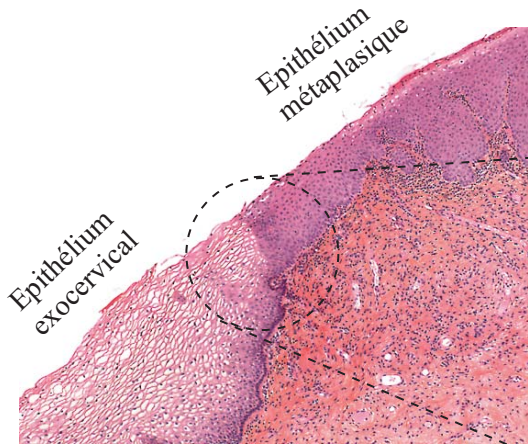
Cellules musculaires striées normales  
(striations préservées, noyaux périphériques,  
grands cytoplasmes)



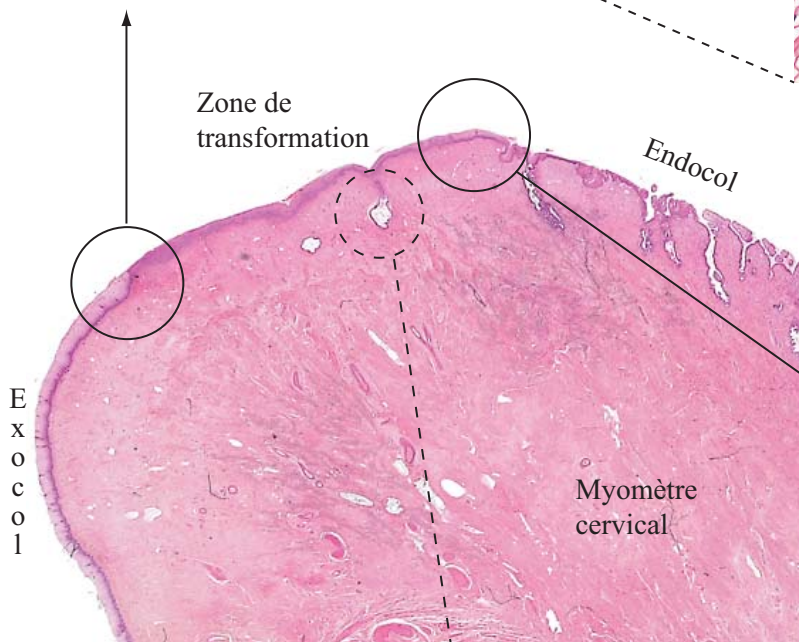
Cellules musculaires striées atrophiées  
(striations perdues, noyaux regroupés,  
petits cytoplasmes)

Pathologies

Lames



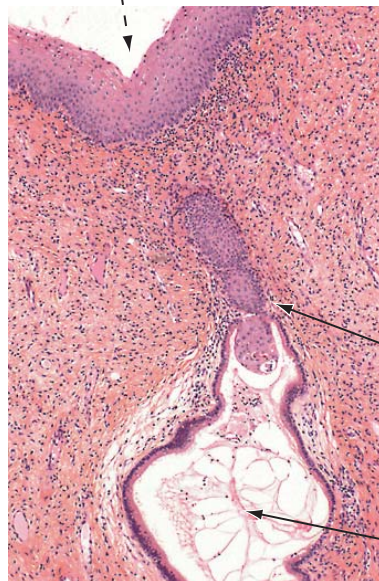
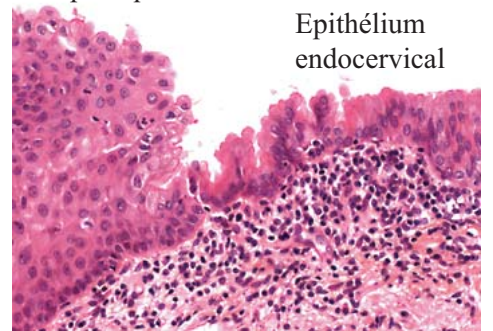
JONCTION ORIGINALE



JONCTION FONCTIONNELLE

Epithélium métaplasique

Epithélium endocervical



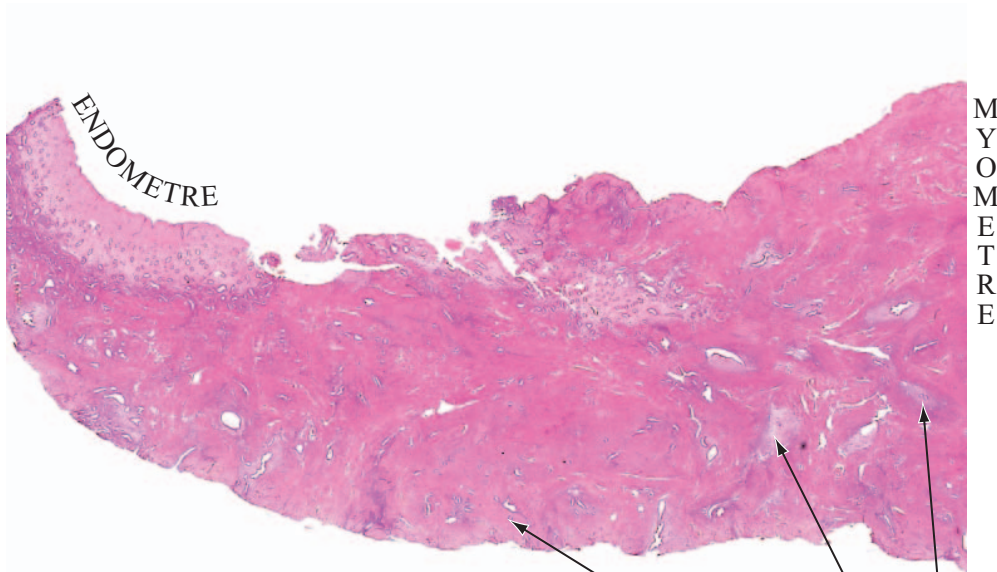
Oblitération du canal excréteur d'une glande endocervicale par l'épithélium métaplasique

Oeuf de Naboth en constitution

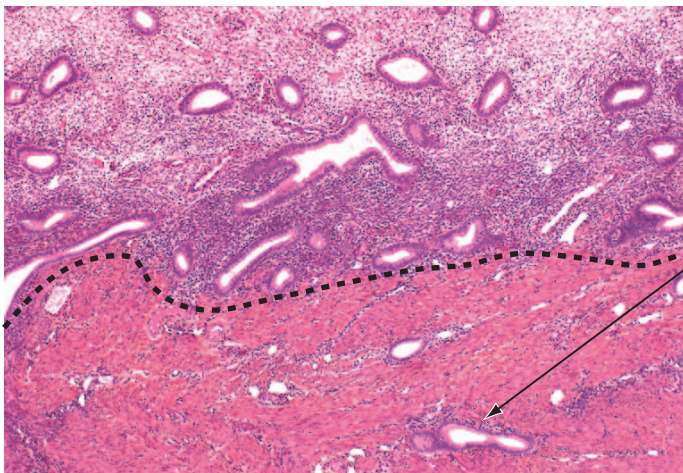


Pathologies

Lames



ENDOMETRE



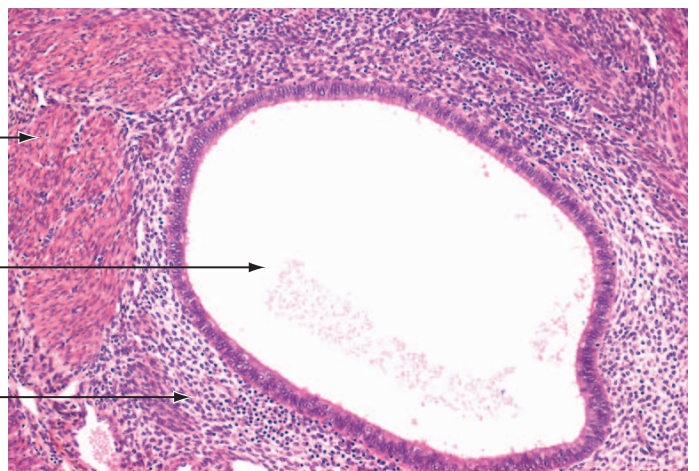
Glandes endométriales et stroma endométrial incorporés dans le myomètre

MYOMETRE

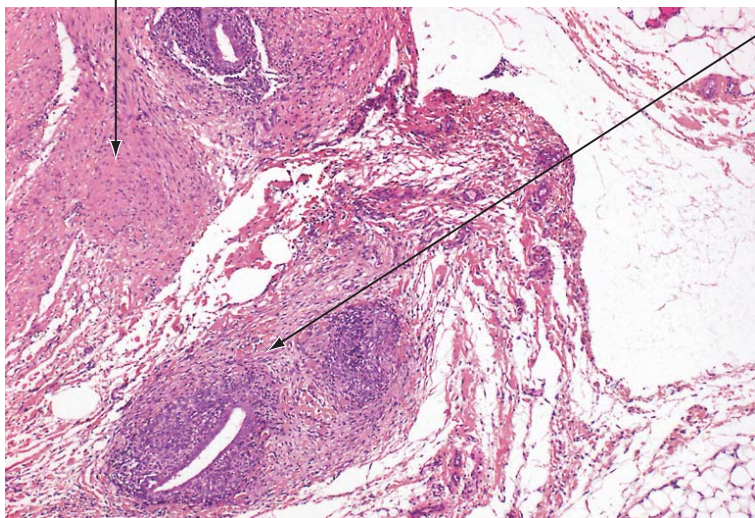
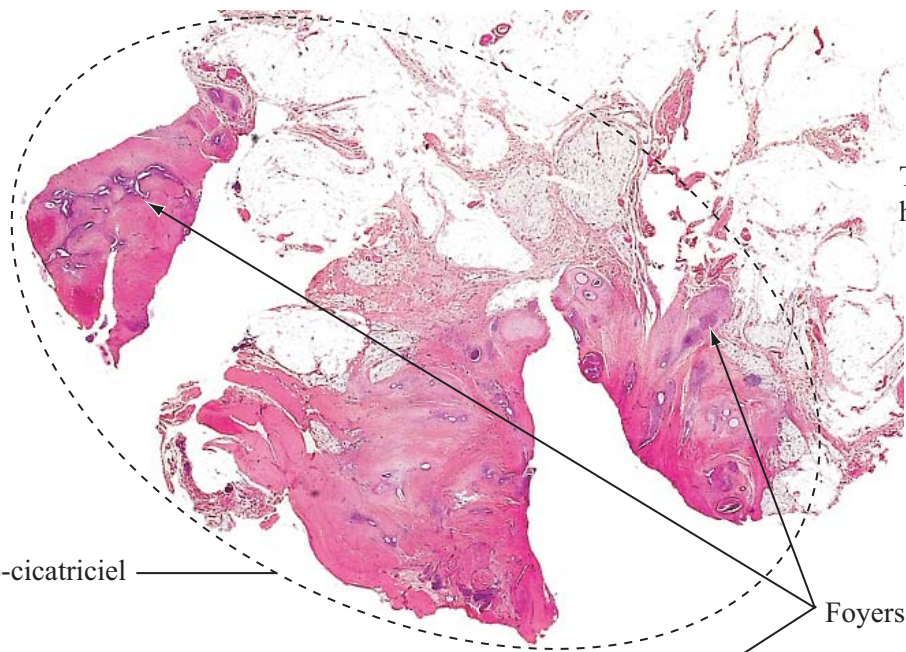
Myomètre

Glande endométriale

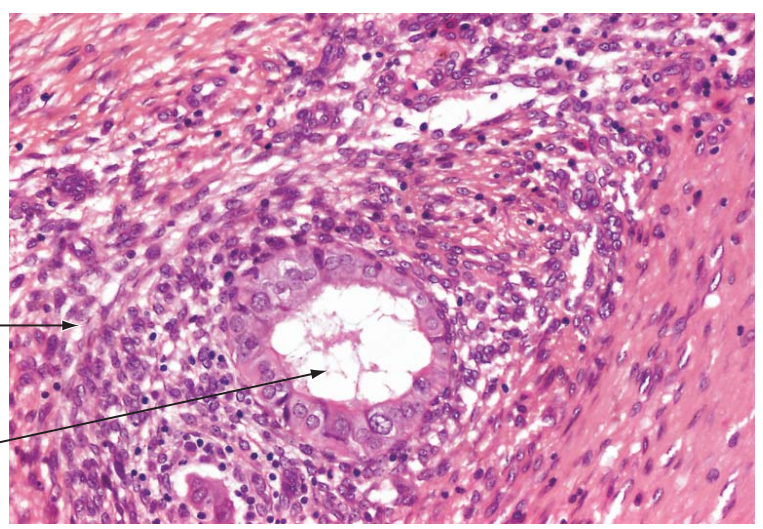
Stroma endométrial



Pathologies  
Lames

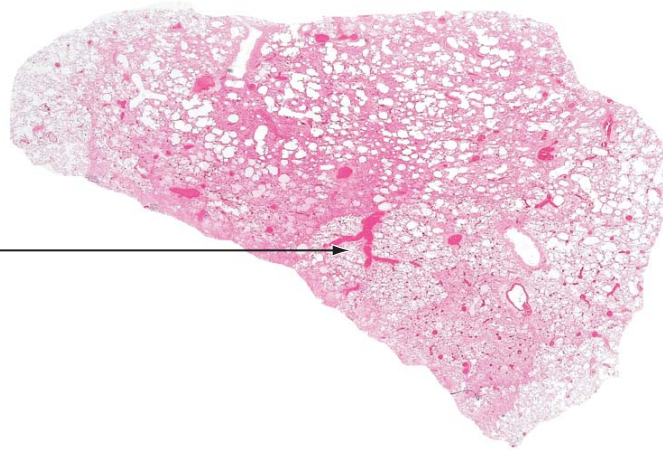


Stroma endométrial  
+  
Glande endométriale

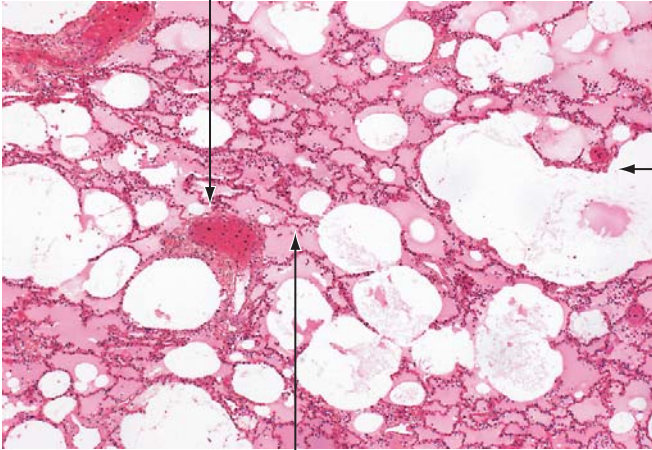


DETAIL D'UN FOYER D'ENDOMETRIOSE

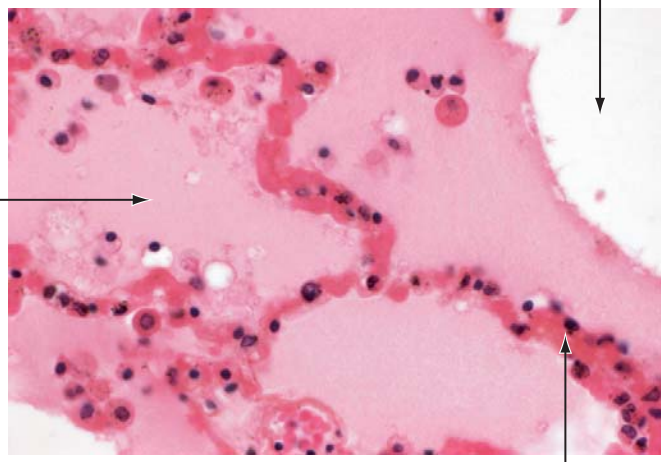
Pathologies  
Lames



Vaisseaux congestifs



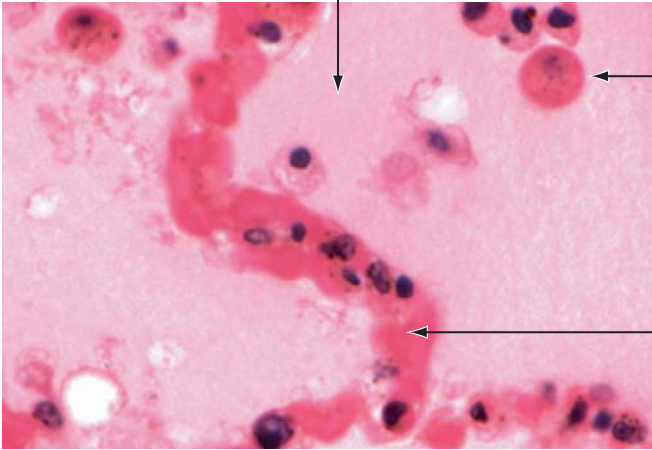
Air

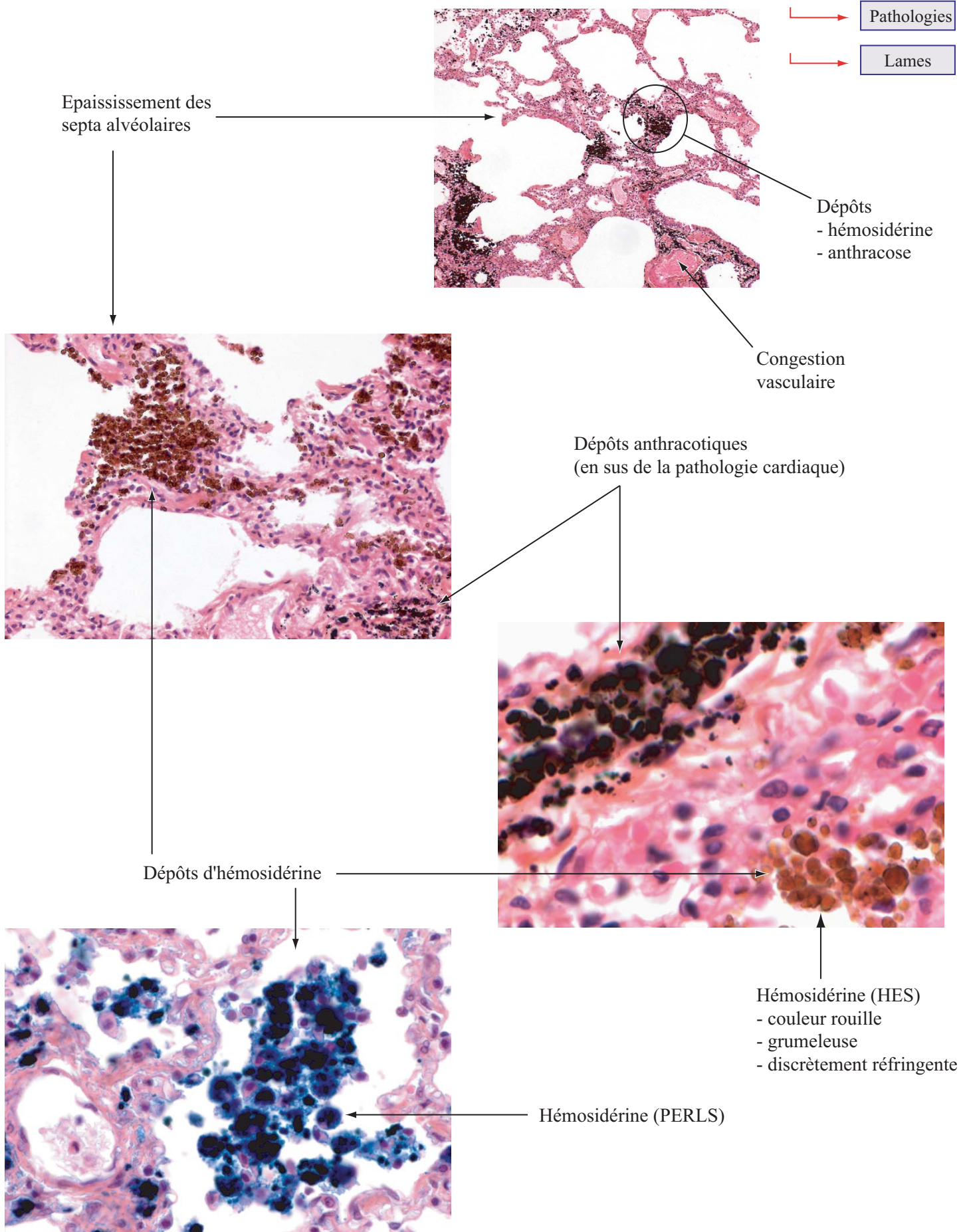


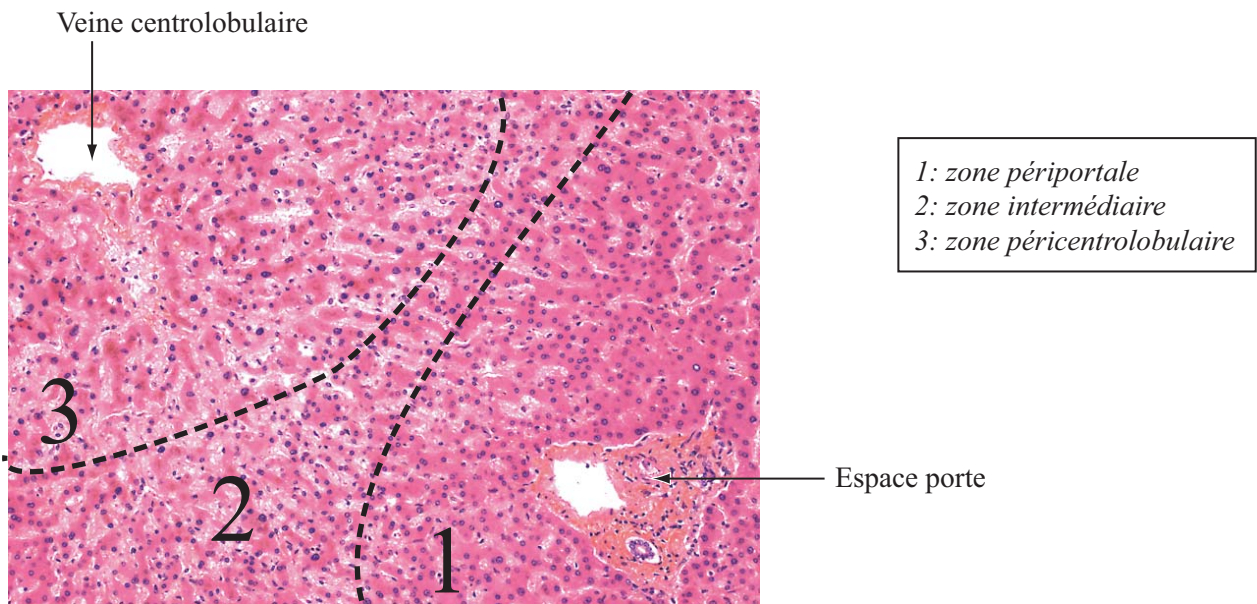
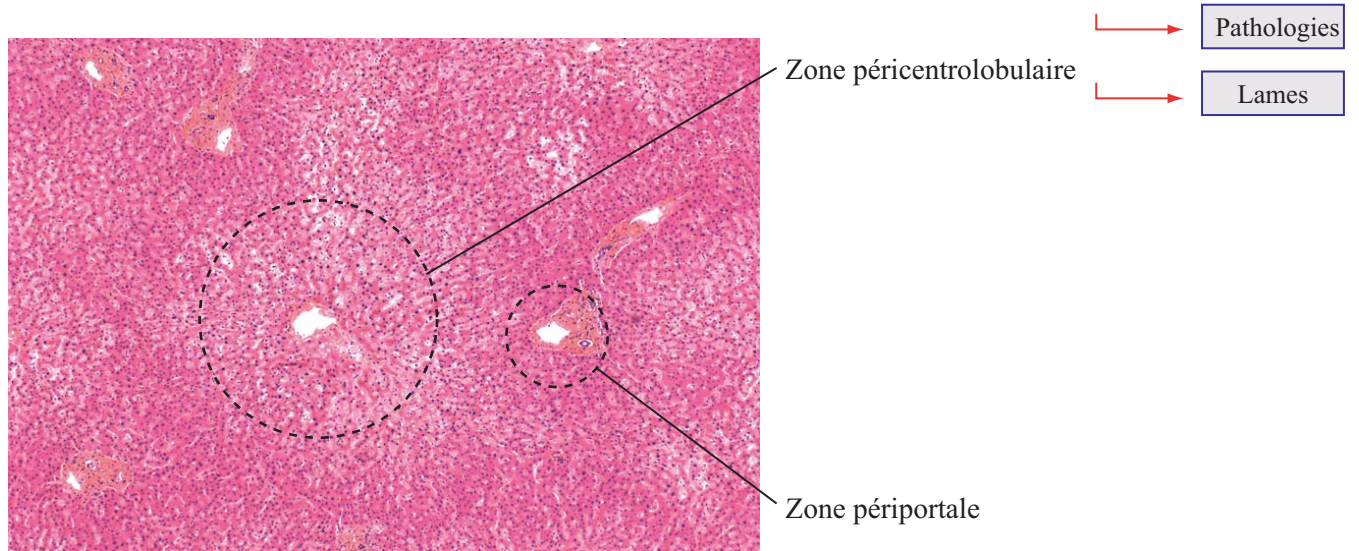
Liquide d'œdème (transsudat)

Macrophages alvéolaires

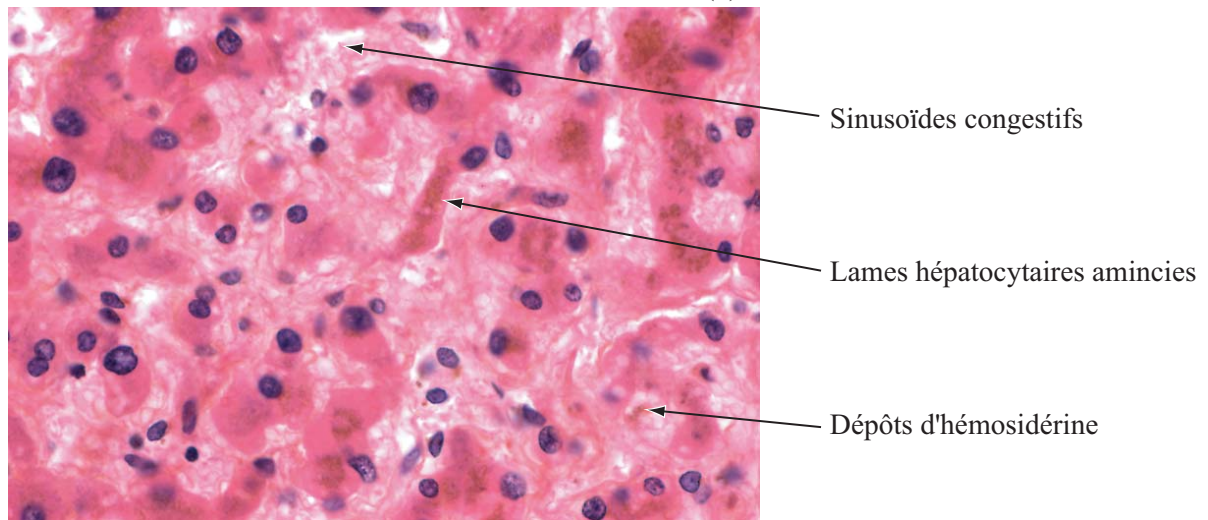
Septas alvéolaires congestifs (capillaires dilatés)

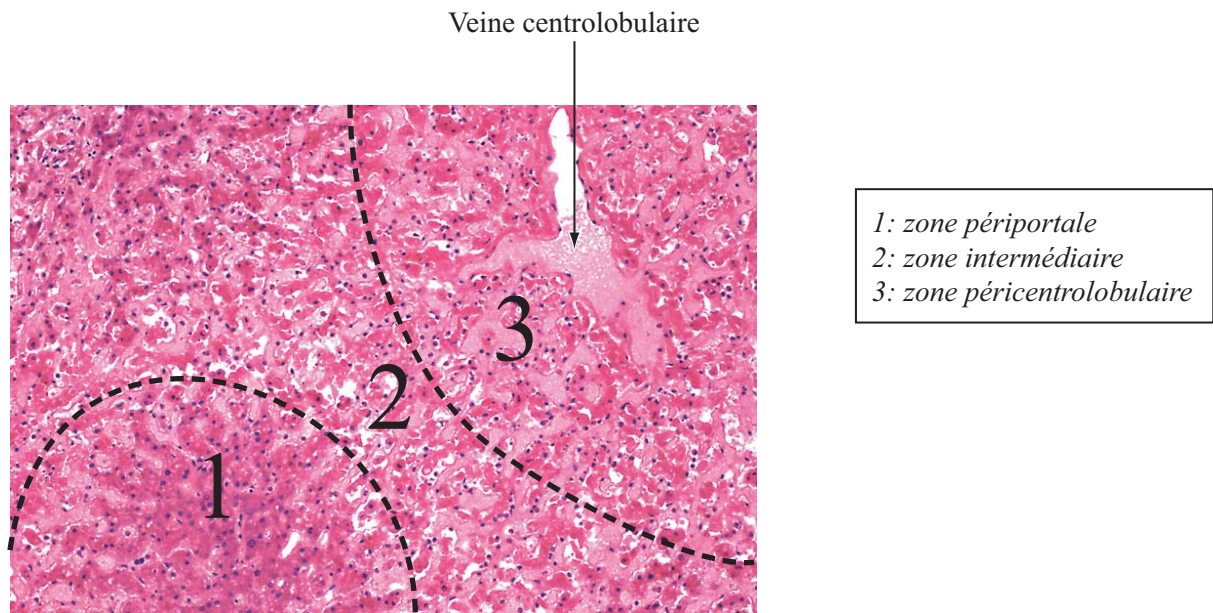
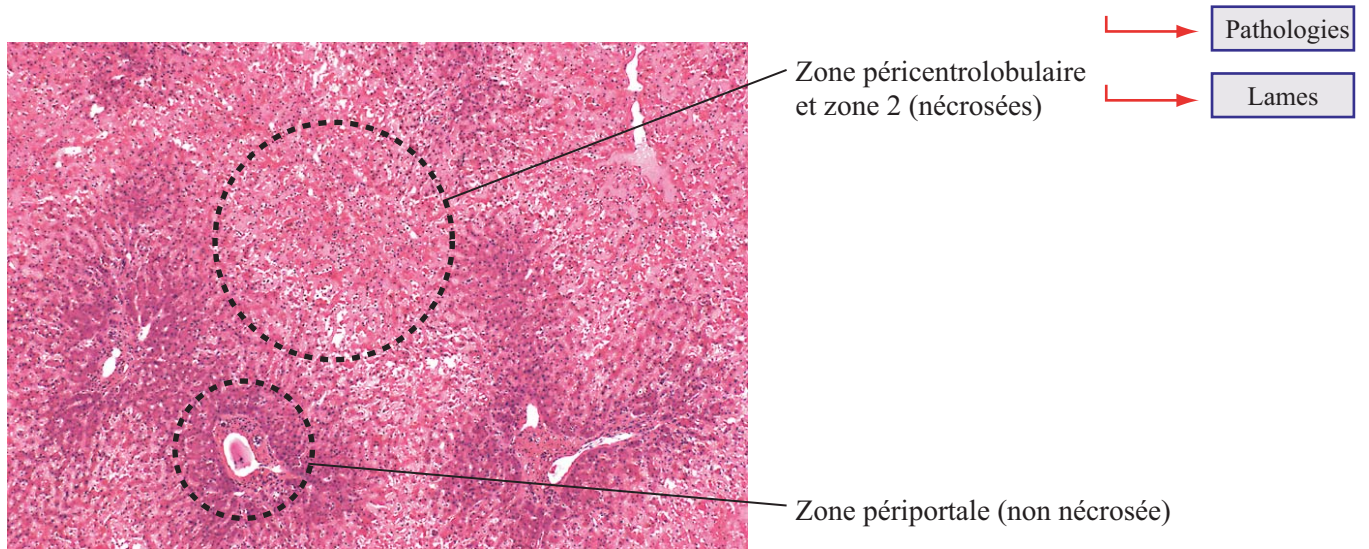




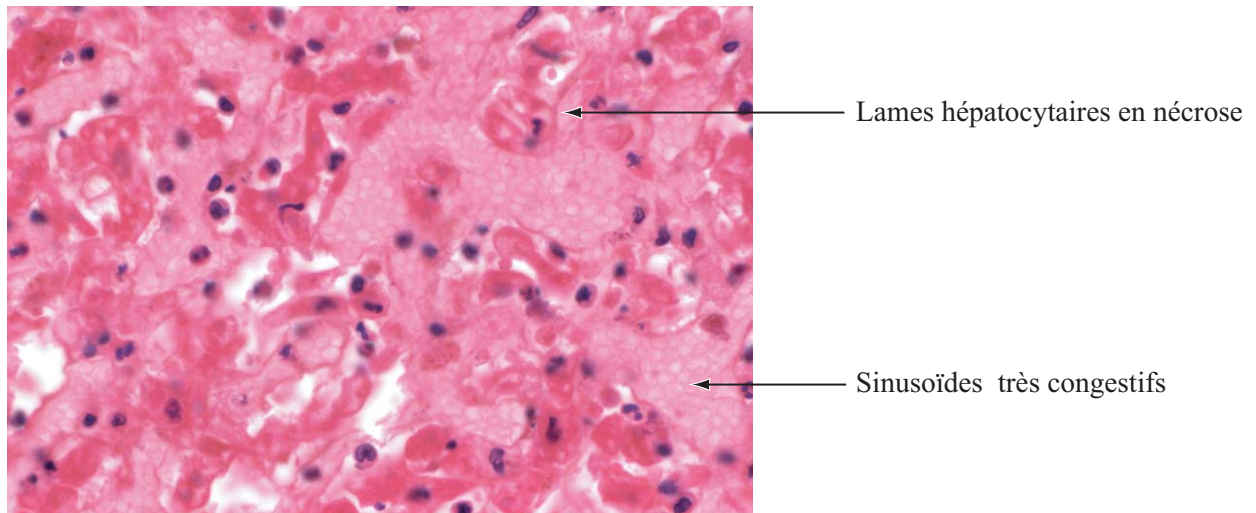


DETAIL DE LA ZONE PERICENTROLOBULAIRE (3)





DETAIL DES ZONES 2 et 3

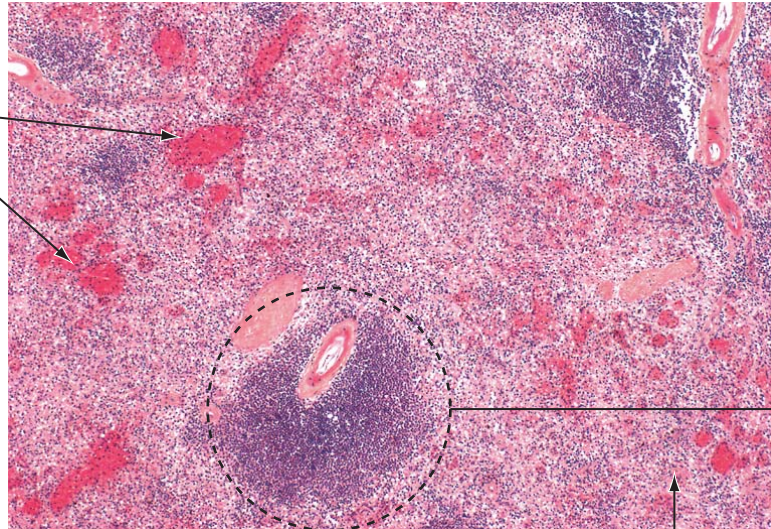


AP043 Splénomégalie congestive (décompensation cardiaque droite)

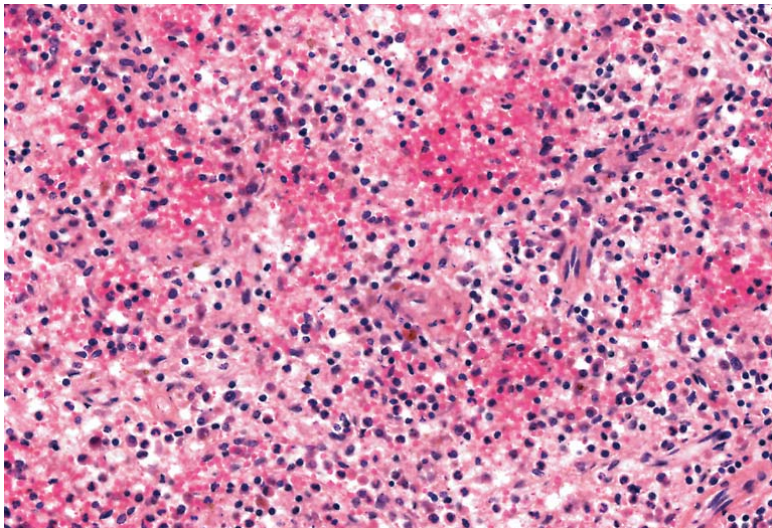
Pathologies

Lames

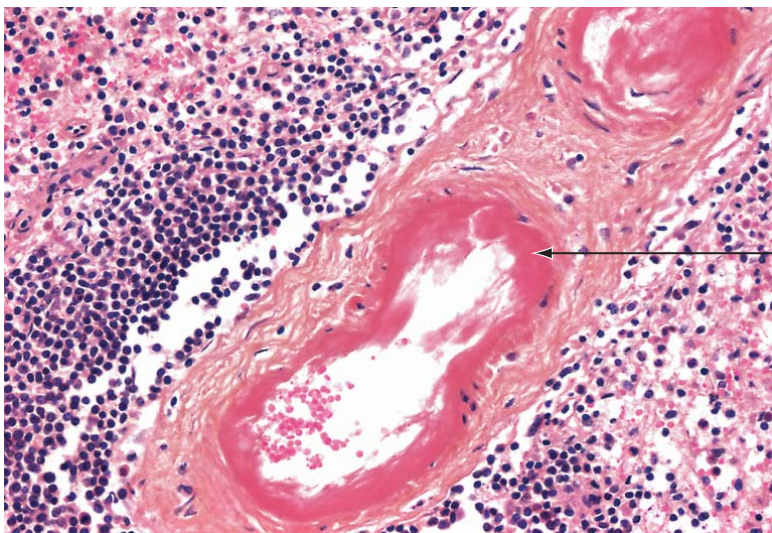
Veinules sinusoides dilatées



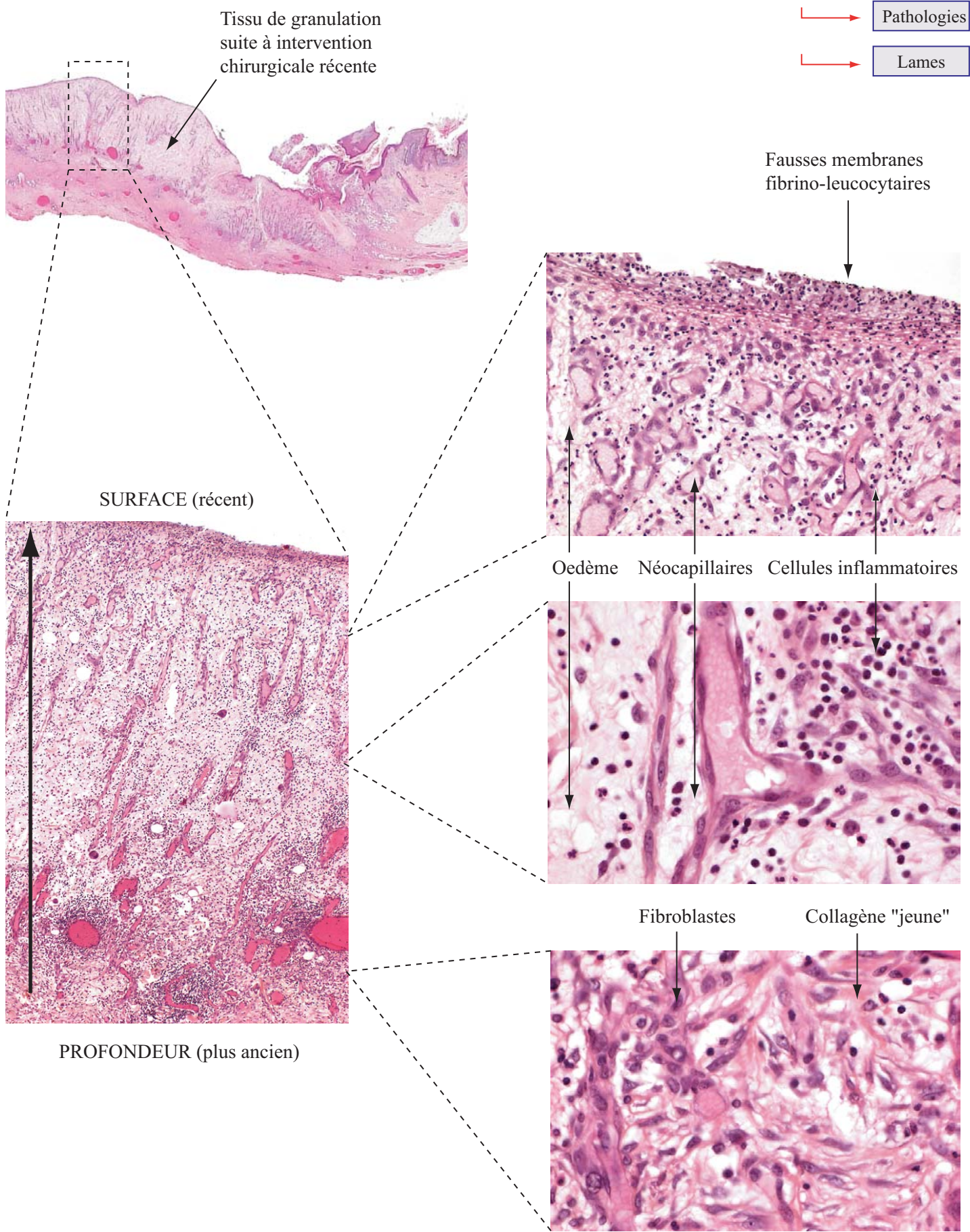
Pulpe blanche non modifiée



Pulpe rouge congestive (volume relatif augmenté par rapport à pulpe blanche)



Hyalinose artériolaire  
- liée à la sénescence  
- pas de relation avec décompensation cardiaque  
- Rouge Congo négative





Pathologies

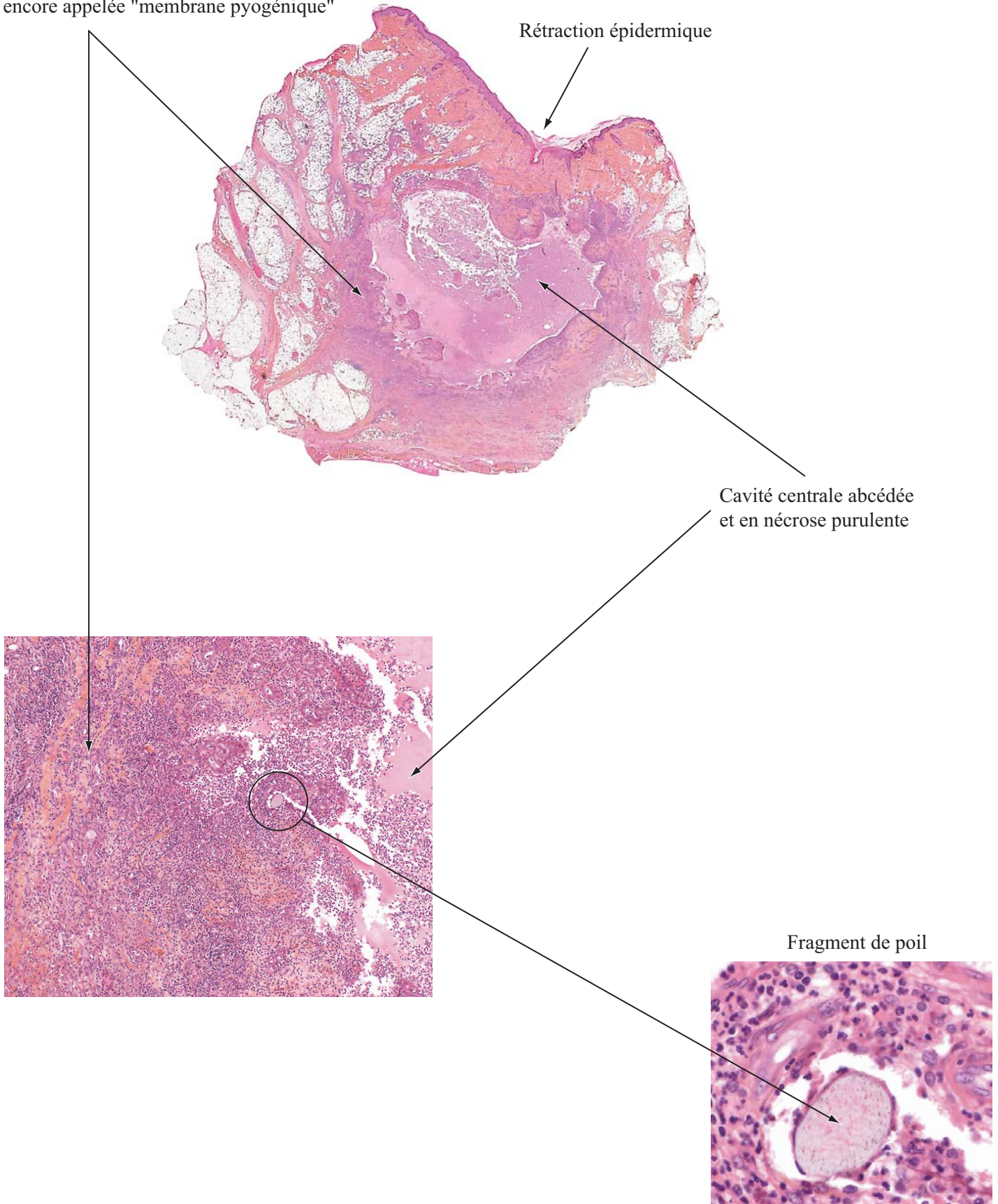
Lames

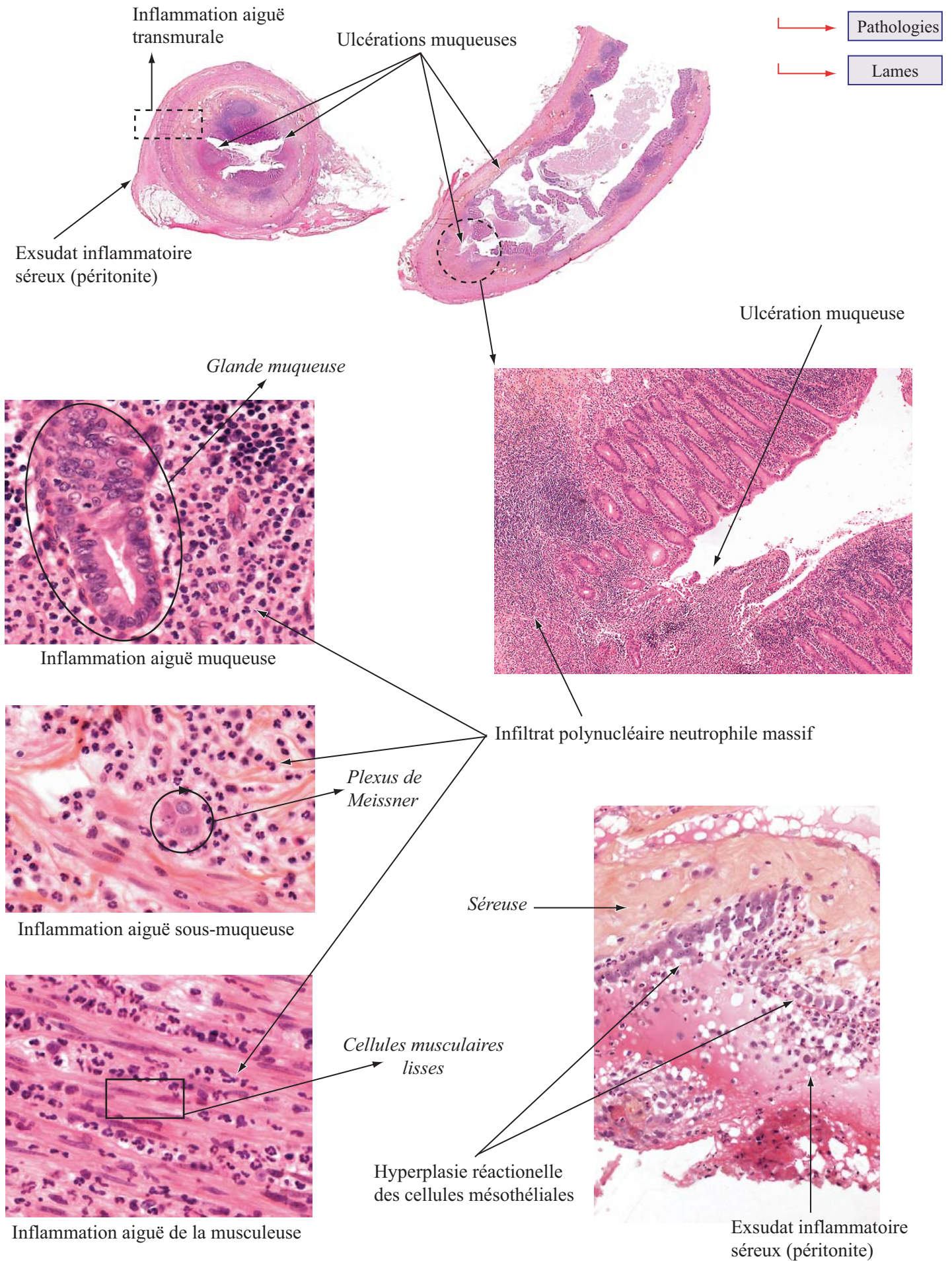
Paroi de l'abcès en cours d'organisation  
(tissu de granulation inflammatoire),  
encore appelée "membrane pyogénique"

Rétraction épidermique

Cavité centrale abcédée  
et en nécrose purulente

Fragment de poil





**Muqueuse "préservée"**

**Zone de nécrose hémorragique**

**Tissu de granulation inflammatoire**

**Aspect en cité fantôme (architecture reconnaissable)**

**INFLAMMATION DEBUTANTE**

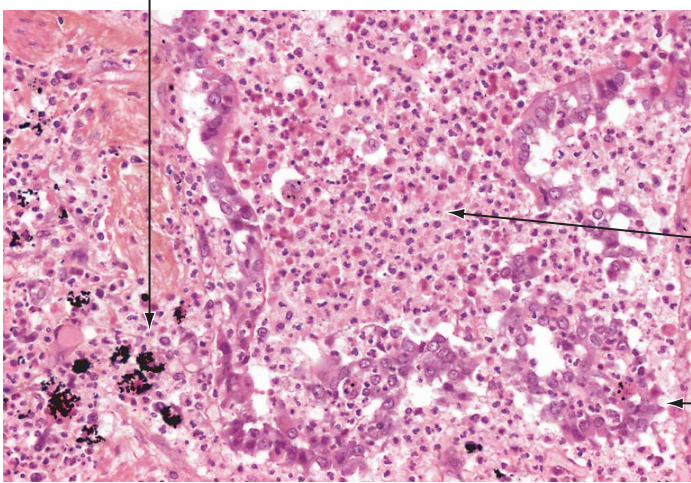
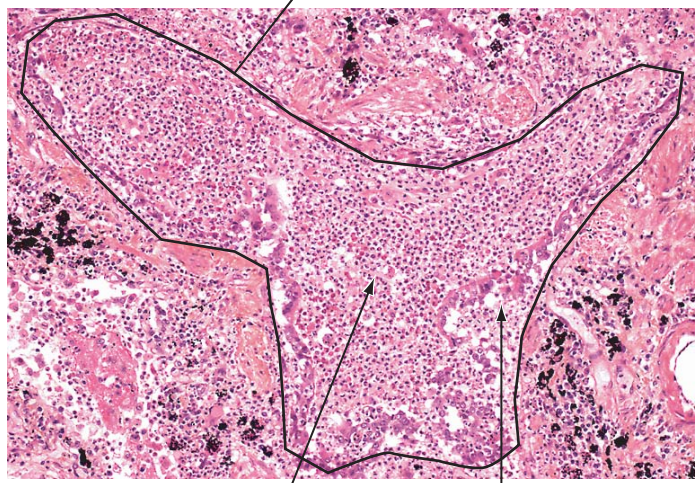
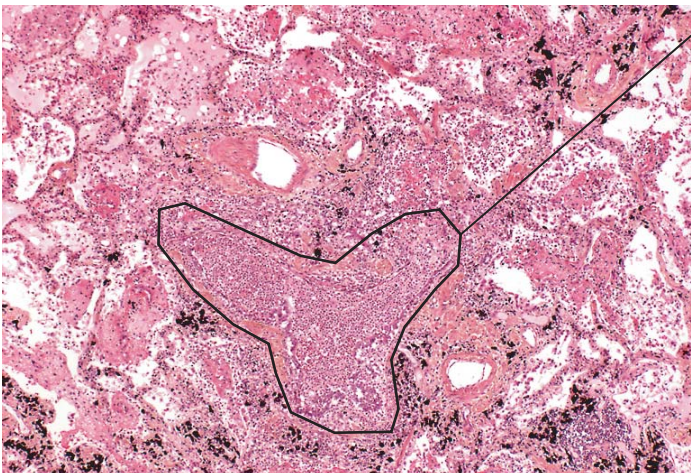
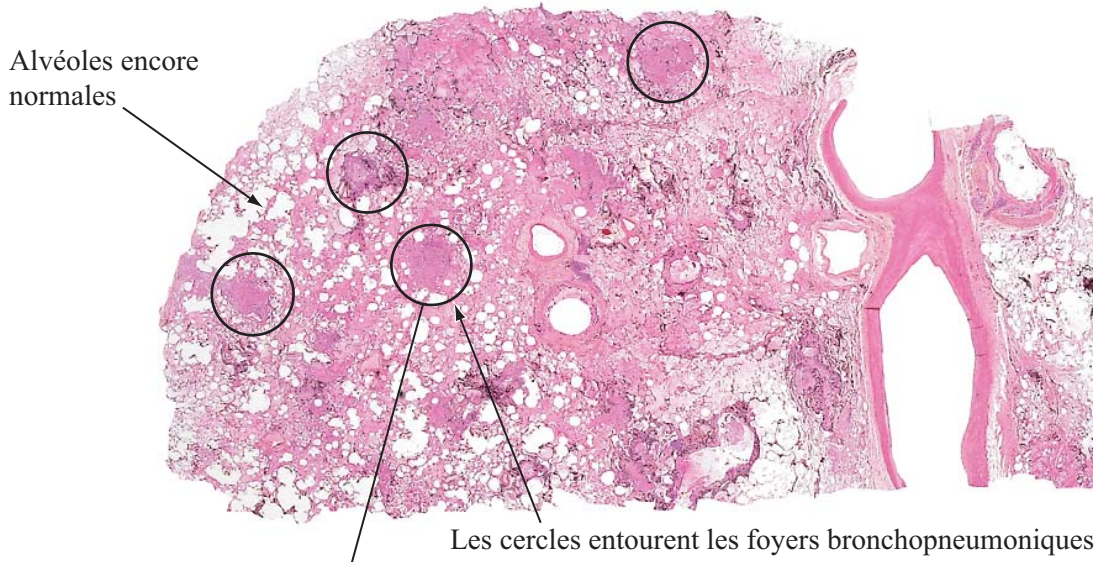
**TISSU DE GRANULATION EN CONSTITUTION**

**Pathologies**

**Lames**

- Congestion vasculaire
- Infiltrat lymphocytaire chorial (fond de cholécystite chronique)
- Oedème
- Polynucléaires neutrophiles
- Oedème hémorragique
- Congestion veineuse et thrombus
- Fibroblastes jeunes
- Dépôts collagène
- Néo-capillaires
- Lumière capillaire en cours de creusement (néoangiogenèse)

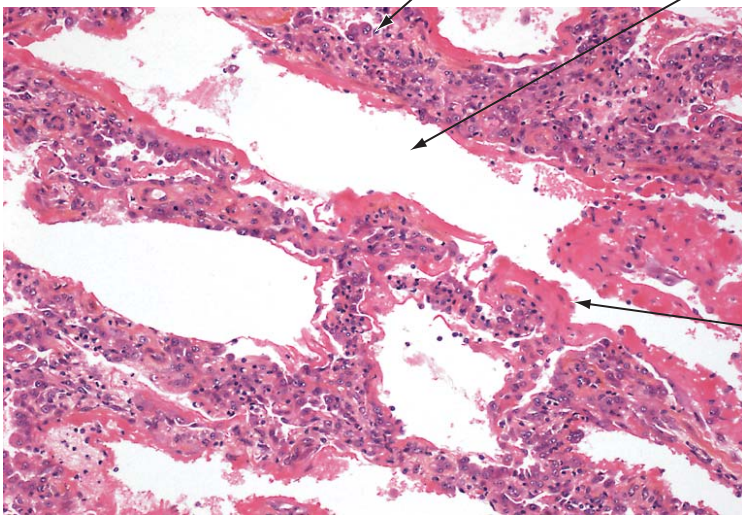
Pathologies  
Lames



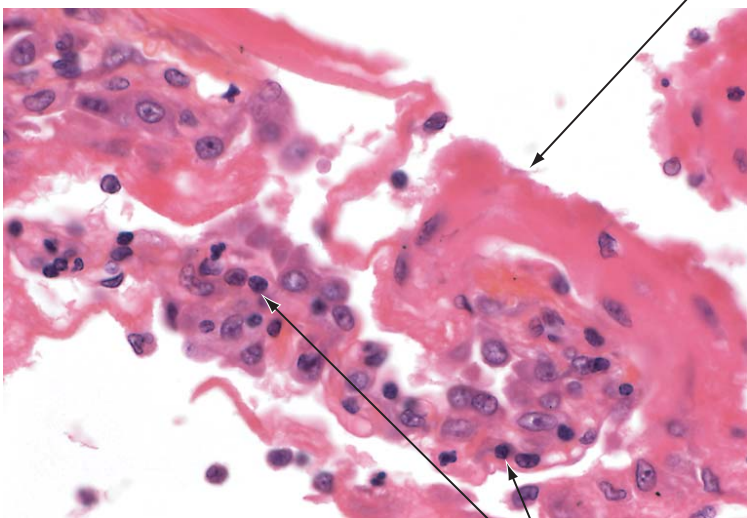
Pathologies  
Lames



Alternance de zones densifiées et d'alvéoles en hyperinflation

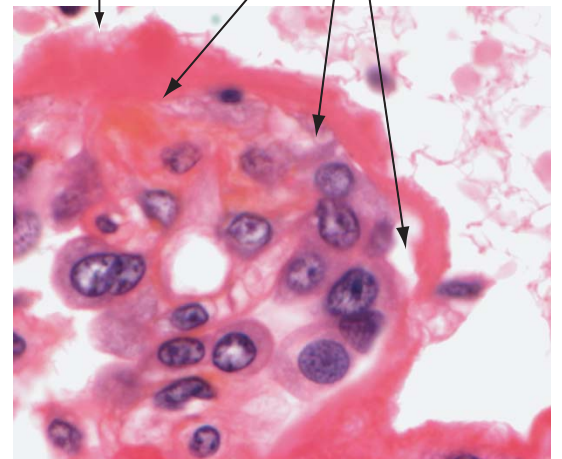


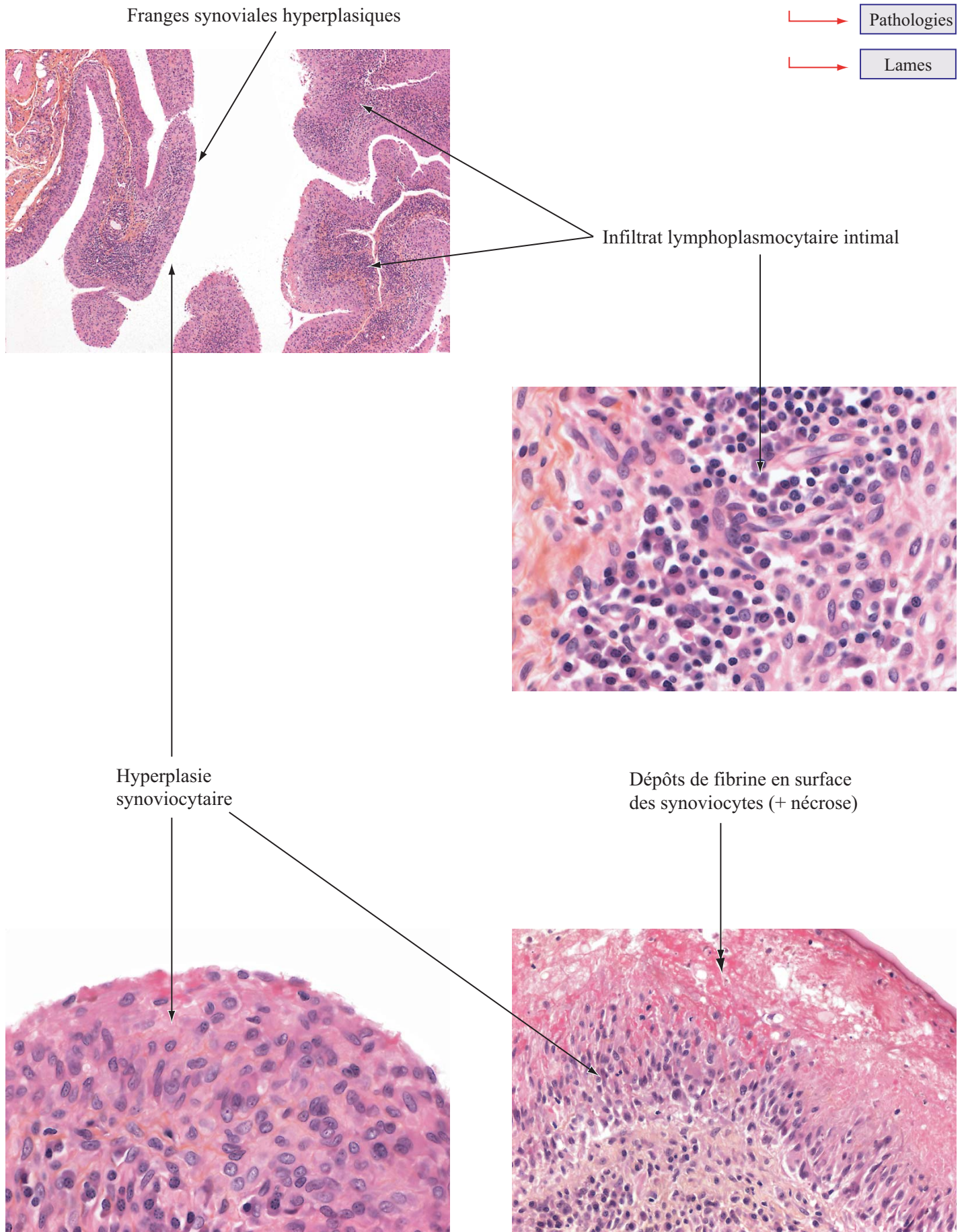
Membranes hyalines  
(dépôts protéiques éosinophiles  
en bande sur le revêtement  
alvéolaire décapé)



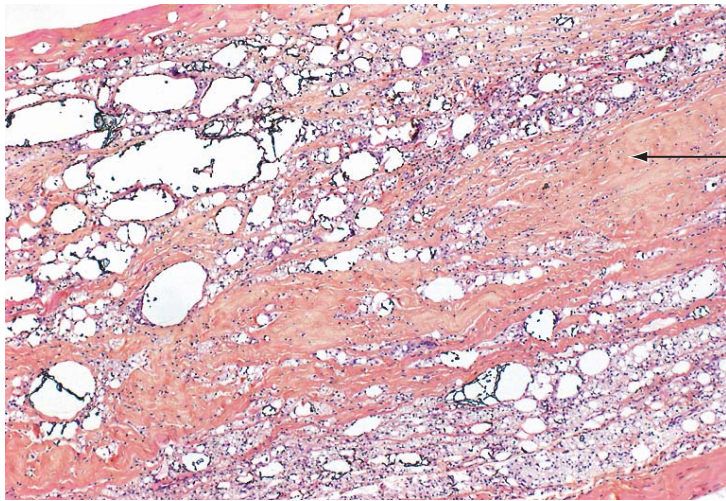
Peu d'inflammation interstitielle (rars lymphocytes)  
ou dans les espaces alvéolaires (discret oedème)

Disparition des  
pneumocytes I et II





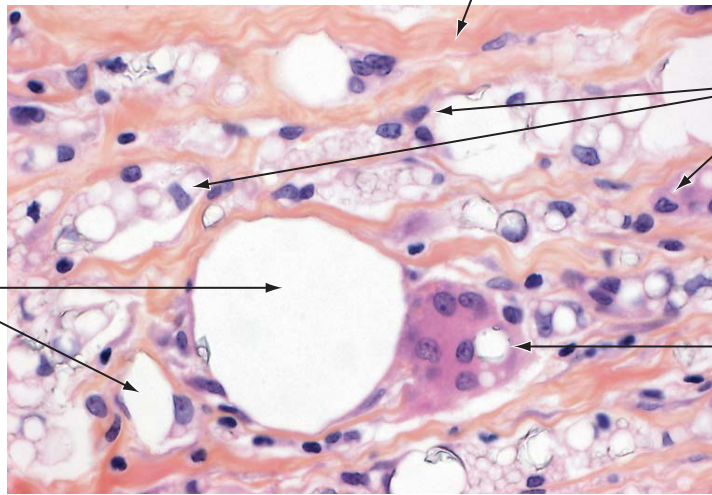
AP107 Coque de prothèse mammaire rompue (réaction de type corps étranger contre silicone)



Pathologies  
Lames

Fibrose cicatricielle

*Les espaces clairs correspondent aux dépôts de silicone qui ne peuvent être "digérés" par les cellules épithélioïdes ou géantes. Ils apparaissent tantôt intracellulaires, tantôt extracellulaires*



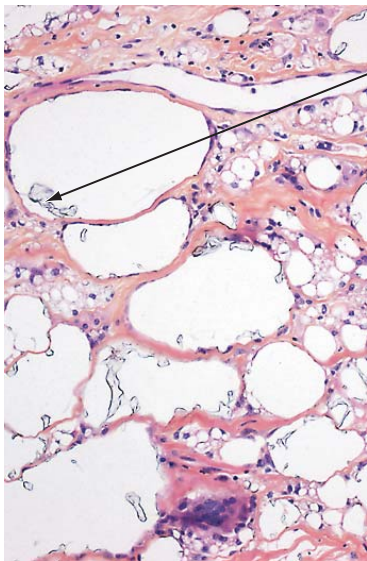
Cellules épithélioïdes

Vacuoles de silicone

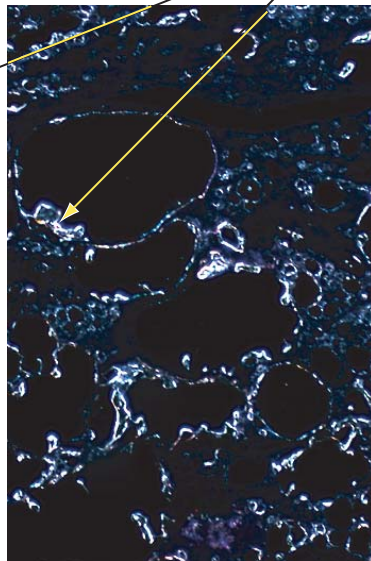
Cellule géante multinucléée

Silicone

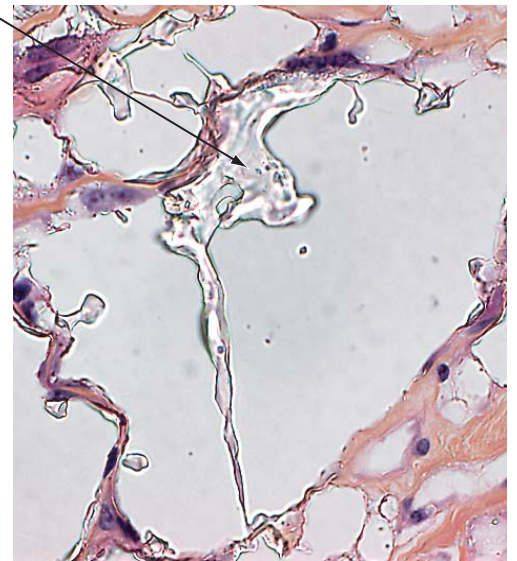
Champs identiques



LUMIERE TRANSMISE



FOND NOIR  
le silicone "brille"

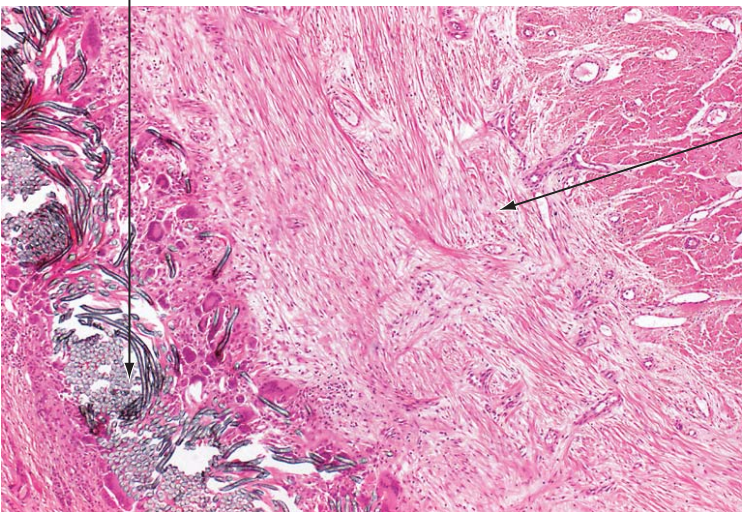
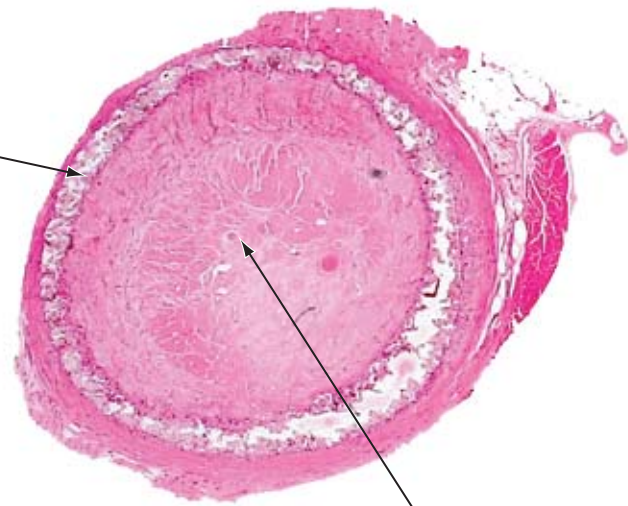


FAIBLE OUVERTURE DIAPHRAGMATIQUE  
le silicone est réfringent

AP100 Réaction contre corps étranger (greffe vasculaire en Dacron type bypass, thrombosée)

Pathologies  
Lames

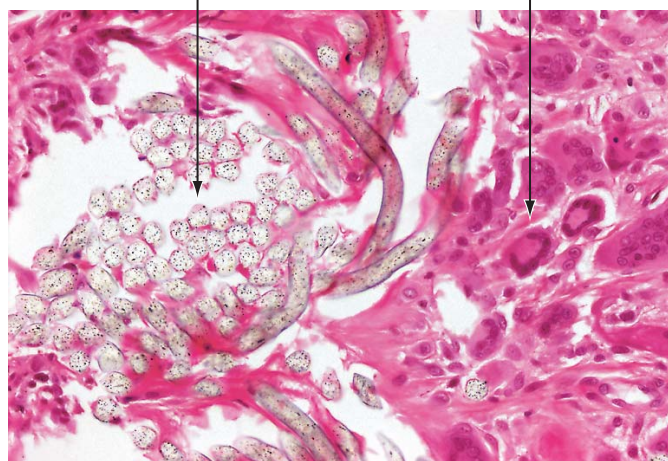
Paroi de la greffe vasculaire en Dacron (fils synthétiques tressés)



"Lumière" vasculaire oblitérée par un thrombus complètement cicatrisé (tissu conjonctif dense comportant des néovaisseaux)

Fils tressés en Dacron

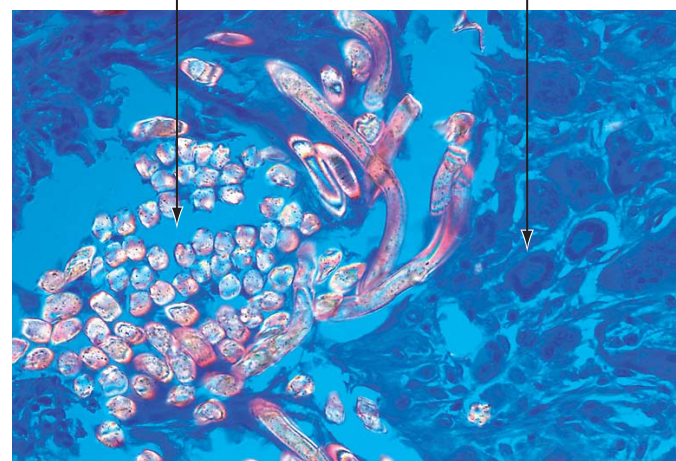
Cellules géantes multinucléées contre corps étrangers



MICROSCOPIE CONVENTIONNELLE

Fils tressés en Dacron

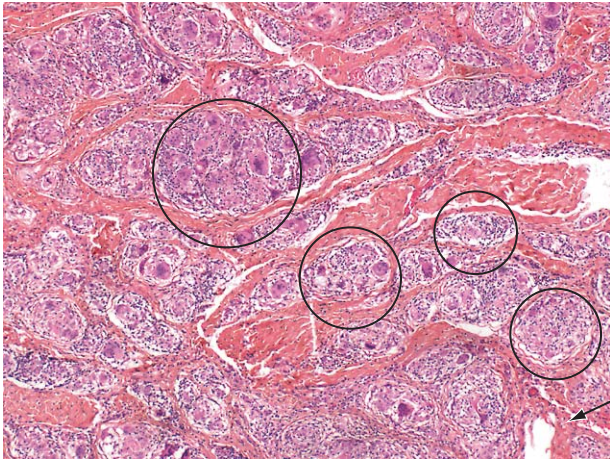
Cellules géantes multinucléées contre corps étrangers



MICROSCOPIE EN "FOND NOIR"

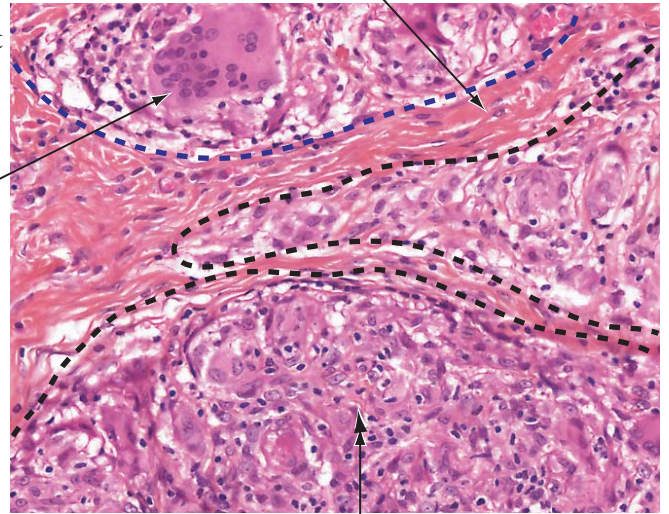


Pathologies  
Lames

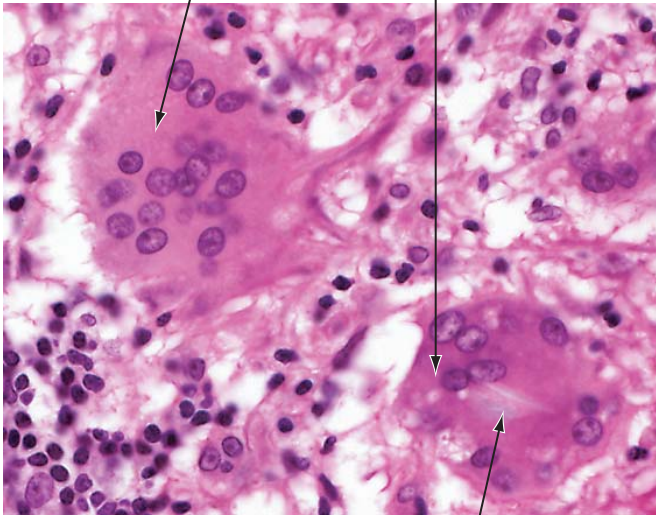


Quelques granulomes sont entourés d'un cercle, ils sont séparés les uns des autres par un **tissu conjonctif cicatriciel**

Les limites des granulomes sont entourées de pointillés



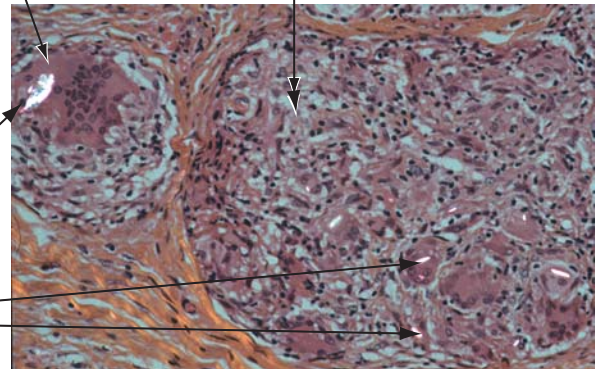
Cellules géantes multinucléées (+)



Cellules épithélioïdes (+++)

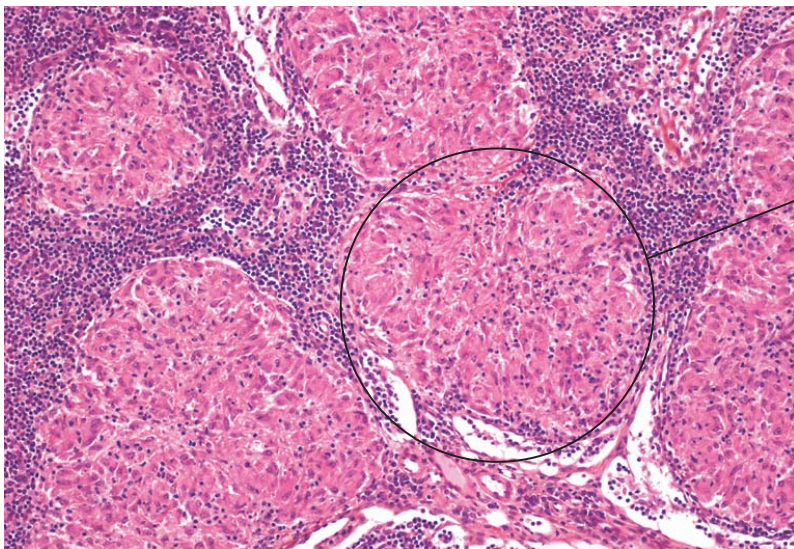
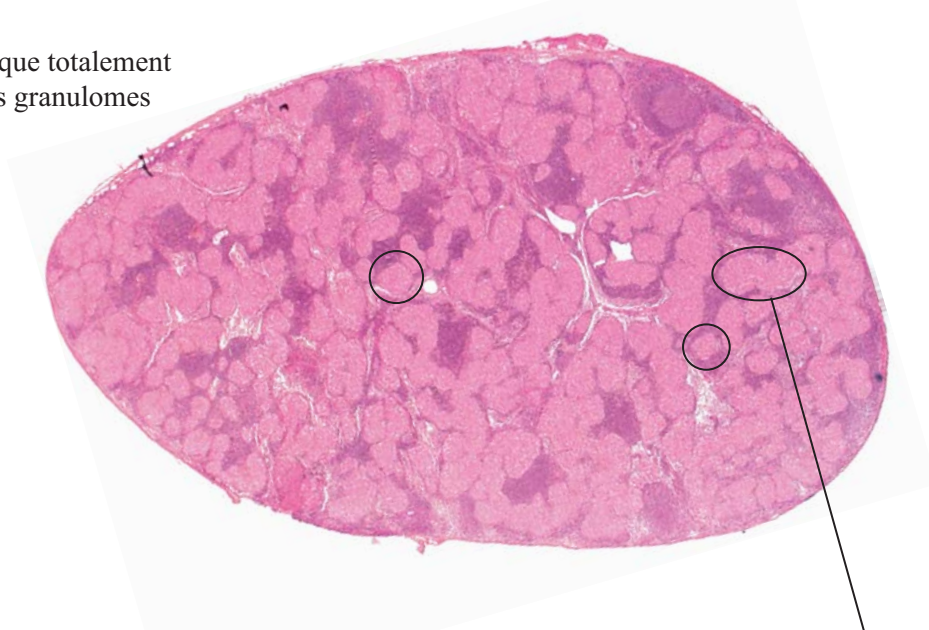
Empreinte de particule de talc

Particules de talc en lumière polarisée

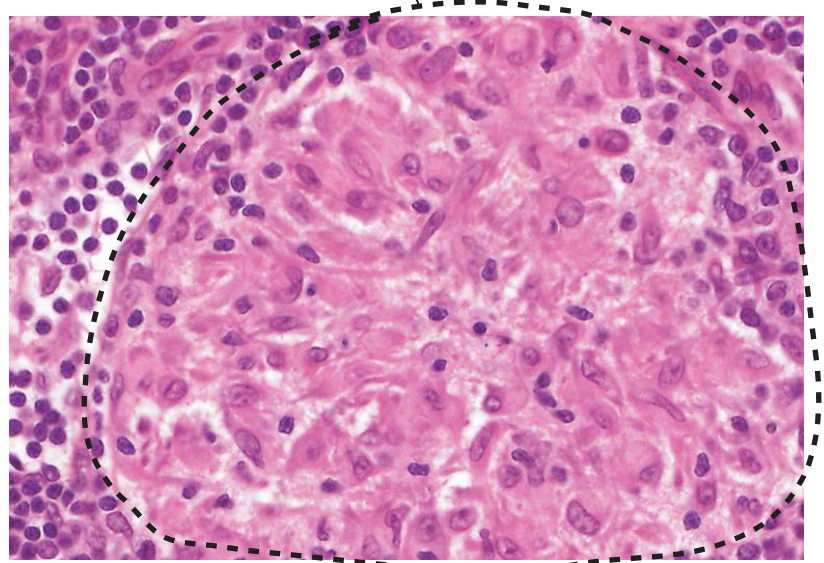


Ganglion presque totalement occupé par des granulomes

Pathologies  
Lames



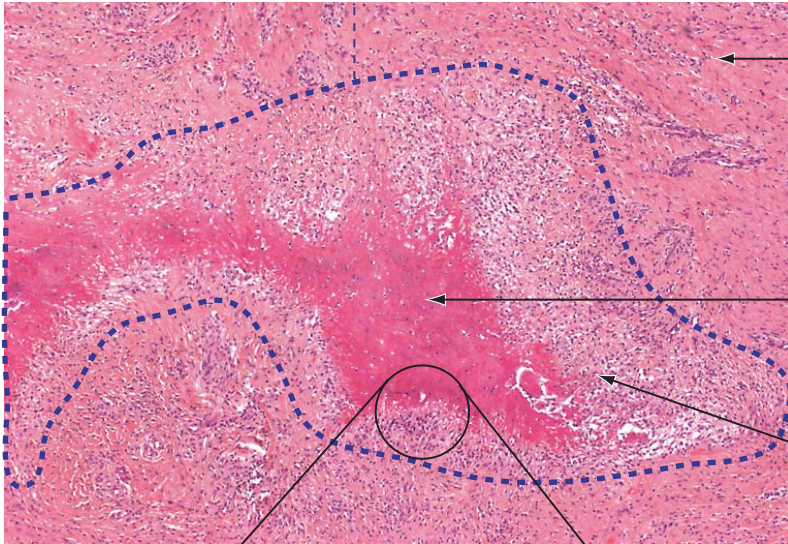
- Granulomes:**
- taille moyenne
  - individualisés
  - peu confluents
  - pas de nécrose
  - rares cellules géantes
  - cellules épithélioïdes majoritaires



Pathologies

Lames

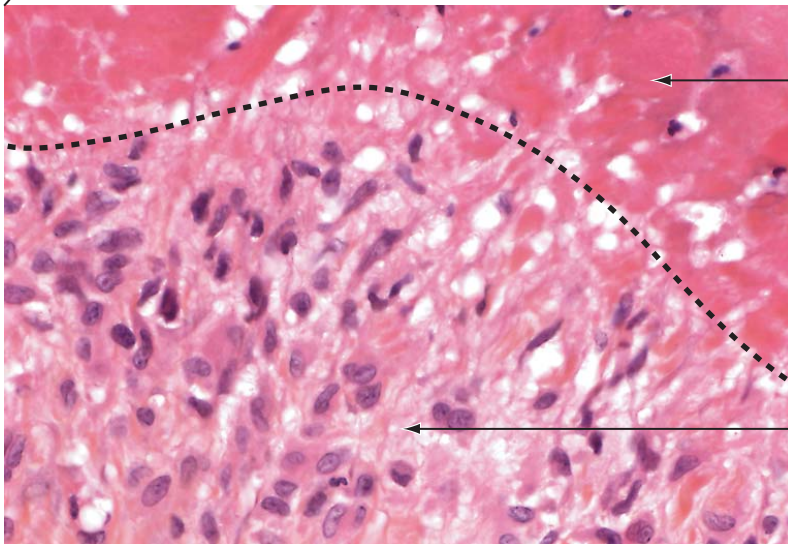
Granulome



Tissu conjonctif ligamentaire

Nécrose centrale

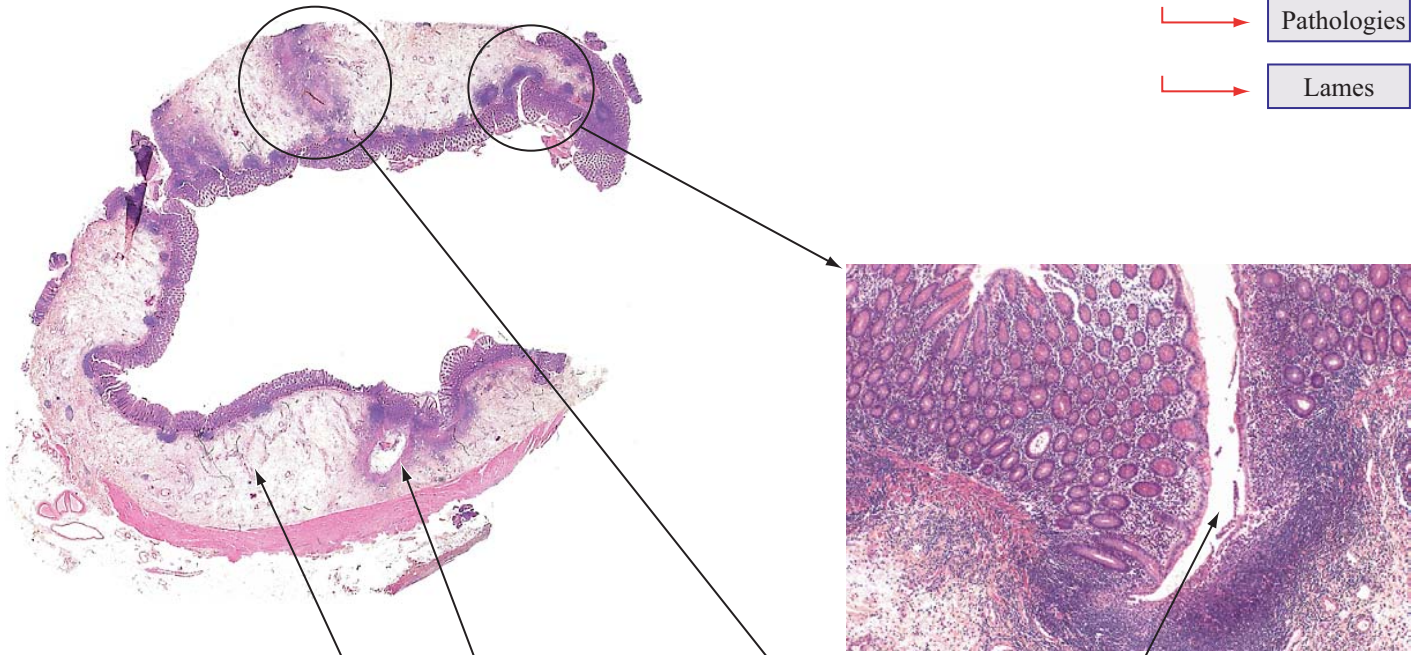
Palissade de cellules épithélioïdes



Nécrose centrale

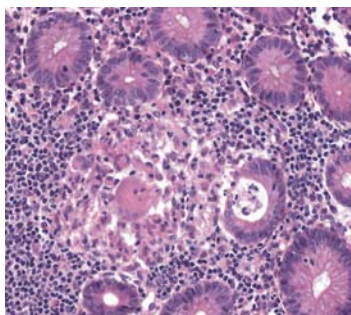
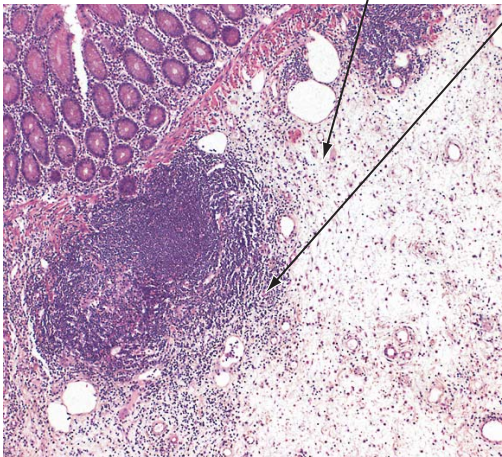
Palissade de cellules épithélioïdes

Pathologies  
Lames

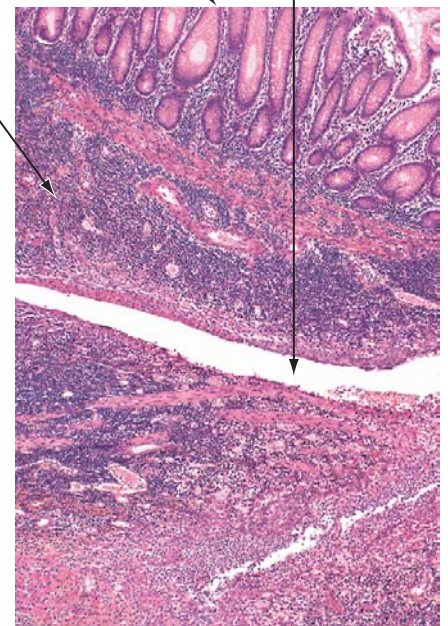


Sous-muqueuse: **oedème** et **inflammation** chroniques

Fissures muqueuses se prolongeant dans la sous-muqueuse



Granulomes épithélioïdes:  
- discrets et difficiles à trouver  
- de petite taille,  
- sans nécrose,  
- rares cellules géantes.

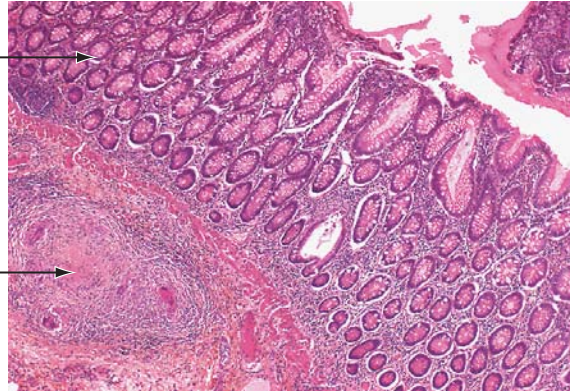


Ces fissures peuvent atteindre la séreuse et la dépasser

Pathologies  
Lames

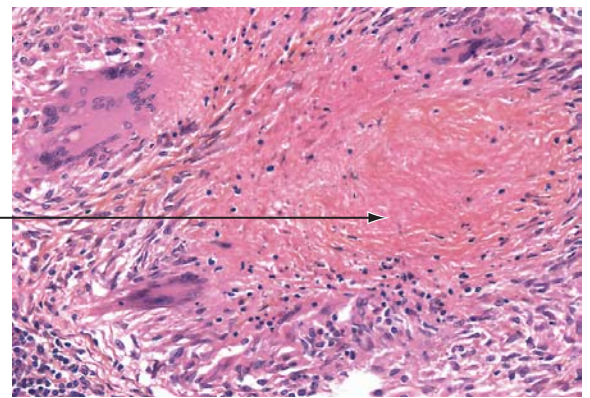
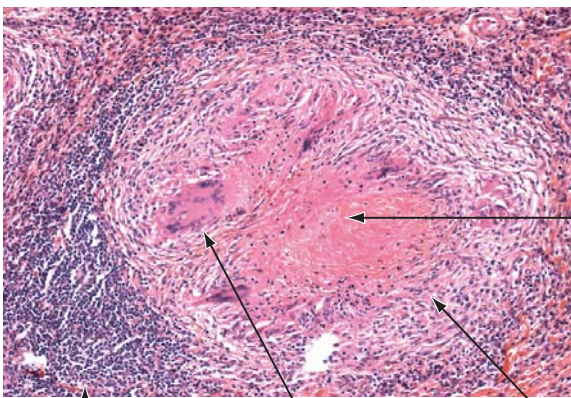
Muqueuse caecale  
(type colique)

Sous-muqueuse  
occupée par des  
granulomes



Granulome en nécrose caséuse

Détail



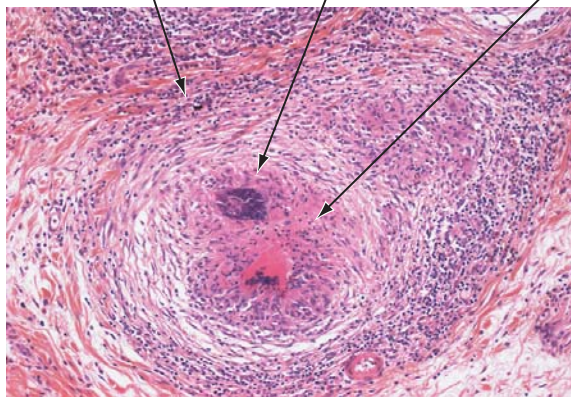
Nécrose  
caséuse

Bordure  
lymphocytaire

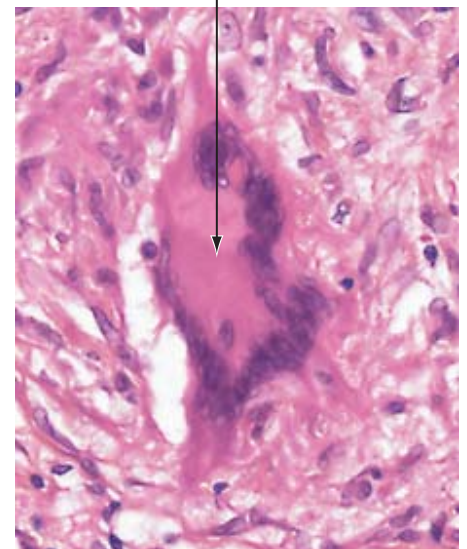
Cellules géantes  
multinucléées

Cellules  
épithélioïdes

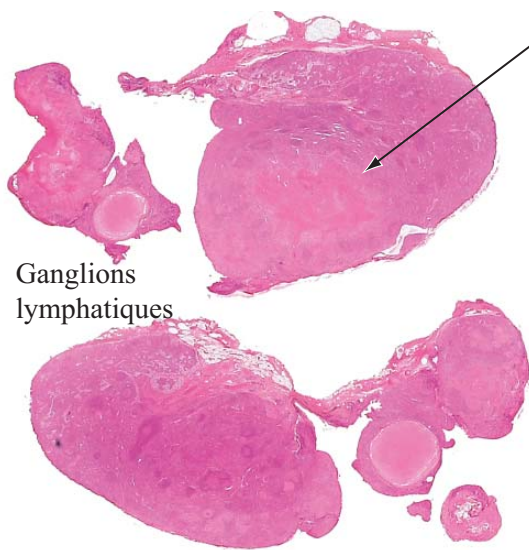
Cellule géante de type Langhans



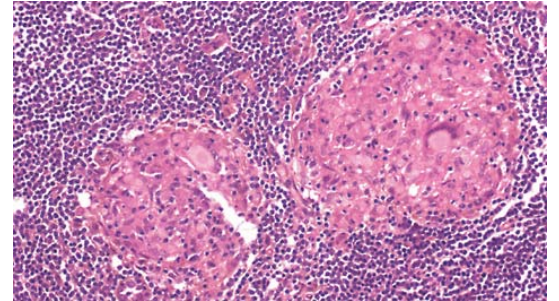
Granulome sans nécrose caséuse



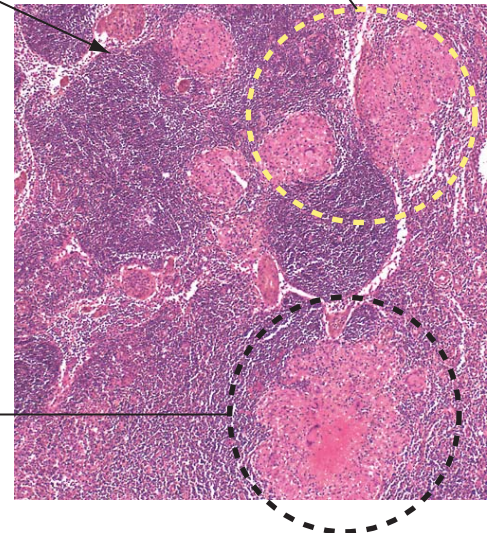
Pathologies  
Lames



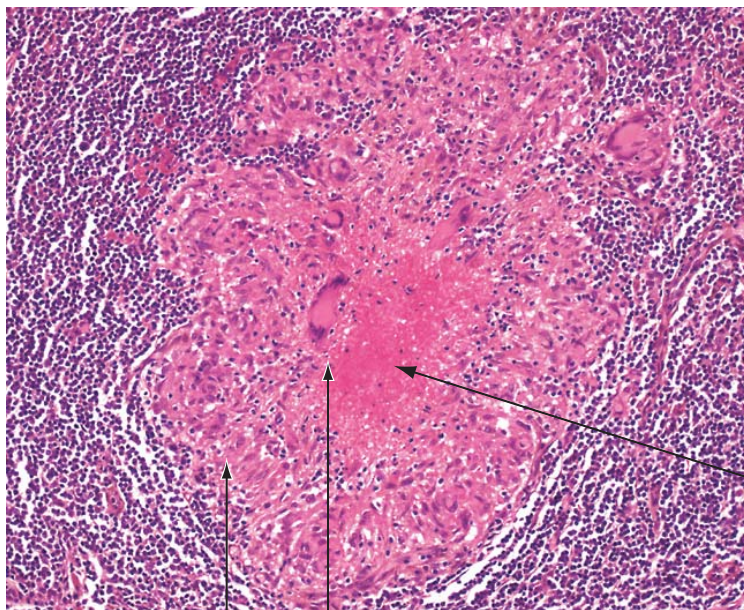
Granulomes sans nécrose caséuse



Tissu lymphoïde ganglionnaire



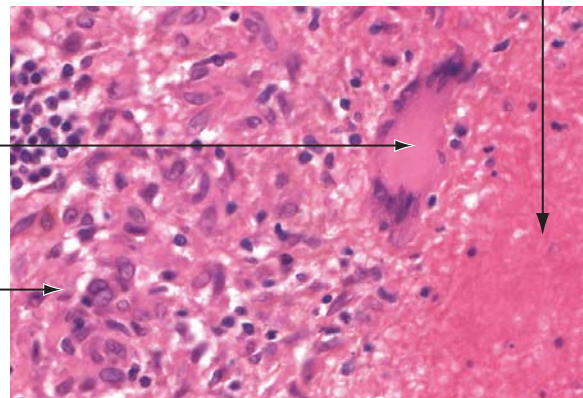
Granulome en nécrose caséuse



Nécrose caséuse

Cellule géante multinucléée

Cellules épithélioïdes

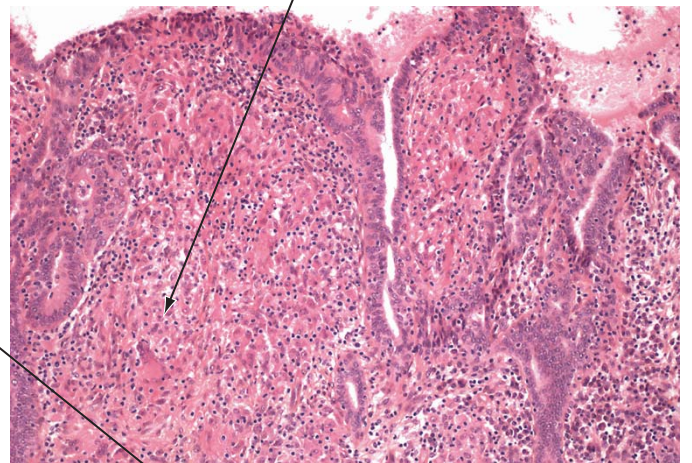
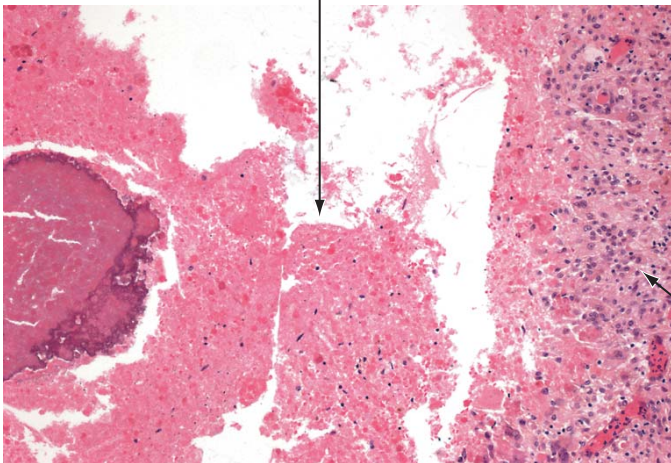


Pathologies  
Lames



"Caverne" tuberculeuse  
(coalescence de granulome  
en nécrose caséuse)

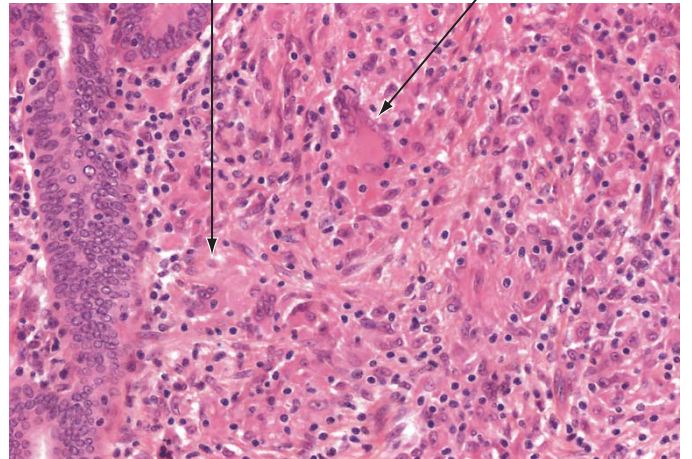
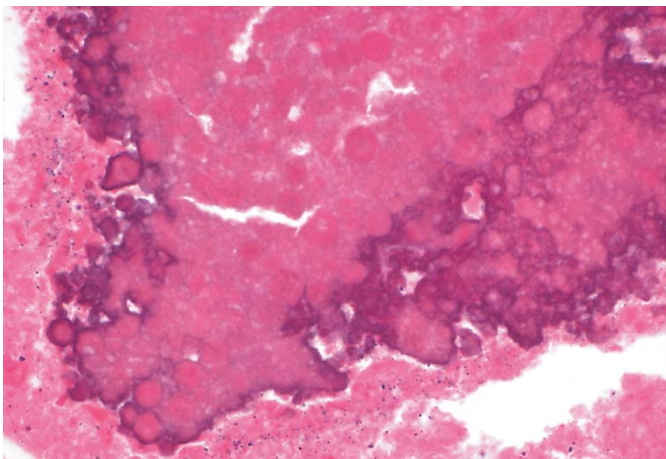
Granulomes "discrets" muqueux



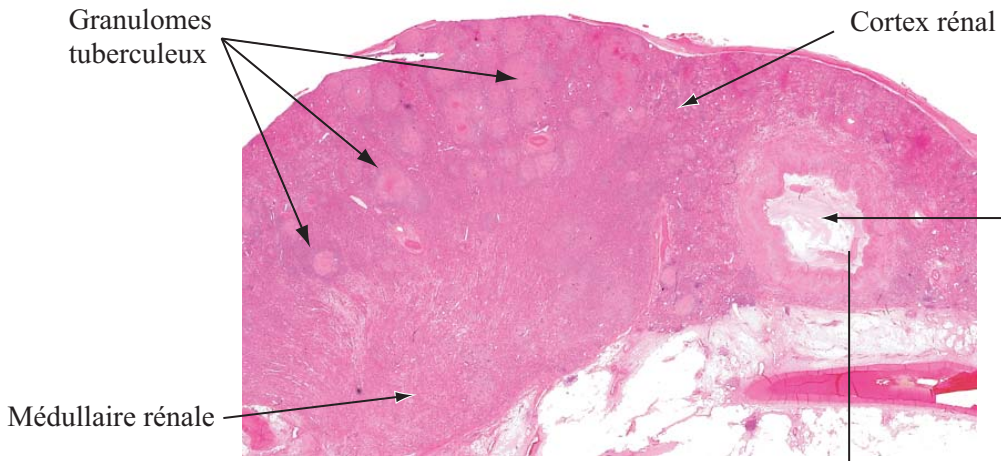
Calcifications post-nécrotiques

Cellules  
épithélioïdes

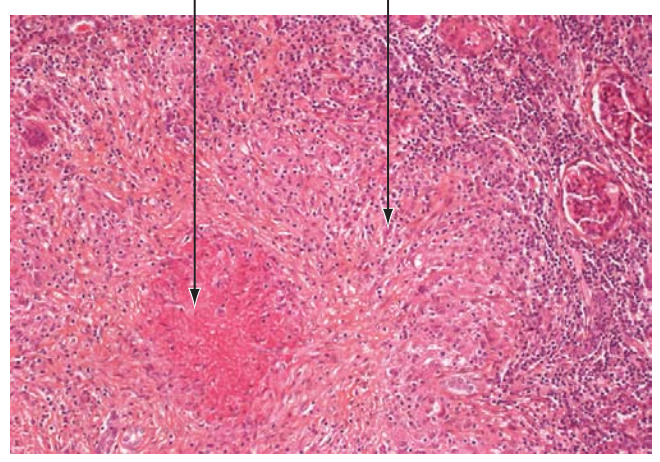
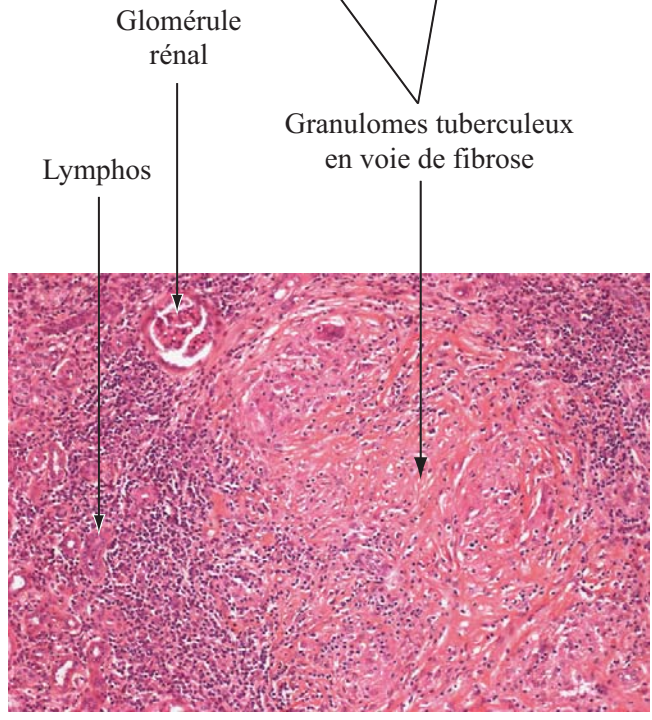
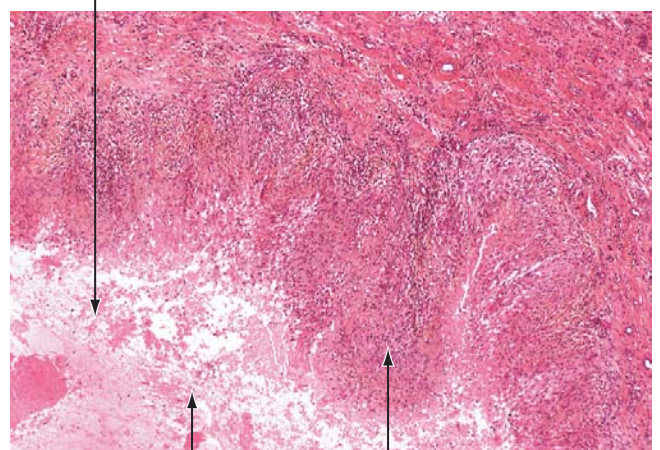
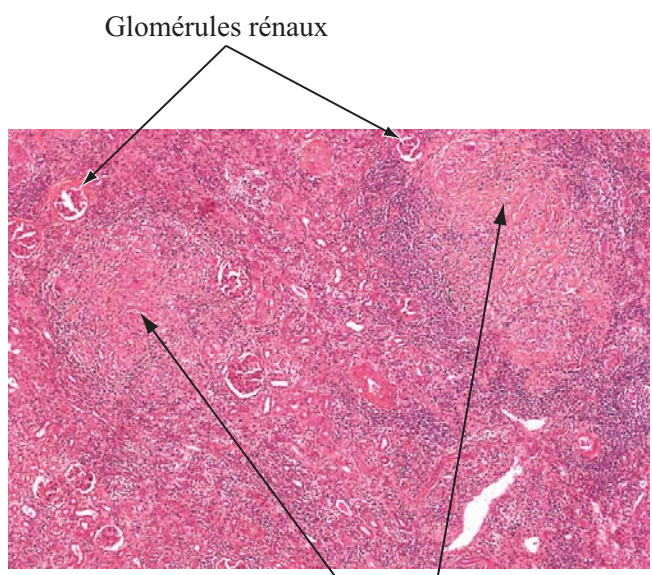
Cellule géante  
multinucléée



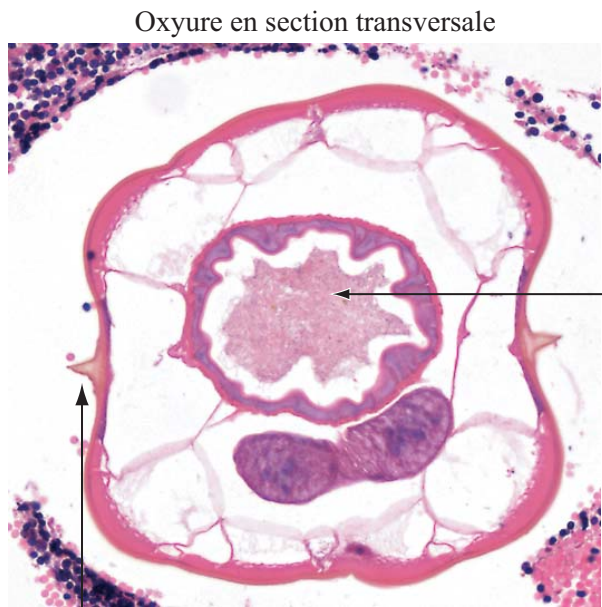
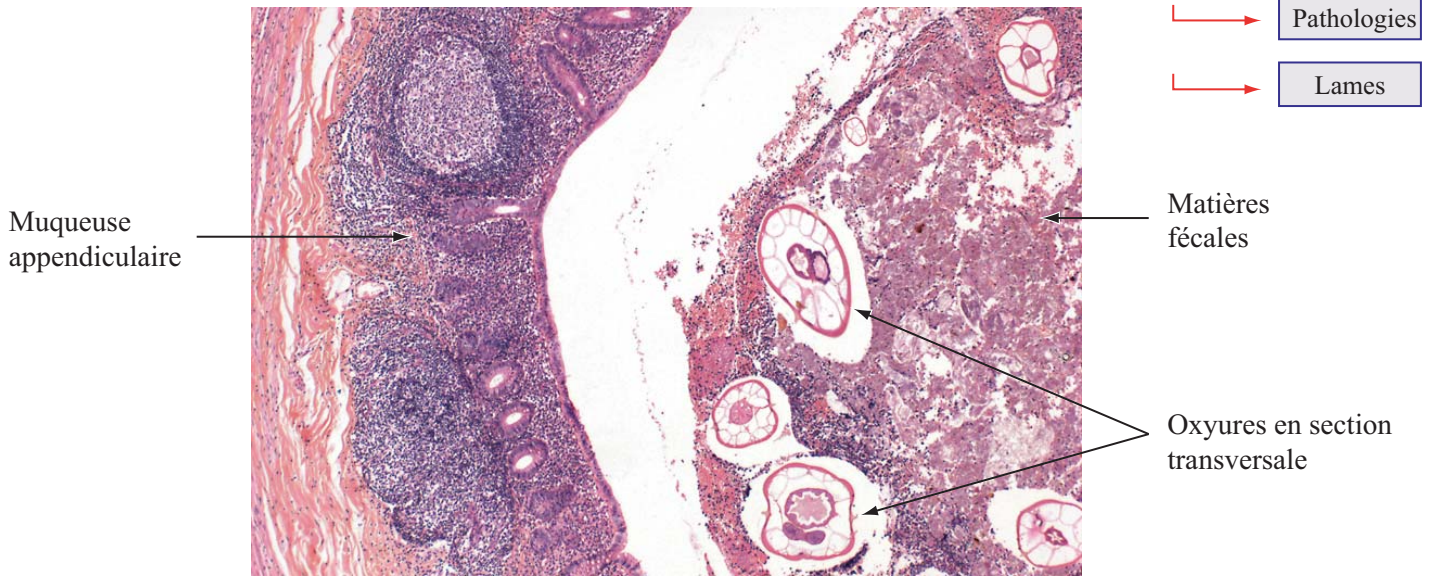
Pathologies  
Lames



Caverne tuberculeuse (coalescence de granulomes en nécrose caséuse)

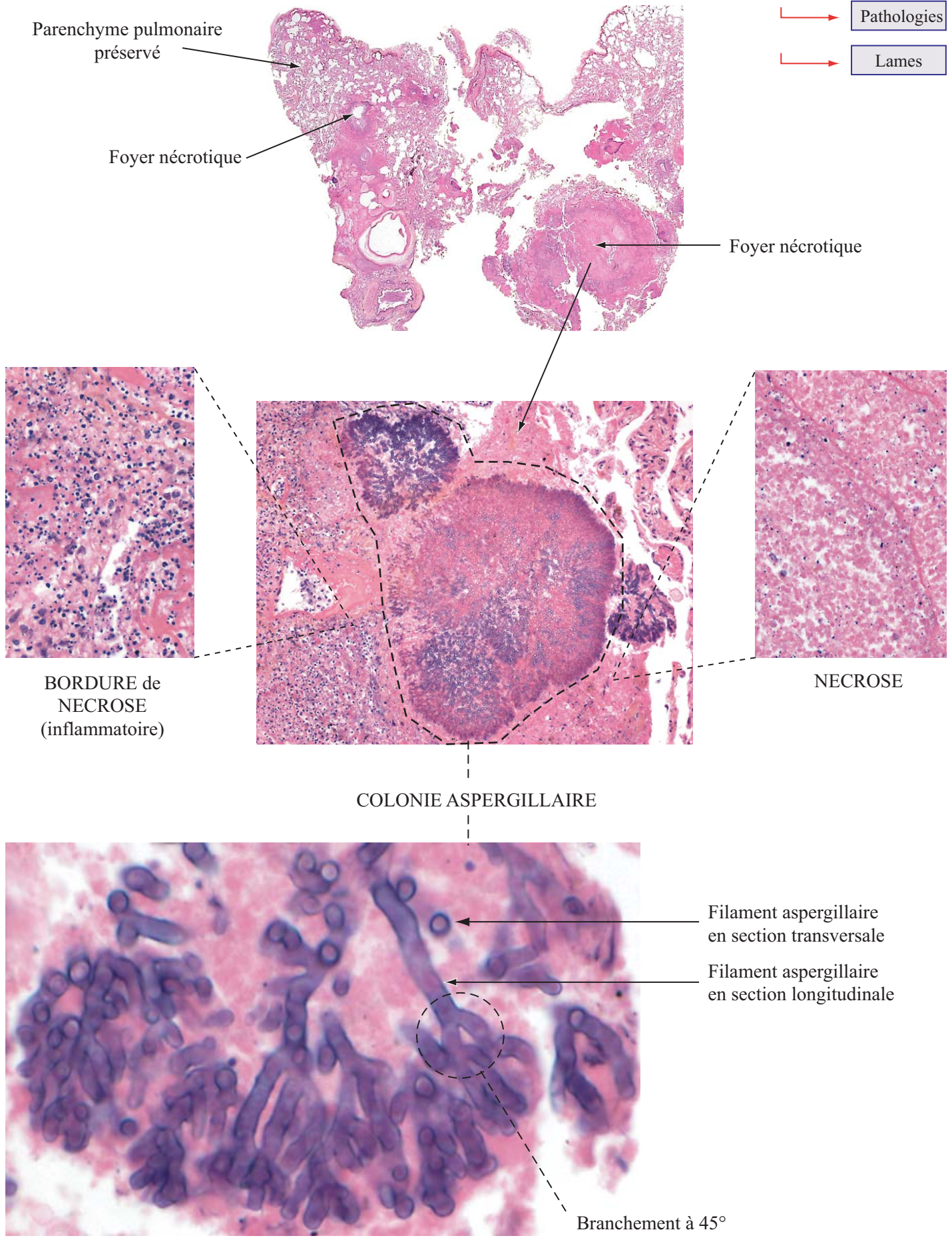




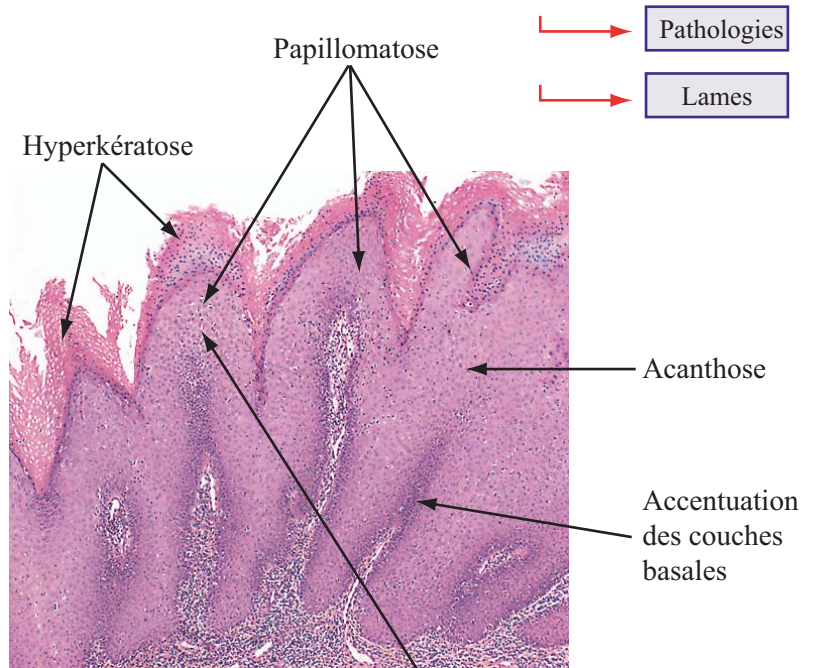
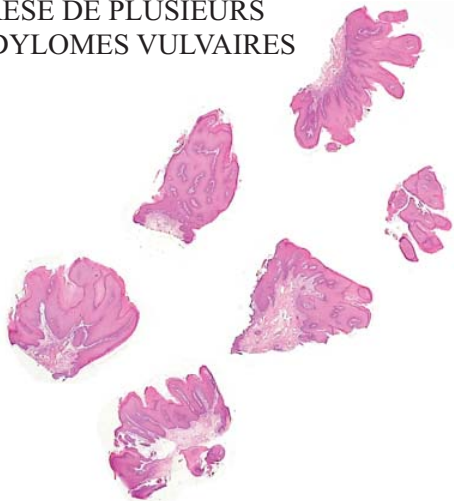


Eperon latéral

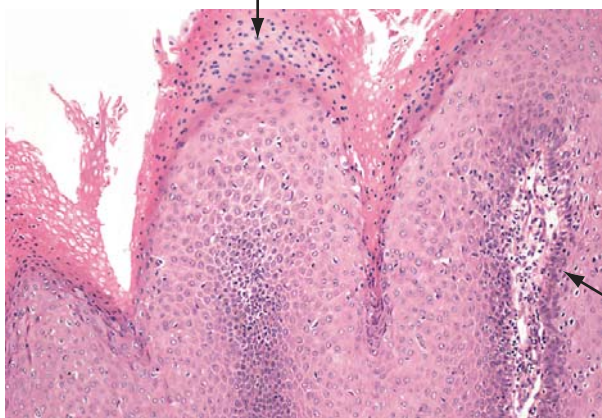
Oeufs



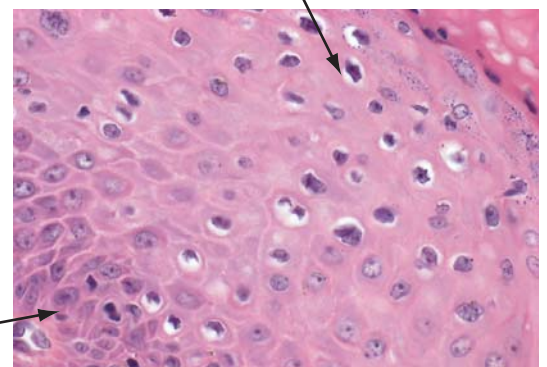
EXERESE DE PLUSIEURS  
CONDYLOMES VULVAIRES



Hyperkératose parakératosique  
(persistance des noyaux)



Koilocytose

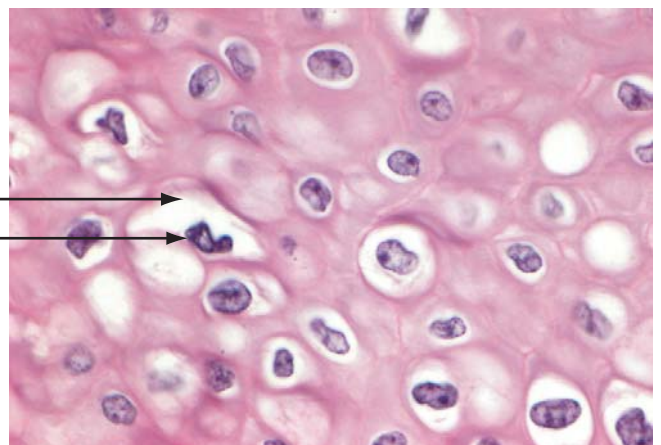


Mitoses dans les couches  
suprabasales et intermédiaires



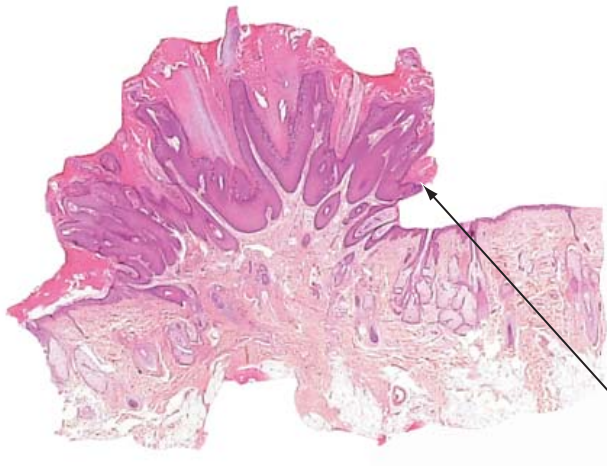
**Koilocytes**

- vacuoles claires périnucléaires
- noyaux denses et chiffonnés

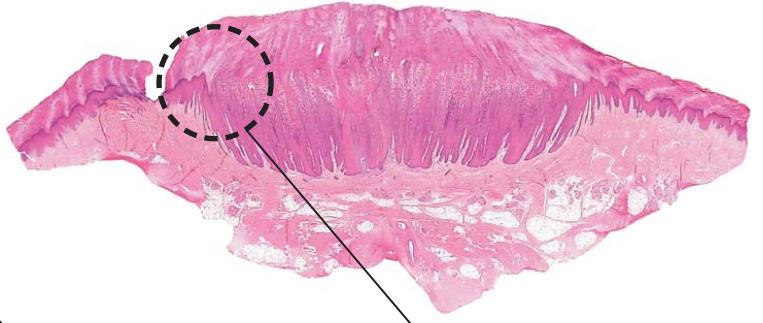


Pathologies  
Lames

VERRUE VULGAIRE en peau fine (exophytique)



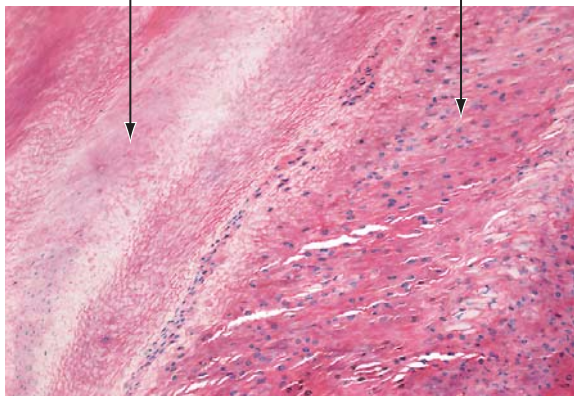
VERRUE VULGAIRE en peau palmo-plantaire (endophytique)



Papillomatose

Hyperkératose orthokératosique

Hyperkératose parakératosique

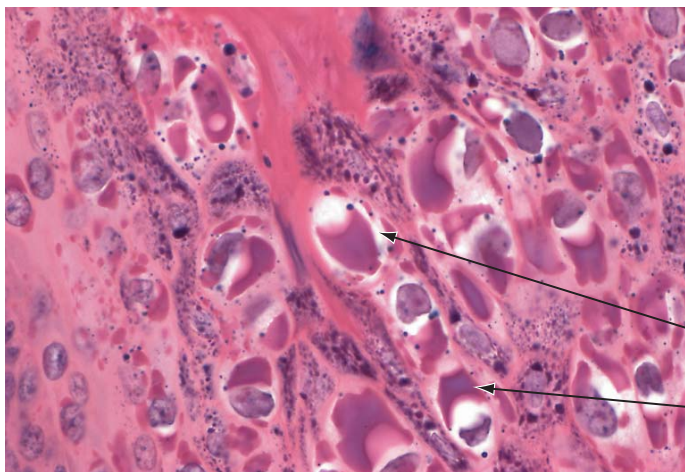


KERATINISATION ANORMALE



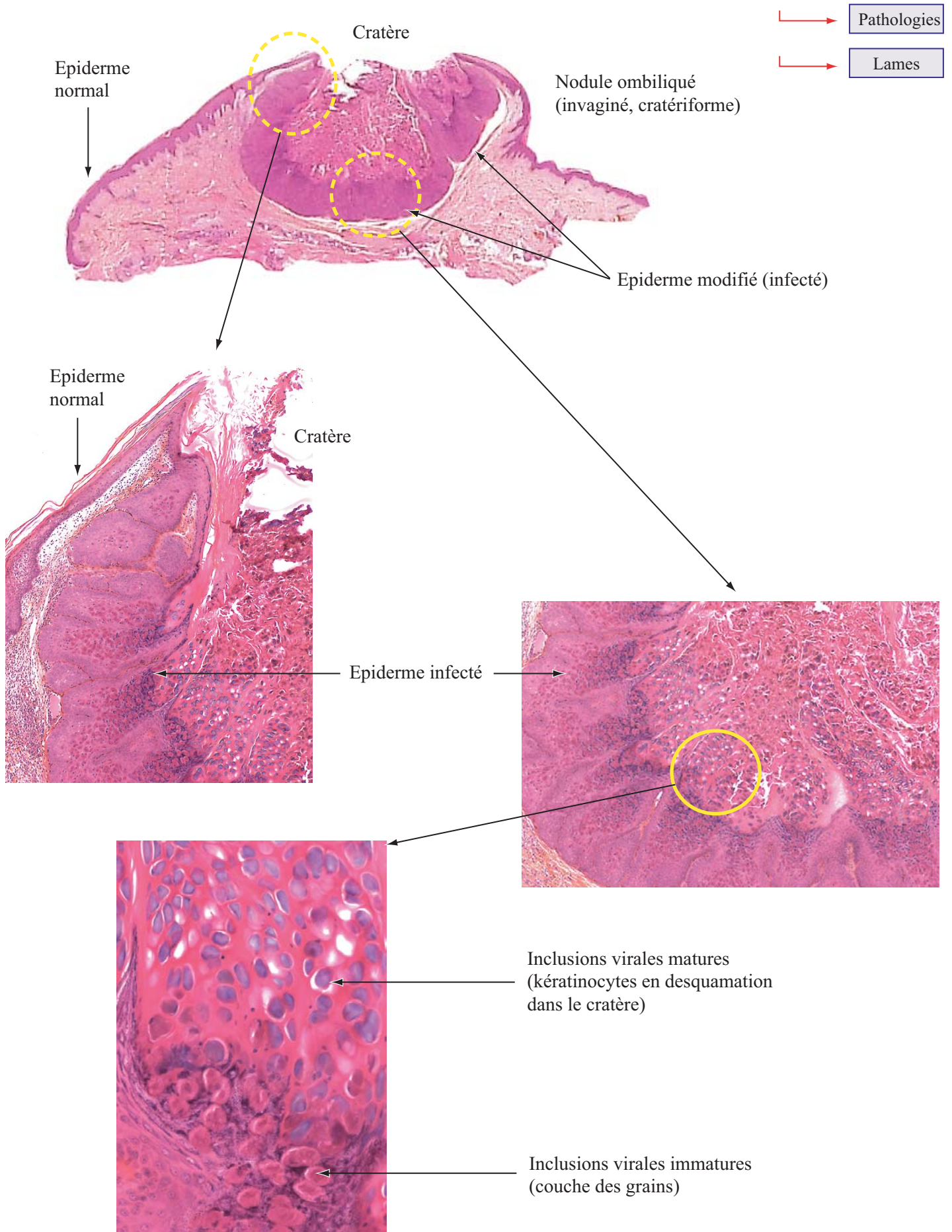
Peau saine

Acanthose



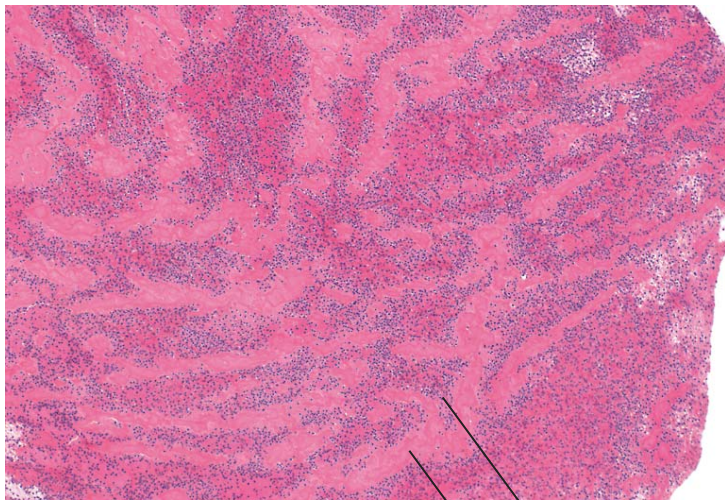
Papillomatose

Inclusions cytoplasmiques (couche des grains)

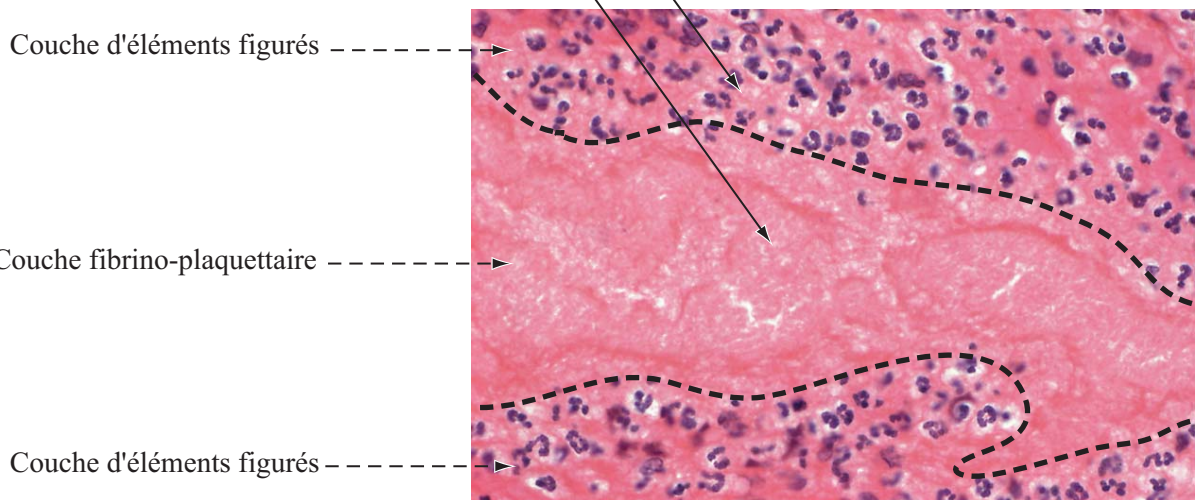
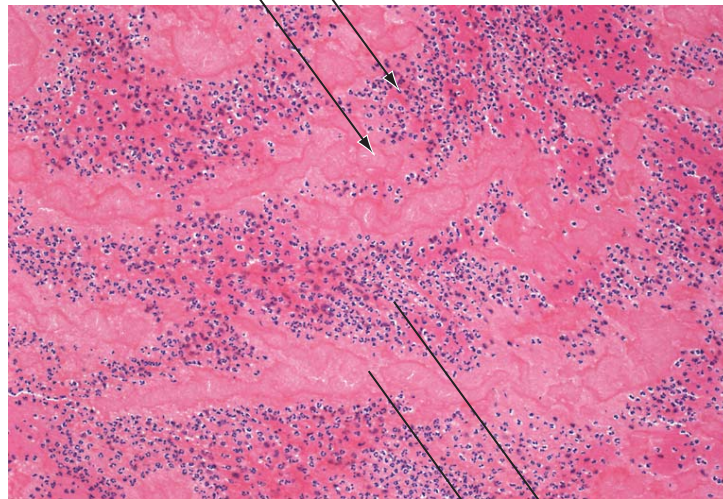


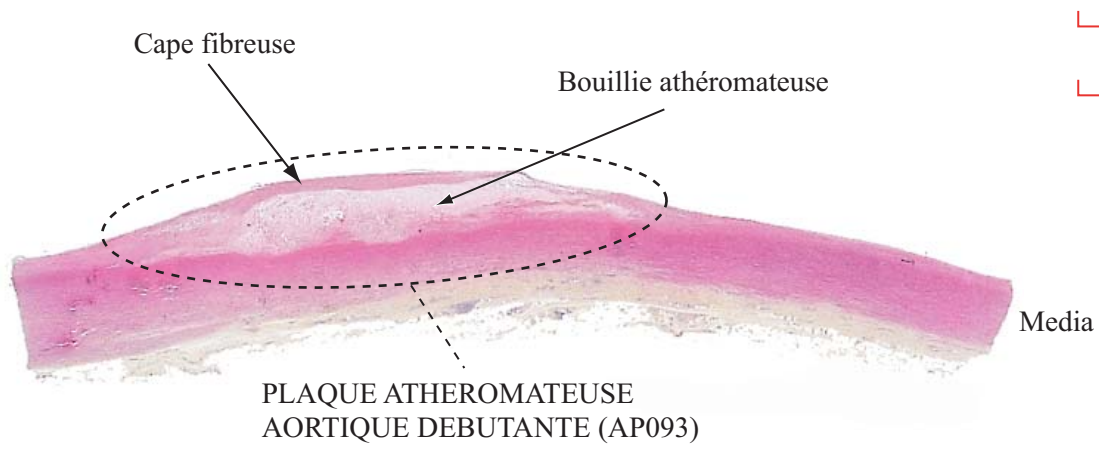
Pathologies

Lames



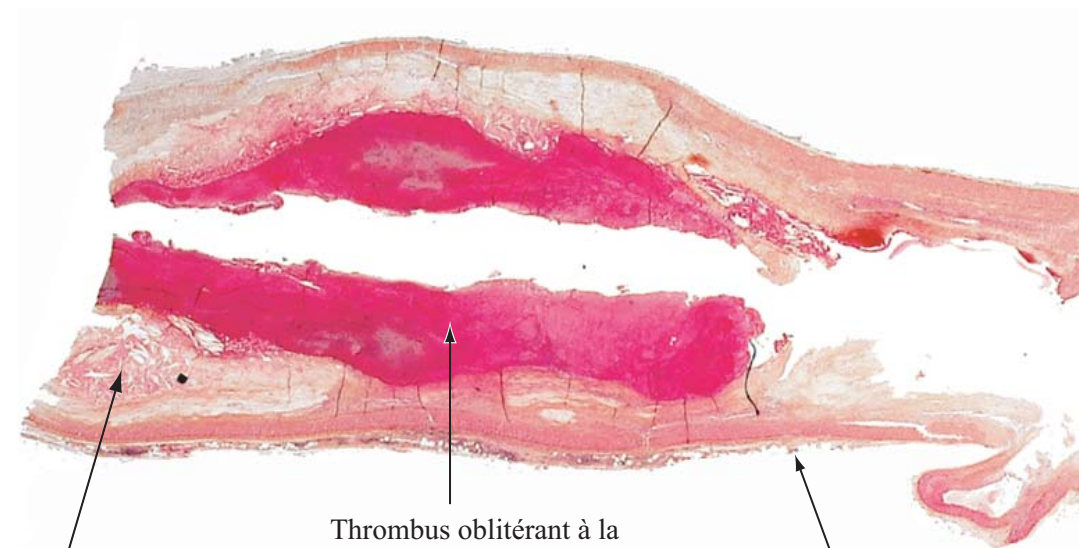
STRIES DE ZAHN





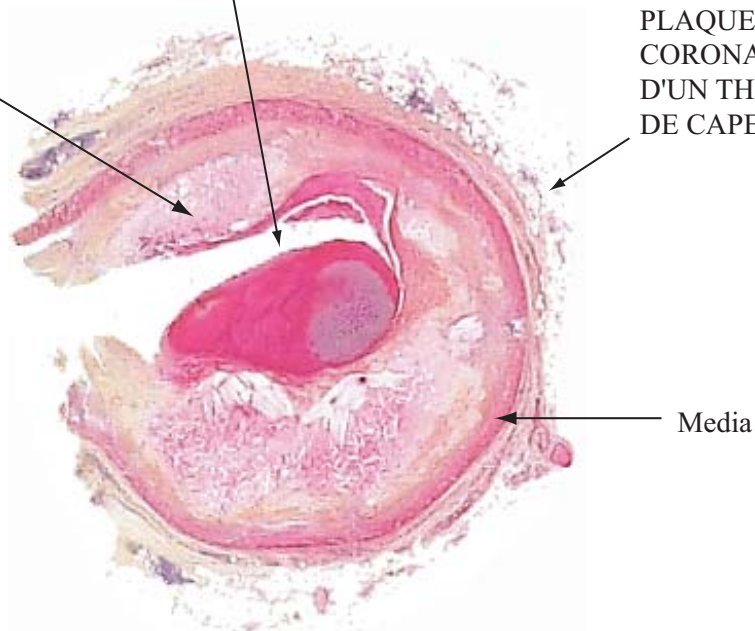
Pathologies

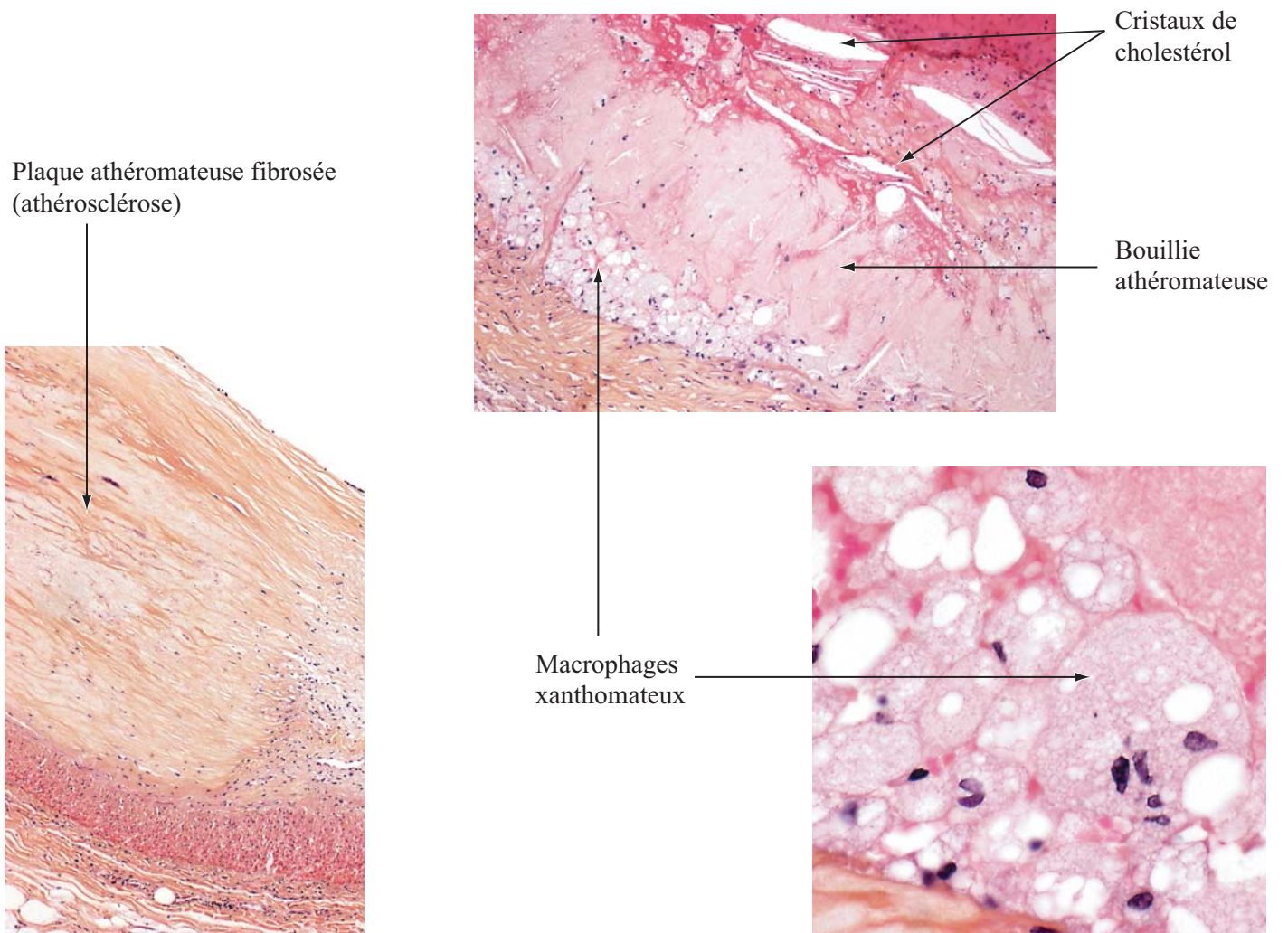
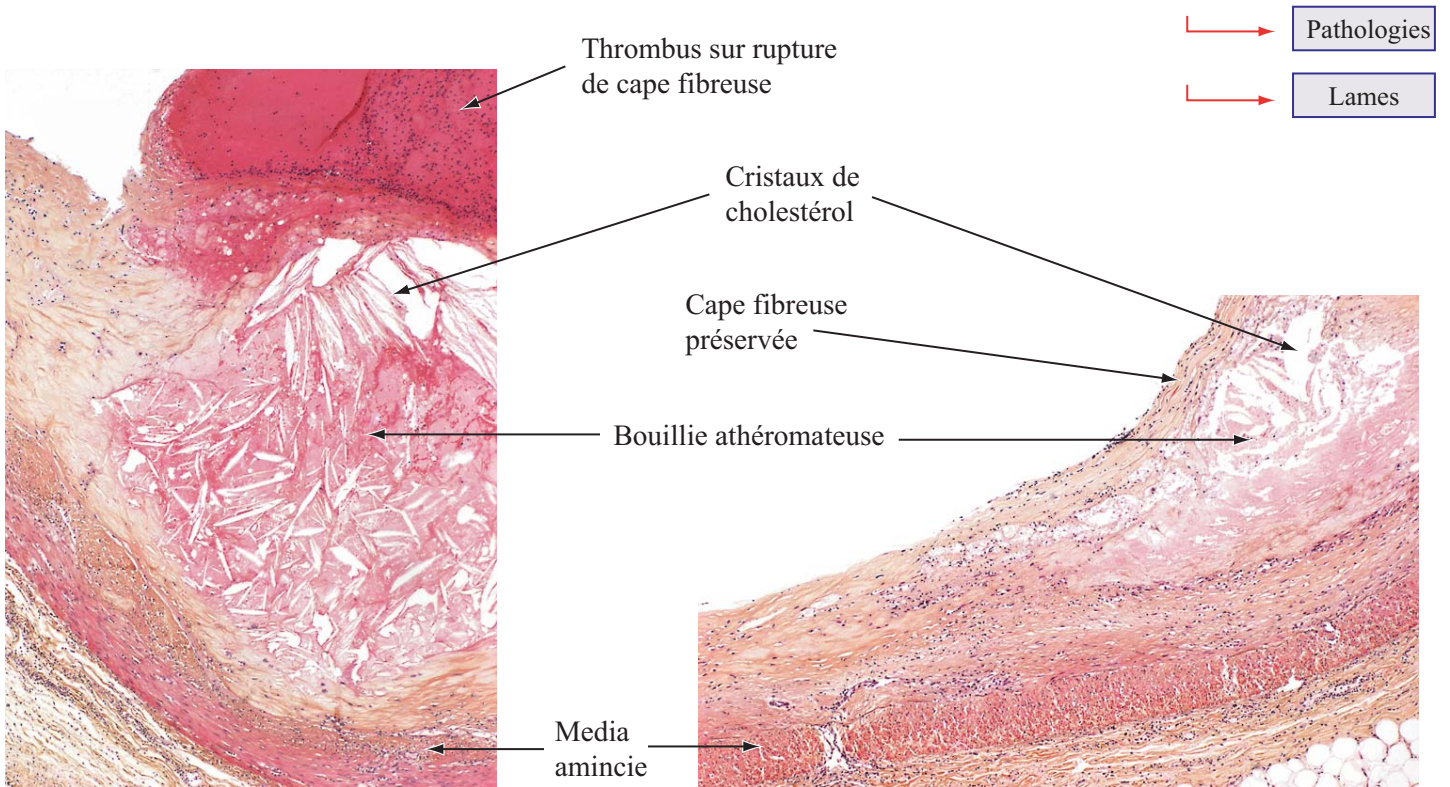
Lames



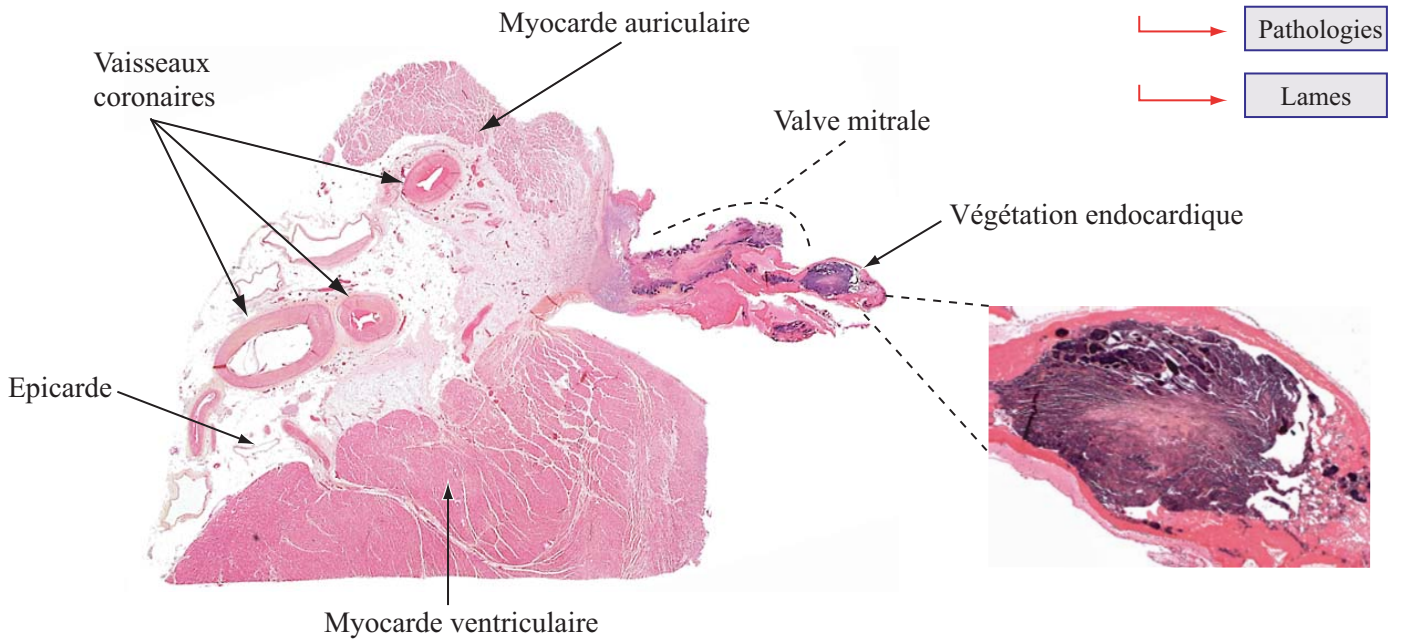
Bouillie athéromateuse

PLAQUE ATHEROMATEUSE CORONAIRE COMPLIQUEE D'UN THROMBUS PAR RUPTURE DE CAPE FIBREUSE (AP088)

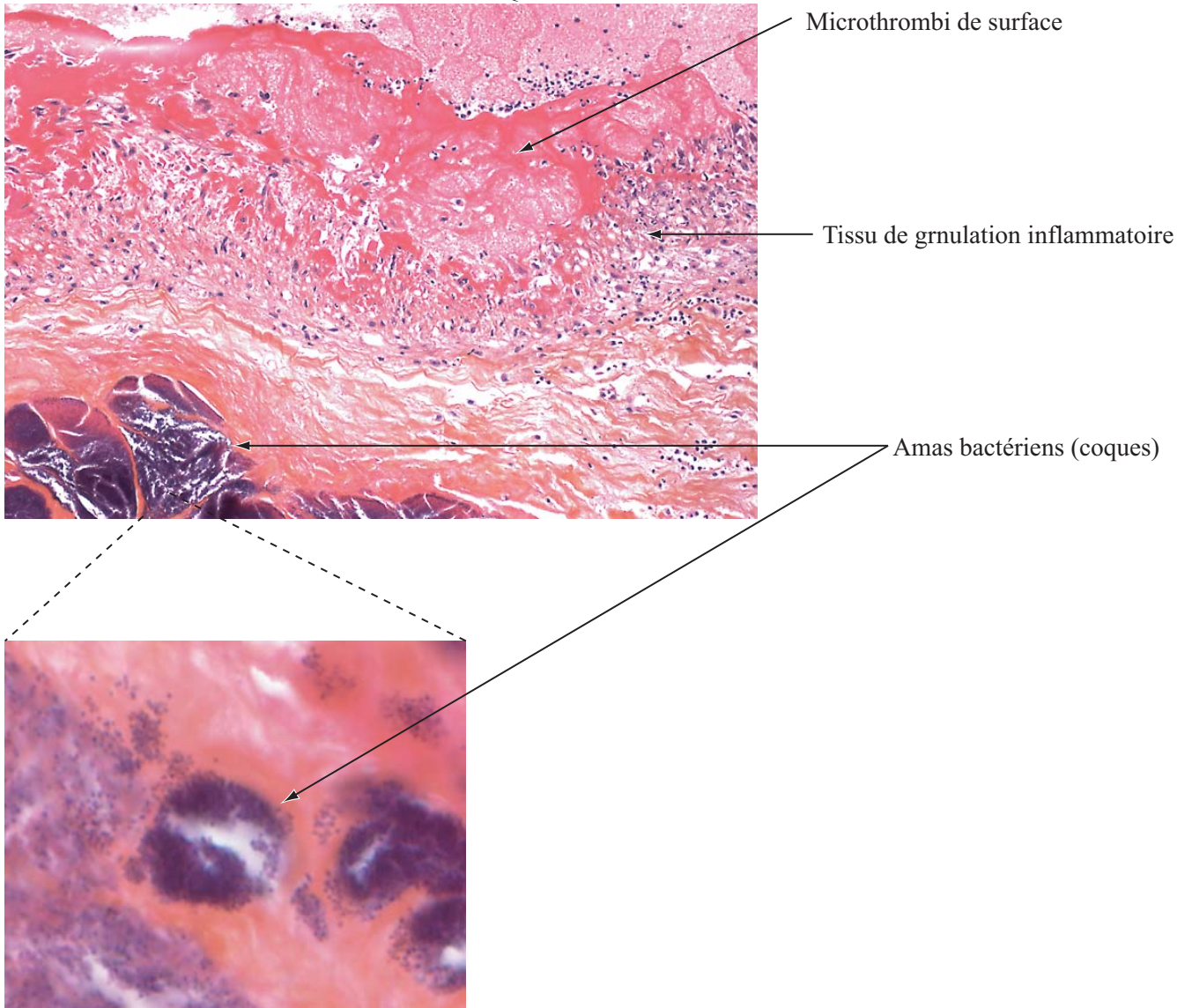








DETAIL DE LA VEGETATION ENDOCARDIQUE

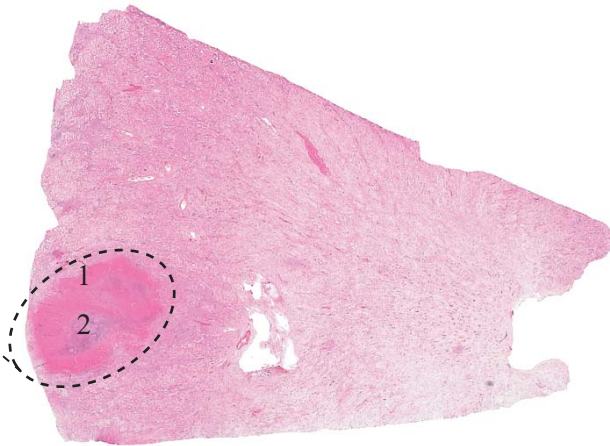


**Nécrose de coagulation**

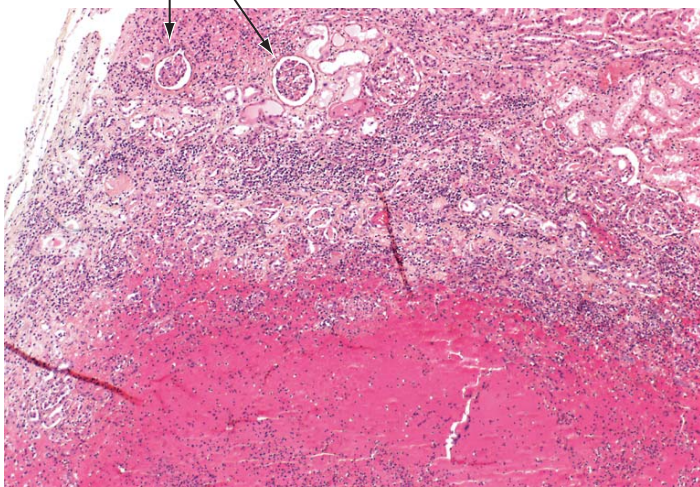
- embolie sur artère terminale
- bien limitée
- purulente
- fragments d'embolies

Pathologies

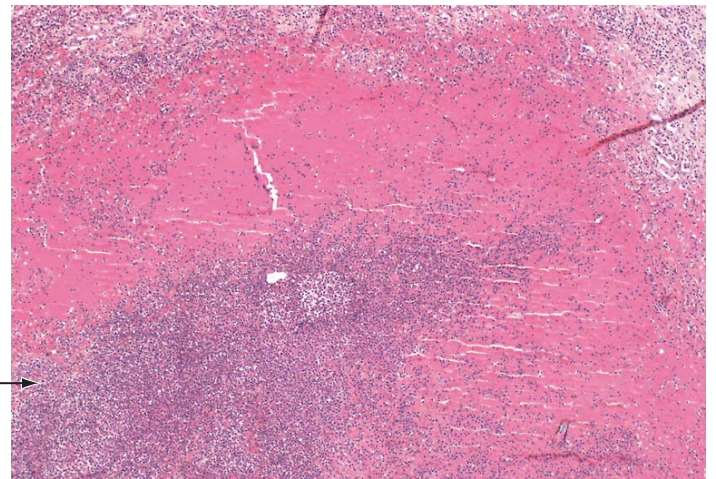
Lames



Glomérules

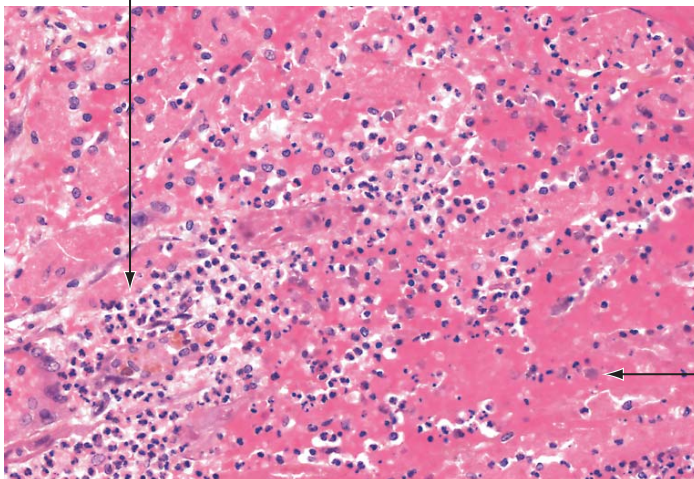


1 - BORDURE DE NECROSE



2 - REGION CENTRALE

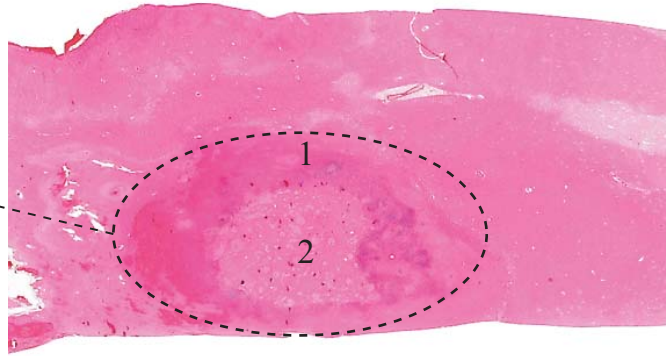
Polynucléaires neutrophiles



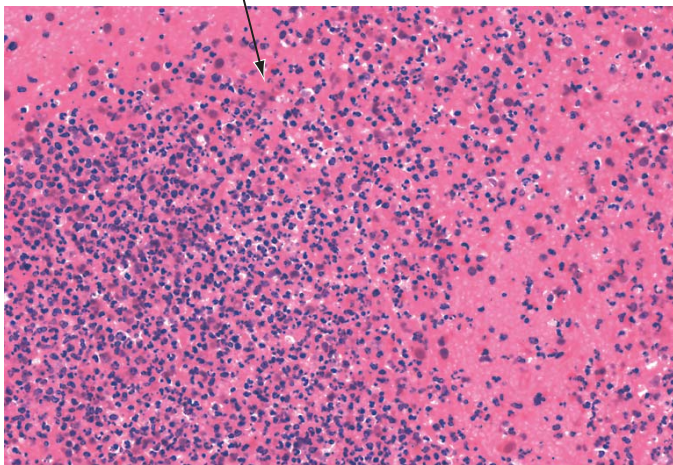
Fragments d'embolies

Pathologies  
Lames

**Nécrose de coagulation**  
- embole sur artère terminale  
- bien limitée  
- purulente

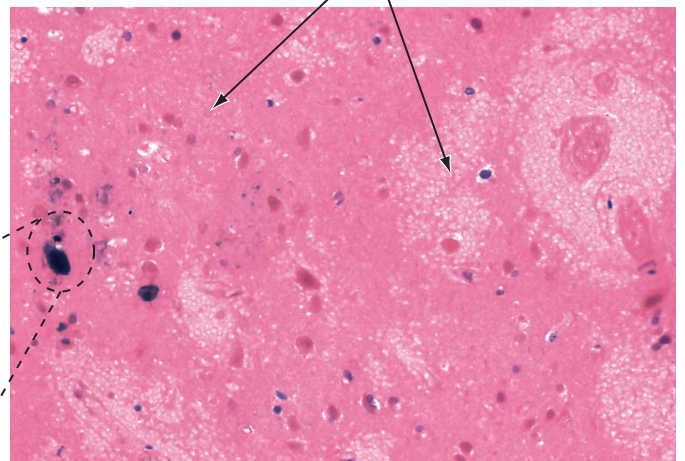


Polynucléaires neutrophiles



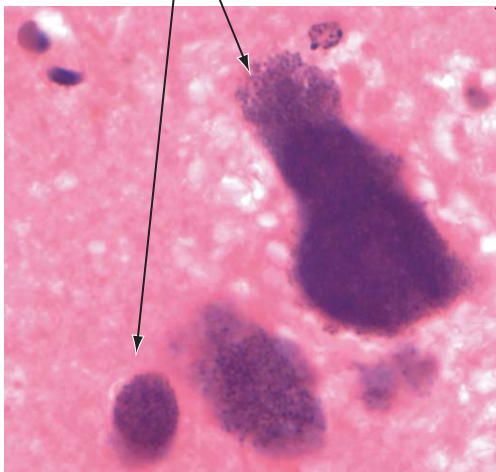
1 - BORDURE DE NECROSE

Tissu glial en nécrose



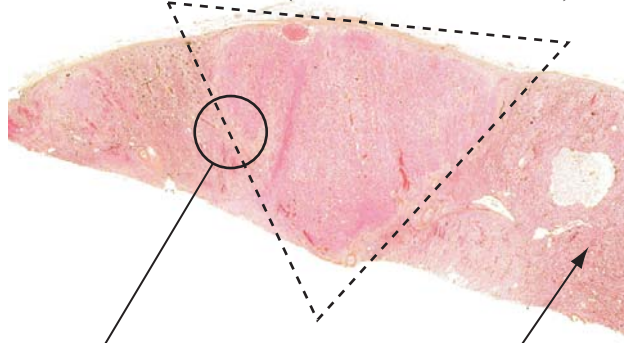
2 - REGION CENTRALE

Colonies bactériennes (coques)



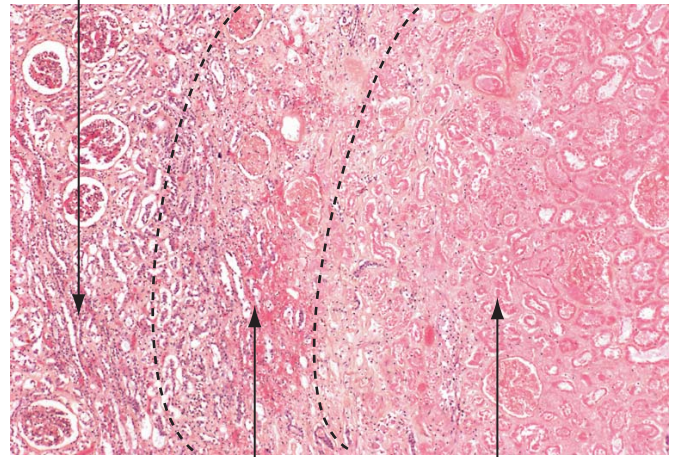
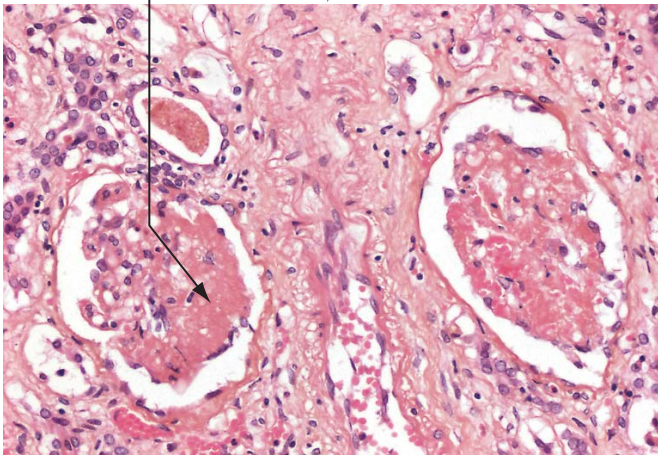
Zone de nécrose triangulaire  
(réseau artériel terminal)

Pathologies  
Lames



Glomérule partiellement  
nécrosé

Parenchyme rénal  
préservé



BORDURE DE NECROSE  
(hémorragique)

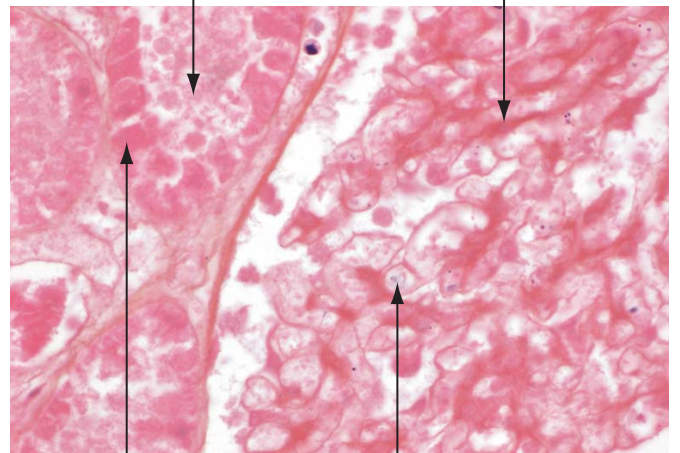
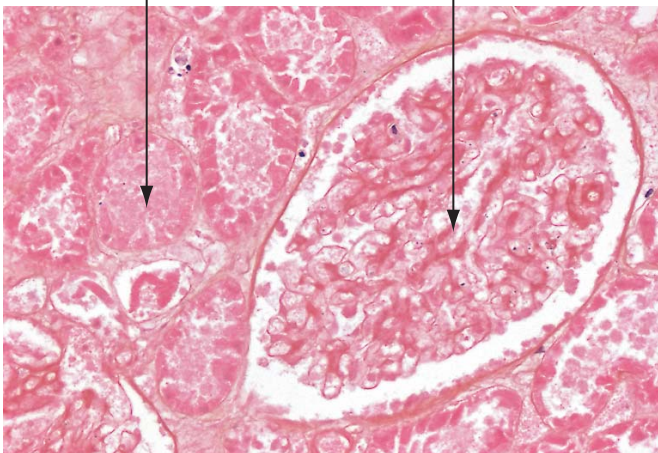
Zone en nécrose

Tube rénal

Glomérule

Tube rénal

Glomérule



ASPECT EN CITE FANTOME  
(dans la zone de nécrose)

Condensation cytoplasmique  
et disparition des noyaux

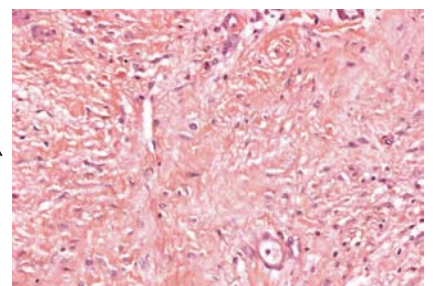
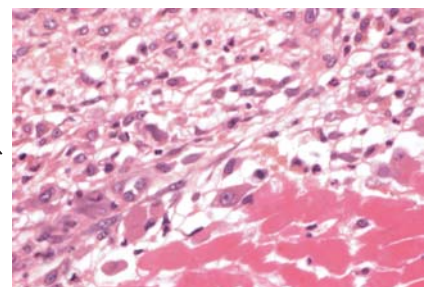
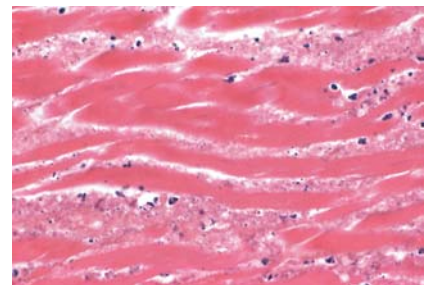
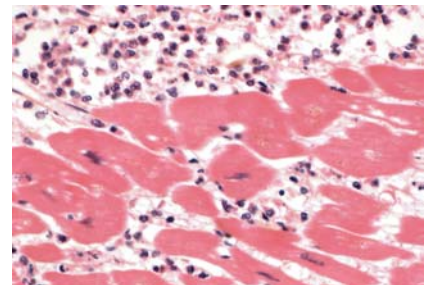
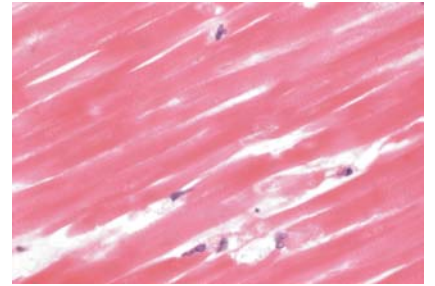
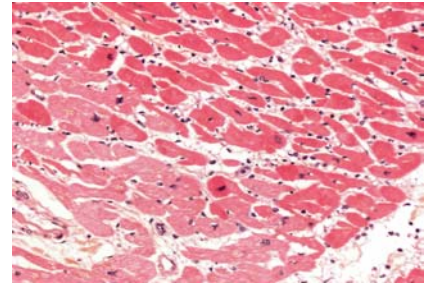
Caryolyse

→ Pathologies

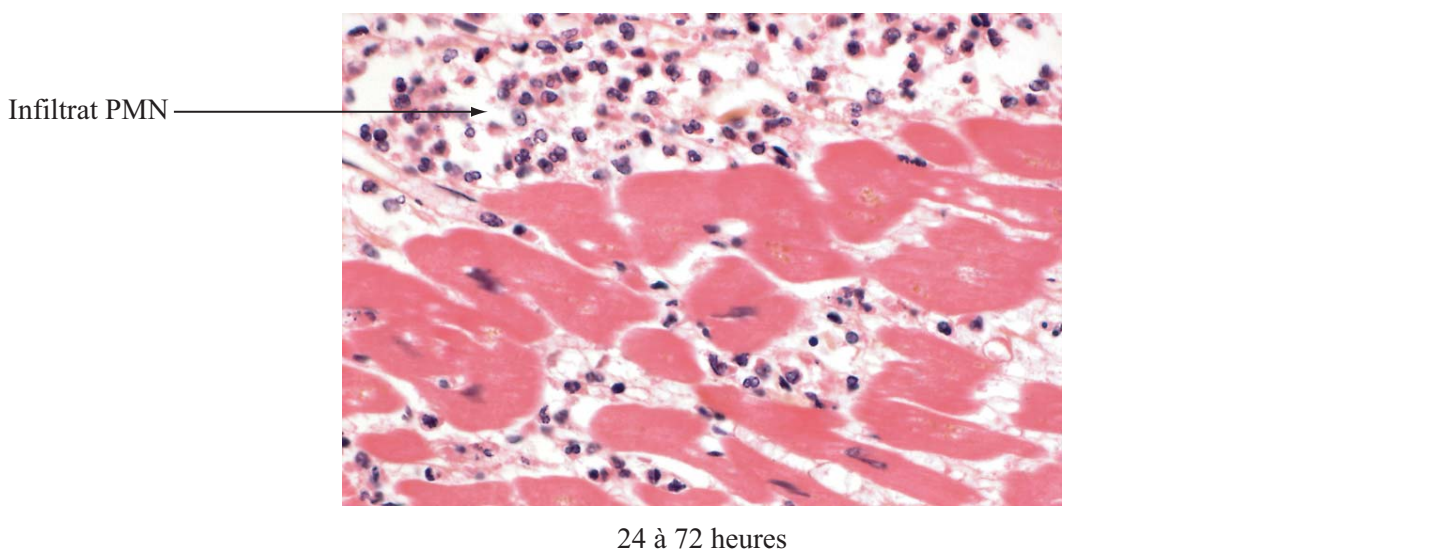
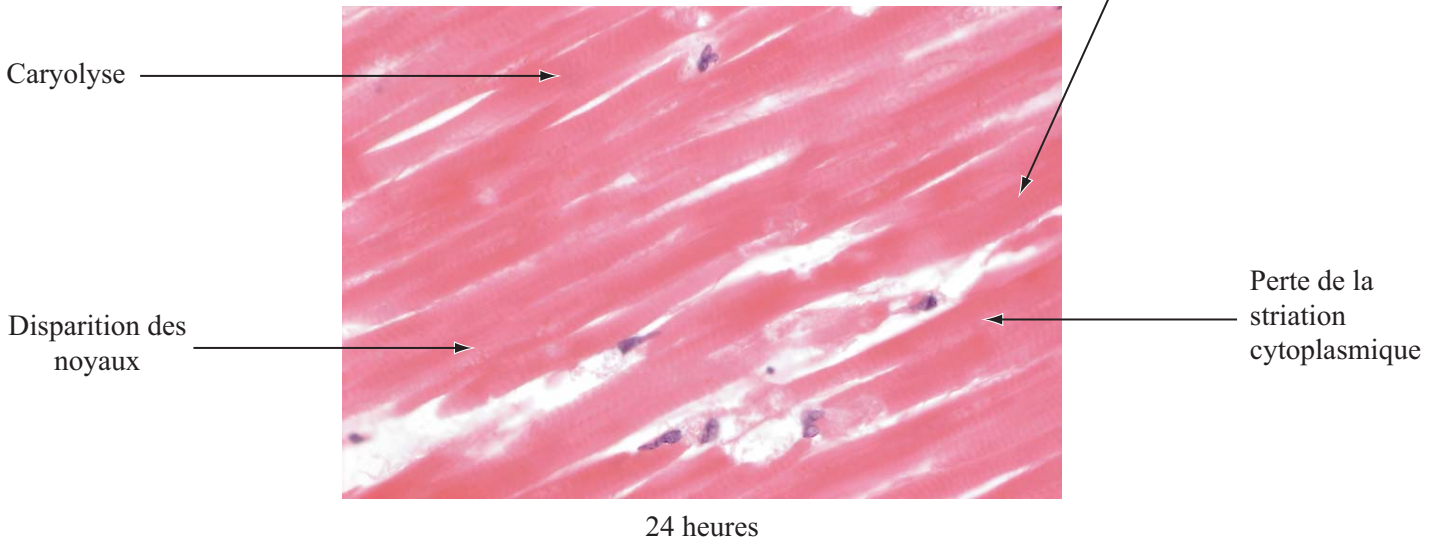
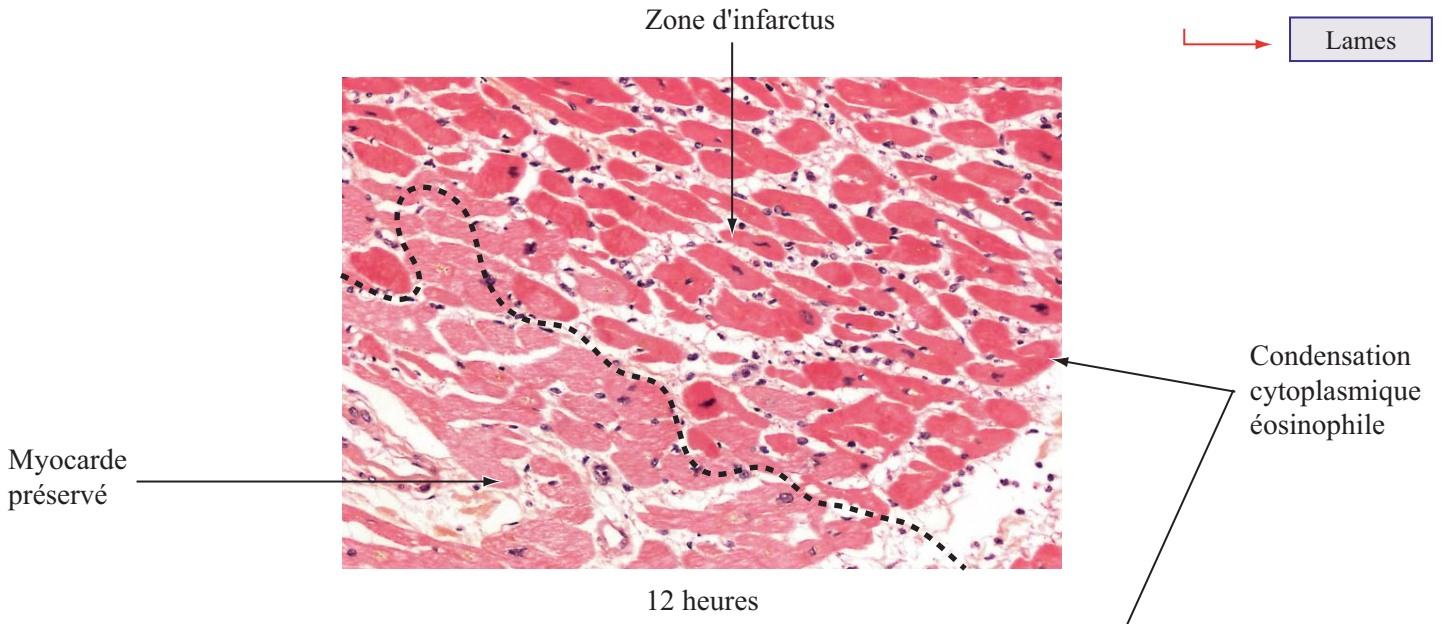
→ Lames

AP031: images d'infarctus de 12 à 72 heures  
 AP089: images d'infarctus successifs (tous les stades)

0-12 heures		
12-24 heures		
24-72 heures		
3-10 jours		
semaines		

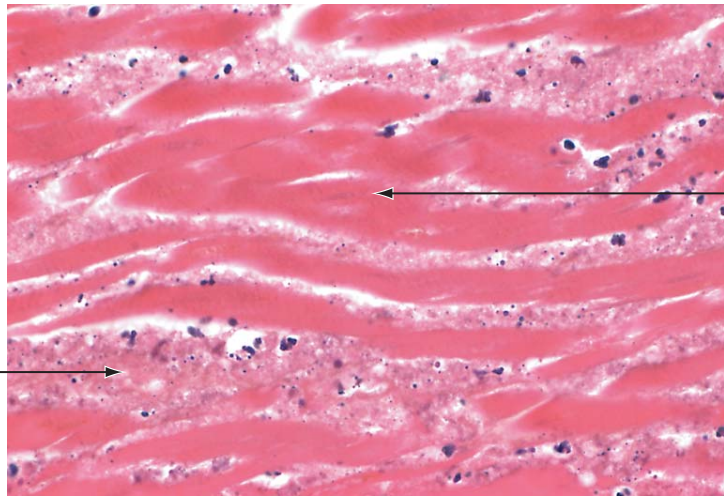


Pathologies  
Lames



Pathologies

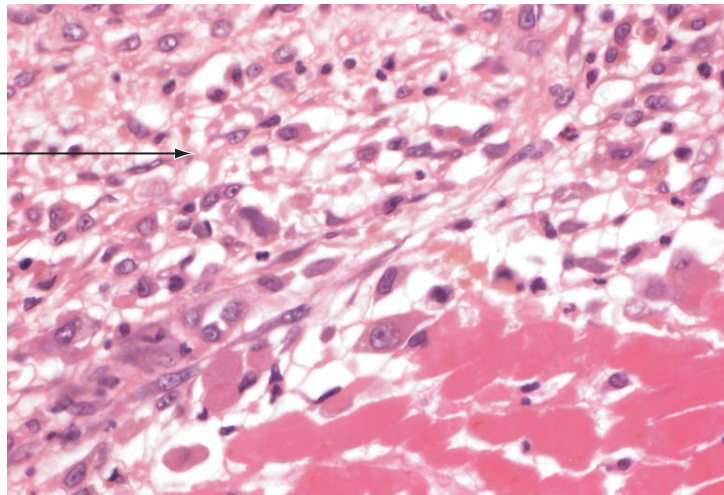
Lames



Lyse de l'infiltrat PMN

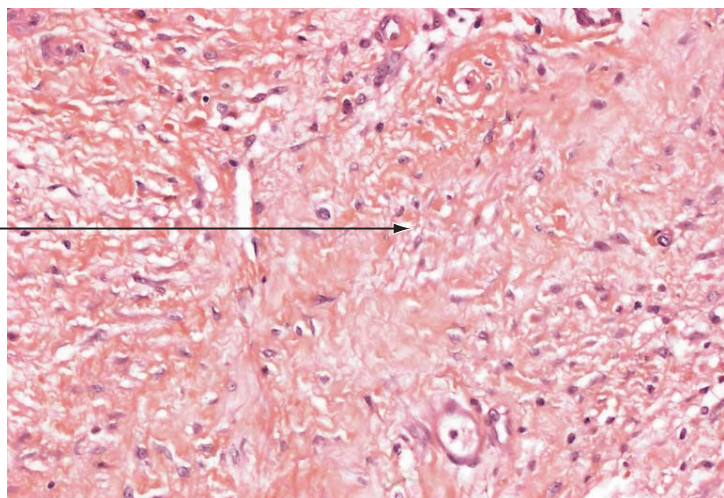
Lyse des cellules myocardiques nécrosées

72 heures



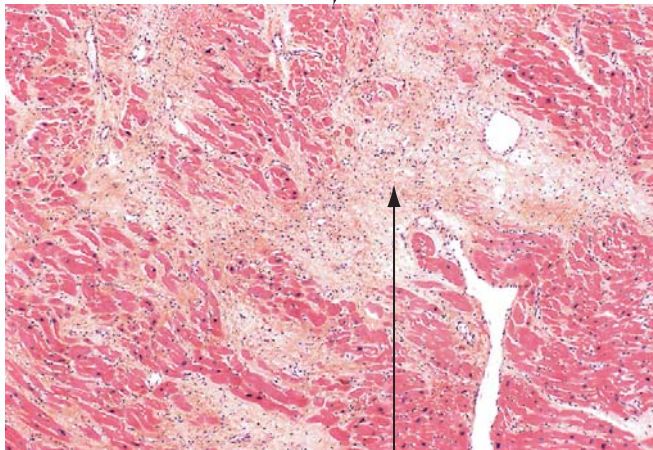
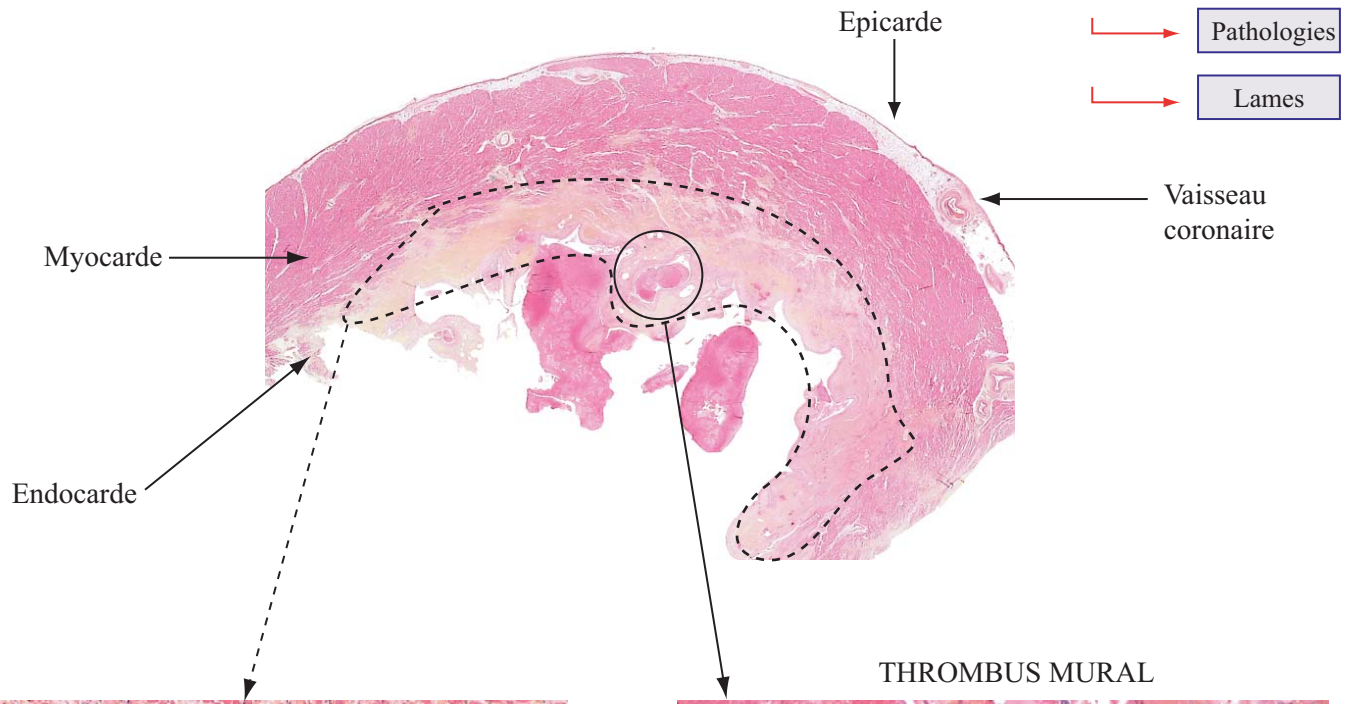
Tissu de granulation inflammatoire  
- angiogénèse  
- fibroblastes

3 à 10 jours

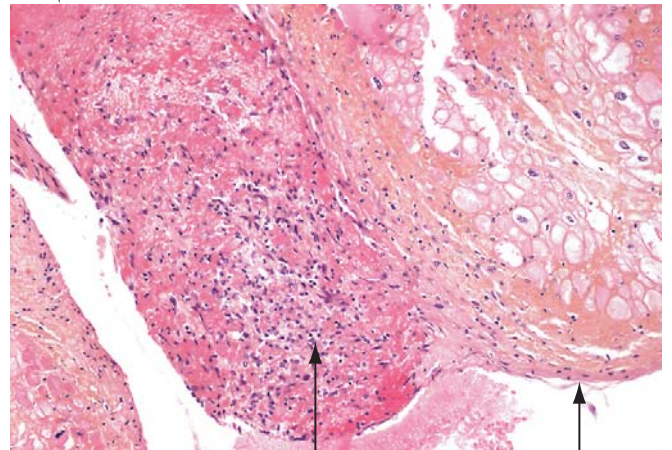


Cicatrice collagène

Quelques semaines

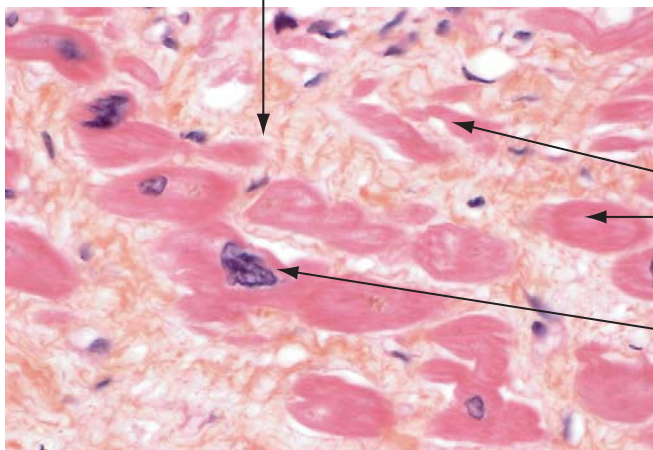


Fibrose cicatricielle



Thrombus mural adhérent à endocarde

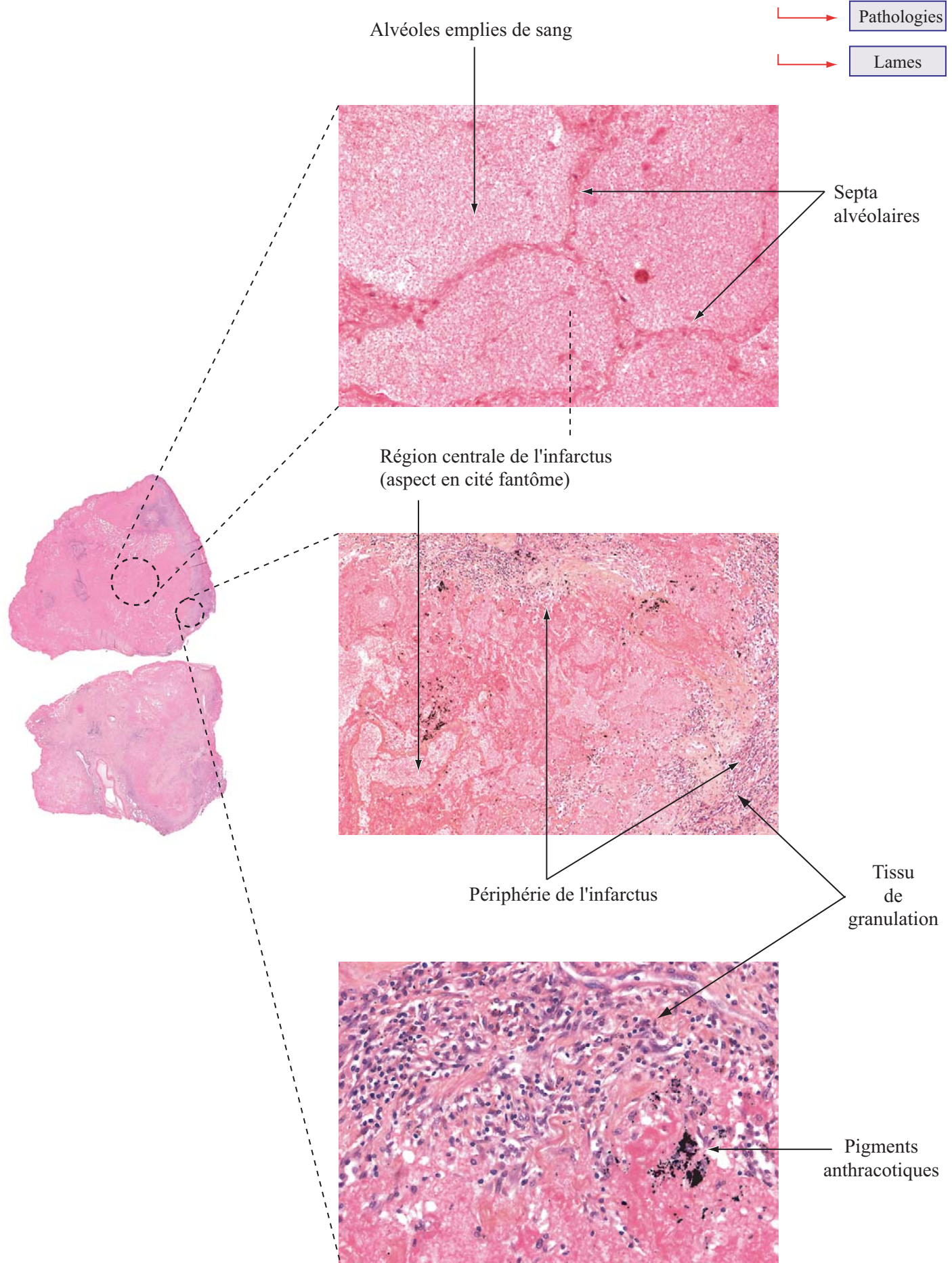
Endocarde



Cardiomyocytes raréfiés

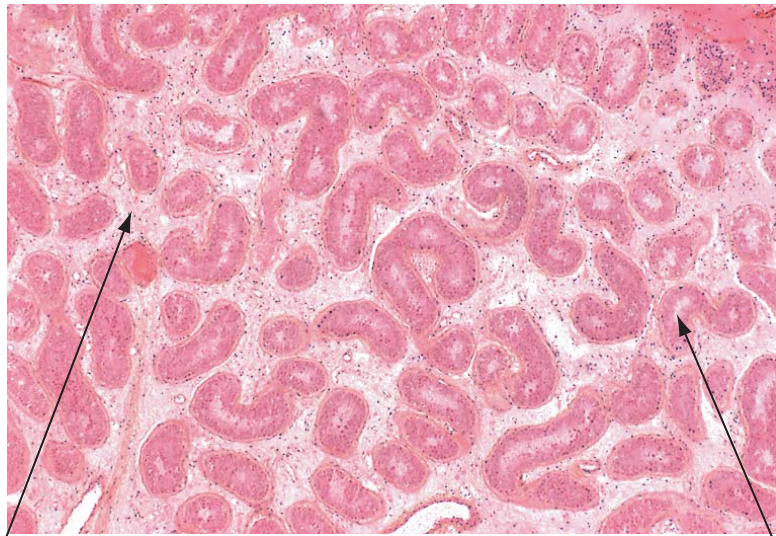
Noyaux irréguliers et hyperchromatiques (souvent observés en décompensation cardiaque)





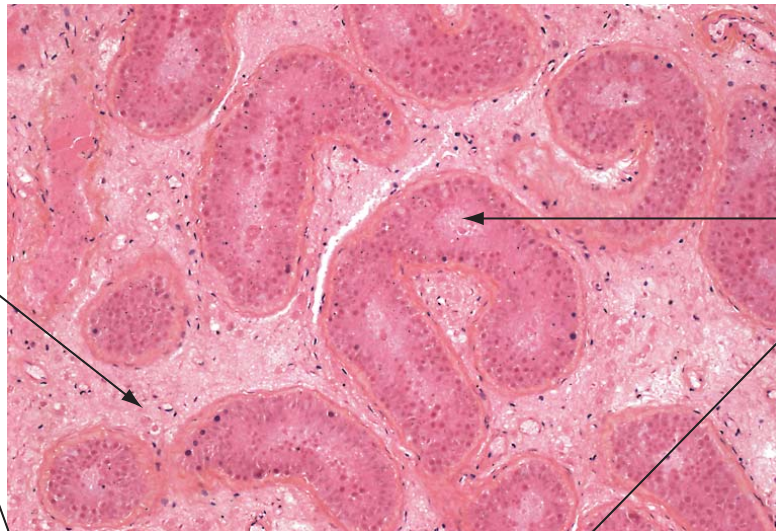
Pathologies

Lames



Interstitialium  
- oedème  
- hémorragies

Tubes séminifères  
en nécrose

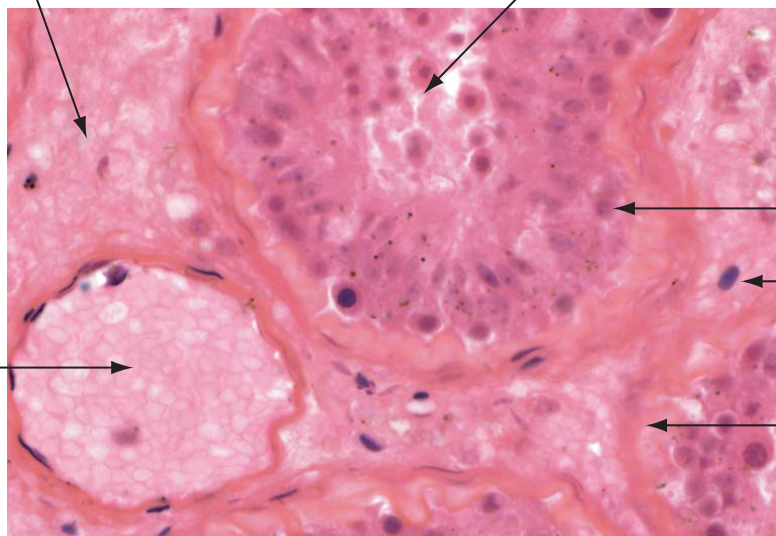


Congestion  
veineuse

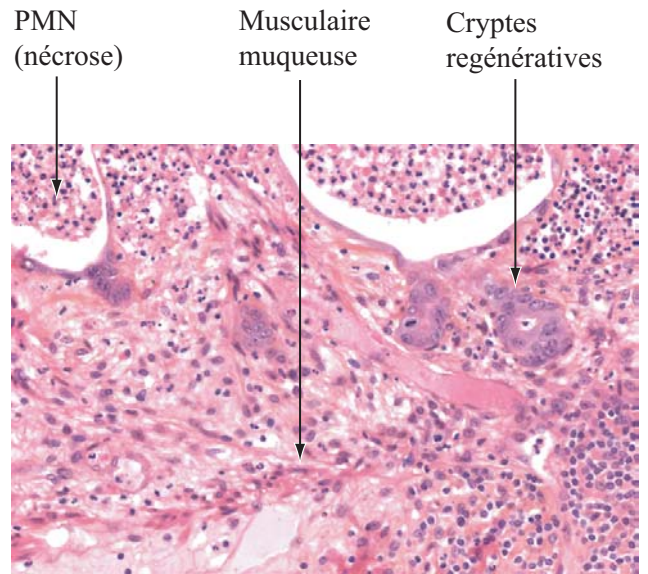
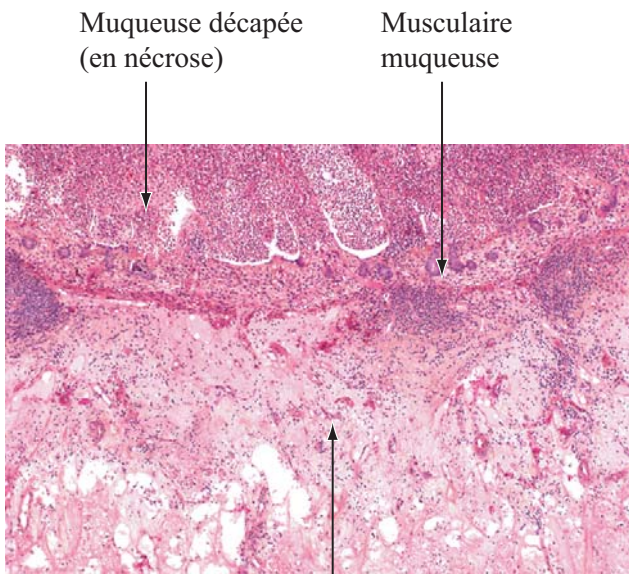
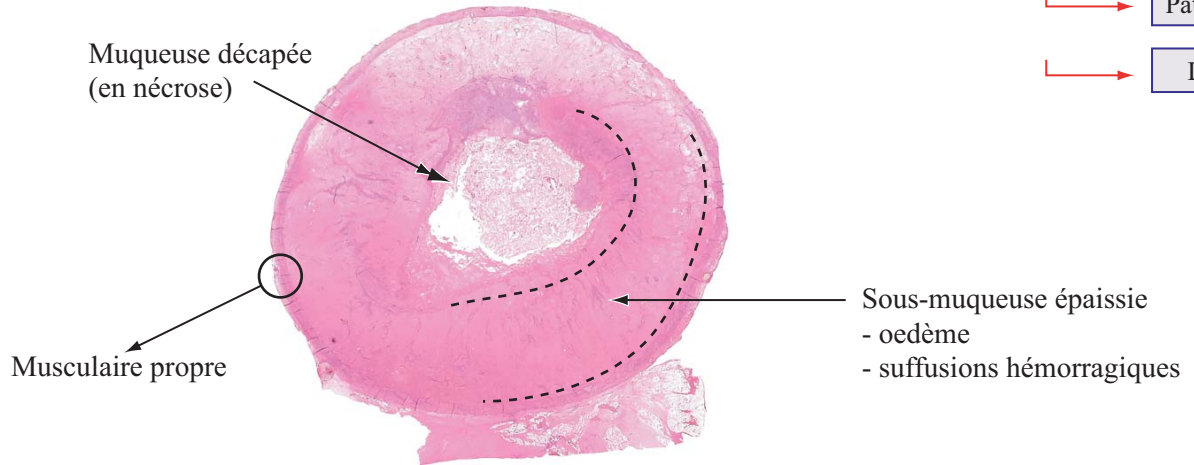
Caryolyse

Pycnose

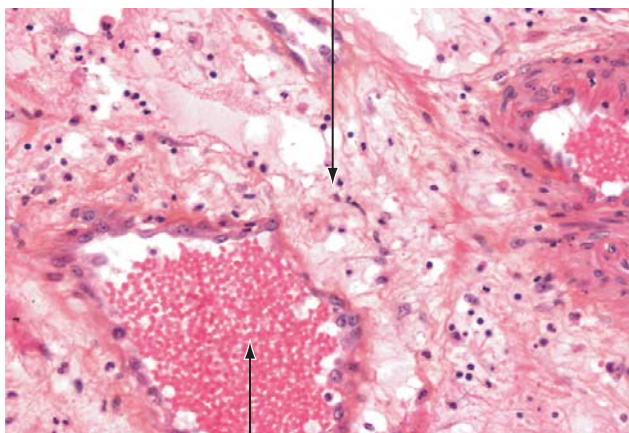
Membrane basale



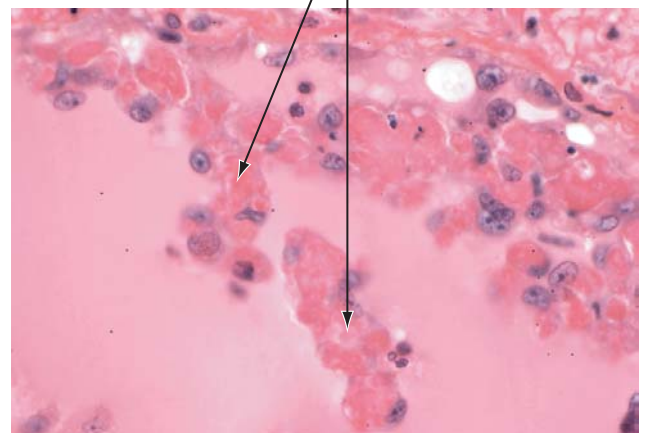
↳ Pathologies  
↳ Lames



Sous-muqueuse épaissie  
- oedème  
- suffusions hémorragiques



Microthrombi veineux



AP034 Pancréatite aiguë nécrotico-hémorragique (PANH)

Tissu pancréatique indemne

Zone de nécrose

Pathologies

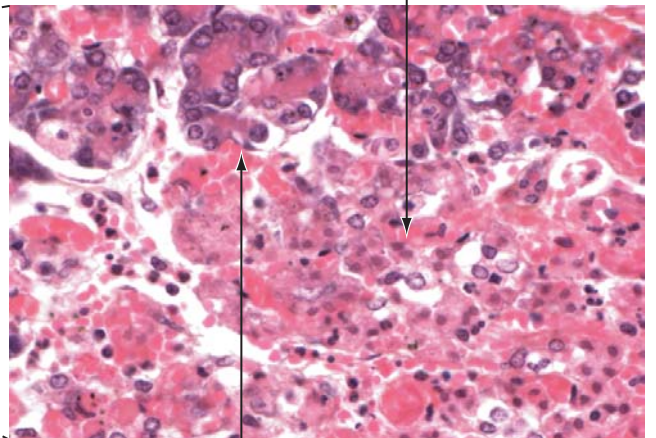
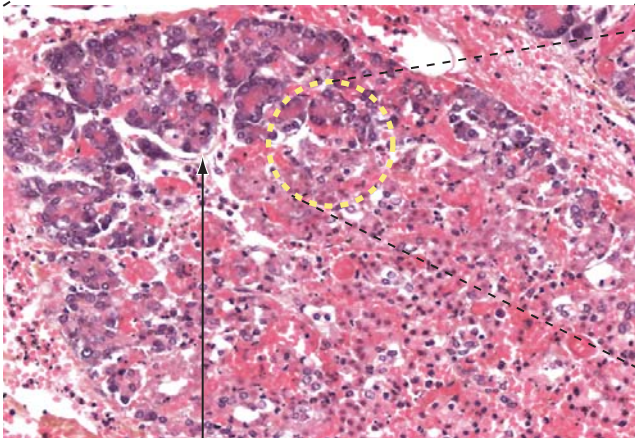
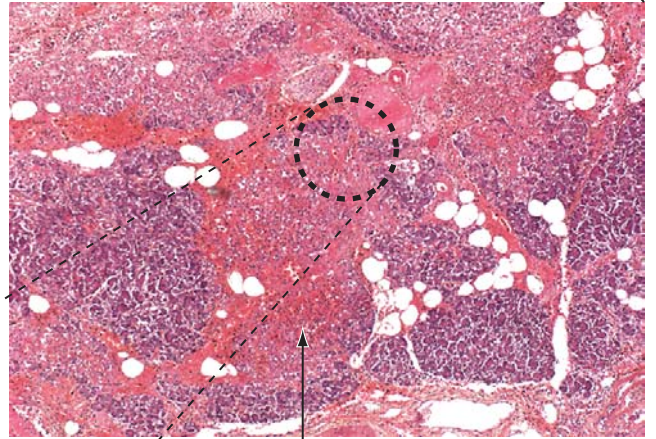
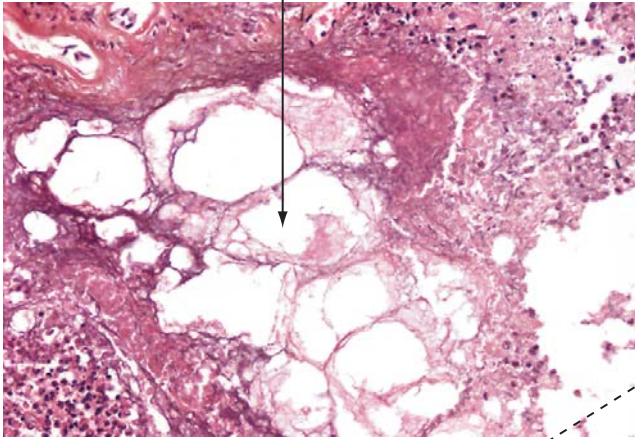
Lames

Stéatonecrose du tissu adipeux péri-pancréatique

Nécrose hémorragique des acini séreux

Acini préservés

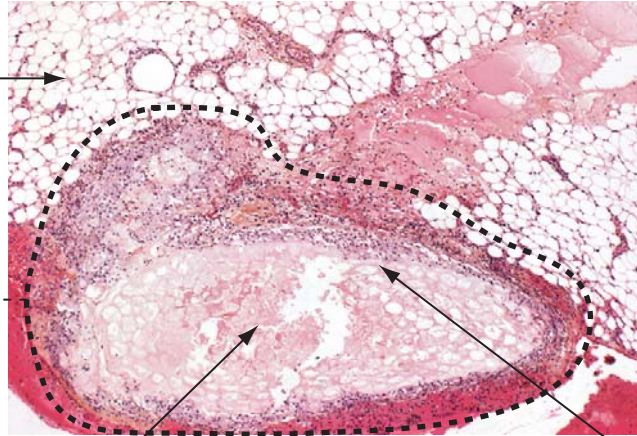
Acini préservés



Pathologies  
Lames

Tissu adipeux  
préservé

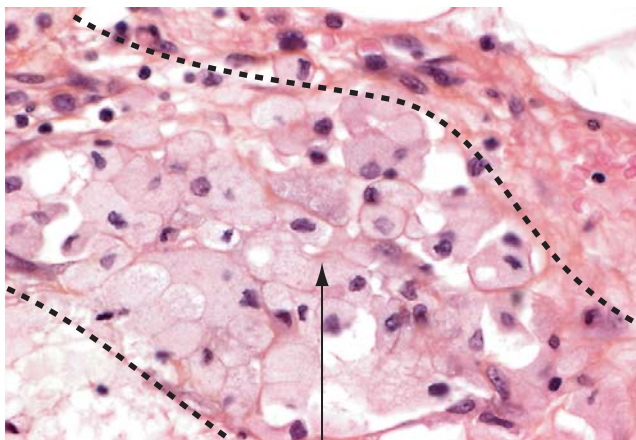
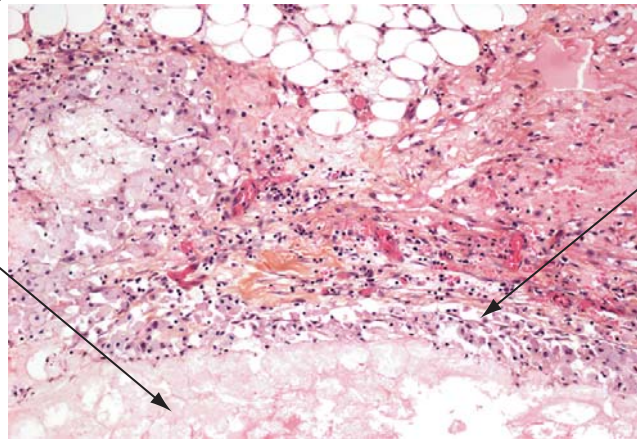
Point de  
stéatonecrose



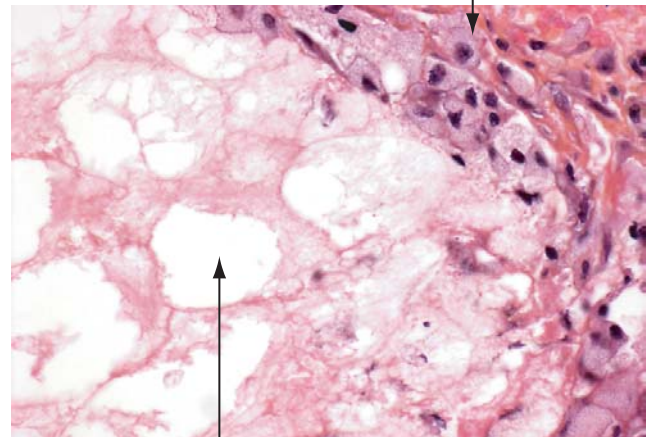
Hémorragie

Liseré de résorption  
(macrophages spumeux)

Zone centrale  
en nécrose

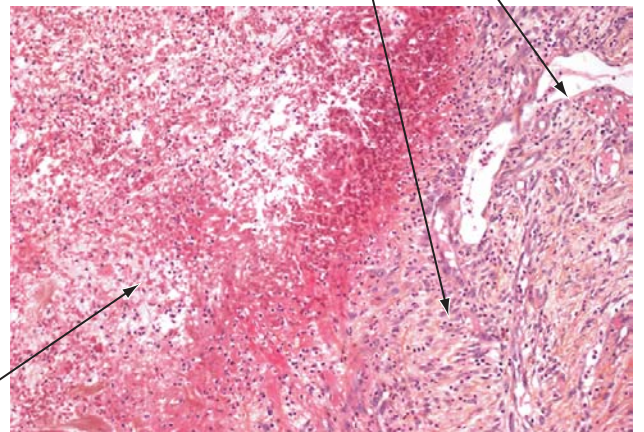
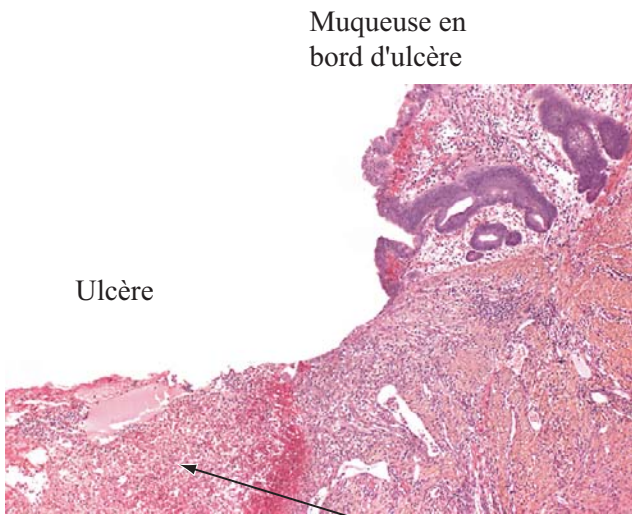
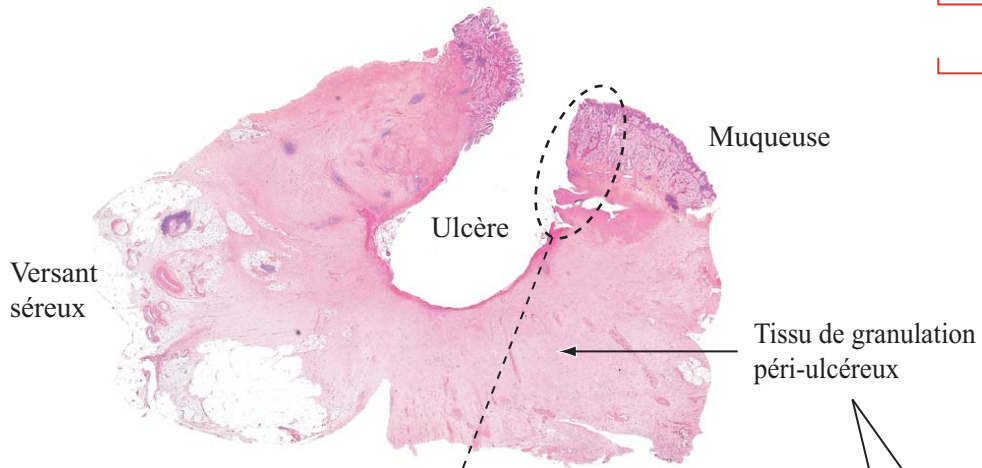


Liseré de résorption  
(macrophages spumeux)

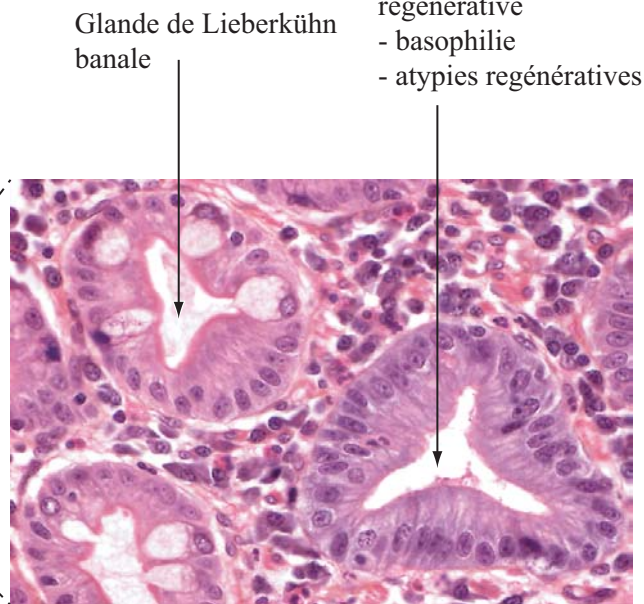
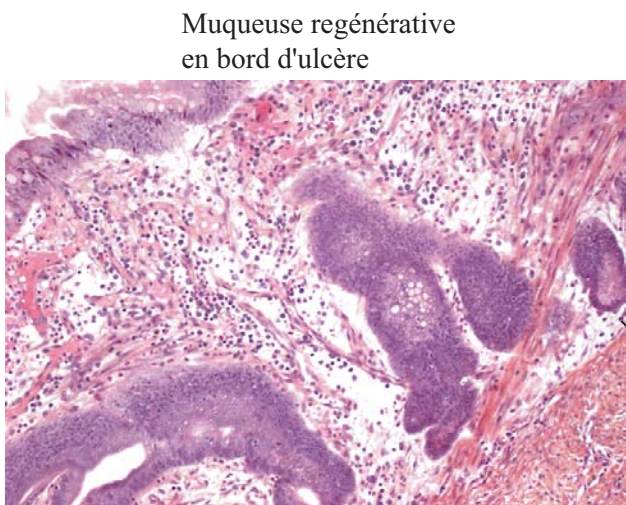


Zone centrale  
en nécrose

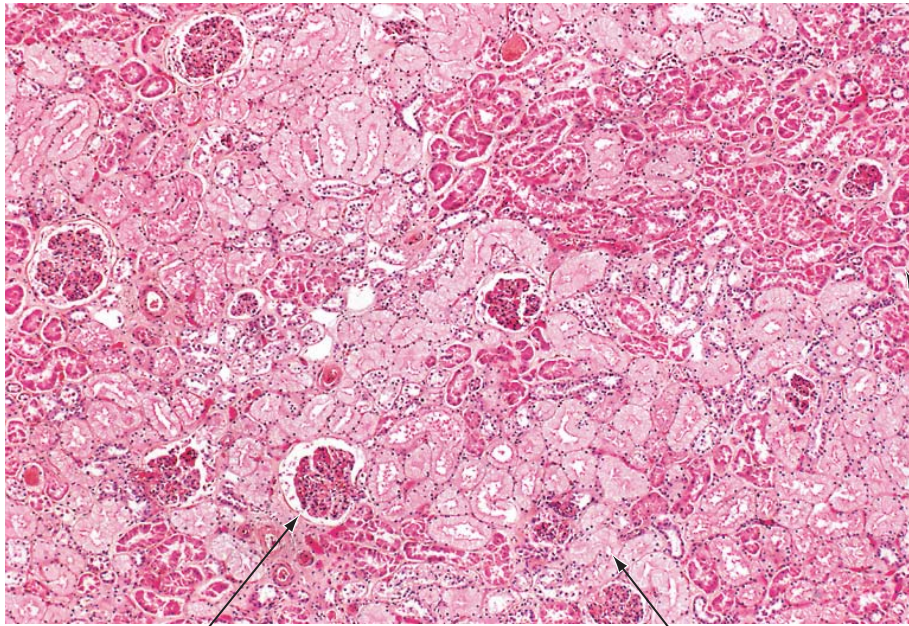
Pathologies  
Lames



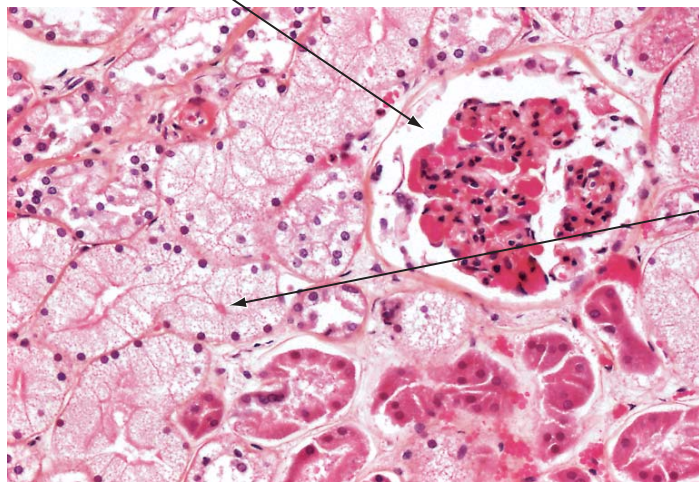
"Fausses membranes"  
= fibrine + cellules  
inflammatoires couvrant  
le fond d'ulcère



Pathologies  
Lames

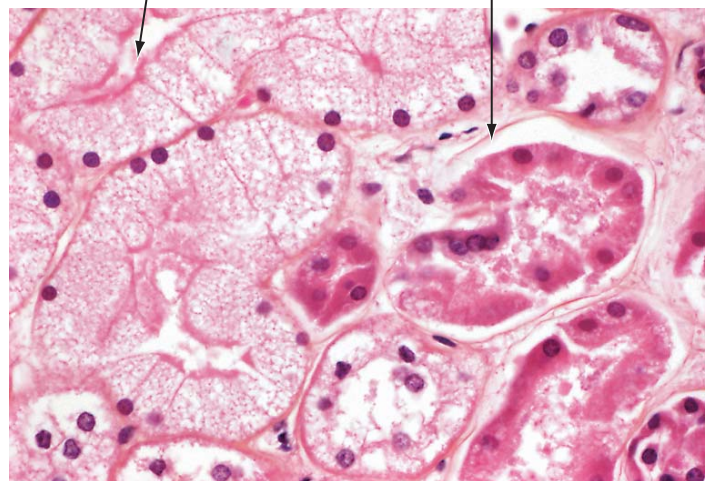


Glomérules

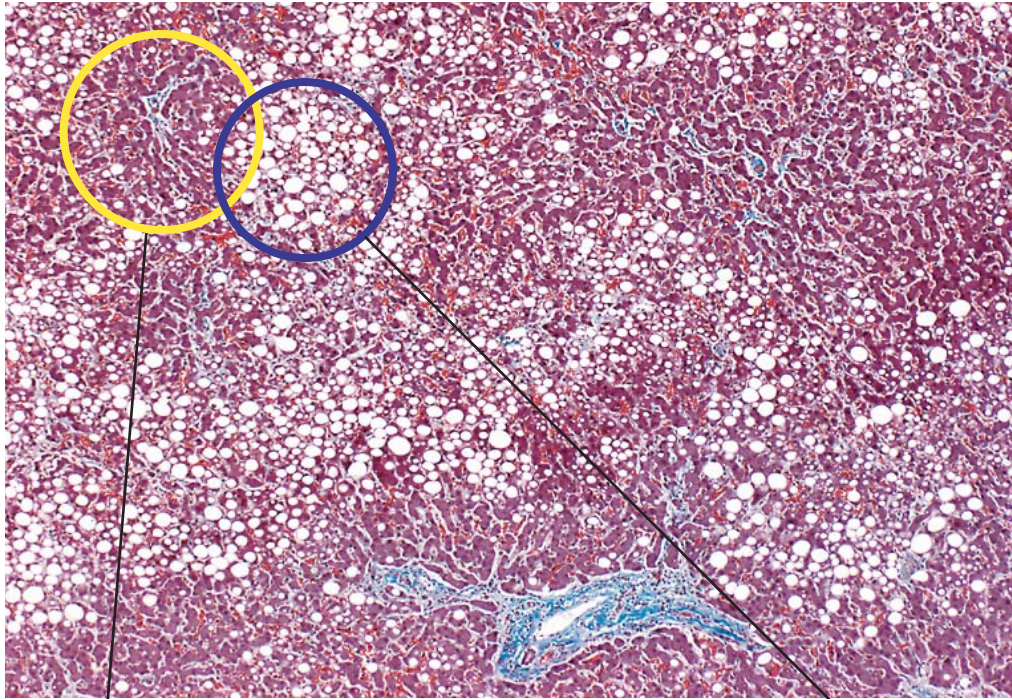


Tubes rénaux en  
néphrose osmotique

Tubes rénaux non atteints mais  
en autolyse (autopsie)



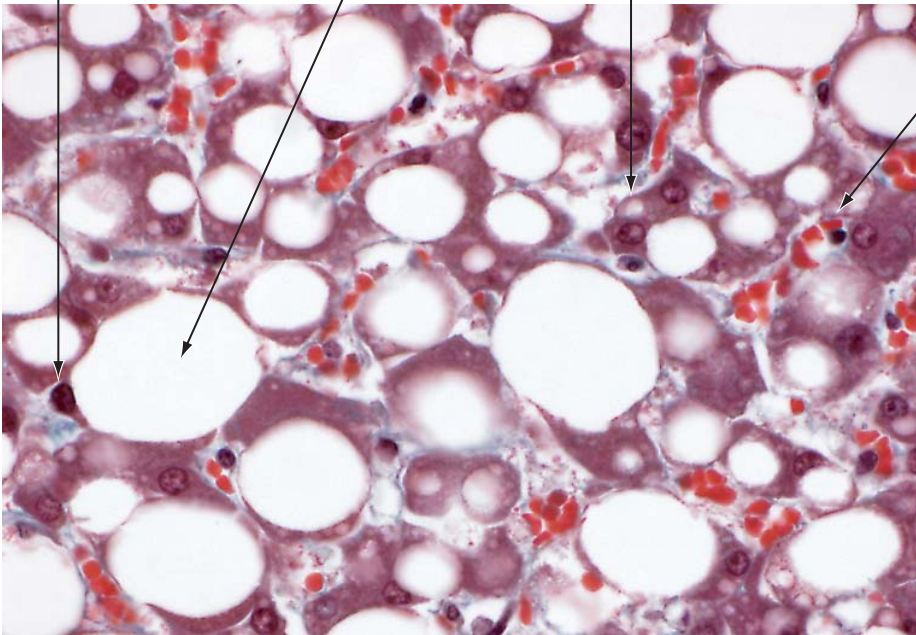
Pathologies  
Lames



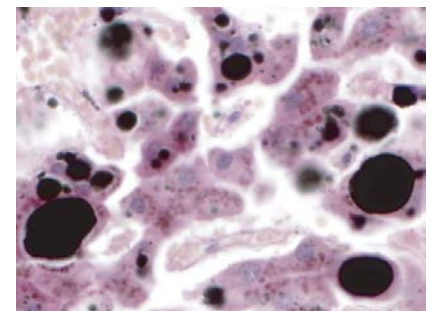
Zone périportale non stéatosique

Zone péracentrolobulaire stéatosique

Noyau hépatocitaire refoulé par la vacuole lipidique  
Vacuoles lipidiques intracytoplasmiques **macrostéatosique** et **microstéatosique**  
Sinusoïde contenant des globules rouges

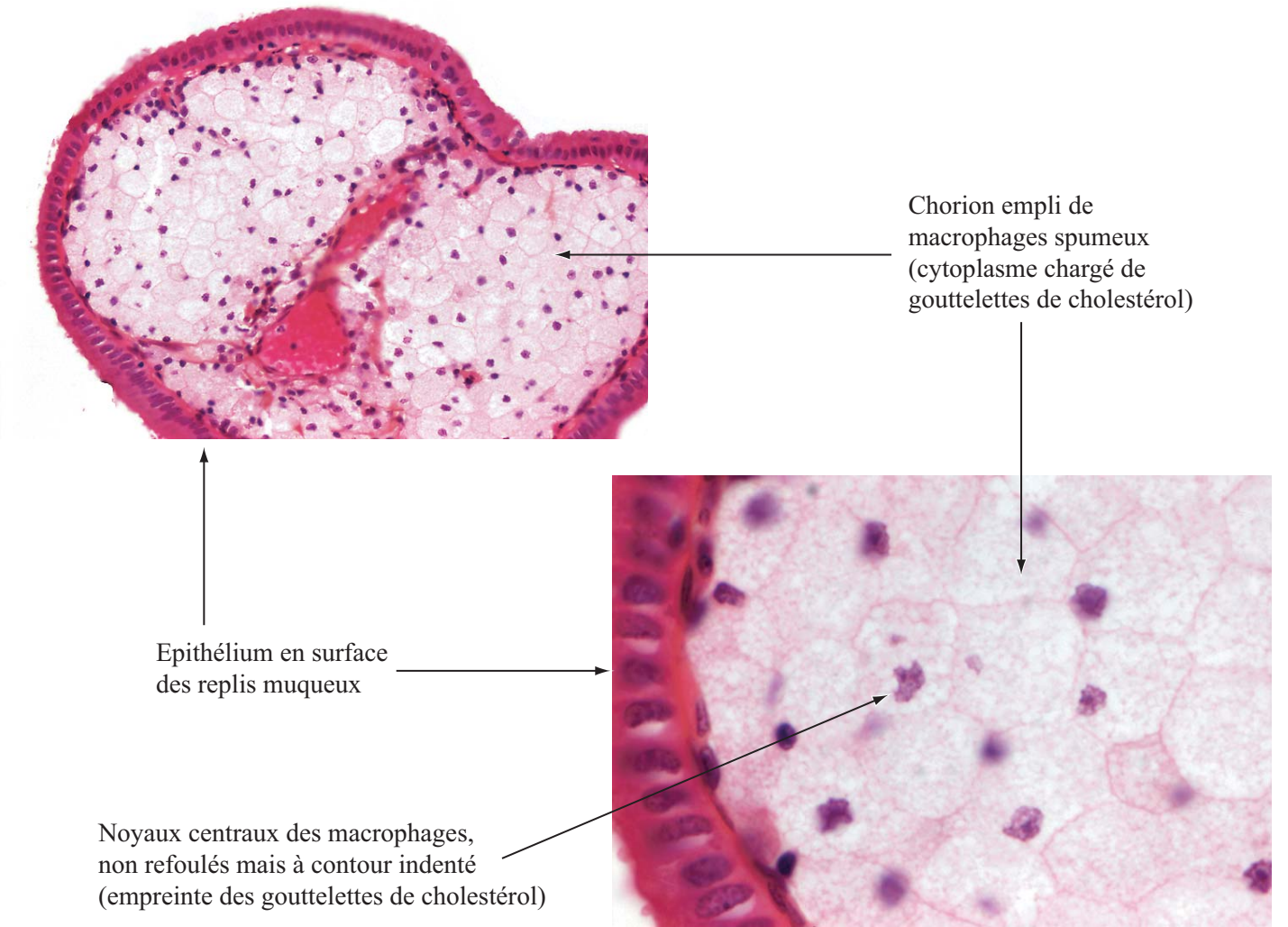
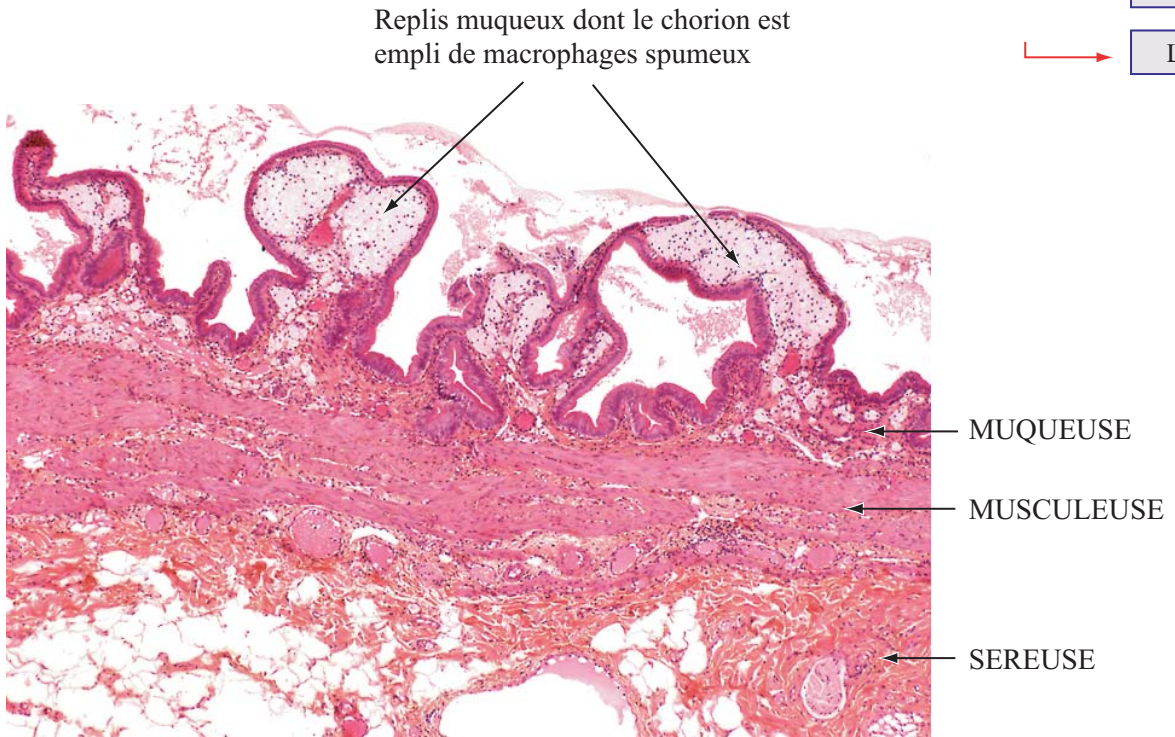


Préservation et mise en évidence des graisses par post-fixation au tétroxyde d'osmium (noir)

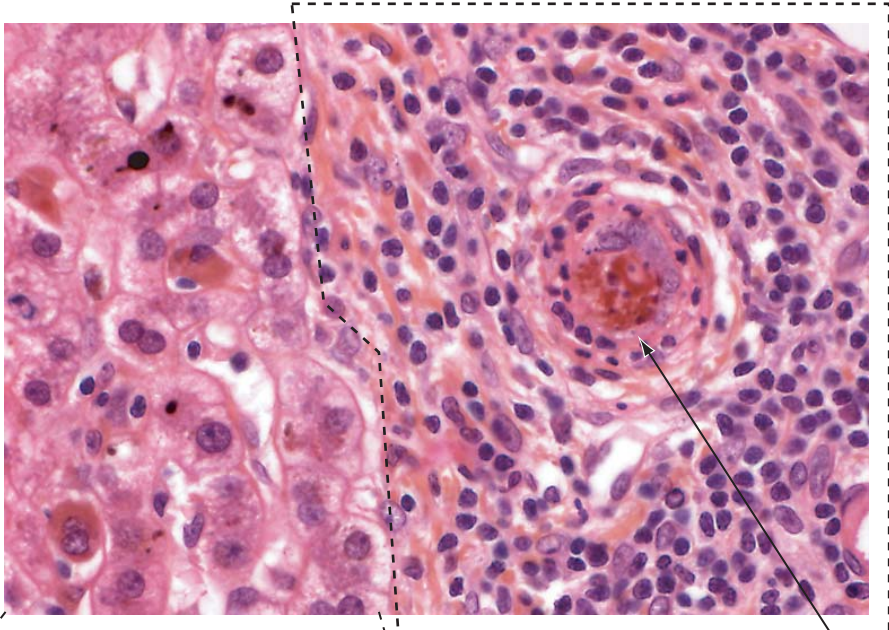




Pathologies  
Lames

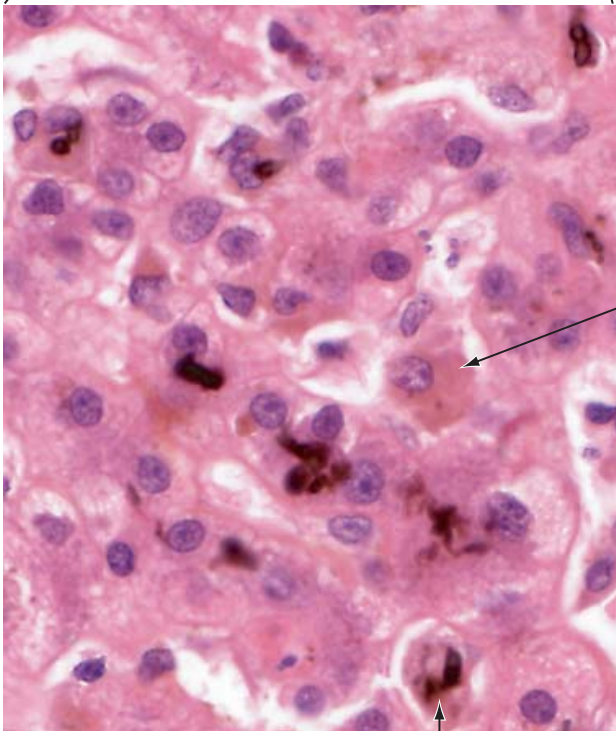


Pathologies  
Lames



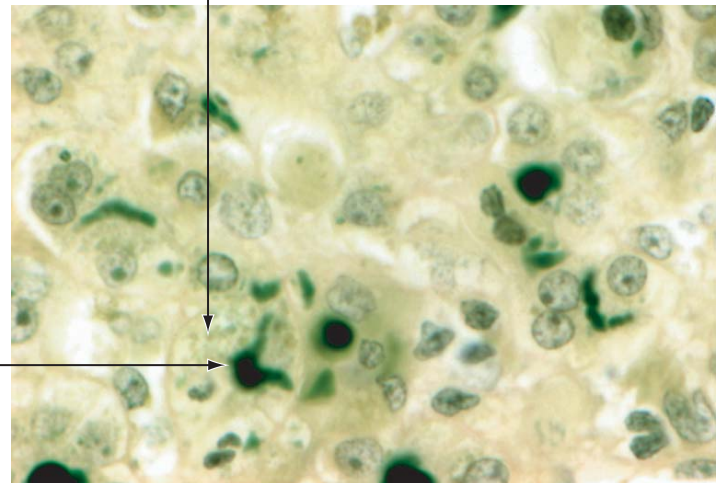
Zone périportale

Cholostase canalaire  
(dans le canal biliaire)

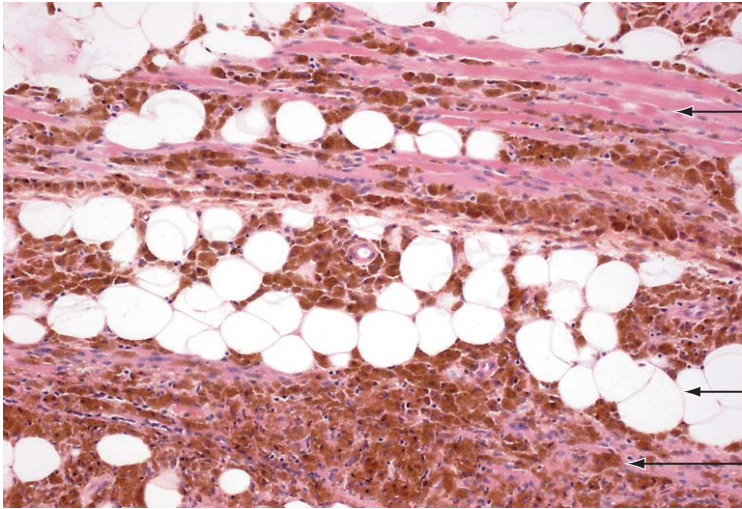


Cholestase cellulaire (dans les hépatocytes)

Cholostase canaliculaire  
(dans les canalicules inter-hépatocytaires)



COLORATION DE FOUCHET (bile en vert)



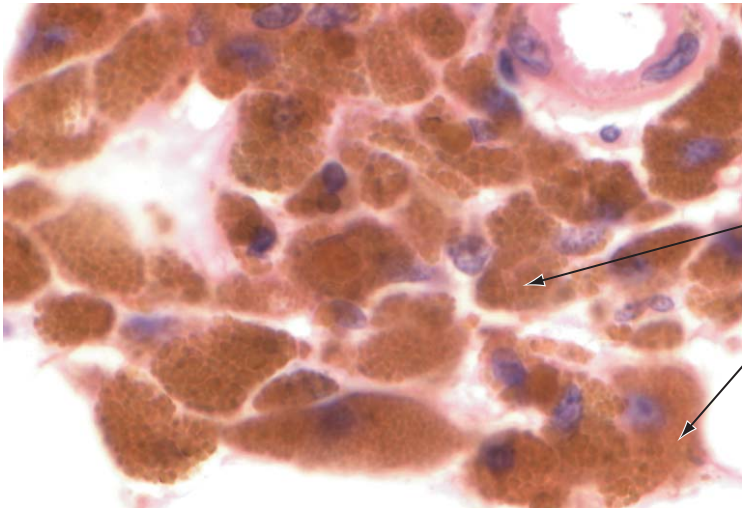
Cellules musculaires striées

Tissu adipeux

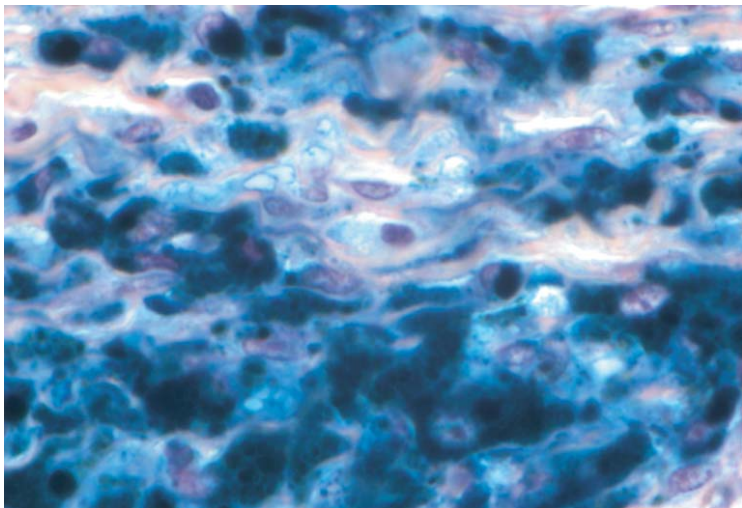
Dépôts d'hémossidérine

Pathologies

Lames



Hémossidérine (HES)  
- phagocytée par macrophage  
- granulaire  
- couleur rouille  
- discrètement réfringente



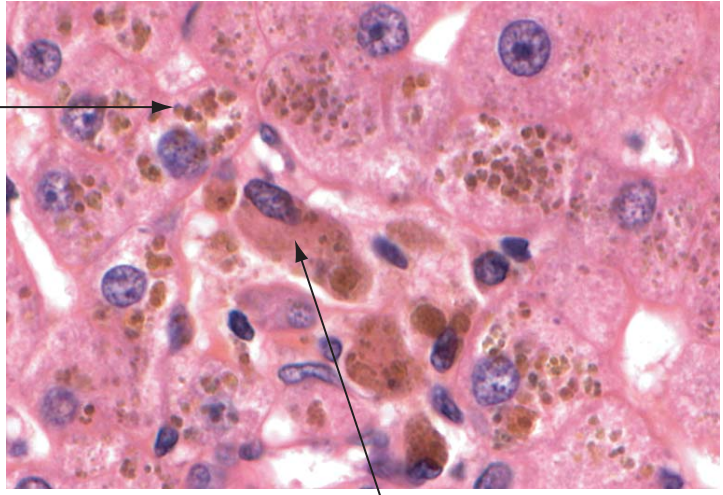
Hémossidérine (PERLS)

Pathologies  
Lames



Nodule cirrhotique

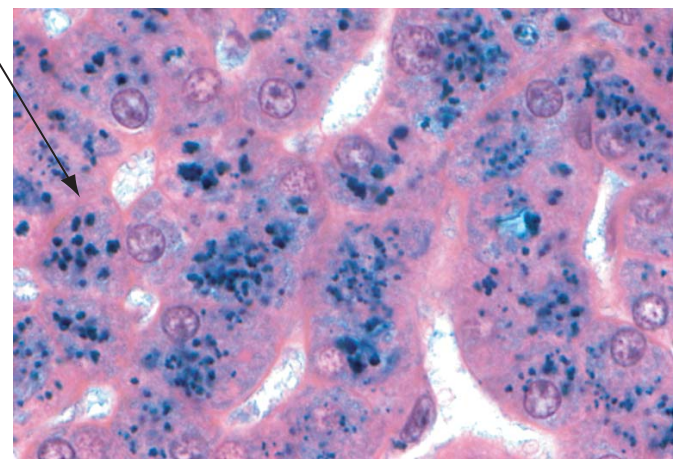
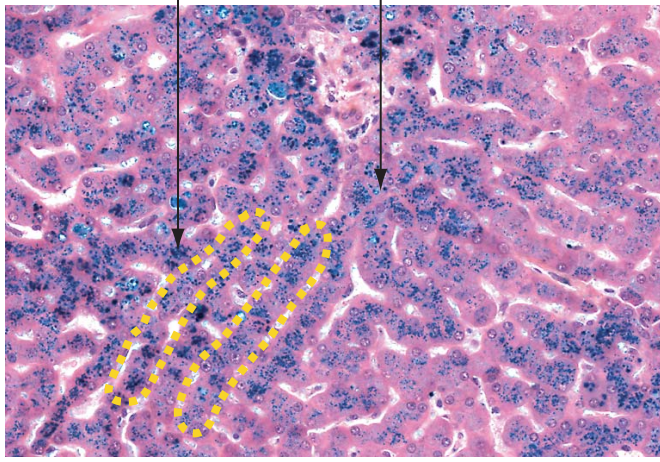
Travée fibreuse cicatricielle



Hémosidérine intra-hépatocytaire

Hémosidérine intra-kupferienne

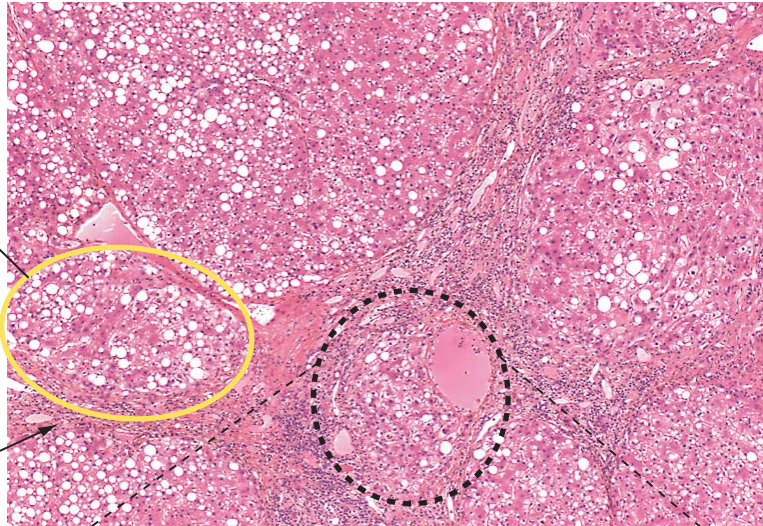
Aspect "en rails" des dépôts hépatocytaires



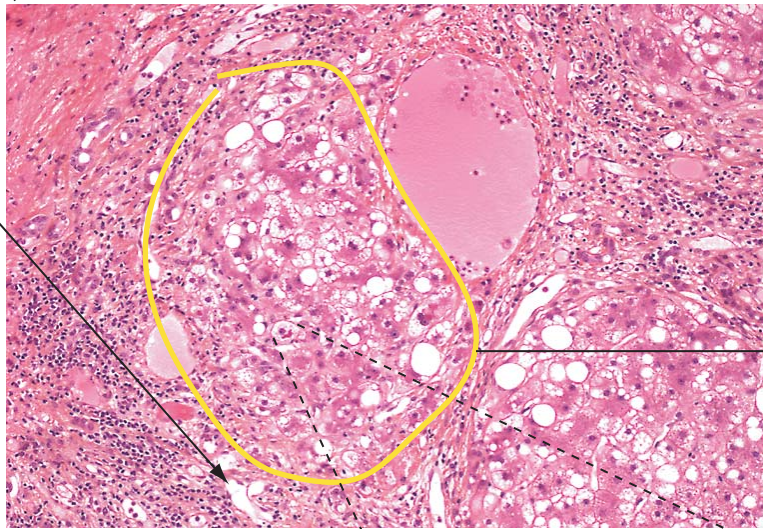
COLORATION DE PERLS

Pathologies  
Lames

Nodule cirrhotique



Travées fibreuses cicatricielles

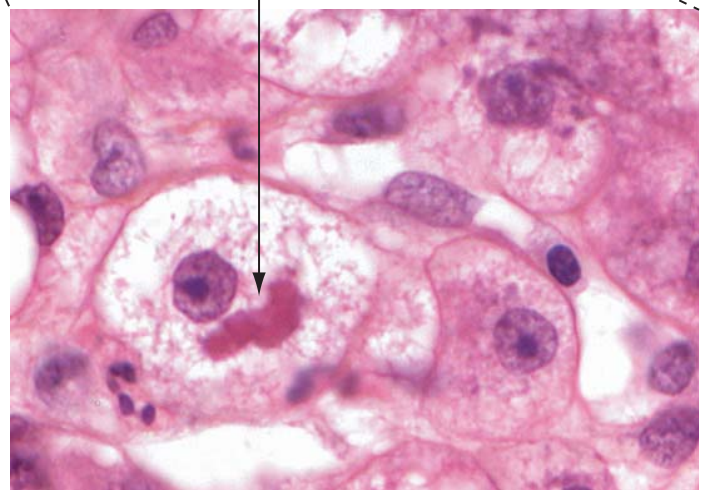
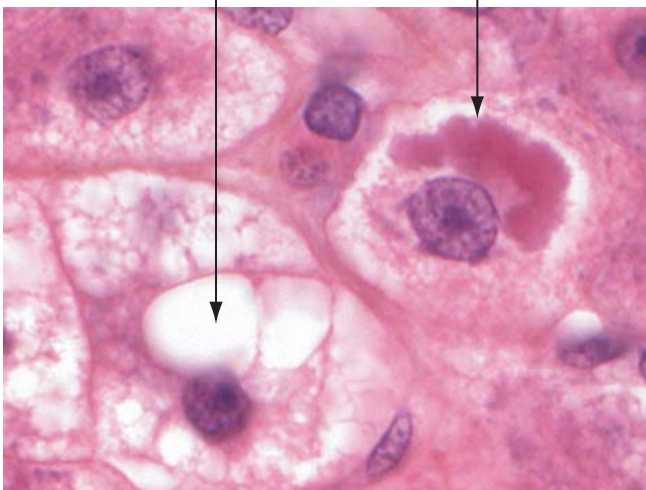


Nodule cirrhotique

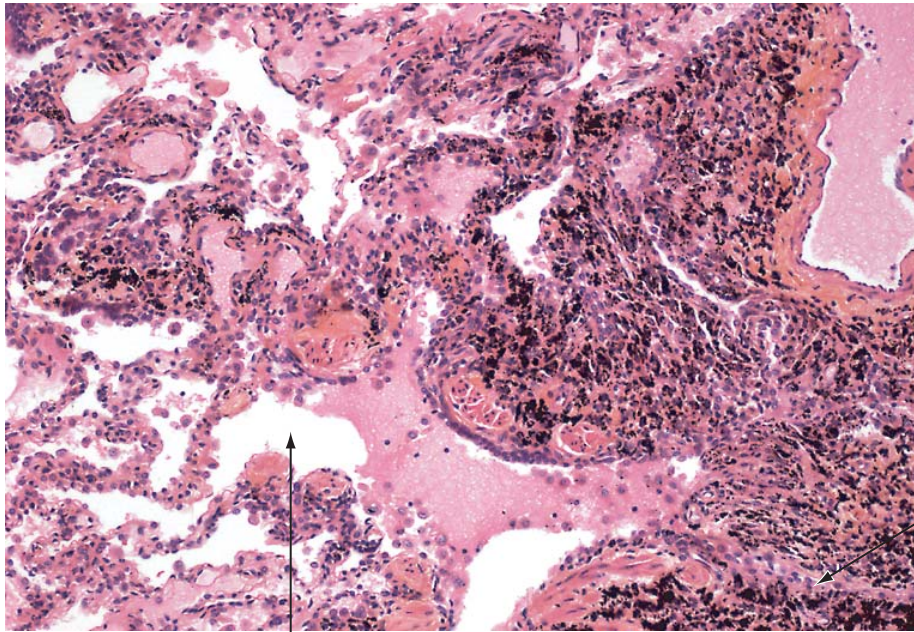
Stéatose macro-vacuolaire

Corps de Mallory

Corps de Mallory



ANTHRACOSE PULMONAIRE

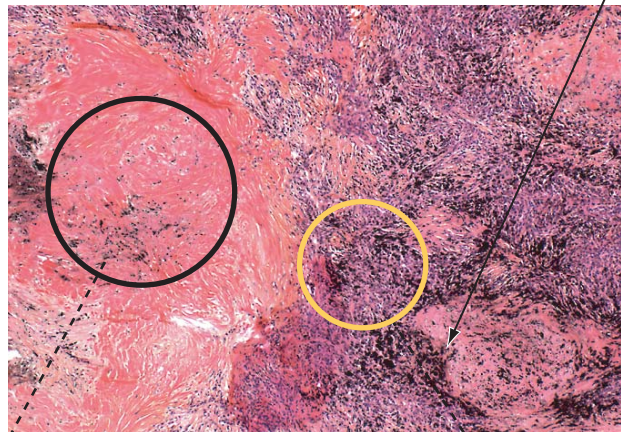


Alvéole

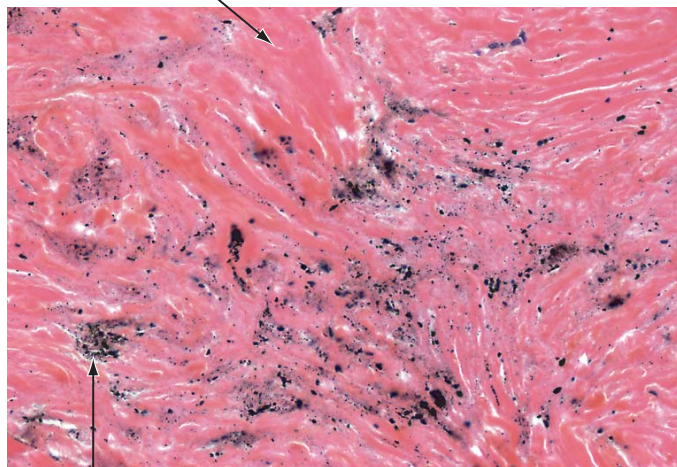
Pathologies  
Lames

Dépôts anthracotiques (noirs)

ANTHRACOSILICOSE GANGLIONNAIRE

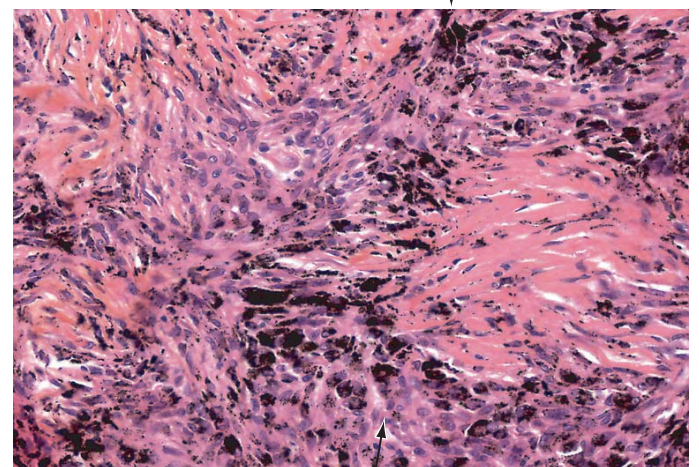


Fibrose collagène dense et constituée



Dépôts anthracotiques

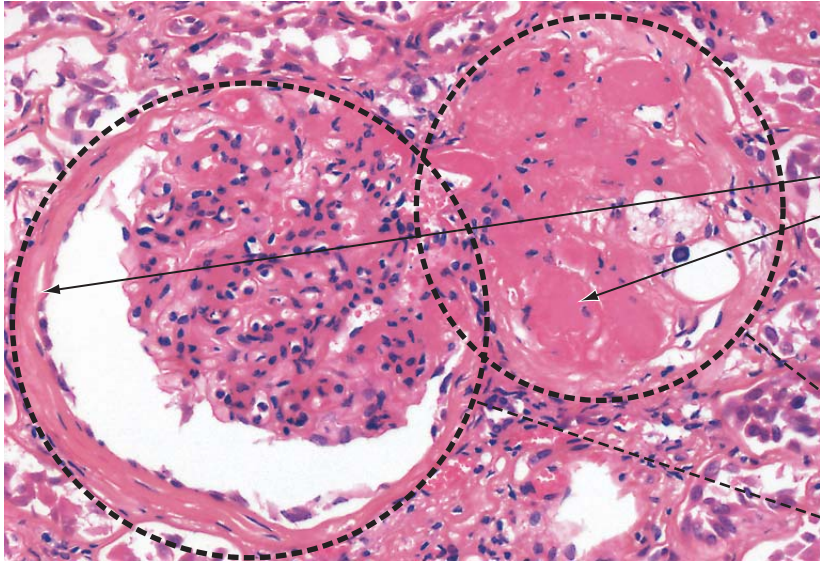
Dépôts de silice non visibles en lumière normale (ils sont détectables en fond noir sous forme de cristaux lancéolés)



Fibrogenèse active (fibroblastes jeunes et prolifératifs en cours de synthèse collagène)

↳ Pathologies

↳ Lames

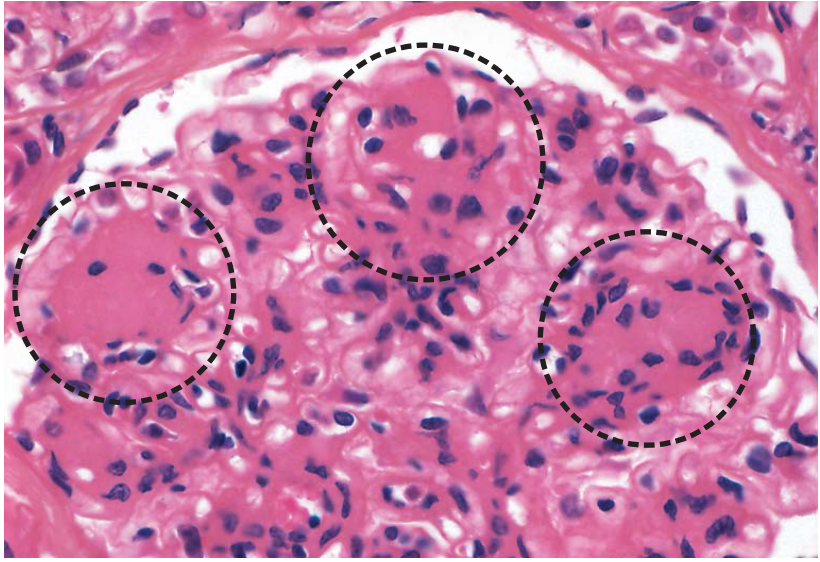


Dépôts éosinophiles au niveau des membranes basales avec étouffement progressif des glomérules

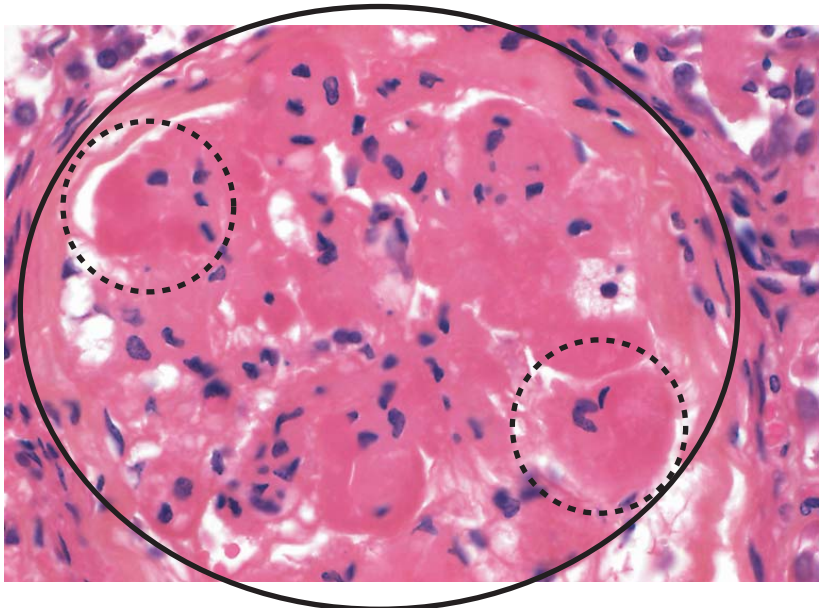
*Diagnostic différentiel de l'amyloïdose:*  
 - pas de dépôts vasculaires ni interstitiels  
 - pas de marquage au rouge Congo

Glomérule très atteint

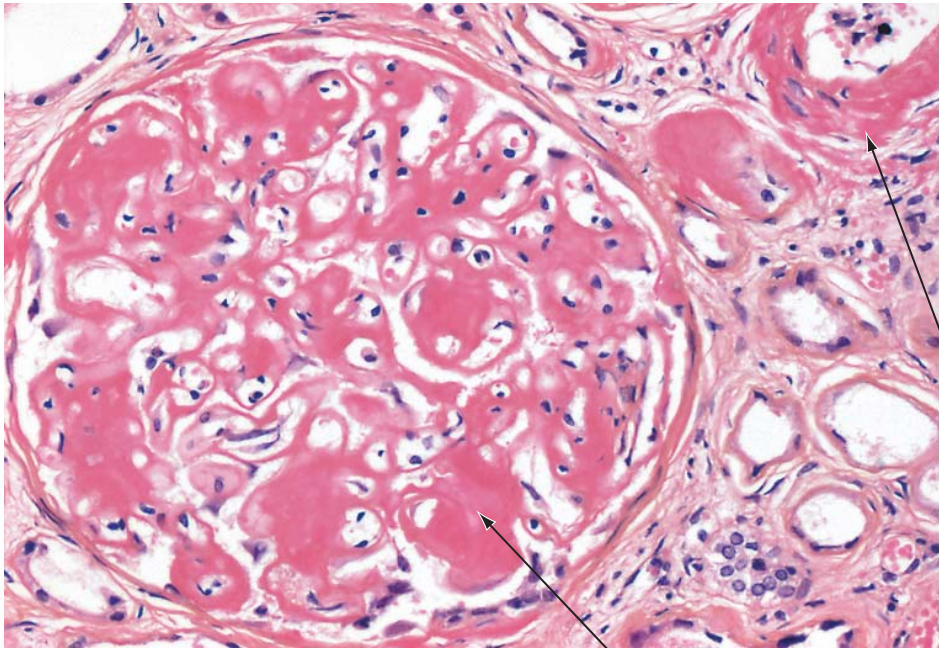
Glomérule peu atteint



Les dépôts éosinophiles nodulaires sont cerclés dans ce glomérule encore partiellement fonctionnel

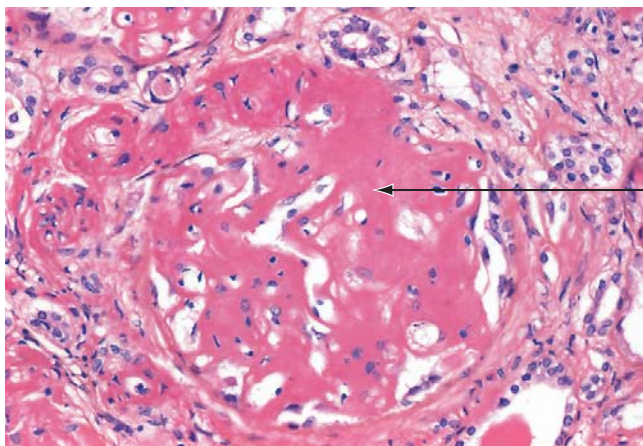


Les dépôts éosinophiles nodulaires, dont deux sont cerclés, confluent progressivement pour étouffer les capillaires glomérulaires. Le glomérule est cerclé en trait plein.



↳ Pathologies  
↳ Lames

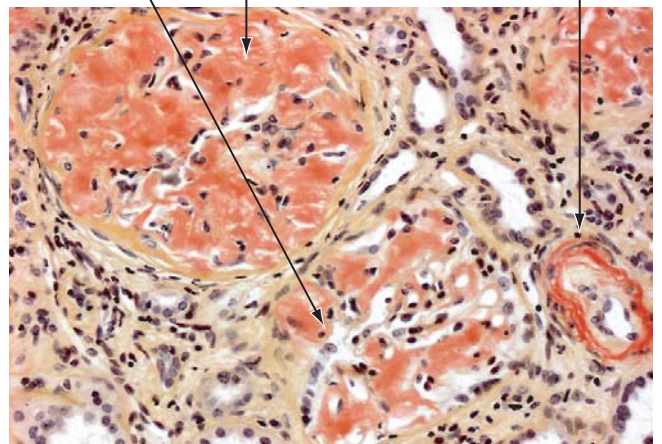
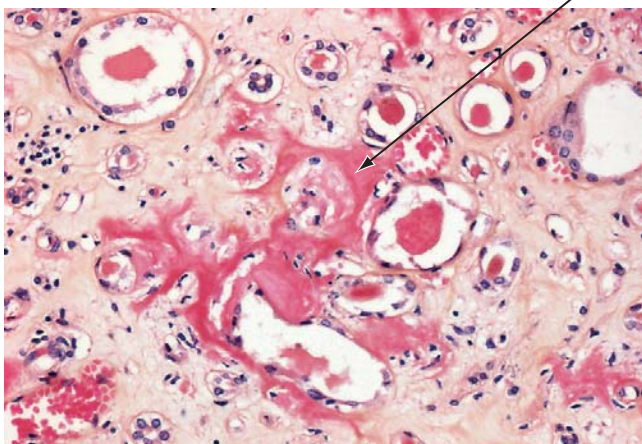
Dépôts amyloïdes éosinophiles, extracellulaires, positifs pour le rouge Congo, au niveau de:



Dépôts glomérulaires

Dépôts interstitiels

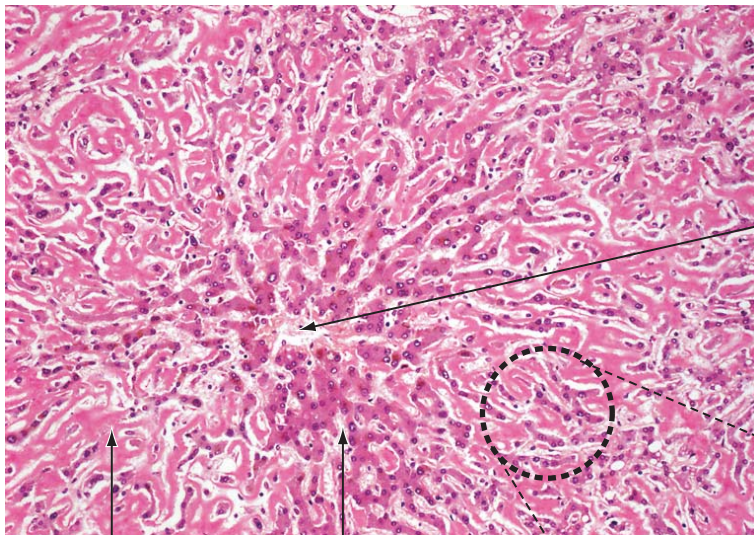
Dépôts dans les parois vasculaires



COLORATION AU ROUGE CONGO



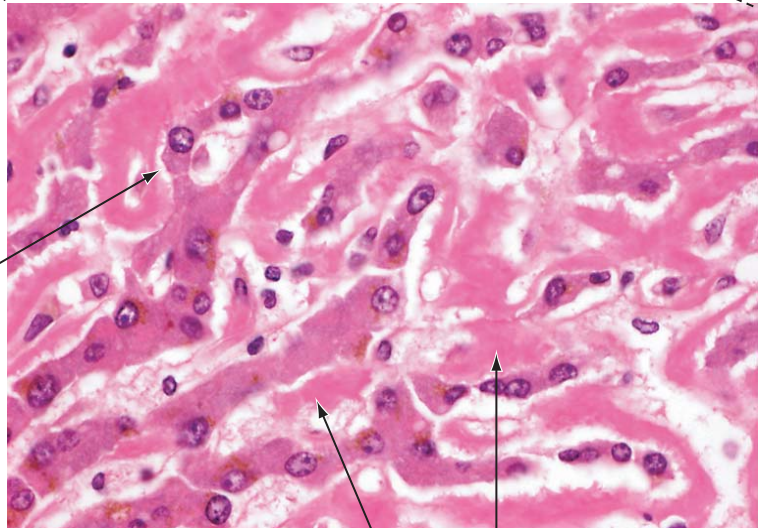
Pathologies  
Lames



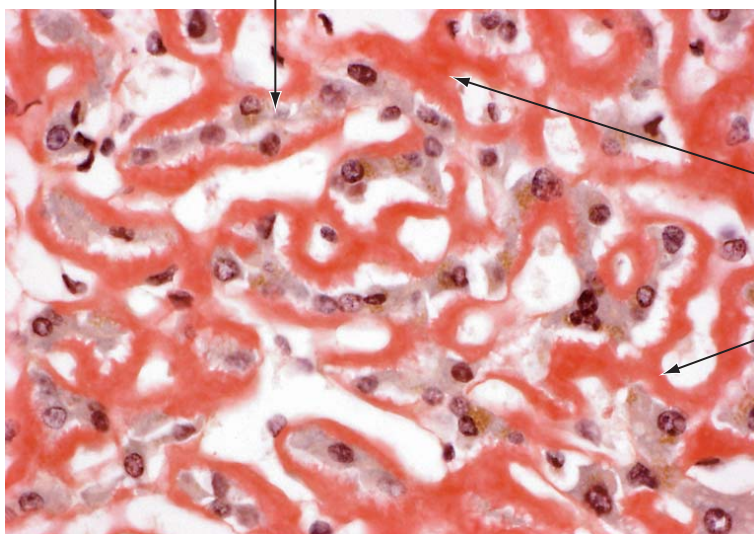
Veine centrolobulaire

Région très atteinte

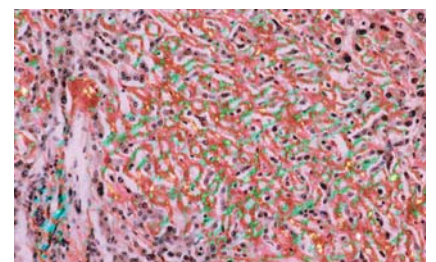
Région moins atteinte



Travées hépatocytaires comprimées par les dépôts amyloïdes dans les espaces de Disse



COLORATION DE ROUGE CONGO

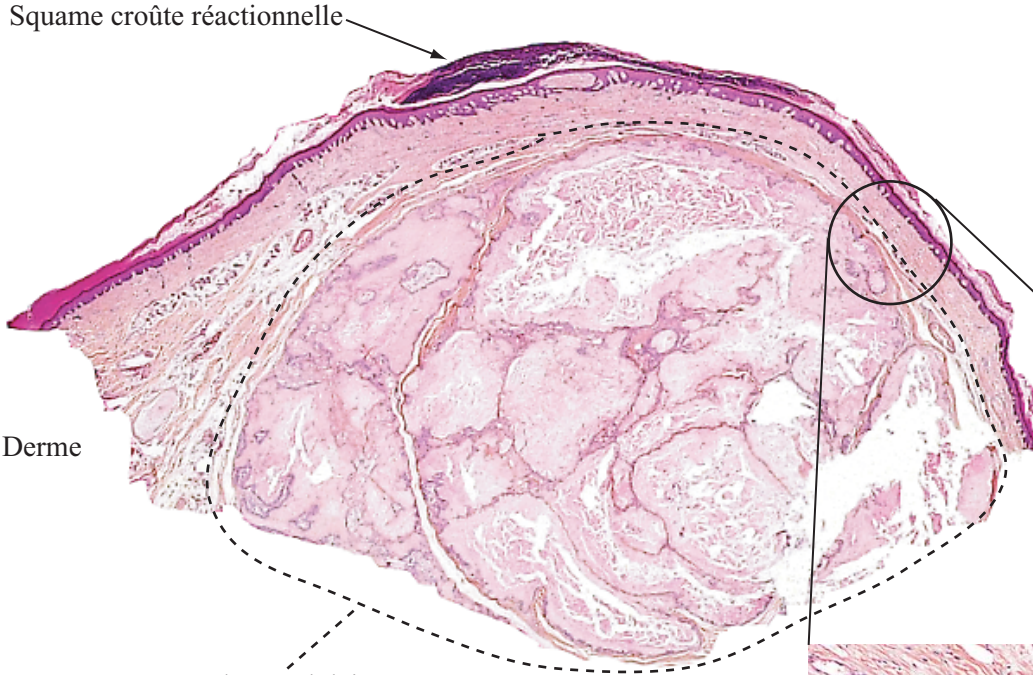


Dépôts amyloïdes

Rouge Congo + polarisation

AP055 Tophus goutteux (dépôts d'acide urique)

Pathologies  
Lames



Squame croûte réactionnelle

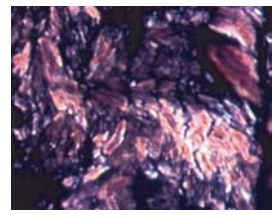
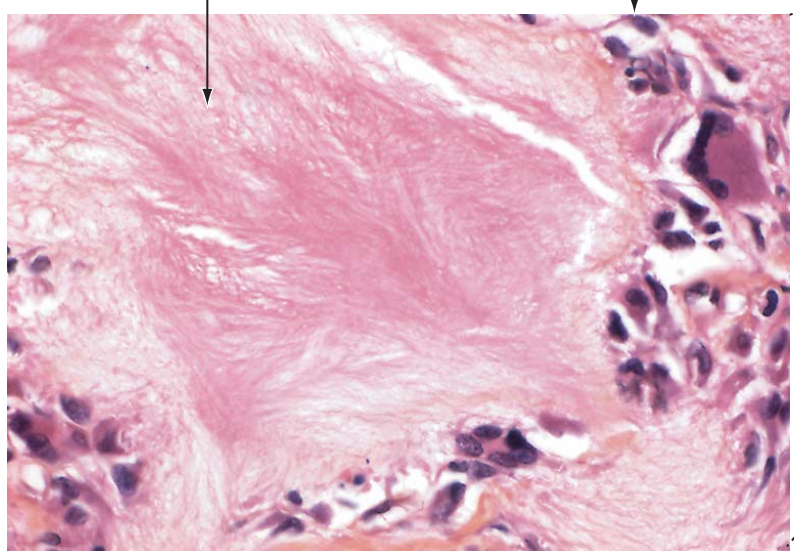
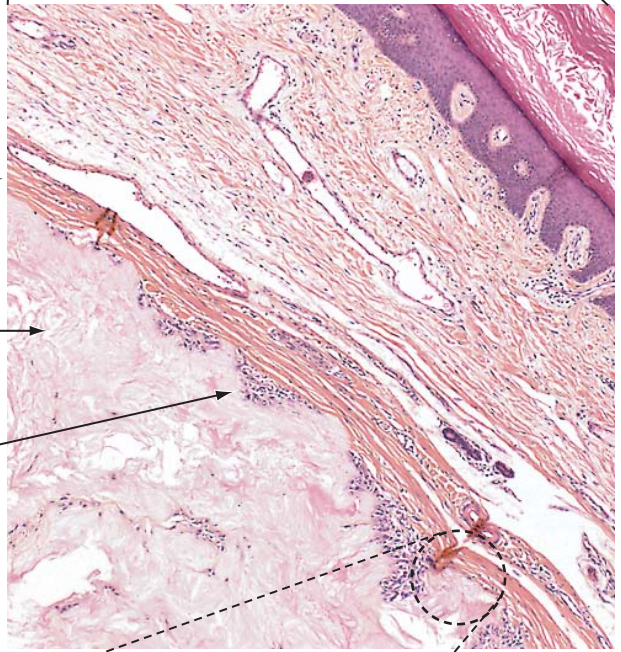
Derme

Tophus nodulaire hypodermique

"Capsule" fibro-cicatricielle

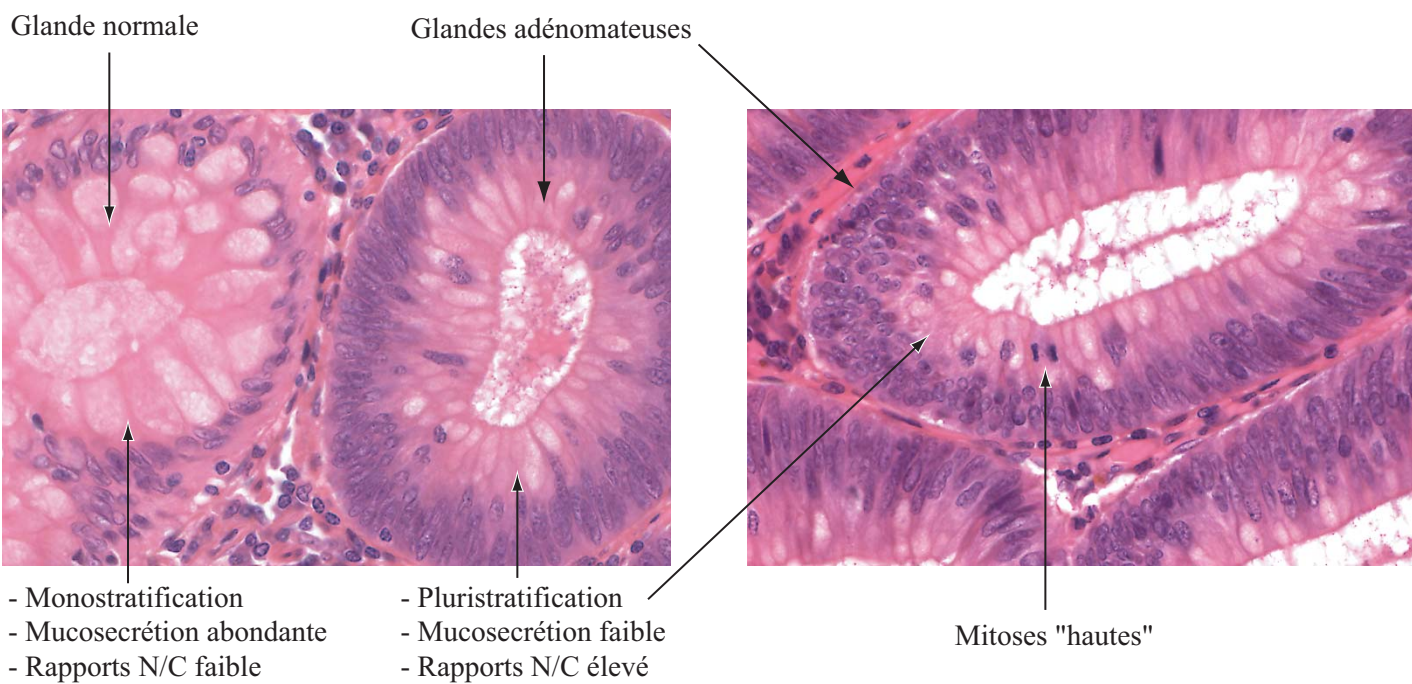
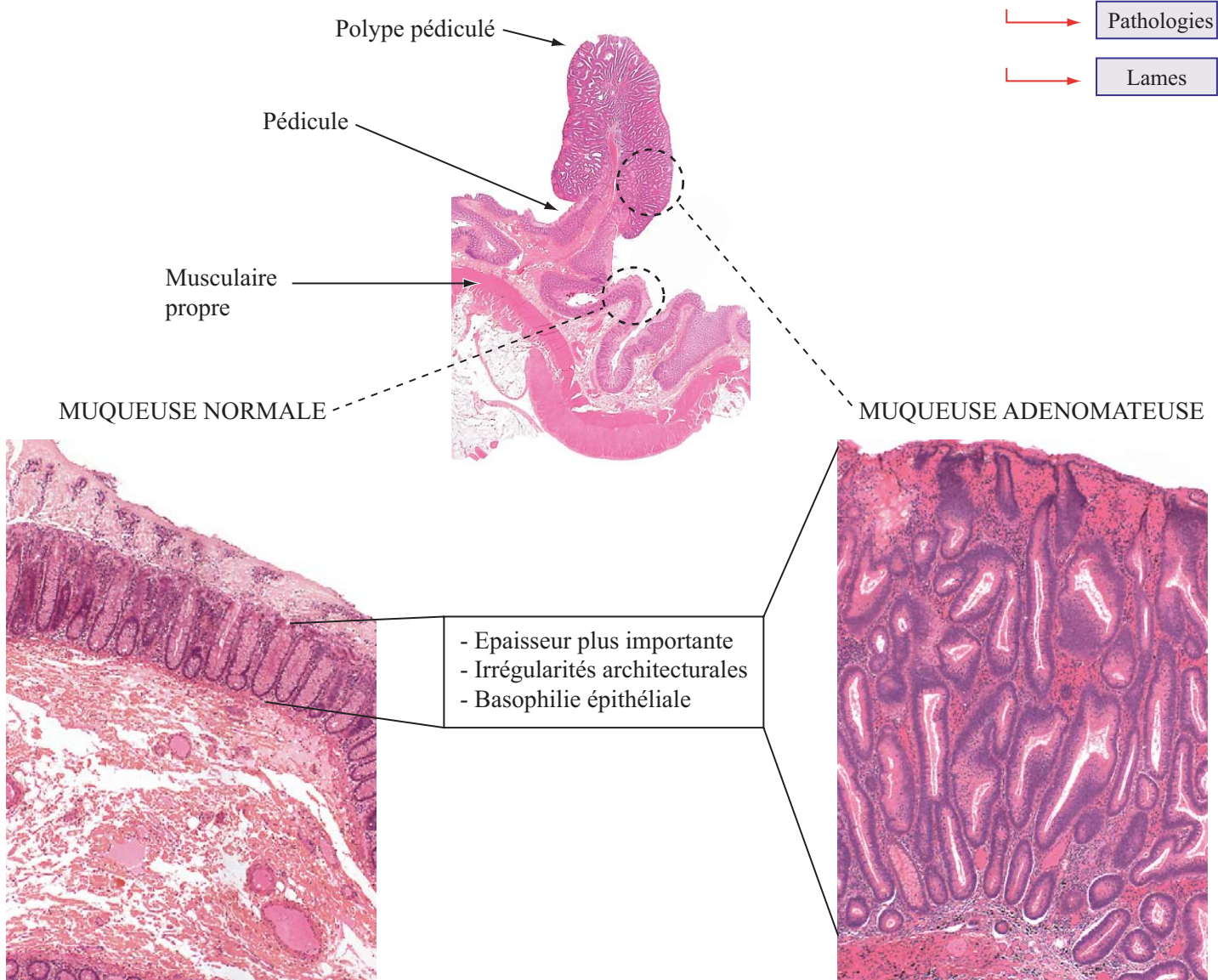
Matrice protéique éosinophile contenant les fantômes des cristaux d'urates dissous, fins et lancéolés

Palissade de cellules épithélioïdes (+ rares cellules géantes)



Cristaux d'acide urique en lumière polarisée

AP155 Adénome tubuleux colique (dysplasie légère)



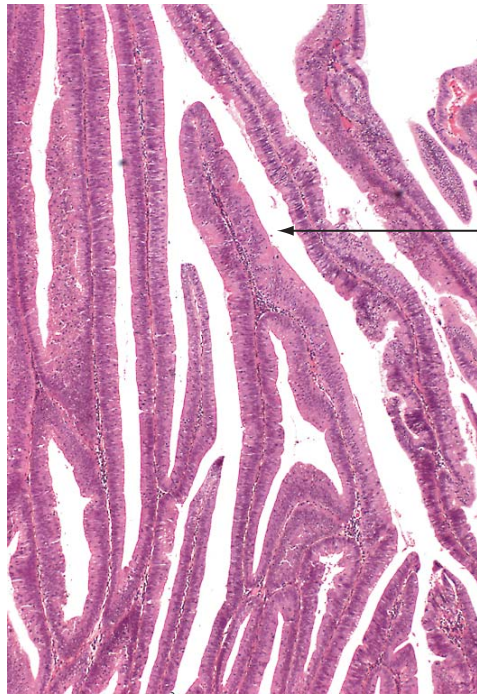
AP156 Adénome vilieux colique (dysplasie modérée)

Muqueuse adénomateuse

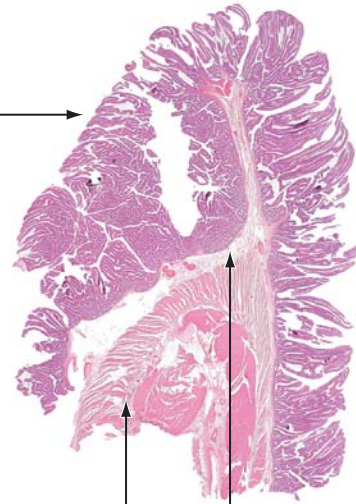
- épaisse
- glandes très profondes donnant un aspect vilieux
- basophilie épithéliale

Polype sessile

- ↳ Pathologies
- ↳ Lames



"Villosité"



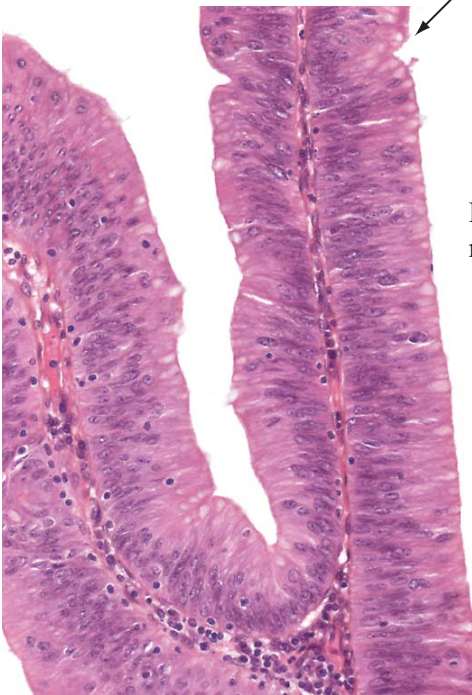
"Villosité"

Musculaire propre

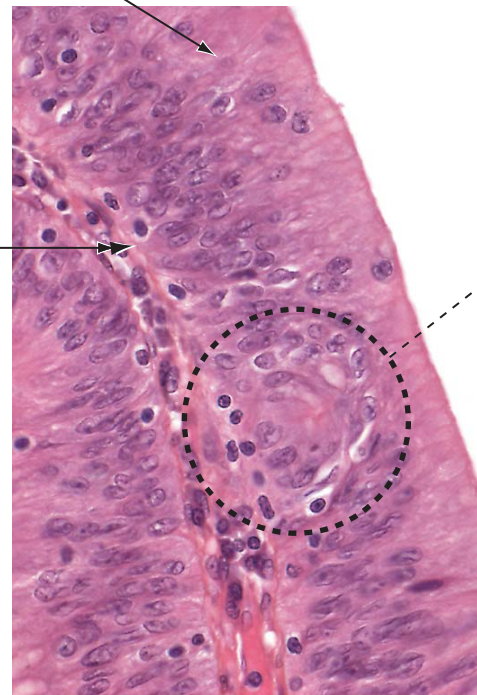
Musculaire muqueuse non effractée

Epithélium

- stratifié
- mitoses hautes
- rapport N/C élevé
- faible mucosecrétion

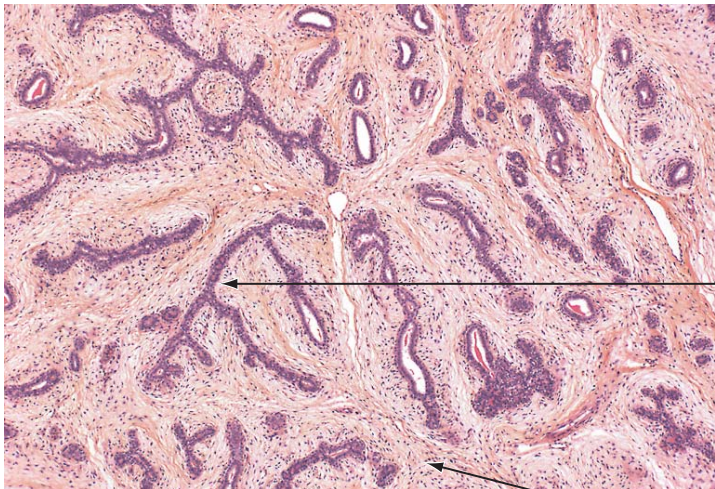
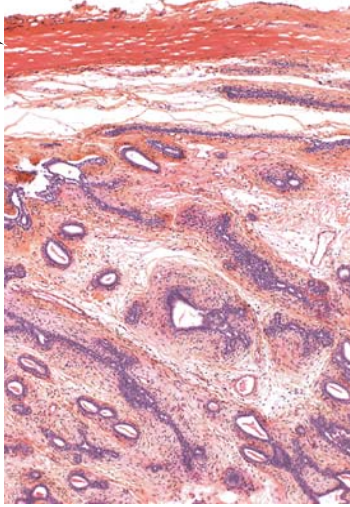
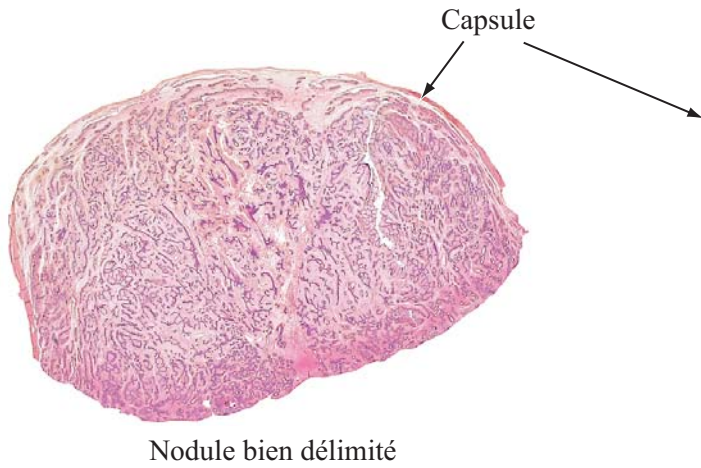


Membrane basale non effractée



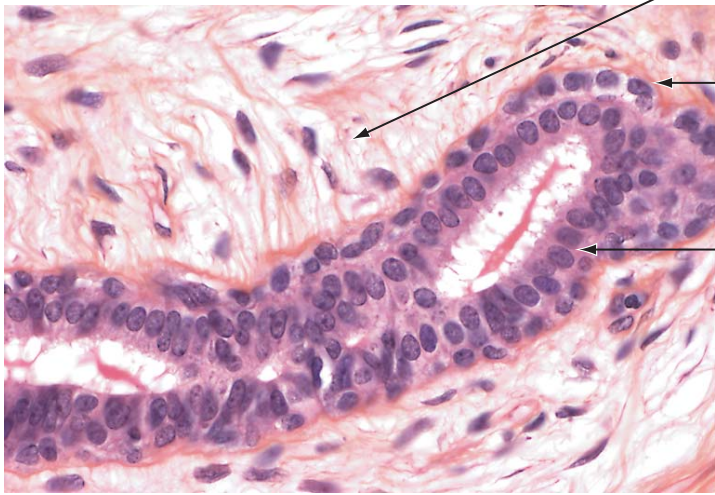
Glande intra-épithéliale

Pathologies  
Lames



Glandes en caractères chinois  
(composante *-adénome*)

Stroma cellulaire lâche  
(composante *fibro-*)

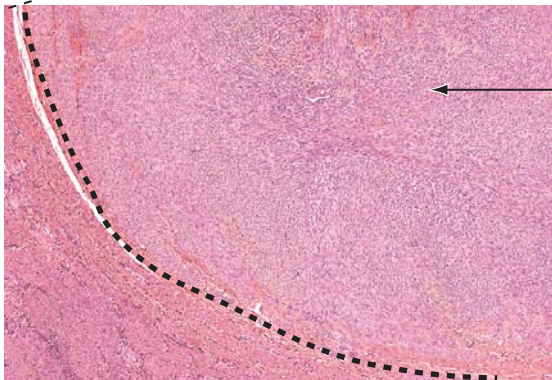
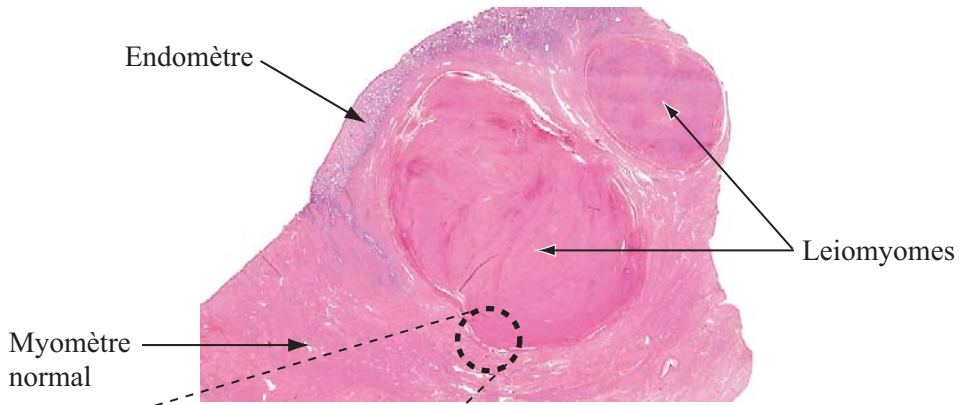


Couche myoépithéliale

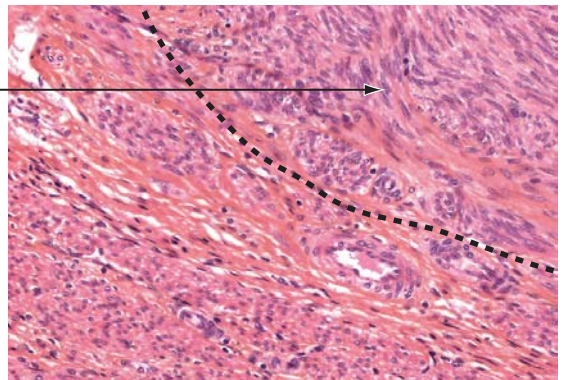
Couche épithéliale sans atypies

DETAIL D'UNE GLANDE ADENOMATEUSE

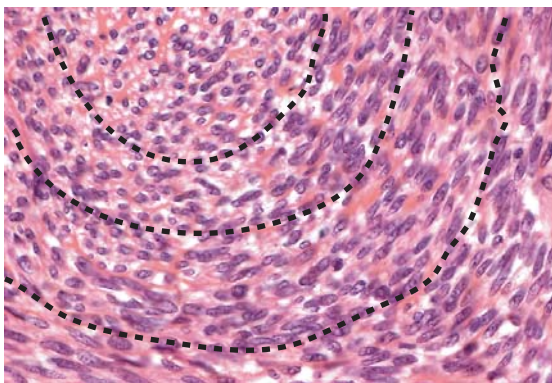
Pathologies  
Lames



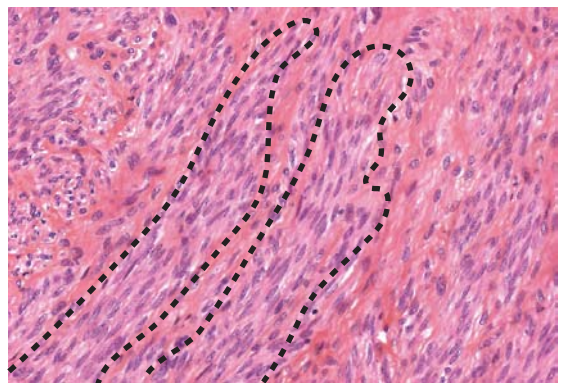
Bordure nette et régulière du leiomyome (pas de véritable capsule)



Bordure du leiomyome (détail)

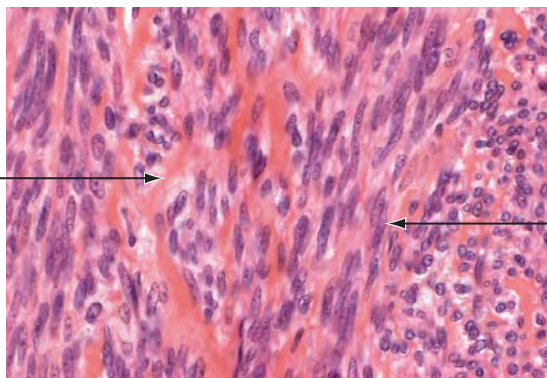


Disposition "nodulaire" des cellules musculaires lisses du leiomyome



Disposition "fasciculaire" des cellules musculaires lisses du leiomyome

Dépôts de collagène entre les faisceaux (fibrose du leiomyome)



Cellules tumorales bénignes  
- musculaires lisses  
- noyaux allongés et réguliers  
- PAS de mitose

Lésion tumorale nodulaire bien limitée

Pathologies

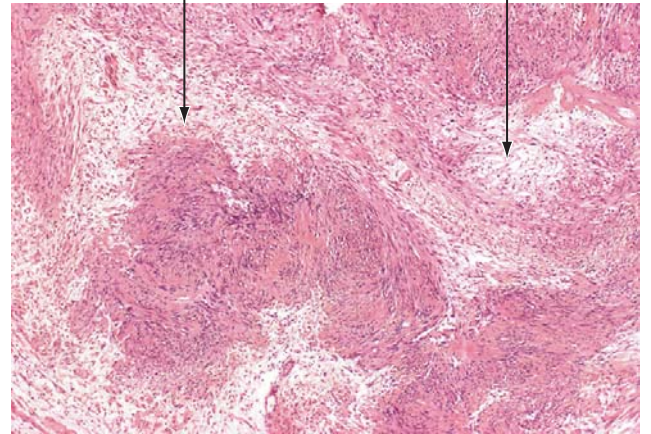
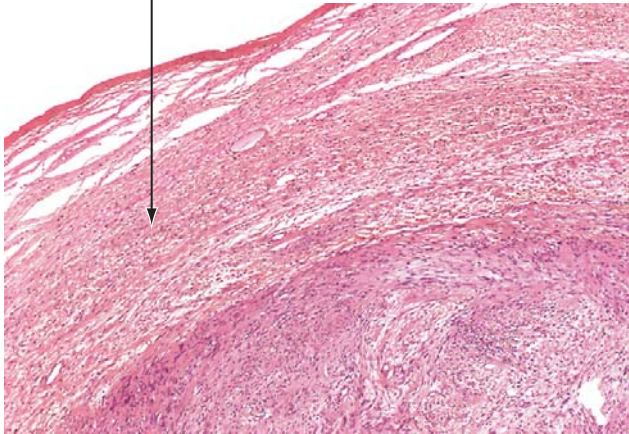
Lames

Capsule conjonctive

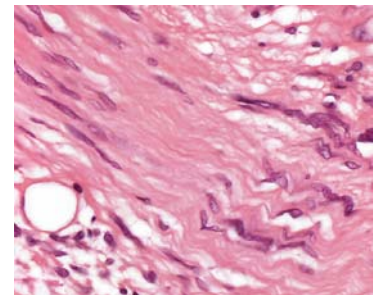
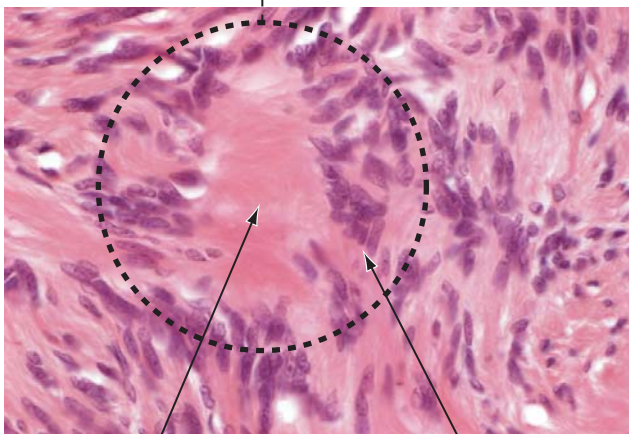


Zones Antoni B (peu cellulaires)

Zones Antoni A (cellulaires)



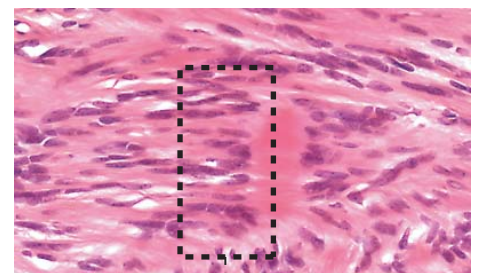
Rosette



Diférenciation schwannienne (noyaux ondulés, cellules filiformes)

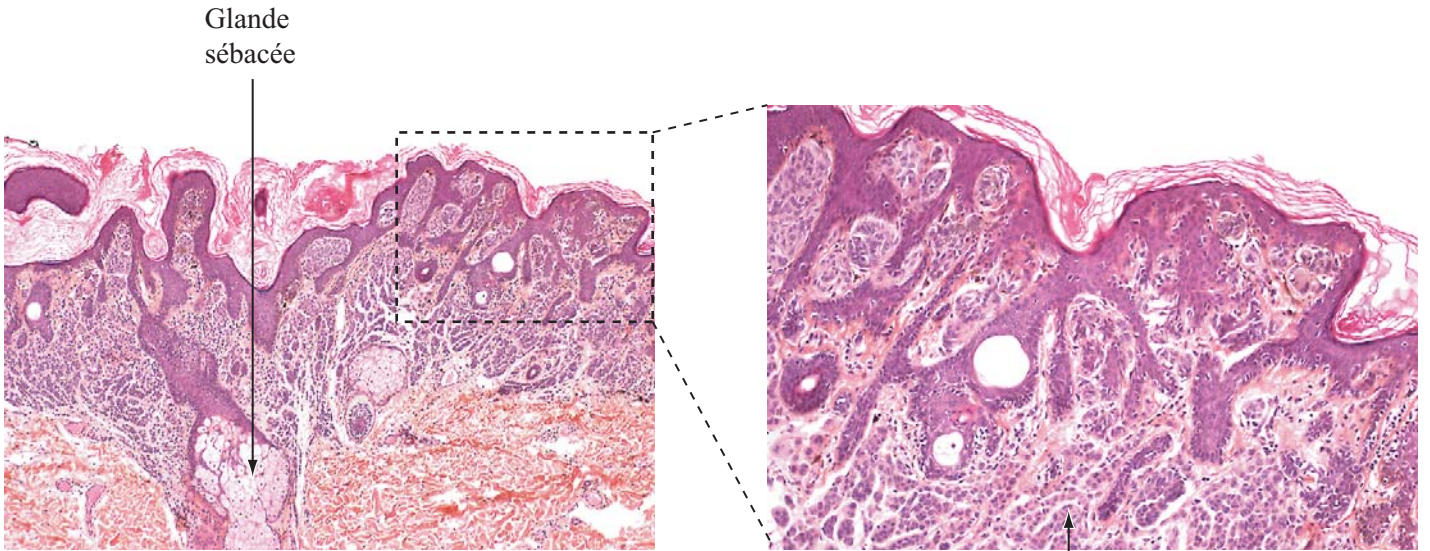
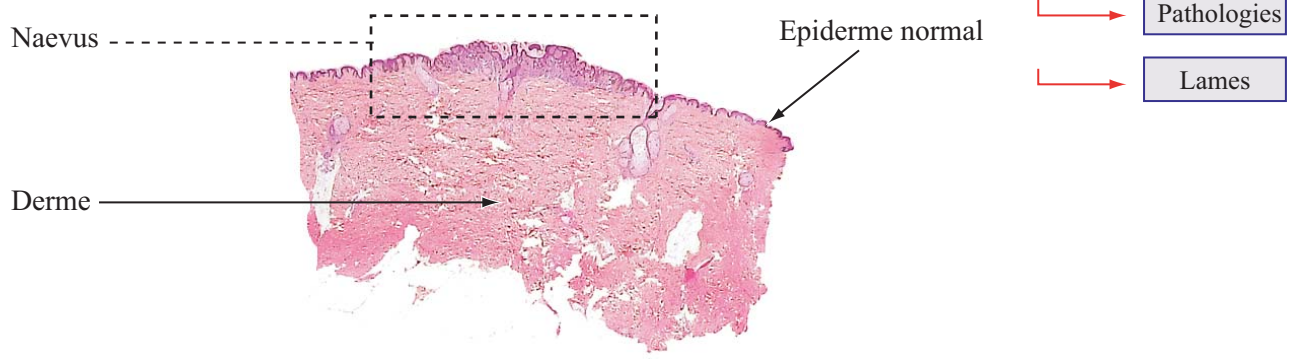
Prolongements cytoplasmiques fibrillaires des cellules tumorales

Cellules tumorales - noyaux allongés - pas d'atypies



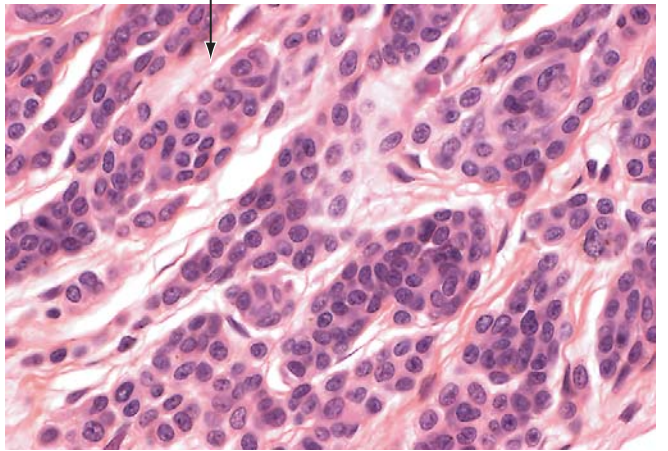
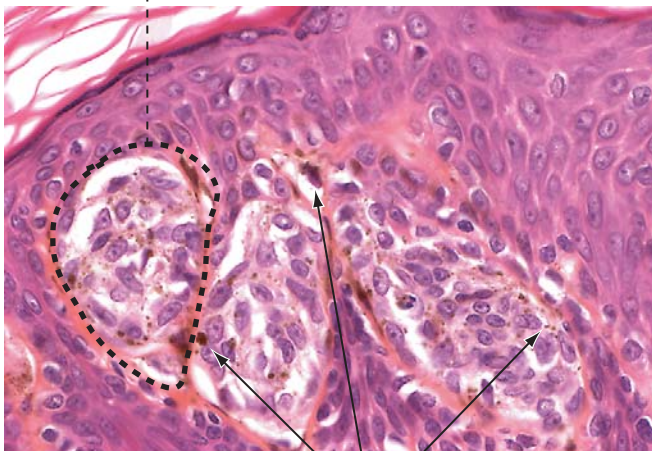
Noyaux palissadiques

# AP162 Naevus naevocellulaire composé



**Thèque naevique jonctionnelle**  
 - entre la lame basale et l'épiderme  
 - pas de migration dans les couches épidermiques

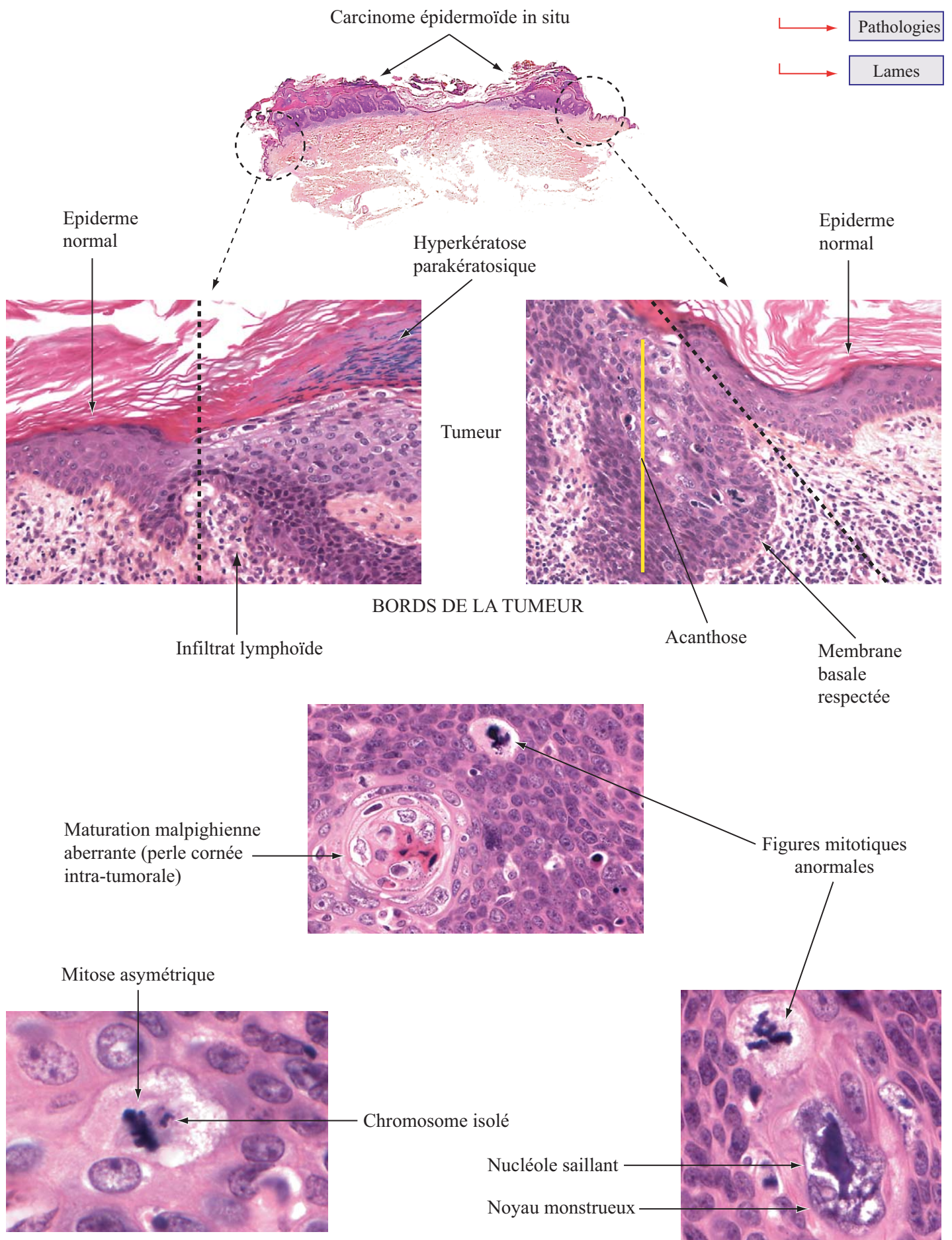
**Thèques naeviques dermiques**



Pigments mélaniques

Absence de mitoses  
 Absence d'atypies (pas un critère de bénignité)  
 Absence d'infiltrat lymphocytaire

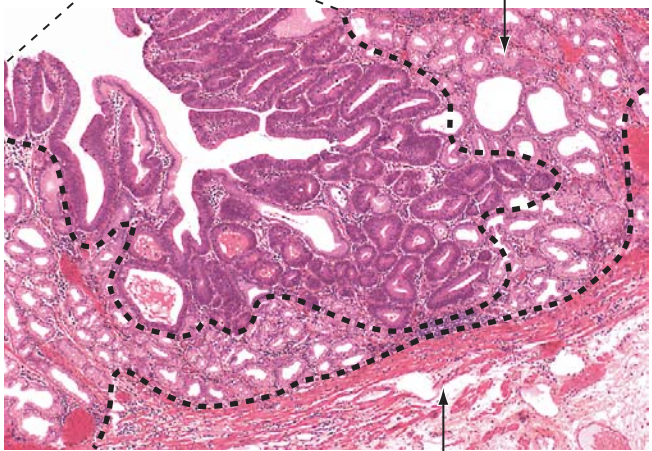




AP186 Adénocarcinome gastrique in situ et intra-muqueux

Glandes colonisées par le carcinome in situ


Glandes antrales normales



Sous-muqueuse non infiltrée


Pathologies

Lames




Carcinome in situ


Membrane basale respectée



Epithelium gastrique normal

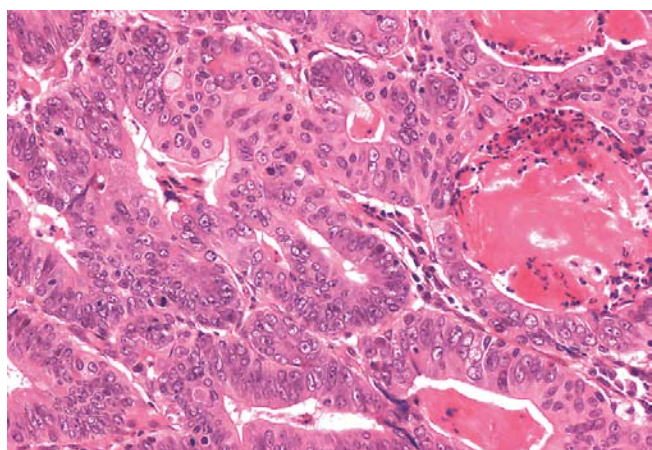


Membrane basale respectée



Carcinome in situ

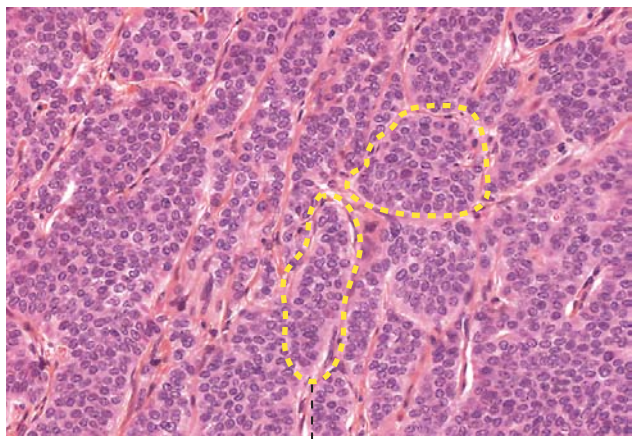
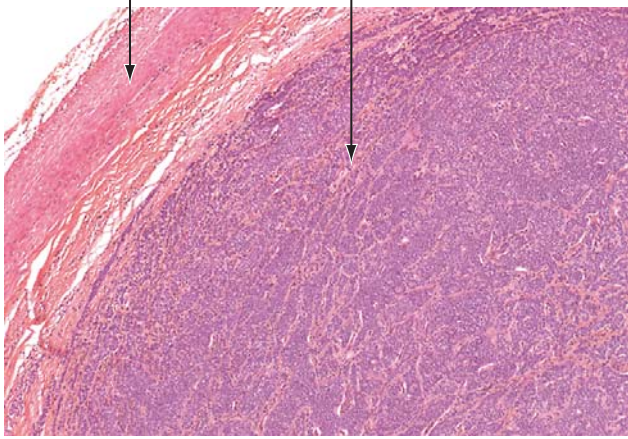
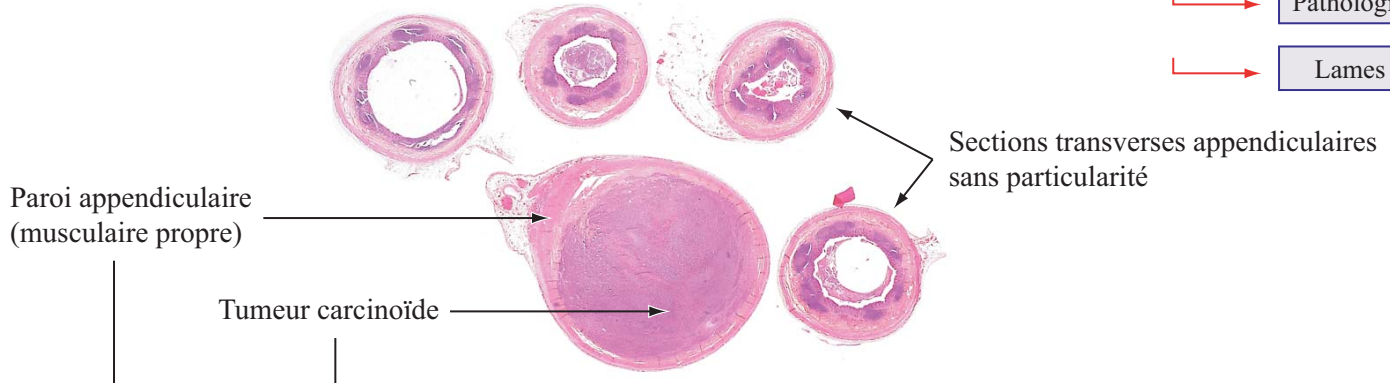
- atypies nucléaires
- mitoses anormales
- stratification
- perte de mucosecrétion



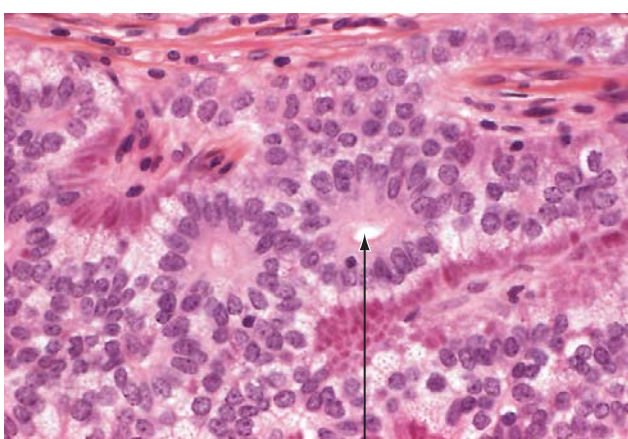
Foyer de carcinome ayant dépassé la basale mais restant cantonné dans la muqueuse (adénocarcinome intra-muqueux)

AP165 Tumeur carcinoïde appendiculaire (tumeur neuroendocrine de faible degré de malignité)

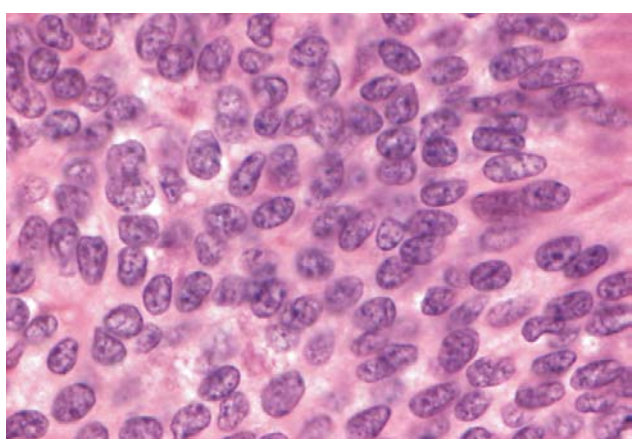
Pathologies  
Lames



Agencement cellulaire  
- en cordons  
- en travées



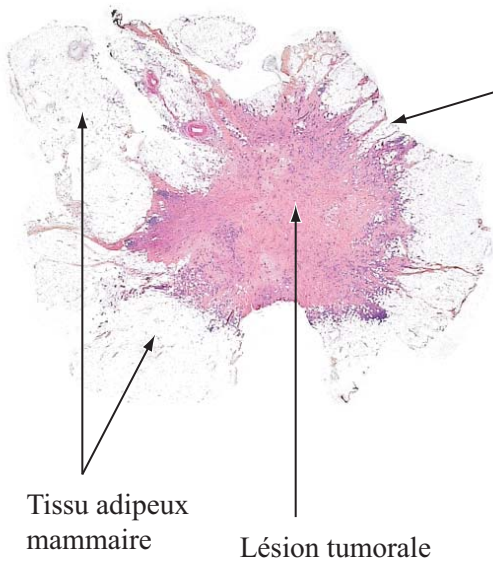
Agencement en rosettes neuroépithéliales (pseudo-glandes)



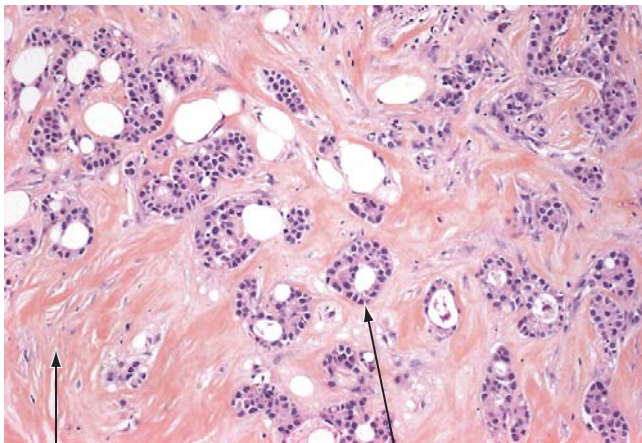
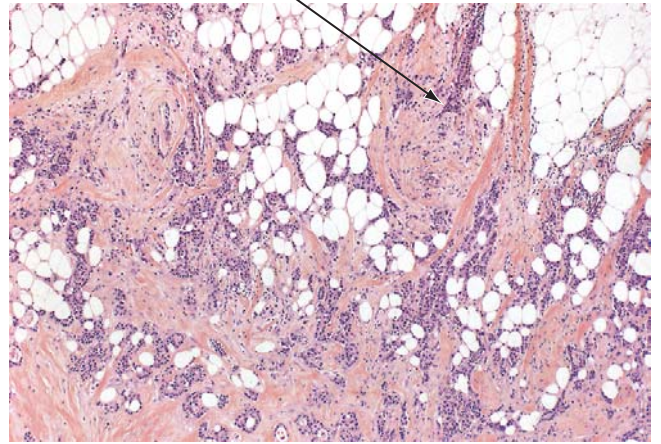
Cellules tumorales monotones  
- chromatine fine et granuleuse  
- peu de mitoses  
- pas de nécrose

Pathologies

Lames

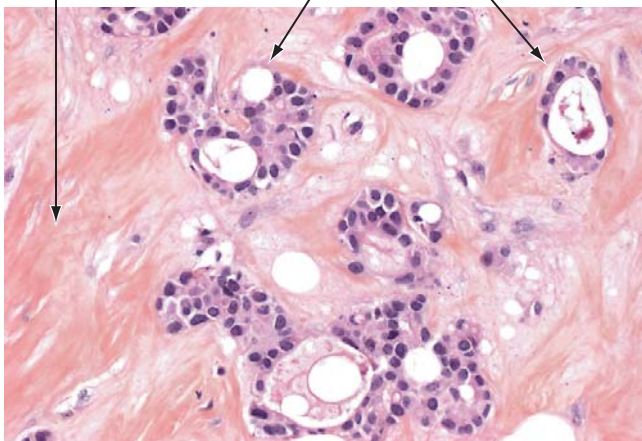


Front de progression irrégulier (spicules d'infiltration)

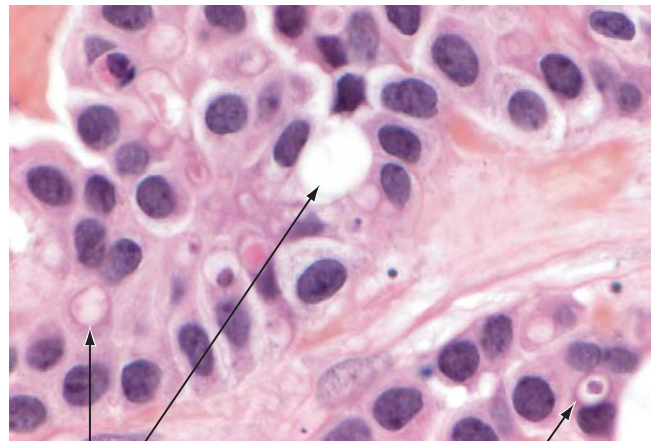


Stroma "fibreux"

Glandes tumorales irrégulières



Amas tumoral compact



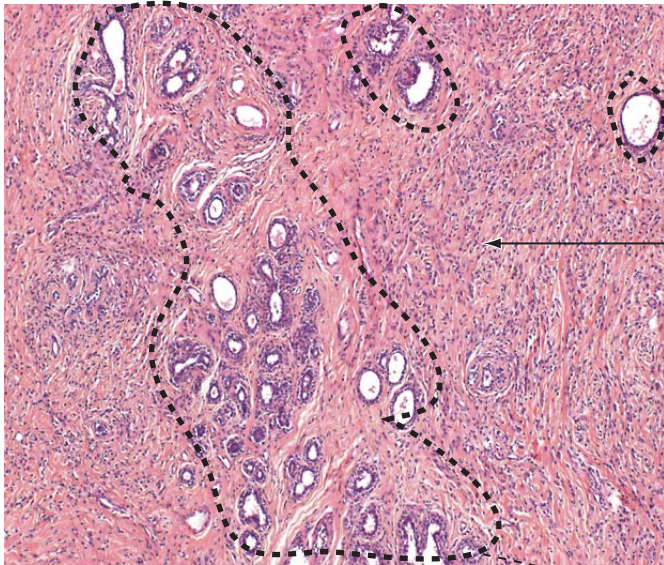
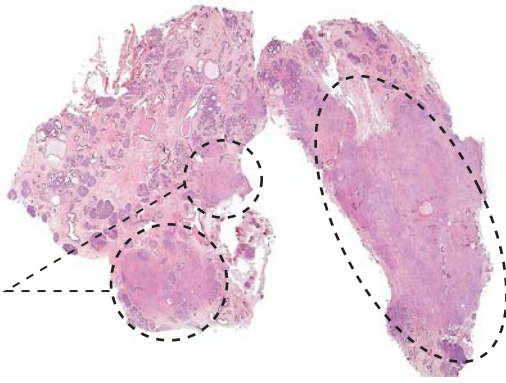
Lumières glandulaires aberrantes

Mucosecrétion aberrante, unicellulaire

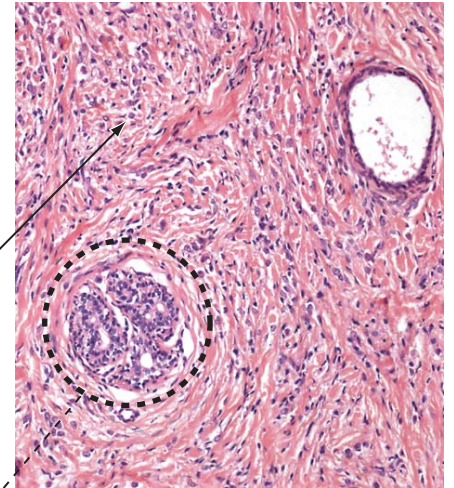
AP113 Adénocarcinome lobulaire infiltrant (sein)

Pathologies  
Lames

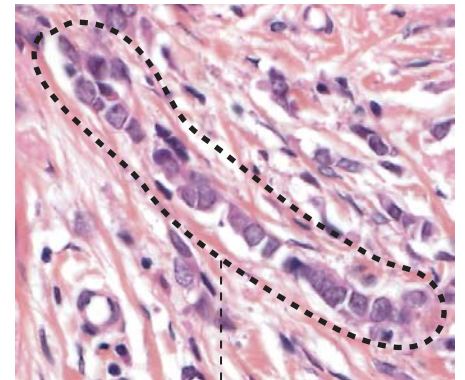
Foyers multiples  
mal limités



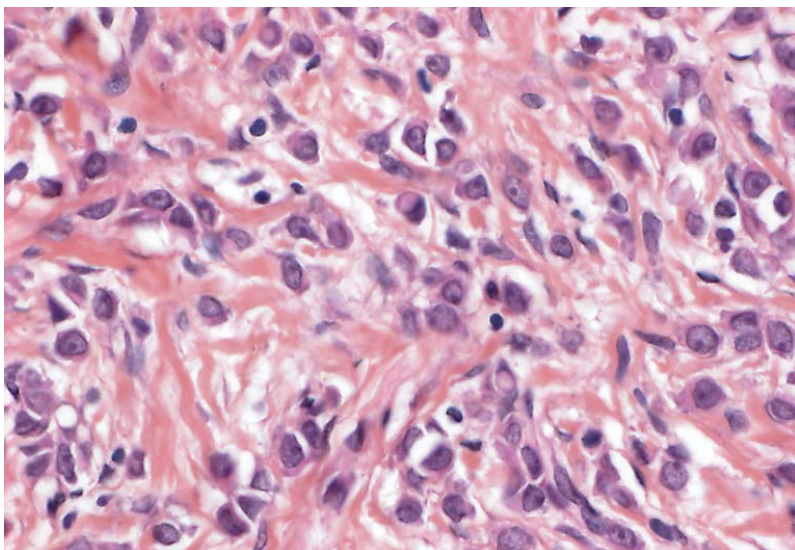
Infiltration tumorale  
diffuse entre les  
structures normales



Parenchyme mammaire  
normal



Alignement des cellules en file indienne



Cellules tumorales indépendantes, sans architecture particulière.  
Rapports N/C très élevé.

Mucosecrétion  
isolée  
(cellule en  
bague à châton)

Nucléole  
saillant



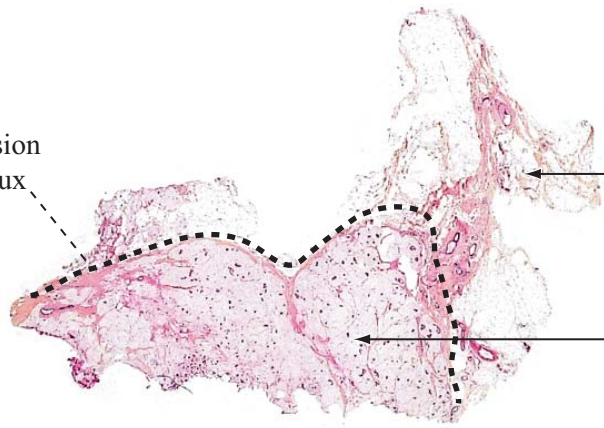
Pathologies

Lames

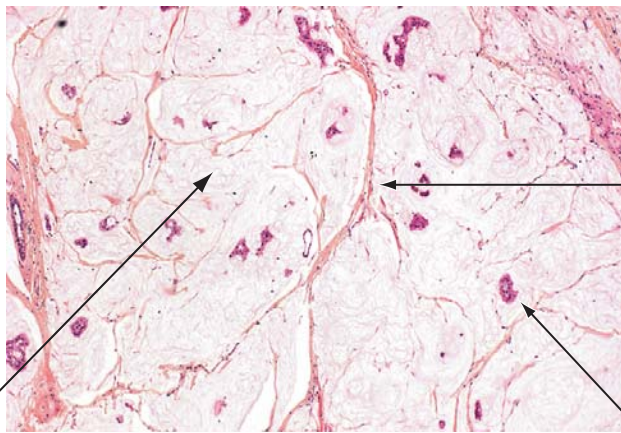
Front de progression tumoral net et doux

Parenchyme mammaire normal

Tumeur

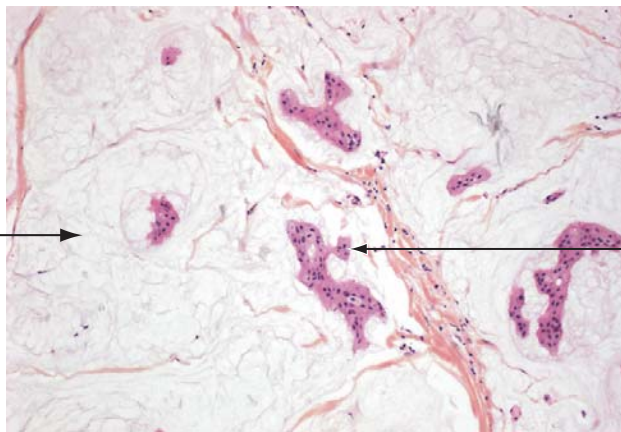


Travées collagènes délimitant les lacs mucoïdes



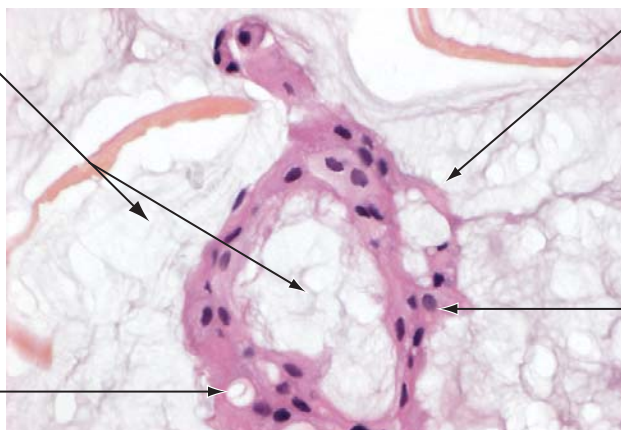
Mucus

Massifs tumoraux

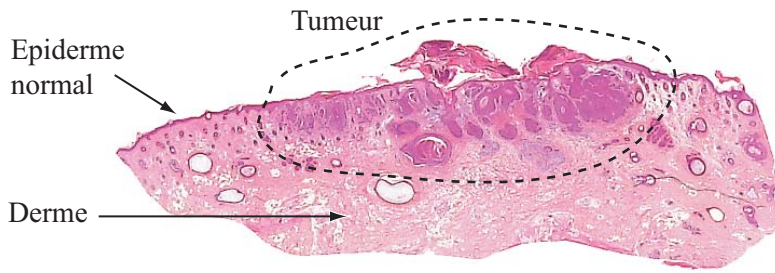


Peu d'atypies cellulaires

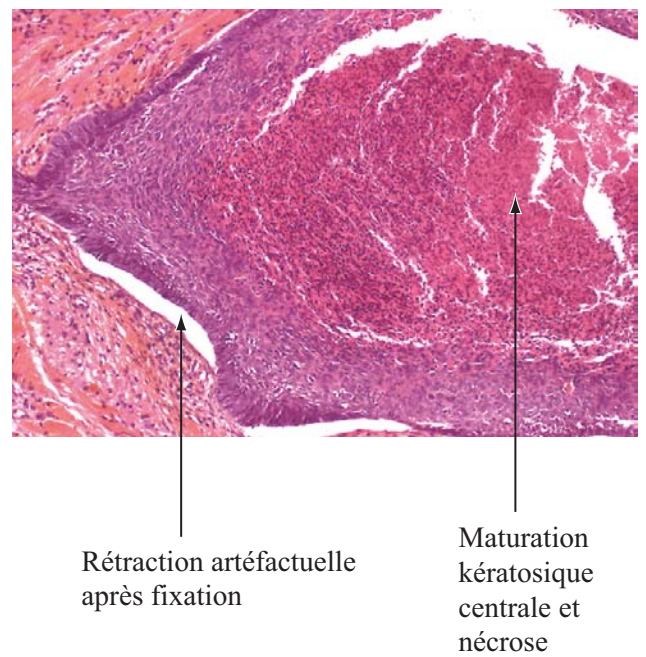
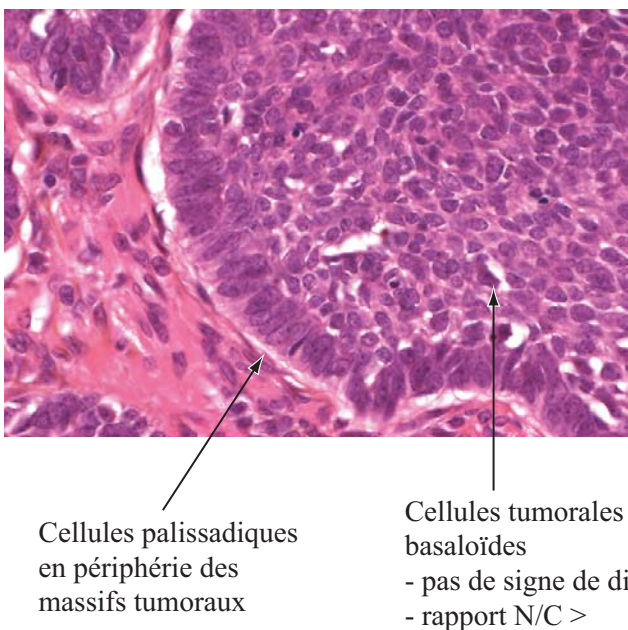
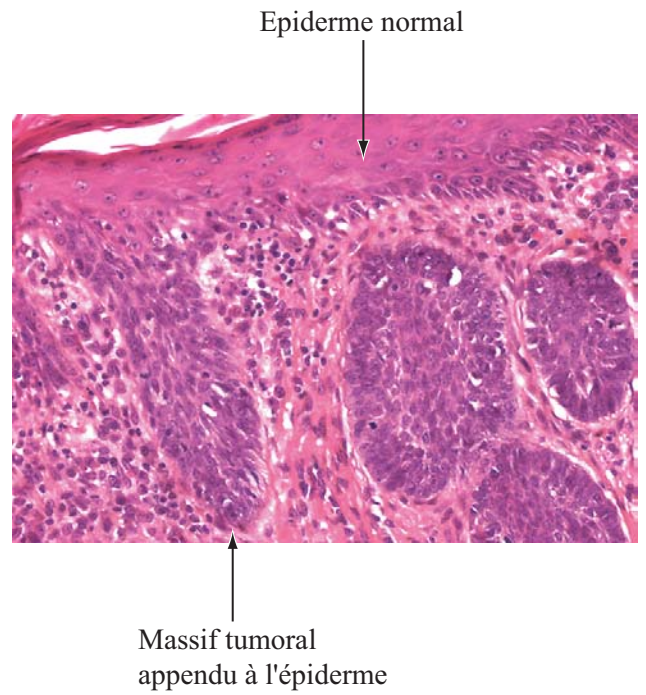
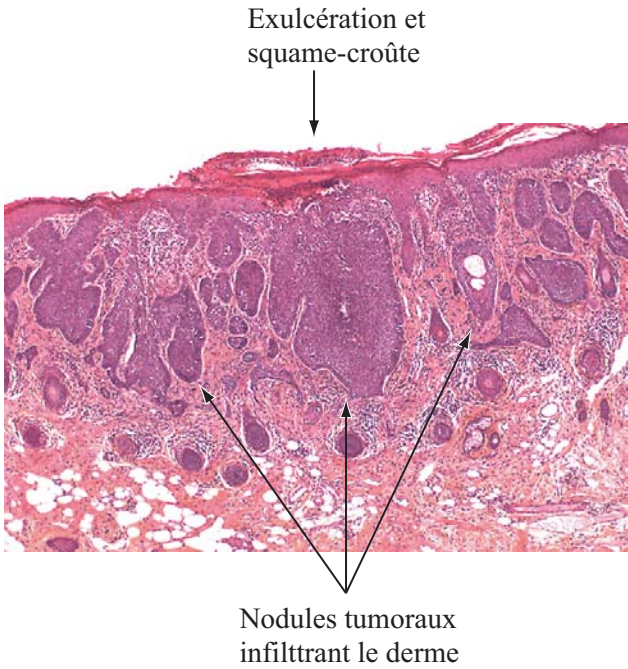
Mucus



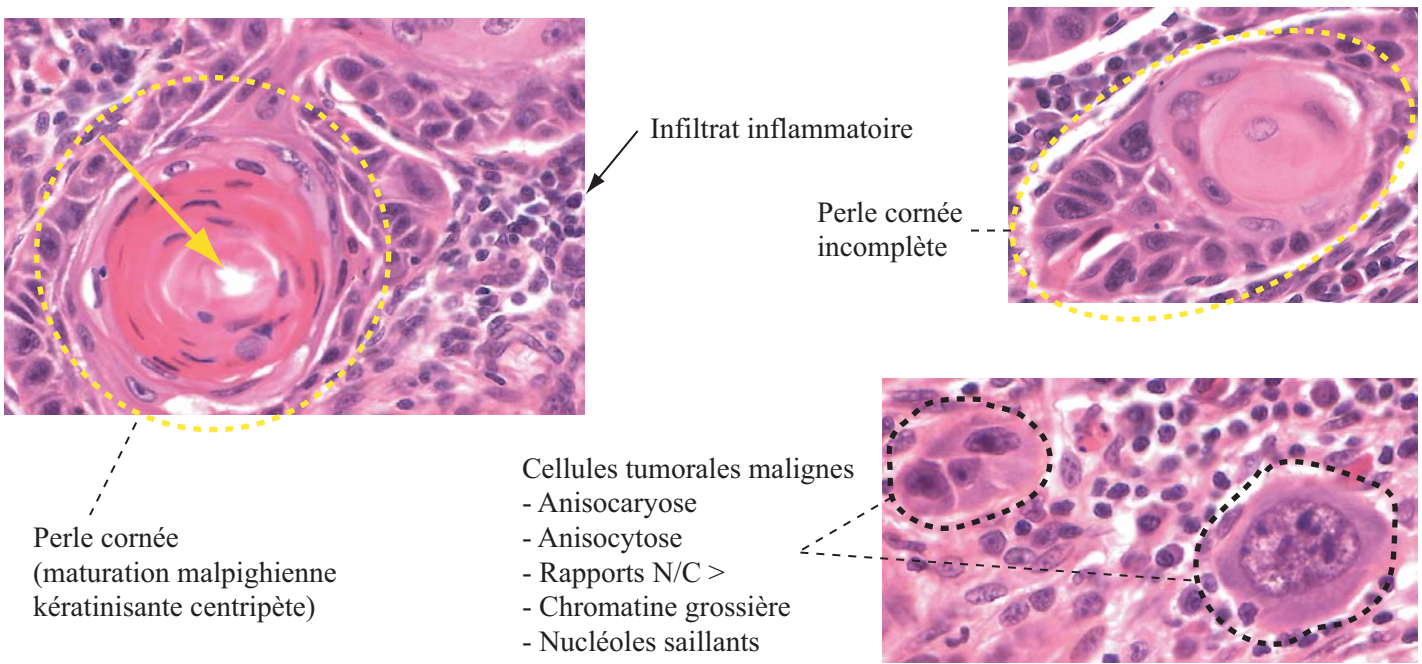
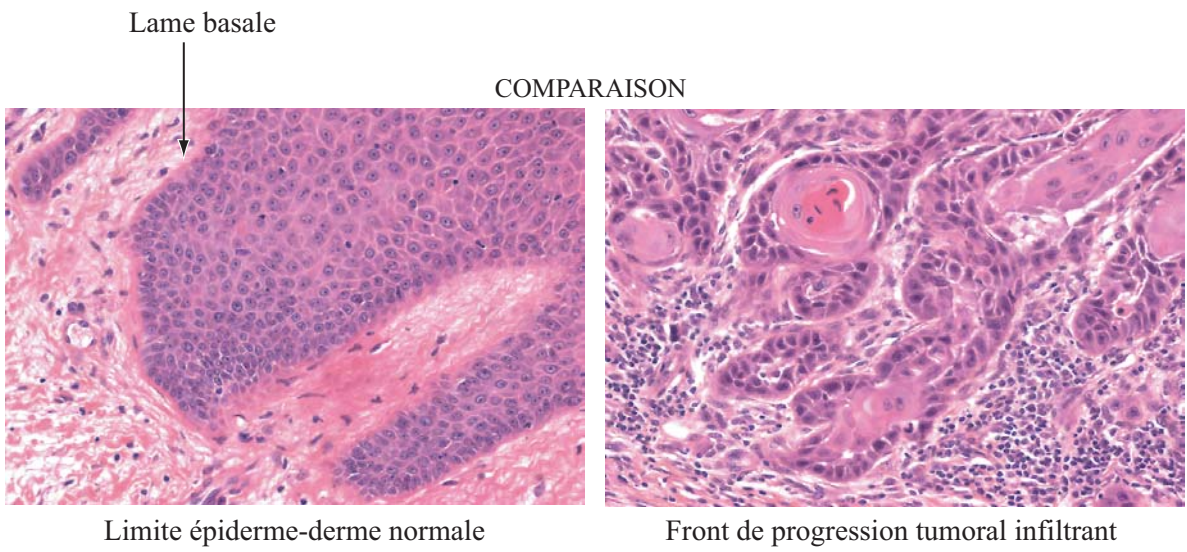
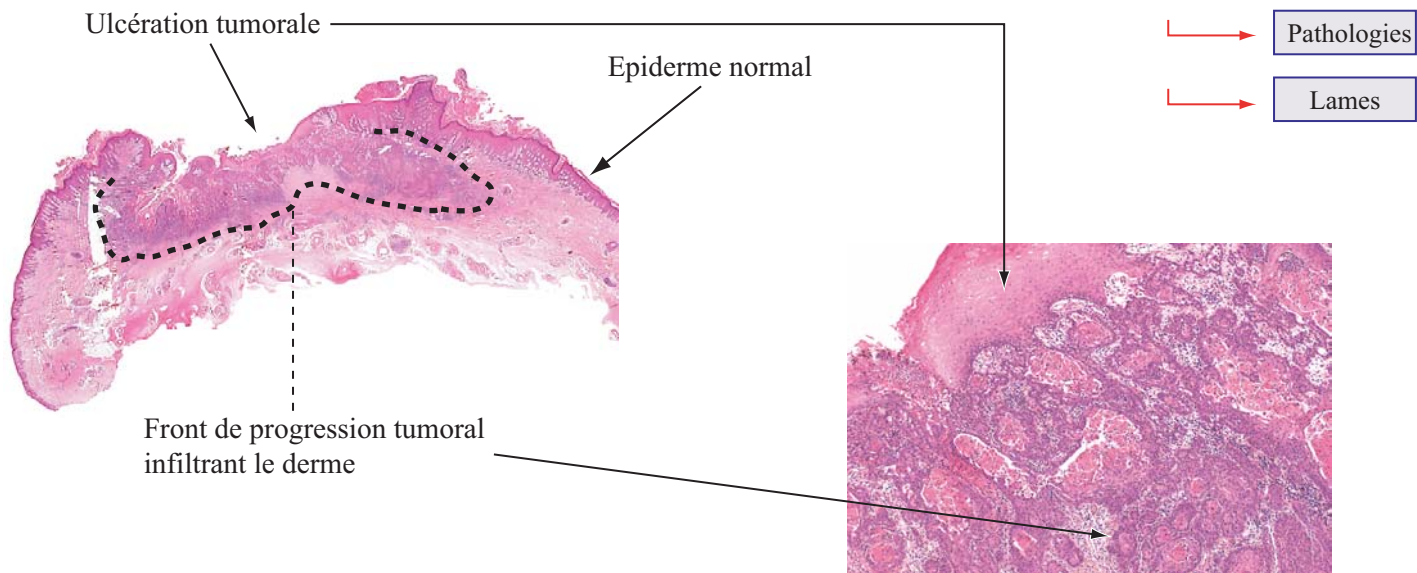
AP170 Carcinome basocellulaire cutané



Pathologies  
Lames



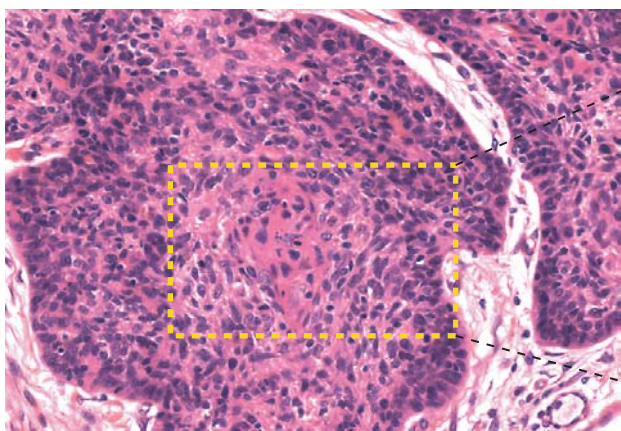
AP167 Carcinome épidermoïde infiltrant cutané (moyennement différencié et kératinisant)



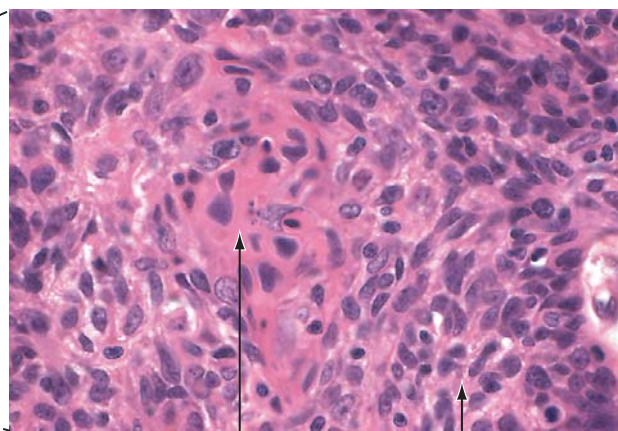


AP169 Carcinome épidermoïde infiltrant cutané (peu différencié et faiblement kératinisant)

Pathologies  
Lames

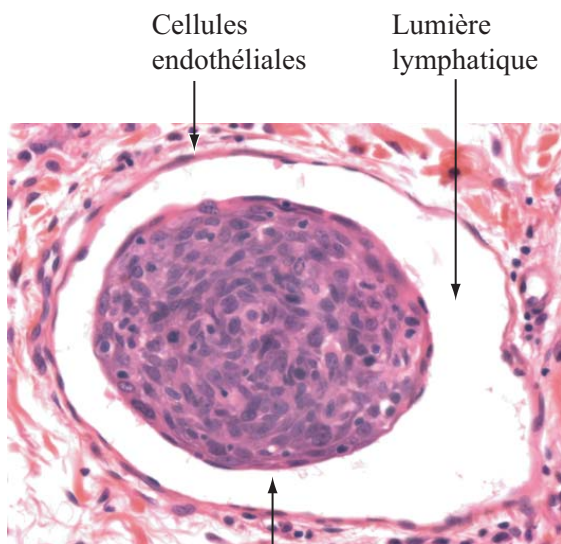


Front de progression tumoral

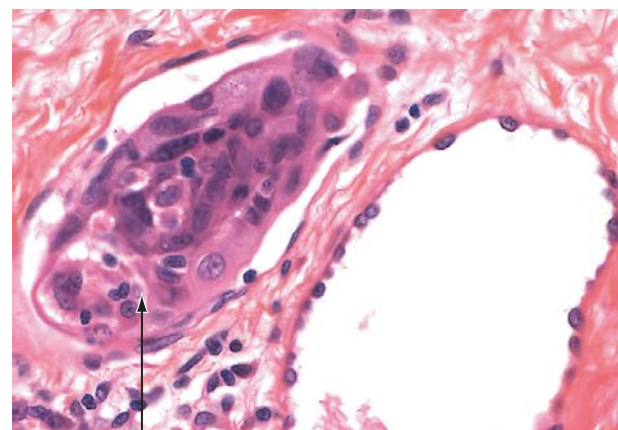


Kératinisation abortive

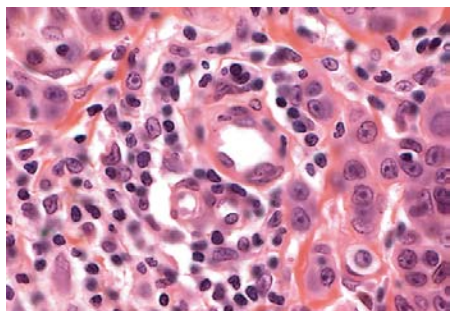
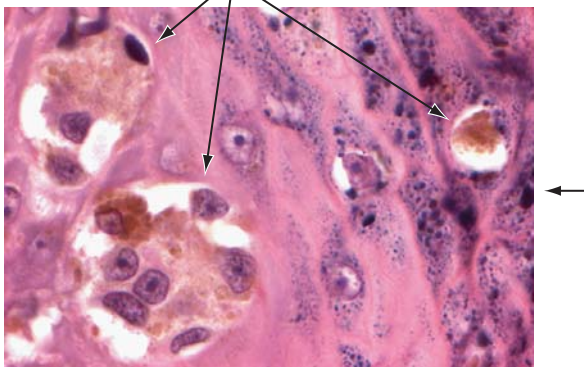
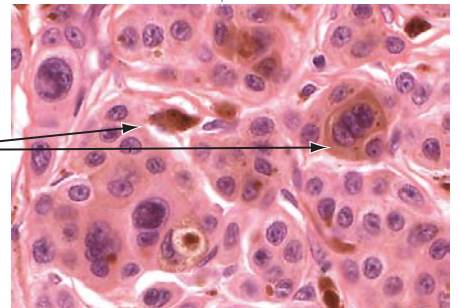
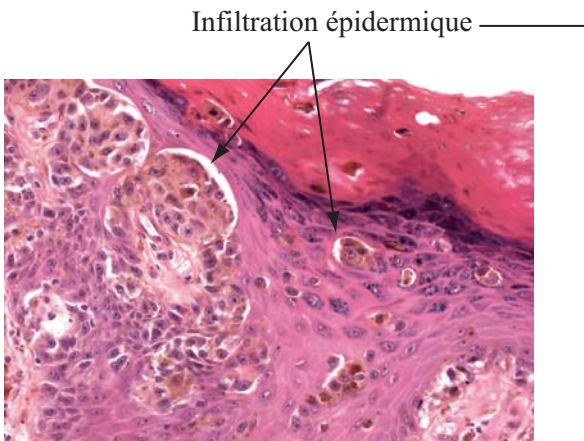
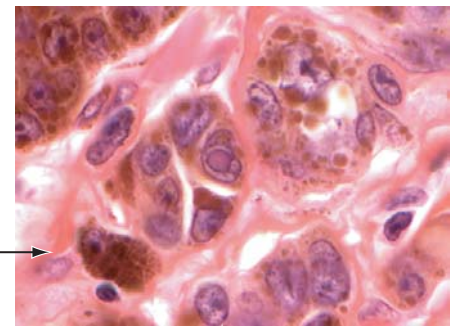
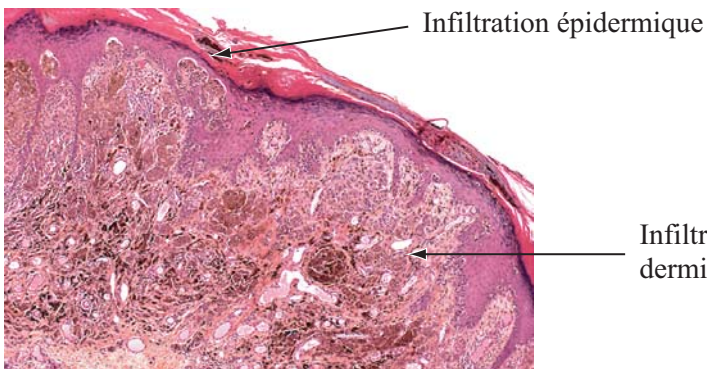
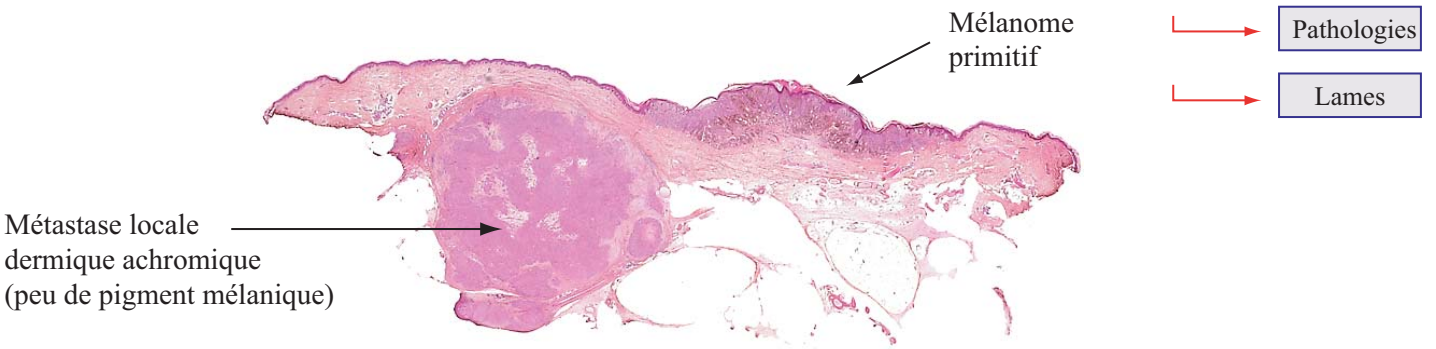
Architecture malpighienne caricaturale



Embole tumoral lymphatique (cellules tumorales peu différenciées)



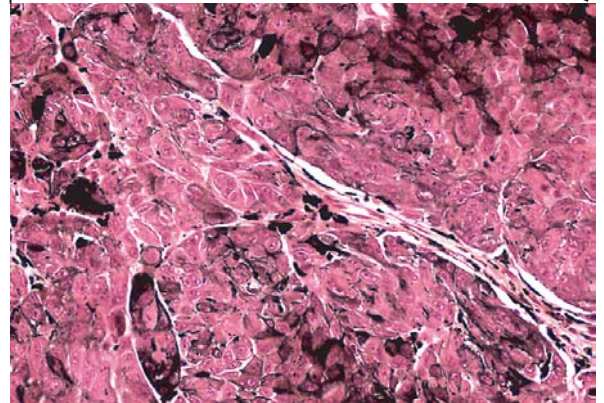
Embole tumoral lymphatique (cellules tumorales discrètement kératinisées)



Infiltration nodulaire dermique

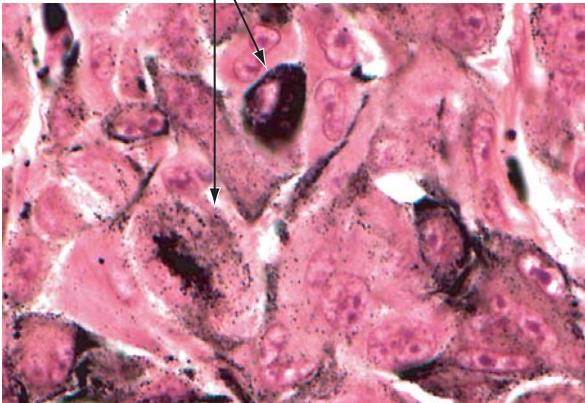
Pathologies

Lames



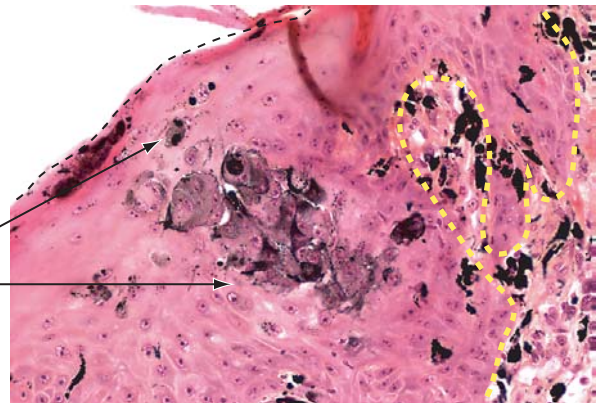
Mélanine colorée en noir par le Fontana  
(aspect poussiéreux)

Inhomogénéité de la pigmento-  
production par les mélanocytes  
malins

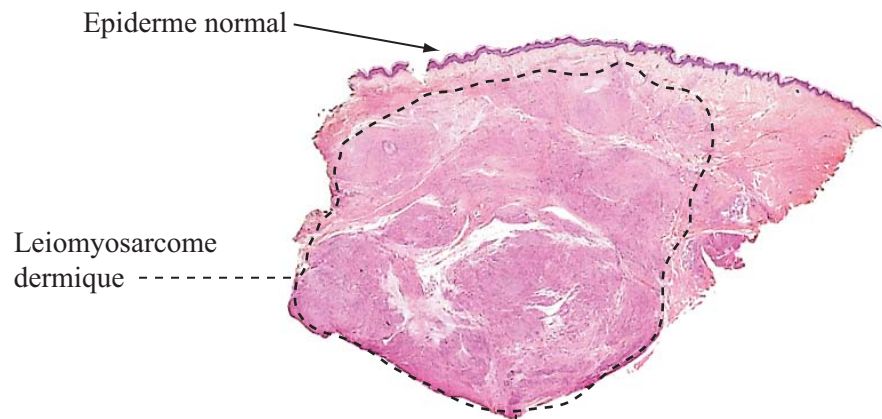


EPIDERME

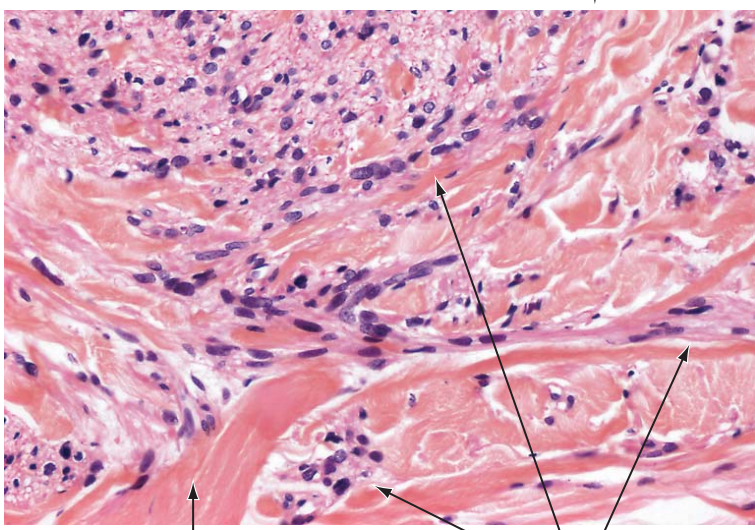
Migration trans-épidermique  
des cellules néoplasiques



AP180 Leiomyosarcome cutané



↳ Pathologies  
↳ Lames



Bulbe pileaire

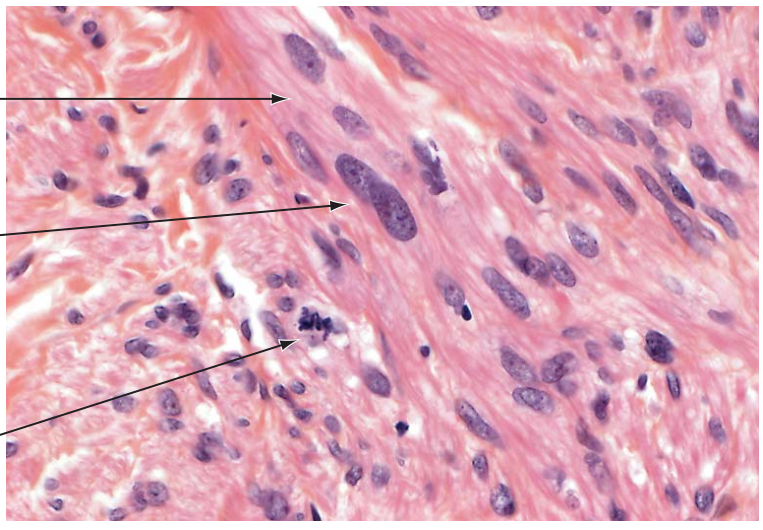
Collagène dermique

Infiltration tumorale "sauvage" entre les faisceaux collagènes et les annexes cutanées

Tumeur formée de faisceaux de cellules de type musculaire lisse (cytoplasme éosinophile allongé fibrillaire et noyau ovoïde)

Poymorphisme nucléaire (pas un signe de malignité)

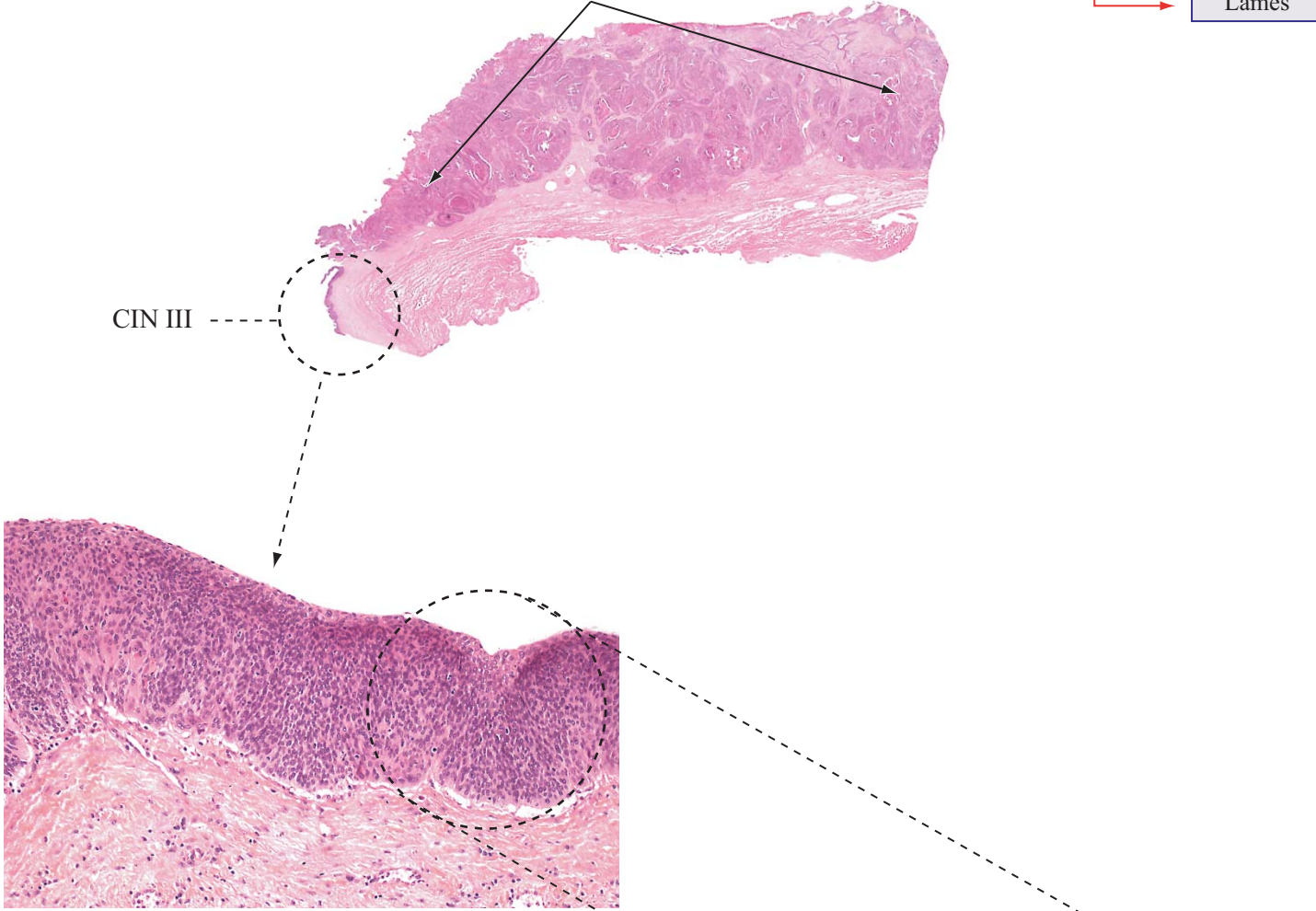
Mitoses nombreuses et anormales (seul signe de malignité pour faire la distinction avec un leiomyome)



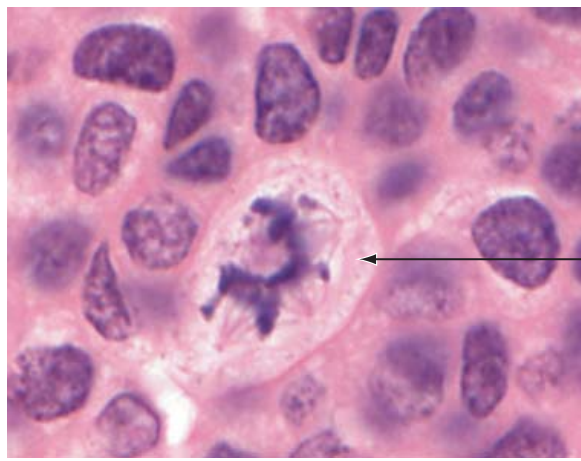
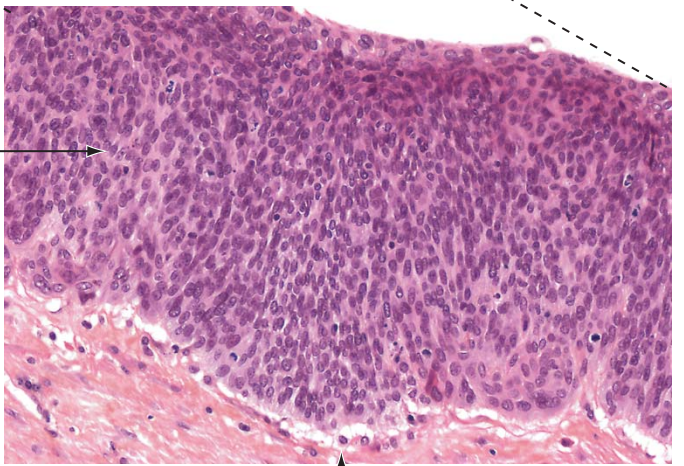
Pathologies  
Lames

Carcinome épidermoïde infiltrant  
(peu différencié, peu kératinisant)

CIN III

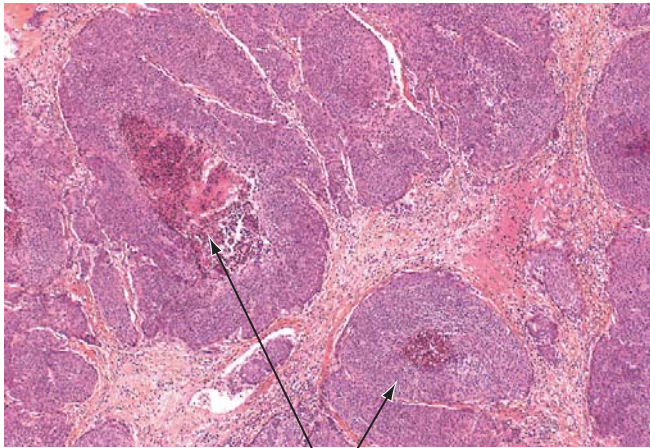
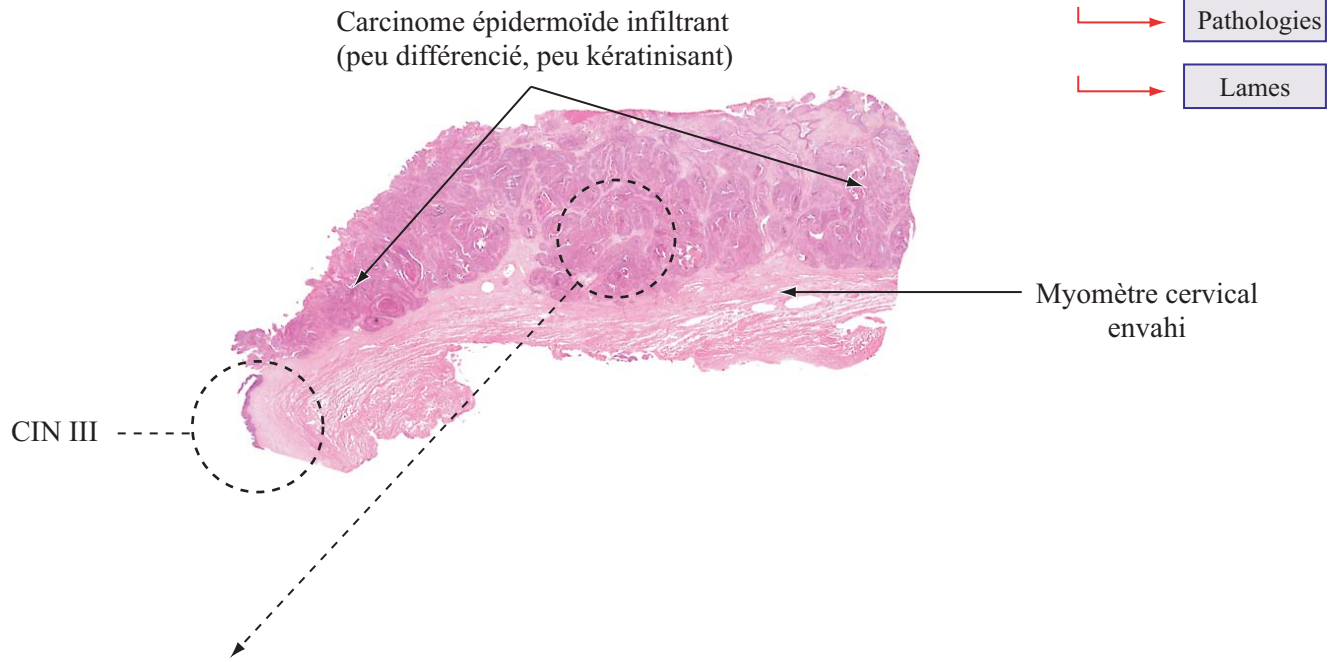


- Cellules tumorales
- basaloïdes
  - sur toute la hauteur de l'épithélium
  - mitoses à tous les étages
  - mitoses anormales
  - pas de dépassement de la basale

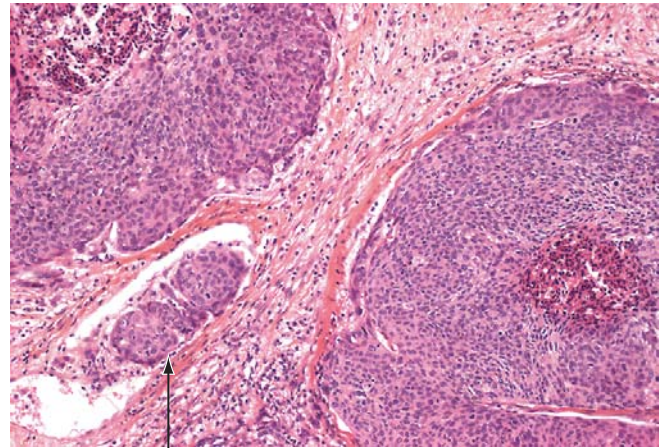


Mitose quadripolaire

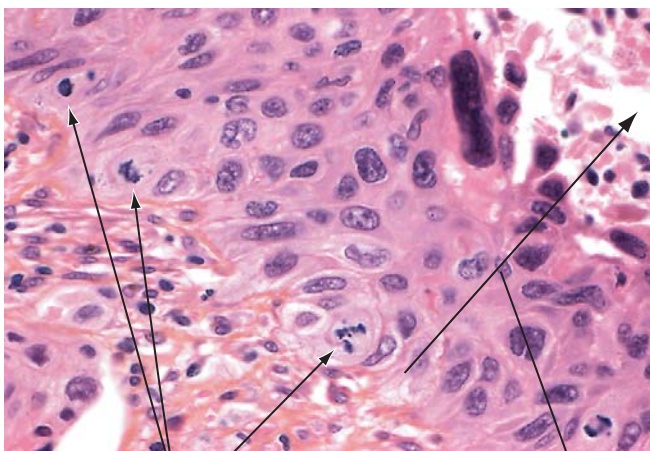
Membrane basale non effractée



Massifs tumoraux basaloïdes indifférenciés, avec nécrose centrale

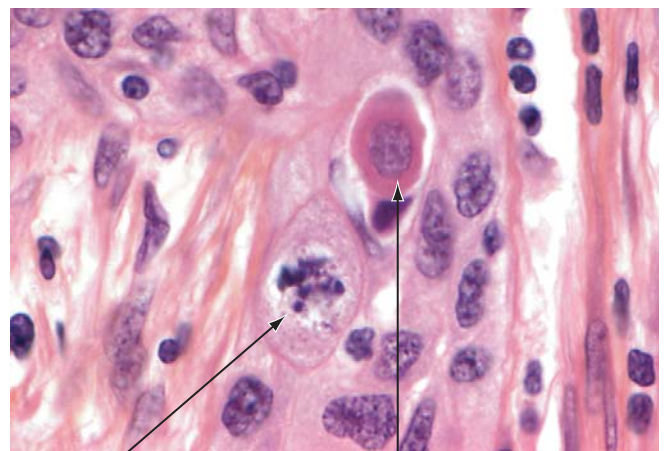


Infiltration lymphatique



Mitoses anormales et nombreuses

Ebauche de maturation malpighienne

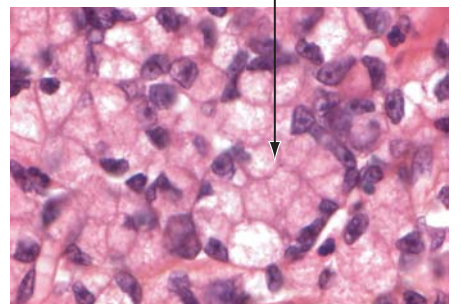
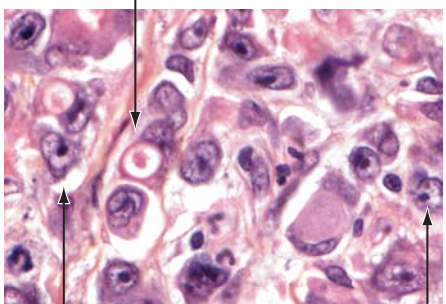
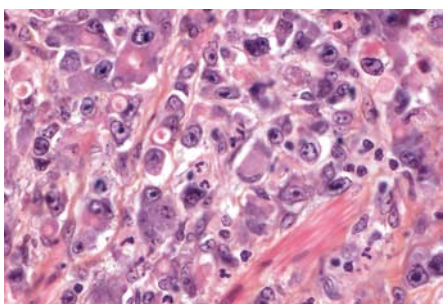
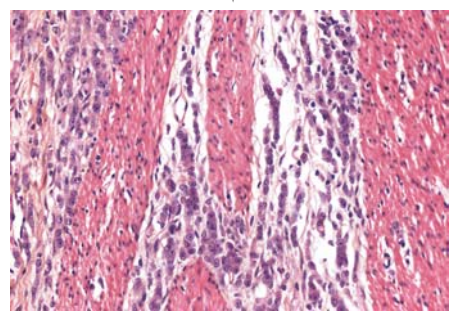
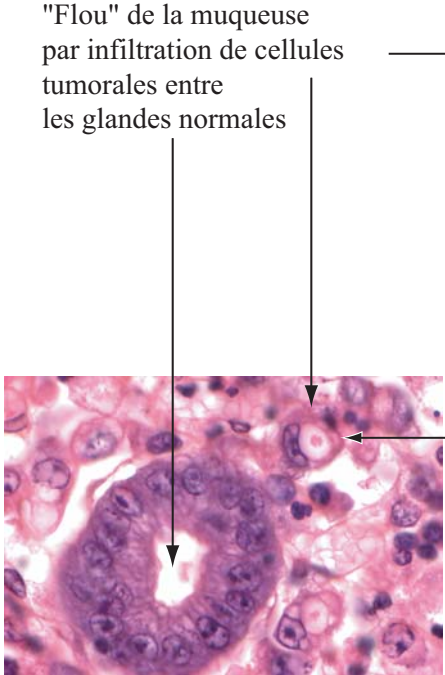
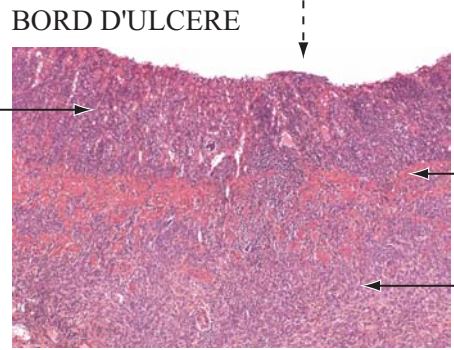
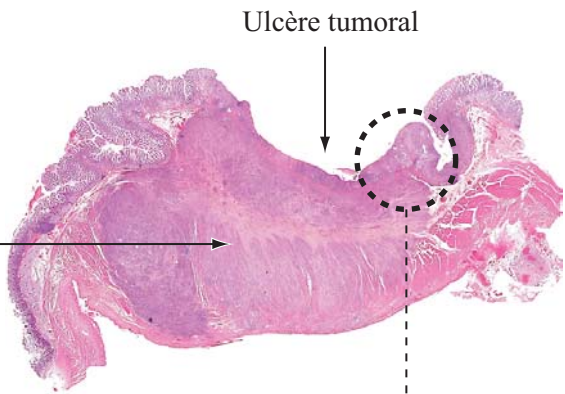


Mitose explosée

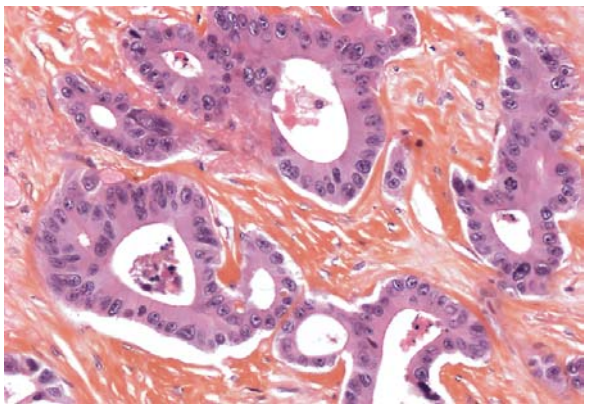
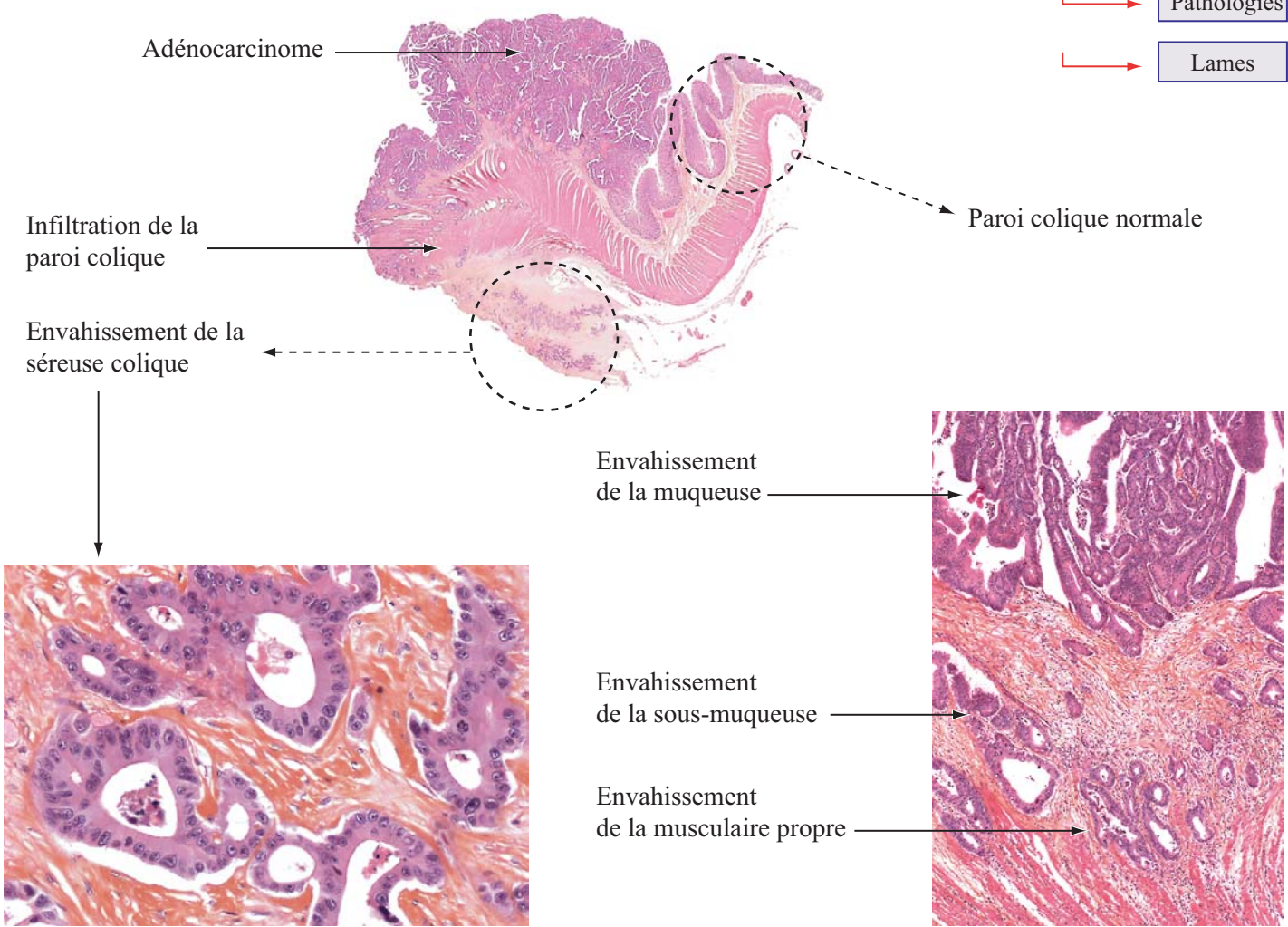
Cellule en dyskératose (kératinisation isolée)

AP174 Adénocarcinome gastrique à cellules indépendantes (linite plastique)

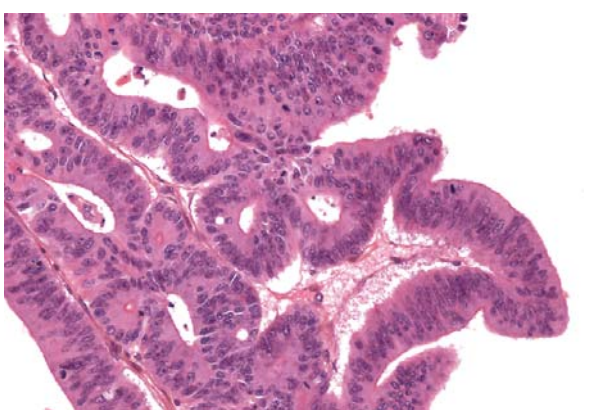
Pathologies  
Lames



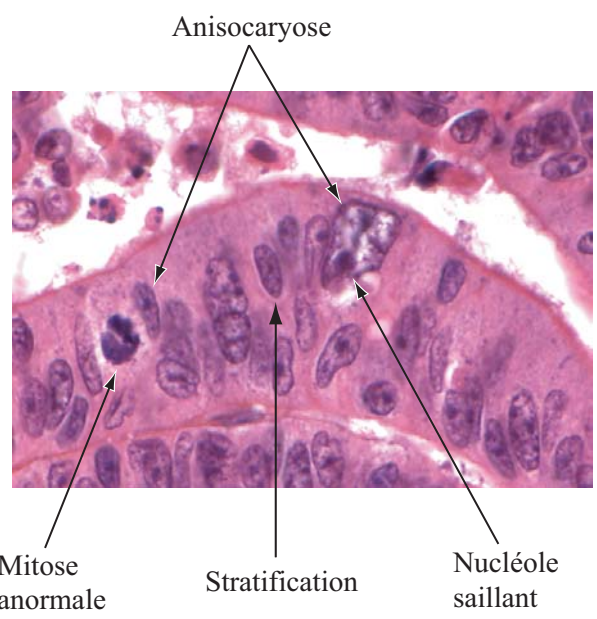
Pathologies  
Lames



Glandes tumorales irrégulières infiltrant la séreuse et générant une stroma réaction fibreuse



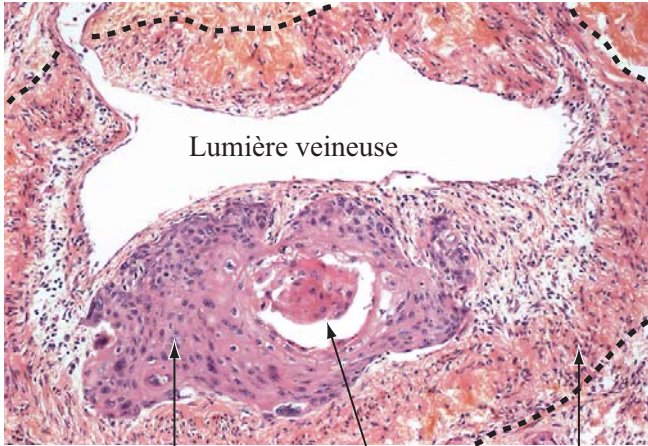
Glandes tumorales irrégulières et massifs cellulaires compacts infiltrant le chorion muqueux



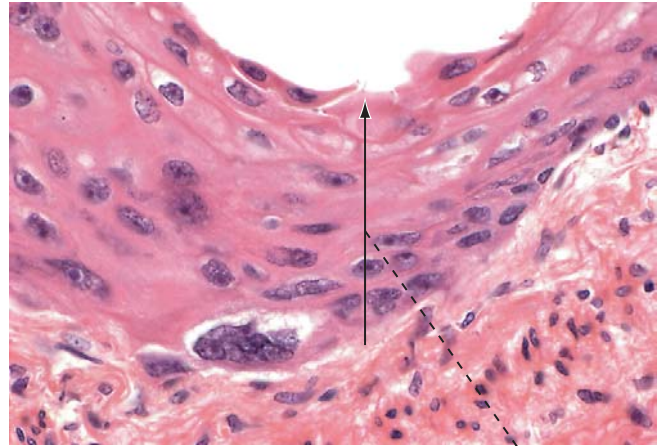


Pathologies  
Lames

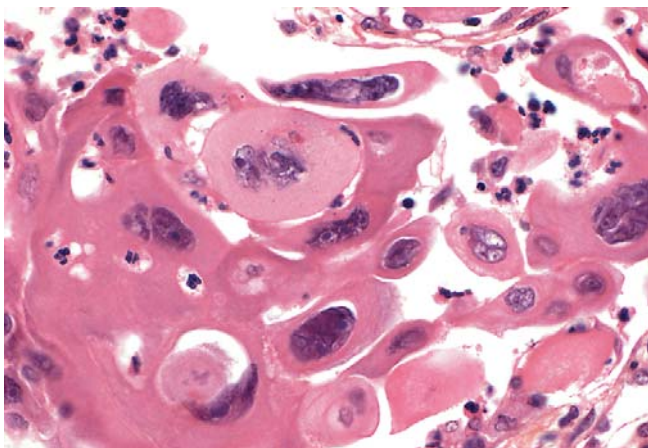
Perméation tumorale veineuse



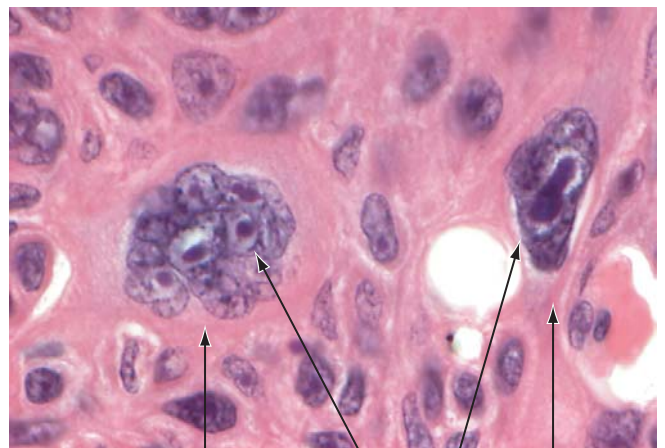
Infiltration tumorale de la paroi veineuse  
Perle cornée  
Média veineuse



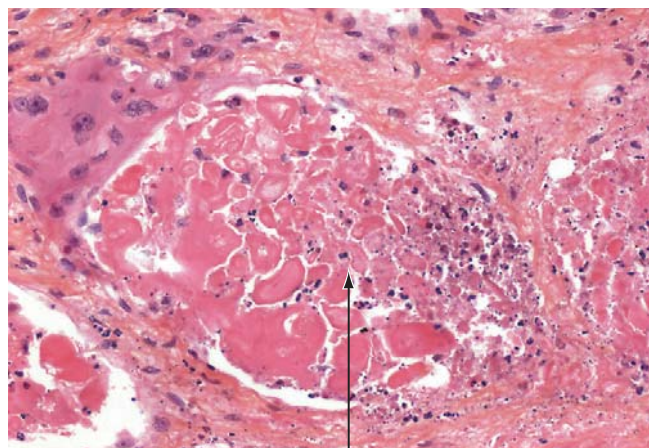
Maturación malpighienne



Cellules tumorales irrégulièrement kératinisées. Polymorphisme nucléaire et cytoplasmique très marqué



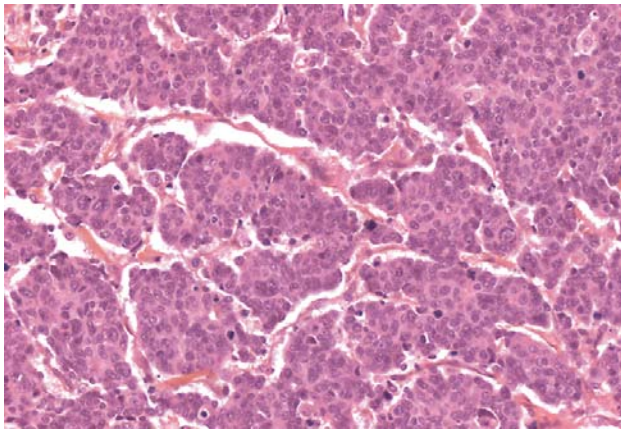
Cellule plurinucléée  
Noyau monstrueux  
Nucléoles saillants



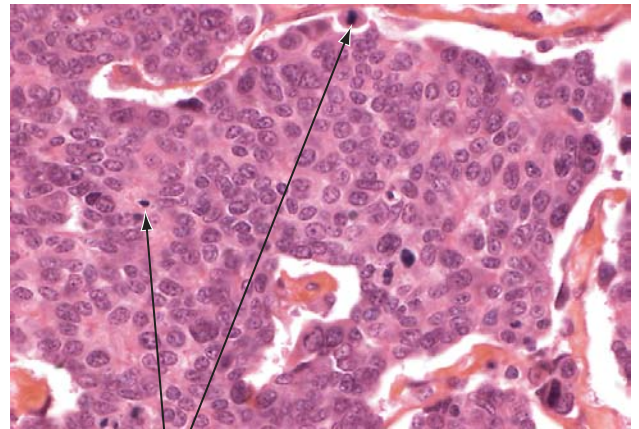
Foyer de nécrose

Pathologies

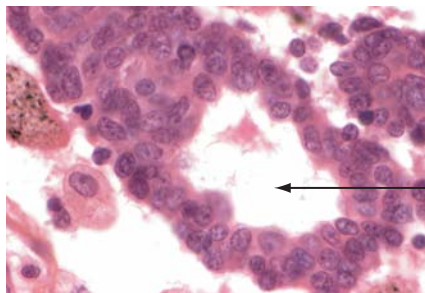
Lames



Massifs sans architecture de cellules tumorales à rapports N/C >, et relativement monomorphes

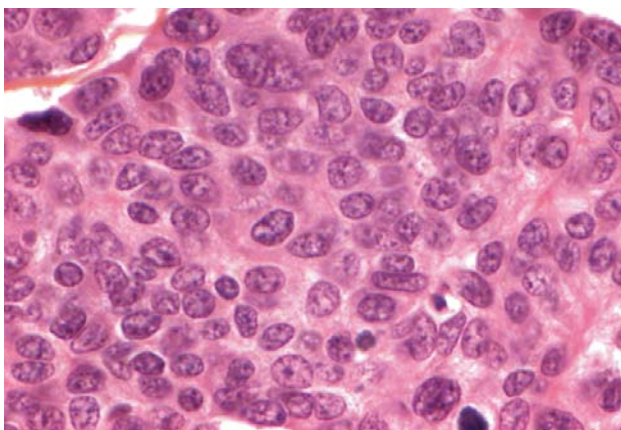


Mitoses très fréquentes

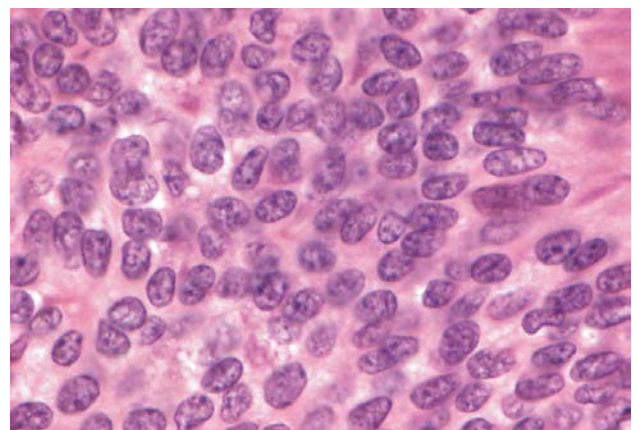


Présence très focale d'un agencement glandulaire

COMPARAISON



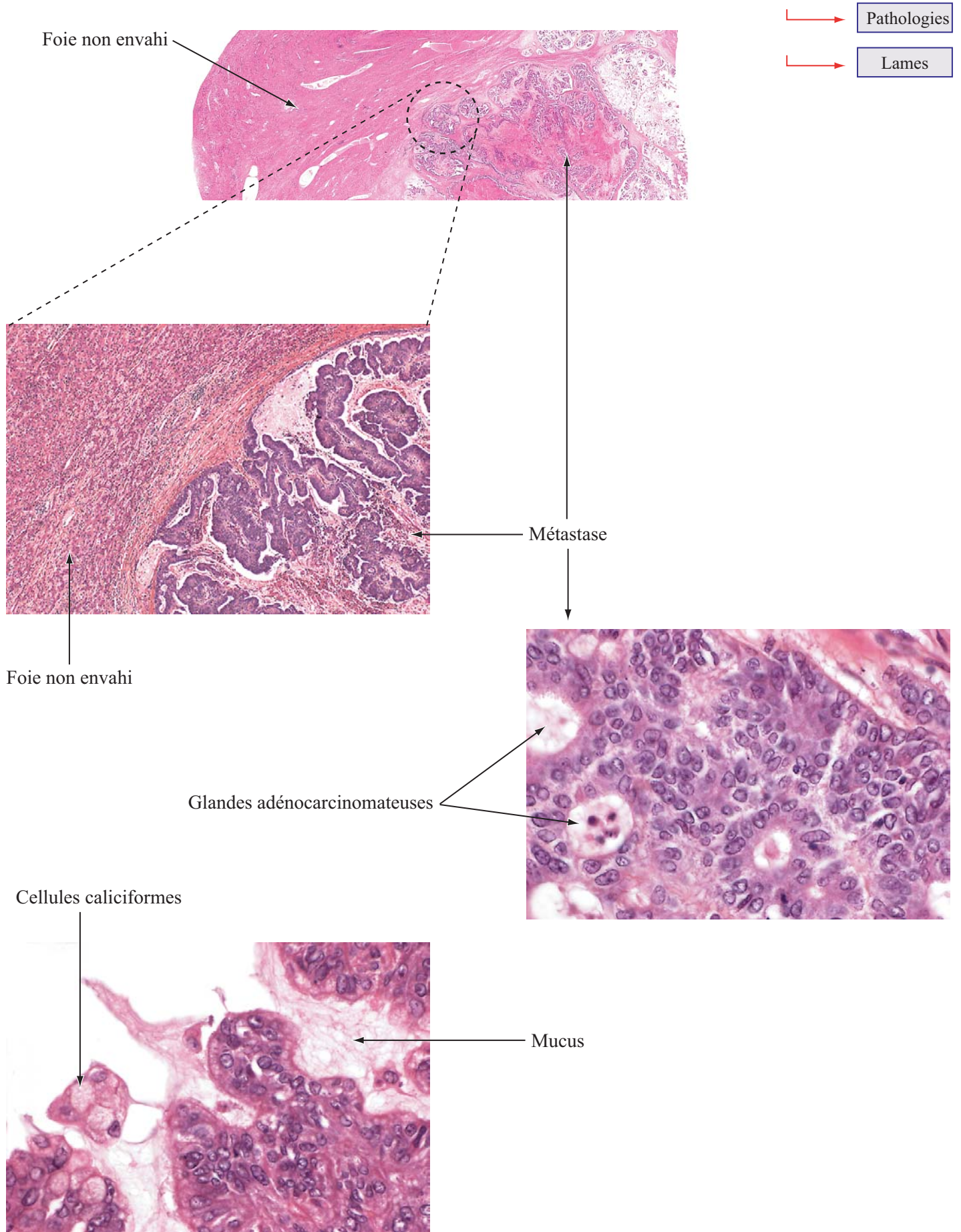
Carcinome anaplasique à petites cellules (AP 176)



Tumeur carcinoïde appendiculaire (AP 165)

*Peu de choses séparent, d'un point de vue cytologique, ces deux lésions qui représentent les deux extrémités du spectre des tumeurs neuroendocrines. L'évolution est cependant le plus souvent indolente pour le carcinoïde appendiculaire et est toujours rapidement fatale pour le carcinome anaplasique. Entre les deux sont décrites des tumeurs intermédiaires. D'un point de vue morphologique, le carcinome anaplasique se distingue du carcinoïde par sa localisation primaire, un index mitotique très élevé et la présence de plages de nécrose fréquentes (non illustrées ici).*

AP190 Métastase hépatique d'un adénocarcinome colique



AP188 - AP189 Métastase ganglionnaire (d'un adénocarcinome lobulaire du sein)

